

The image shows an archaeological excavation site. A red and white measuring rod is positioned horizontally at the top. Below it, the ground is a mix of brown soil and small stones. In the center, there are two large, light-colored, irregularly shaped stone artifacts, possibly flint or limestone, lying on the ground. The text is overlaid on the image in white, bold, uppercase letters.

**MEMÒRIA DE L'EXCAVACIÓ
ARQUEOLÒGICA AL MOLÍ DEL SALT
(VIMBODÍ I POBLET, CONCA DE BARBERÀ)
MAIG-JUNY DEL 2016**

**INSTITUT CATALÀ DE PALEOECOLOGIA
HUMANA I EVOLUCIÓ SOCIAL
(IPHES)**

Director de l'excavació: Manuel Vaquero

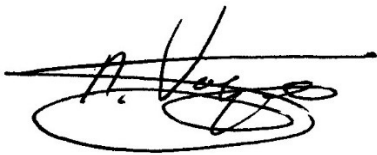
Excavadors: Ethel Allué
Susana Alonso
Juan María Aparicio
Joan Caparrós
Rosa Cots
Sergio Miguel Luengo
Paula Mateo
Noemí Pérez
Anna Rufà
Javier Sánchez
Dario Sigari

Autors de la memòria: Manuel Vaquero
Susana Alonso
Marcos García Díez
Anna Rufà

Les intervencions arqueològiques al Molí del Salt han estat realitzades gràcies al suport econòmic de les institucions:

- Departament de Cultura. Generalitat de Catalunya.
- Ajuntament de Vimbodí i Poblet

Aquest informe ha estat lliurat al Departament de Cultura de la Generalitat de Catalunya el dia

A handwritten signature in black ink, appearing to read 'M. Vaquero', with a horizontal line drawn through it and a circular flourish underneath.

Signat: Manuel Vaquero

ÍNDIX

1. Plantejament de la intervenció i objectius	4
2. Descripció del treball realitzat	6
3. La indústria lítica	19
4. La fauna	66
5. L'art moble	88
6. Plantes i seccions	92
7. Conclusions	96
8. Inventari general	99

1.- PLANTEJAMENT DE LA INTERVENCIÓ I OBJECTIUS

La intervenció arqueològica portada a terme durant els mesos de maig i juny de 2016 al Molí del Salt (Vimbodí i Poblet, Conca de Barberà) es va plantejar com una continuació dels treballs en campanyes anteriors. Des de la campanya de 2012 l'excavació s'ha focalitzat en la part externa del jaciment (columnes D-F), deixant de moment de banda el sector més interior (columnes AA-C), on l'elevada densitat de material alentia el desenvolupament dels treballs. Vam decidir prioritzar l'excavació de la part externa per poder arribar al més aviat possible a la base de la seqüència i poder disposar d'una mostra representativa de les unitats estratigràfiques inferiors. En aquest sector extern es van diferenciar des de 2012 dos sectors diferents:

- Quadres D34-36 i E34-36. En aquest sector es va accelerar l'excavació i es va arribar l'any 2013 al sostre del conjunt B. El motiu era disposar d'una referència estratigràfica per quan s'arribés al conjunt B a la resta del jaciment. En aquest sector es van diferenciar, al sostre del conjunt B, dues unitats estratigràfiques: B1 i B1.1.

- Quadres D29-33, E29-33 i F29-31. A la major part dels quadres s'havia arribat al sostre del conjunt B al final de la campanya de 2015. Tanmateix, en alguns indrets encara estàvem en la base del conjunt B. En començar la campanya de 2016 aquest sector es trobava encara en la base del nivell A.

Per la campanya de 2016 es va decidir intervenir només al segon d'aquests sectors. Una vegada aclarida la successió estratigràfica en el primer sector, vam creure que era el moment de recuperar la continuïtat de la superfície excavada. L'objectiu de la campanya de 2016 era per tant iniciar l'excavació del conjunt B als quadres D29-33, E29-33 i F29-31 per contrastar si la seqüència del sostre del conjunt B és la mateixa que la que es va identificar als quadres D34-36 i E34-36.



Figura 1. Planta del Molí del Salt indicant els quadres excavats durant la campanya de 2016.

2. DESCRIPCIÓ DEL TREBALL REALITZAT

16.05.2016

Comencem la campanya Molí del Salt 2016. Pel matí hem destapat el jaciment i muntat l'estructura. Per la tarda hem iniciat l'excavació en els quadres D29-30, D32, E29-30 i F30-31. En tots els quadres hem començat l'excavació del nivell B1, amb l'excepció de D29 i D32, on encara queden restes de la base del nivell A. A D32 estem excavant una acumulació de plaques i còdols, entre els que destaquen dues plaques d'esquist, una de les quals amb evidències d'utilització (Fig. 2). Associats a aquesta acumulació han aparegut un nucli i un nòdul de sílex que no sembla tallat.

17.05.2016

Quadres excavats: D29-30, D32 i E29-30.

Les dues plaques d'esquist de l'acumulació de D32 tenen una morfologia molt similar, per la qual cosa pensem que podrien ser dos fragments de la mateixa placa. Un dels fragments presenta algunes línies gravades i podria tractar-se d'una peça d'art moble. Hem fotografiat aquesta associació. En aixecar les plaquetes hem comprovat que les dues estan gravades. A E32 hem identificat una taca de sediment vermellós d'uns 25

x 18 cm que hem dibuixat i fotografiat (Fig. 3). Al final de la jornada hem assolit el sostre de la unitat B1 al quadre D32.

18.05.2016

Quadres excavats: D29-30, E29-30, E32 i F30.

La taca vermella identificada a E32 sembla mostrar una morfologia en cubeta. Hem pres una mostra de sediment. De moment està gairebé buida de material arqueològic, amb l'excepció d'un artefacte de sílex de mida gran. Aquest artefacte no mostra evidències d'alteració tèrmica. En continuar l'excavació hem comprovat que aquesta estructura és més gran del que semblava i presenta un marcat pendent cap al nord. Per tant, no correspondria al nivell A, sinó al nivell B1. Tampoc està clar que es tracti d'una unitat espacialment delimitada, raó per la qual ressegurem el sostre per veure si es tracta d'un horitzó més o menys continu. Al quadre D29 hem assolit el sostre del nivell B1. Ha aparegut una nova placa d'esquist amb línies gravades al quadre F30 (Fig. 4). Hem iniciat l'excavació del quadre F29. En el tall sud d'aquest quadre s'observa una contacte bastant net entre un sediment amb les característiques del conjunt B i una unitat superior. Sembla que en aquest quadre encara queden restes del nivell A. Al quadre D32 s'ha trobat una mandíbula cremada de *Felis sylvestris* amb el que semblen marques de tall. Al quadre F30 ha aparegut una mandíbula de porc senglar.

19.05.2016

Quadres excavats: D29, E30-32, F29-30.

A E32 continuem resseguint el sostre del nivell ataronjat, que sembla ser molt irregular. Al costat de la secció sud del quadre hi ha una cubeta plena de sediment fosc, amb tres blocs en el seu interior. Iniciem l'excavació d'E31 per resseguir aquest contacte estratigràfic. Al quadre E30 han aparegut dues bioturbacions que creuen el quadre en direcció NW-SE; tenen uns 2-3 cm d'amplada i uns 3 cm de profunditat màxima. Semblen correspondre a arrels (Fig. 6). En general, tot aquest sector (D30-31, E30-31) està molt afectat per les arrels. Les bioturbacions d'E30 s'estenen cap a E29. A E32, l'horitzó ataronjat sembla correspondre al sostre de B1.1. Aquest horitzó apareix clarament a la part est y oest del quadre, mentre que a la part central està tallat per sediment de color marró. Aquest sostre de B1.1 presenta un pendent cap al nord-est.

20.05.2016

Quadres excavats: E29-31, E33, F30.

A E30 i E31 continuen apareixent nombroses bioturbacions.

23.05.2016

Quadres excavats: D30-32, E30-31, E33, F29-31.

Comencem l'excavació del nivell B1 al quadre D32. L'objectiu és assolir el sostre de la unitat B1.1, resseguint-lo des d'E32. A l'angle sud-oest de l'àrea excavada estem excavant una placa d'esquist grauvàquic. Immediatament per sota, en contacte amb l'anterior, s'observa una altra placa d'esquist quarsític.

24.05.2016

Quadres excavats: D29-33, E30, E33, F29-30.

Continuem buscant el sostre del nivell B1.1, que sembla aflorar als quadres D30-32. A F29 hem coordinat una placa d'esquist que presenta un front configurat i marques de percussió. També sembla tenir algunes línies gravades. Al quadre D29 ha aparegut un fragment de plaqueta d'esquist que podria correspondre a la plaqueta gravada trobada el 2015 en aquest mateix quadre.

25.05.2016

Quadres excavats: D31-33, E30, F29-30.

Seguim buscant el sostre de la unitat B1.1. Algunes característiques del nivell estan apareixent, com la textura granular i la presència de graves d'argila, però el sediment no té en general la coloració vermellova observada a E32. Al quadre D31 ha aparegut una placa d'esquist que sembla presentar línies gravades (Fig. 7). A D32 es documenta un dipòsit de sorres grogues (fàcies groga) d'uns 15 x 7 cm i un clar pendent cap al sud-est. Al quadre E30 està aflorant una associació de blocs de diferents litologies (conglomerat, argila), encara que sembla que els esquistos són dominants. Té orientació NE-SW i s'estén cap a E29. A cavall dels quadres F29-30 es documenta al costat del tall sud una bossada de sediment menys cimentat que conté peces de sílex amb les característiques pròpies de la indústria lítica del nivell Sup. Podria ser una resta del dipòsit de vessant que cobria originalment el talús. En els propers dies intentarem contrastar-ho.

26.05.2016

Quadres excavats: D31-33, E29-31.

Als quadres F29-30 es ressegueix bastant be la bossada amb sediment del nivell Sup (Fig. 8). És possible que algunes de les restes coordinades en aquesta zona en dies anteriors es tinguin que atribuir a aquest nivell. Entre les peces que han aparegut destaquen algunes restes lítiques de grans dimensions, incloent-hi una gran làmina. Al nord del quadre D31 ha aparegut un dipòsit carbonatat, de color blanquinós i una mica discontinu, que hem delimitat i dibuixat.

27.05.2016

Quadres excavats: D29, D31-33, E30, F29-30.

A l'angle sud-est de D29 ha aparegut una taca de tonalitat negrosa. La resseguiem cap al nord per veure si connecta amb un sediment de tonalitat similar que aflora a l'angle nord-oest del quadre. A E30 hem detectat el sostre de B1.1, el qual sembla adquirir un fort pendent cap al sud a la part sud del quadre. Sembla clar que les peces coordinades en dies anteriors a F29, incloent-hi el còdol d'esquist tallat, s'hauran de reassignar al nivell Sup. Pel que fa al material recuperat, destaca una falange de *Cervus elaphus* al quadre E30.

30.05.2016

Quadres excavats: D29, D31-33, F29.

Continuem excavant el nivell B1 a la majoria dels quadres, excepte a F29, on seguim excavant les restes del nivell Sup. A D29 s'han documentat un conjunt de taques carbonoses sense continuïtat. Les hem fotografiat. A D30 ha començat a aparèixer una taca de color marró vermellós amb aspecte de sediment rubefactat que intentarem resseguir al llarg de les properes jornades. A D31-32 ens trobem en un horitzó amb una densitat relativament baixa de restes.

31.05.2016

Quadres excavats: D30-33, E29, F29.

Hem acabat d'excavar el nivell Sup al quadre F29. El dipòsit plistocè subjacent apareix tallat de forma abrupta i està molt afectat per arrels (Fig. 9) i dinàmiques erosives, les quals generen un relleu esglaonat amb un fort pendent cap al sud-oest. A la

resta de quadres seguim excavant el nivell B1. A D32 ja hem assolit el sostre de la unitat B1.1. Destaca la troballa d'un petxina de *Glycimeris* al quadre F30.

01.06.2016

Quadres excavats: D30-31, D33, E29, F29.

Hem arribat al sostre de la unitat B1.1 als quadres D30-31. Anirem resseguint aquest sostre cap al sud de l'àrea excavada (quadres E29-31 i F29-31).

02.06.2016

Quadres excavats: D33, E30-31, F29-30.

S'ha identificat el sostre de la unitat B1.1 al quadre D33, de manera que ja l'hem assolit a tota la línia D i a la major part de la línia E. Només falta arribar-hi a la meitat sud d'E29-31 i a la línia F. S'ha identificat el remuntatge de dues restes de macrofauna al quadre D33 (núm. 441 i 448); el tipus de fractura suggereix que l'os es va trencar en fresc.

03.06.2016

Quadres excavats: D30-33, E29-30, F29-30.

Hem completat l'excavació de la unitat B1 a tota l'àrea excavada (Fig. 10). Iniciem l'excavació de la unitat B1.1. Al quadre D32 estem resseguint la taca de sediment vermellós apareguda a E32. Aquesta taca continua cap a D32, encara que de moment de forma bastant discontinua. Localment, apareixen dipòsits de material cendrós associats a aquesta taca vermellosa, raó per la qual plantegem que pugui tractar-se d'una estructura de combustió. Destaca la troballa d'un fragment de petxina de *Pecten jacobaeus* al quadre D31.

06.06.2016

Quadres excavats: D31-33, F30.

Continuem excavant el sostre de la unitat B1.1. També hem començat a perfilar la secció oest de l'àrea excavada. Dona la impressió que la proporció de restes de macrofauna s'ha incrementat de forma significativa. Destaquen especialment algunes restes documentades al quadre D32, entre les quals un fragment de costella d'un animal de talla gran. A D32 sembla individualitzar-se una taca de sediment argilós de color vermellós. En un primer moment, pensàvem que podia ser part d'un horitzó més o

menys continu, però sembla ben individualitzada. Té unes dimensions de 15 x 6 cm. Intentarem contrastar si es tracta del reompliment d'una cubeta. En excavar aquesta taca vermellosa, ha començat a aparèixer un sediment fosc i cendrós. Hem denominat aquesta taca com UA1. S'estén entre les cotes 159 y 163; de moment no ha aparegut cap resta arqueològica en el seu interior. A D29 els residus de combustió són abundants i sembla haver-hi nombrosos elements cremats. Tanmateix, les taques de sediment cendrós continuen sent discontinües. Continuem excavant per veure si val la pena individualitzar-la com una unitat. Al final de la jornada, decidim denominar aquesta unitat del quadre D29 com UA2.

07.06.2016

Quadres excavats: D29, D31-33, E30 i E33.

Al quadre D29 estem excavant el sediment ennegrit, amb pendent cap al sud-est, que ocupa la major part del quadre. Encara que ho havíem donat com a sostre de la unitat B1.1, l'observació de les seccions nord i oest ens planteja dubtes, per la qual cosa hem decidit atribuir-lo provisionalment a la unitat B1. Al llarg dels propers dies analitzarem la seva relació amb la unitat B1.1. La hem denominat com a UA2 del nivell B1. Per resoldre aquesta qüestió hem iniciat l'excavació del quadre E29. Al quadre E32 comencem a excavar la capa de sediment vermellós documentada en jornades anteriors. A simple vista sembla haver-hi dues capes de sediment vermellós, entre les quals s'observen algunes capes de sediment cendrós. Denominarem aquesta estructura com a UA3. L'excavarem en secció per comprovar si es tracta d'un fogar amb dos horitzons de rubefacció diferents.

08.06.2016

Quadres excavats: D29-30, D33, E29, E31-32.

Al quadre E32 hem comprovat que entre les dues capes vermelles de la UA3 hi ha un horitzó de cendres força continu. Hem decidit diferenciar els tres horitzons com a UA3-A (horitzó vermell superior), UA3-B (horitzó cendrós) i UA3-C (horitzó vermell inferior). Recollim per separat el sediment de cadascuna d'aquestes unitats. Hem excavat la UA3-B; no ha aparegut cap resta arqueològica associada a aquesta capa de cendres. En començar a excavar la UA3-C comprovem que té una potència considerable i s'estén més del que havíem pensat en un principi (Fig. 11). El material arqueològic en el seu interior és molt escàs. A D29 sembla clar que el dipòsit cendrós passa per sobre

del nivell B1.1, per la qual cosa l'atribuïm definitivament al nivell B1 com a UA2. En línies generals, el sostre de la unitat B1.1 s'està caracteritzant per unes densitats de restes relativament baixes.

09.06.2016

Quadres excavats: D29, E30-32, E34, F29, F31.

Hem comprovat que a la UA2 del quadre D29 hi ha una cubeta en l'angle nord-oest del quadre, reomplerta de sediment negre cendrós. Al quadre E32 excavem la UA3-C, que sembla afectada localment per bioturbacions. En el seu interior s'estan trobant algunes restes arqueològiques. Mentre que algunes d'aquestes restes estan afectades pel foc, altres no ho estan.

10.06.2016

Donem per finalitzada la campanya Molí del Salt 2016. Dediquem la jornada a recollir les eines i el material d'excavació, desmuntar l'estructura emprada durant la campanya i tapar el jaciment.



Figura 2. Associació de plaques d'esquist localitzada al quadre D32. Les dues plaques tenen mides i morfologies molt similars i ambdues mostren evidències d'haver estat utilitzades.



Figura 3. Taca de sediment vermellós identificada al quadre D32.



Figura 4. Placa d'esquist amb línies gravades i marques de percussió trobada al quadre F30. Està espacialment associada a una placa de gres de grans dimensions.



Figura 5. Imatge dels treballs d'excavació durant la campanya de 2015.



Figura 6. Bioturbacions localitzades al sostre del nivell B1 al quadre E30.



Figura 7. Placa d'esquist amb línies gravades trobada al quadre D31.



Figura 8. Imatge dels quadres F29-30 en la qual es pot apreciar el límit entre el dipòsit atribuït al conjunt B i el sediment bioturbat i granulós que hem atribuït al nivell Sup.



Figura 9. Imatge del quadre F29 en la qual es poden observar les importants bioturbacions que afecten aquest sector del jaciment.



Figura 10. Sostre de la unitat estratigràfica B1.1.



Figura 11. Imatge de la UA3 documentada en el nivell B1.1 al quadre E32. Es pot observar el sediment argilós ataronjat i les taques de sediment blanquinós que interpretem com cendres.



Figura 12. Vista general de l'àrea excavada en finalitzar la campanya de 2016.

3.- LA INDÚSTRIA LÍTICA

Durant la campanya del 2016 s'han comptabilitzat un total de 1176 restes lítiques, la distribució de les quals per categories estructurals i nivells arqueològics es pot veure a la Taula 1. Les peces es distribueixen entre les diferents unitats estratigràfiques excavades en aquesta campanya (Sup, A, B1 i B1.1), encara que la majoria de les restes (el 70,2%) corresponen al nivell B1, seguit del nivell B1.1 (18,2%). Les unitats Sup i A compten amb molt pocs efectius. Hi ha també un petit conjunt de peces, recuperades durant la rectificació dels talls oest i nord-oest, que no han estat assignades a cap nivell arqueològic. En general, no hem inclòs en aquest estudi les peces no coordinades, recollides durant el procés d'excavació o en el rentat dels sediments i que corresponen generalment a artefactes de petites dimensions. D'aquest conjunt no coordinat, només les peces particularment significatives –artefactes retocats o peces especialment diagnòstiques des del punt de vista tecnològic– han estat incorporades en l'inventari i incloses en aquest estudi. El mètode d'anàlisi ja ha estat exposat en altres memòries d'excavació i no creiem necessari tornar a incidir-hi. La distribució de les restes lítiques per categories estructurals mostra les mateixes tendències observades fins ara als conjunts lítics del Molí del Salt, amb un predomini de les ascles i dels fragments d'ascla. Els nuclis són molt escassos (només el 2,1%), mentre

que els artefactes retocats estan prou ben representats, amb un percentatge global del 17,2%. Cal remarcar el fet que aquests percentatges es mantenen molt estables al llarg de les diferents campanyes d'excavació, la qual cosa suggereix que depenen de factors estructurals relacionats amb la localització del jaciment i l'ús que d'ell en van fer els humans.

	Bases naturals	Nuclis	Ascles	Ascles fragmentades	Fragments d'ascla	Artefactes retocats	Total
Sup	3 8,3%		13 36,1%	2 5,5%	8 22,2%	10 27,7%	36 100%
A	5 6,1%	5 6,1%	23 28,4%	7 8,6%	28 34,5%	13 16%	81 100%
B1	24 2,9%	12 1,4%	276 33,4%	86 10,4%	292 35,3%	136 16,4%	826 100%
B1.1	14 6,5%	8 3,7%	65 30,3%	20 9,3%	66 30,8%	41 19,1%	214 100%
Perfil W			2 50%		1 25%	1 25%	4 100%
Perfil NW	1 6,6%		8 53,3%	1 6,6%	3 20%	2 13,3%	15 100%
Total	47 4%	25 2,1%	387 33%	116 9,8%	398 33,8%	203 17,2%	1176 100%

Taula 1. Distribució de les restes lítiques per categories estructurals i nivells arqueològics.

	Sílex	Calcària	Esquist	Granit	Gres	Total
Bases naturals	1 2,1%	29 61,7%	13 27,6%	2 4,2%	2 4,2%	47 100%
Nuclis	22 88%	3 12%				25 100%
Ascles	380 98,2%	5 1,3%	2 0,5%			387 100%
Ascles fragmentades	115 99,1%	1 0,9%				116 100%
Fragments d'ascla	391 98,2%	7 1,8%				398 100%
Artefactes retocats	202 99,5%	1 0,5%				203 100%
Total	1111 94,4%	46 4%	15 1,2%	2 0,2%	2 0,2%	1176 100%

Taula 2. Distribució de les restes lítiques per matèries primeres i categories estructurals.

A la Taula 2 es pot observar la distribució per matèries primeres i categories estructurals. Com és habitual al Molí del Salt, el sílex és àmpliament la matèria primera més representada, amb el 94,4% de les restes lítiques. Aquest domini és encara més marcat si tenim en compte només els productes derivats de la talla. En aquest cas el

sílex és el material emprat d'una manera gairebé exclusiva, detectant-se només algunes restes en calcària i esquist, les quals en alguns casos podrien ser subproductes resultants de l'ús de còdols d'aquests materials com a percussors. Com ja va passar a les campanyes anteriors, crida l'atenció la presència significativa de nuclis de calcària. Tanmateix, es tracta de nuclis que responen a una estratègia molt expeditiva i poc productiva. El sílex és dominant a totes les unitats arqueològiques.

Les Bases naturals

Com ja va passar l'any 2015, el nombre de Bases naturals recuperat a la campanya del 2016 ha estat prou important. En memòries anteriors ja hem comentat les dificultats que comporta identificar les Bases naturals al Molí del Salt, donada la gran quantitat de còdols despresos de les parets de l'abric al dipòsit sedimentari. De fet, la majoria dels còdols recollits no mostren cap evidència de manipulació antròpica i per tant no han estat inclosos en aquesta categoria. Cal recordar a més a més que la majoria de les restes estan recobertes de concrecions calcàries. Això dificulta la identificació dels estigmes relacionats amb la manipulació antròpica, ja que la neteja d'aquests elements s'ha de fer de forma manual.

Com és habitual al Molí del Salt, la majoria de les Bases naturals trobades al Molí del Salt corresponen a dues categories litològiques i morfològiques: còdols arrodonits de calcària i plaques d'esquist. Els estigmes d'ús més freqüents són els relacionats amb la utilització d'aquests elements com a percussors o superfícies de treball: pseudoextraccions, marques de percussió i piquetejats. Vint-i-una de les peces recuperades aquesta campanya presenten aquest tipus d'estigmes. Tanmateix, cal destacar el relativament elevat nombre de peces ($n = 16$) que mostren impregnacions de color vermell i que podrien estar relacionades amb el processament dels colorants. A més a més, dues peces (dues plaques d'esquist) van servir de suport per representacions d'art moble. D'aquestes dues peces en parlarem amb més detall a l'apartat dedicat a l'art moble. A més a més, en altres sis peces s'han identificat línies gravades aïllades, si bé no s'ha pogut reconèixer cap motiu figuratiu o esquemàtic.

Els nuclis

Com ja hem comentat més amunt i com és habitual al Molí del Salt, el percentatge de nuclis és força reduït. Com també és la norma al Molí del Salt, la majoria dels nuclis són de sílex, si bé en aquesta campanya s'han identificat també tres nuclis en calcària. Tanmateix, el reduït nombre d'efectius ens obliga a ser prudents alhora de valorar les dades quantitatives que presentarem a continuació. En primer lloc, cal destacar la importància que assoleixen els nuclis sobre ascla, els quals, a diferència del que és habitual al Molí del Salt, són dominants (14 dels 25 nuclis identificats). Des del punt de vista volumètric, s'observa una marcada variabilitat. Els nuclis de format petit són el més abundants ($n = 8$), però els nuclis mitjans ($n = 5$), grans ($n = 6$) i molt grans ($n = 5$) estan ben representats i amb valors numèrics molt similars. En aquest sentit, s'aprecia una diferència amb respecte a la campanya de 2015, en la qual els nuclis molt grans eren els més freqüents, encara que cal tenir present el reduït nombre d'efectius amb el que estem treballant. La major part dels nuclis de dimensions molt grans estan en una fase inicial d'explotació. En canvi, la fase d'explotació plena mostra la variabilitat volumètrica més marcada, amb nuclis corresponents als formats molt gran, gran i mitjà.

Si ens limitem als nuclis que mostren una estratègia de talla ben definida, destaquen els nuclis orientats a la producció d'elements allargats, encara que no estrictament laminars. Dins d'aquest grup, es poden diferenciar diferents estratègies: unipolar, bipolar amb plans de percussió oposats i bipolars amb plans de percussió disposats de forma ortogonal. Tanmateix, els nuclis unipolars són clarament dominants, amb 7 dels 25 nuclis identificats. Com ja hem comentat en memòries anteriors, hi ha una escassa representació dels nuclis estrictament laminars. Només dos nuclis mostren negatius que indiquen una obtenció recurrent de productes laminars, la qual cosa contrasta amb la presència d'un percentatge significatiu de làmines i laminetes en el conjunt. Això vol dir que les produccions laminars es van portar a terme fora de l'àrea excavada o que les fases finals d'explotació dels nuclis han esborrat les evidències de fases d'explotació laminar anteriors. Cal destacar la troballa de dos nuclis bifacials de producció d'ascles, un dels quals amb una estructura discoïdal.

Com també és habitual al Molí del Salt, hi ha una forta presència de nuclis que responen a una estratègia expeditiva, caracteritzada per l'absència d'una estructuració volumètrica ben definida i un nombre reduït d'extraccions. Tretze dels vint-i-cinc nuclis

responen a aquest comportament. És el cas dels nuclis en calcària, que mostren una talla unipolar i habitualment responen a aquest tipus de talla expeditiva, però també d'alguns nuclis de sílex. Dins d'aquest nuclis de sílex expeditius s'han de distingir tres classes: a) nuclis en fase d'exploració inicial; b) nuclis polièdrics amb aixecaments realitzats des de diferents plans de percussió; i c) nuclis sobre ascla que mostren un nombre molt reduït d'extraccions de petit format a partir d'una de les cares del suport. També es poden relacionar amb un comportament expeditiu els nuclis que mostren fenòmens de reciclatge, si bé a la campanya de 2016 només hem trobat un nucli que van ser tallat després d'haver patit una alteració per efecte del foc. Aquest nucli mostra una producció poc desenvolupada d'elements de format molt petit.

Les ascles

Els resultats de l'estudi tipomètric de les ascles es pot veure a les taules 3-6. Les mesures de tendència central (Taula 3) i la distribució per mòduls volumètrics (Taula 4) mostren clarament el predomini de les ascles de petit format. Els dos mòduls més petits (1 i 2) són els més representats i en conjunt superen la meitat dels efectius (58,9%). Per contra, les ascles grans i molt grans (mòduls 7 a 9) assoleixen en conjunt només el 7,3% del total. Aquests percentatges són similars als assolits en campanyes anteriors, si bé el percentatge de peces grans i molt grans és gairebé el doble del que es va registrar l'any 2015. Tampoc hi ha diferències importants pel que fa als índexs d'allargament i carenat. La mitjana de l'índex d'allargament és de 1.59 i la distribució per mòduls (Taula 5) indica un predomini dels mòduls no laminars (L3, L4 i L2). En conjunt, les làmines (mòduls L5 a L9) assoleixen un percentatge del 22,9%, similar a l'enregistrat l'any passat. Finalment, l'índex de carenat presenta una mitjana de 3.35 i els mòduls més representats són el C3 i el C4, que conjuntament superen el 60% dels efectius (Taula 6).

Nivell		Long	Amp	Gru	IA	IC
A	Media	26,78	18,30	6,30	1,6383	3,0601
	N	23	23	23	23	23
	Desv. típ.	12,266	9,305	3,735	,86625	1,10042
B1	Media	27,77	18,68	6,51	1,6183	3,3378
	N	276	276	276	276	276
	Desv. típ.	13,936	8,590	4,620	,79594	1,70761
B1.1	Media	24,75	17,58	5,88	1,5114	3,3894
	N	65	65	65	65	65
	Desv. típ.	10,241	6,067	3,095	,63818	1,91514
Perfil NW	Media	28,00	22,13	6,25	1,3971	4,3101
	N	8	8	8	8	8
	Desv. típ.	6,302	10,302	4,062	,41785	2,39558
Perfil W	Media	27,00	17,50	6,50	1,5900	2,9167
	N	2	2	2	2	2
	Desv. típ.	14,142	10,607	4,950	,15556	,58926
Sup	Media	34,15	21,77	6,62	1,5669	3,5274
	N	13	13	13	13	13
	Desv. típ.	21,271	9,435	3,015	,71026	1,54929
Total	Media	27,42	18,64	6,39	1,5951	3,3543
	N	387	387	387	387	387
	Desv. típ.	13,508	8,329	4,277	,76358	1,72065

Taula 3. Mesures de tendència central i de dispersió de les variables i índexs tipomètrics de les ascles.

Nivell	A	Format								Total	
		1	2	3	4	5	6	7	8		9
A		7	7	5	2	0	0	0	1	1	23
		30,4%	30,4%	21,7%	8,7%	,0%	,0%	,0%	4,3%	4,3%	100%
B1		78	85	47	24	13	8	10	5	6	276
		28,3%	30,8%	17,0%	8,7%	4,7%	2,9%	3,6%	1,8%	2,2%	100%
B1.1		16	26	14	5	2	1	1	0	0	65
		24,6%	40,0%	21,5%	7,7%	3,1%	1,5%	1,5%	,0%	,0%	100%
Perfil NW		1	2	4	0	0	0	1	0	0	8
		12,5%	25,0%	50,0%	,0%	,0%	,0%	12,5%	,0%	,0%	100%
Perfil W		1	0	0	1	0	0	0	0	0	2
		50,0%	,0%	,0%	50,0%	,0%	,0%	,0%	,0%	,0%	100%
Sup		2	3	4	1	0	0	1	0	2	13
		15,4%	23,1%	30,8%	7,7%	,0%	,0%	7,7%	,0%	15,4%	100%
Total		105	123	74	33	15	9	13	6	9	387
		27,1%	31,8%	19,1%	8,5%	3,9%	2,3%	3,4%	1,6%	2,3%	100%

Taula 4. Distribució de les ascles per formats volumètrics.

		Modal							Total	
		L1	L2	L3	L4	L5	L6	L7		L9
Nivell	A	0 ,0%	5 21,7%	8 34,8%	4 17,4%	4 17,4%	1 4,3%	0 ,0%	1 4,3%	23 100%
	B1	3 1,1%	60 21,7%	79 28,6%	67 24,3%	36 13,0%	20 7,2%	8 2,9%	3 1,1%	276 100%
	B1.1	1 1,5%	13 20,0%	26 40,0%	13 20,0%	4 6,2%	7 10,8%	1 1,5%	0 ,0%	65 100%
	Perfil NW	0 ,0%	2 25,0%	3 37,5%	2 25,0%	1 12,5%	0 ,0%	0 ,0%	0 ,0%	8 100%
	Perfil W	0 ,0%	0 ,0%	1 50,0%	1 50,0%	0 ,0%	0 ,0%	0 ,0%	0 ,0%	2 100%
	Sup	0 ,0%	5 38,5%	1 7,7%	4 30,8%	0 ,0%	3 23,1%	0 ,0%	0 ,0%	13 100%
	Total	4 1,0%	85 22,0%	118 30,5%	91 23,5%	45 11,6%	31 8,0%	9 2,3%	4 1,0%	387 100%

Taula 5. Distribució de les ascles per mòduls d'allargament.

		Modca								Total	
		C1	C2	C3	C4	C5	C6	C7	C8		C9
Nivell	A	0 ,0%	5 21,7%	10 43,5%	3 13,0%	4 17,4%	1 4,3%	0 ,0%	0 ,0%	0 ,0%	23 100%
	B1	1 ,4%	50 18,1%	108 39,1%	58 21,0%	27 9,8%	14 5,1%	7 2,5%	5 1,8%	6 2,2%	276 100%
	B1.1	0 ,0%	13 20,0%	20 30,8%	19 29,2%	6 9,2%	3 4,6%	3 4,6%	0 ,0%	1 1,5%	65 100%
	Perfil NW	0 ,0%	1 12,5%	2 25,0%	2 25,0%	1 12,5%	0 ,0%	0 ,0%	2 25,0%	0 ,0%	8 100%
	Perfil W	0 ,0%	0 ,0%	1 50,0%	1 50,0%	0 ,0%	0 ,0%	0 ,0%	0 ,0%	0 ,0%	2 100%
	Sup	0 ,0%	1 7,7%	5 38,5%	4 30,8%	1 7,7%	1 7,7%	0 ,0%	1 7,7%	0 ,0%	13 100%
	Total	1 ,3%	70 18,1%	146 37,7%	87 22,5%	39 10,1%	19 4,9%	10 2,6%	8 2,1%	7 1,8%	387 100%

Taula 6. Distribució de les ascles per nivells arqueològics i mòduls de carenat.

L'anàlisi morfològica es reflecteix a les taules 7-13. Pel que fa a les característiques dels talons, predominen clarament els no corticals, encara que els corticals assoleixen un percentatge significatiu del 7,2% (Taula 7), en la línia del que ha estat habitual en altres campanyes d'excavació. Els talons tipus plataforma són dominants (70%), encara que els puntiformes i els lineals tenen una bona representació (Taula 8). La preparació dels talons mostra un predomini marcat de la modalitat unifacetada (Taula 9), amb un percentatge del 85%, mentre que la delineació (Taula 10) es caracteritza pel domini dels talons rectes (81,9%). Pel que fa a la presència de còrtex a les cares dorsals, hi ha un 35,1% de restes corticals, un percentatge que, segons les dades obtingudes en altres jaciments i les proporcionades per l'experimentació, és una mica més baix del que caldria esperar si tota la cadena operativa s'hagués desenvolupat

al jaciment. Aquest percentatge està en la línia dels enregistrats en campanyes d'excavació anteriors, el que ens indica una certa constància temporal en aquest aspecte del comportament tecno-econòmic. Finalment, les cares ventrals es caracteritzen per presentar bulbs de percussió marcats (78,3%), mentre que les delineacions mostren el predomini de la modalitat recta (49,6%), si bé les còncaves i les convexes presenten percentatges prou significatius.

		Nivell						Total
		A	B1	B1.1	Perfil NW	Perfil W	Sup	
ctal	c	2	22	3	0	0	1	28
		8,7%	8,0%	4,6%	,0%	,0%	7,7%	7,2%
	nc	21	254	62	8	2	12	359
		91,3%	92,0%	95,4%	100,0%	100,0%	92,3%	92,8%
Total		23	276	65	8	2	13	387
		100,0%	100,0%	100,0%	100,0%	100,0%	100,0%	100,0%

Taula 7. Ascles. Corticalitat dels talons.

		Nivell						Total
		A	B1	B1.1	Perfil NW	Perfil W	Sup	
ttal	lin	6	51	15	1	1	2	76
		26,1%	18,5%	23,1%	12,5%	50,0%	15,4%	19,6%
	pla	16	198	41	6	1	9	271
		69,6%	71,7%	63,1%	75,0%	50,0%	69,2%	70,0%
	pun	1	27	9	1	0	2	40
		4,3%	9,8%	13,8%	12,5%	,0%	15,4%	10,3%
Total		23	276	65	8	2	13	387
		100,0%	100,0%	100,0%	100,0%	100,0%	100,0%	100,0%

Taula 8. Ascles. Tipus de taló.

		Nivell						Total
		A	B1	B1.1	Perfil NW	Perfil W	Sup	
ptal	bf	2	17	5	2	0	0	26
		8,7%	6,2%	7,7%	25,0%	,0%	,0%	6,7%
	mf	1	4	0	0	0	0	5
		4,3%	1,4%	,0%	,0%	,0%	,0%	1,3%
	nf	2	21	3	0	0	1	27
		8,7%	7,6%	4,6%	,0%	,0%	7,7%	7,0%
	uf	18	234	57	6	2	12	329
		78,3%	84,8%	87,7%	75,0%	100,0%	92,3%	85,0%
Total		23	276	65	8	2	13	387
		100,0%	100,0%	100,0%	100,0%	100,0%	100,0%	100,0%

Taula 9. Ascles. Preparació dels talons.

		Nivell						Total
		A	B1	B1.1	Perfil NW	Perfil W	Sup	
dtal	cc	1	9	1	0	0	0	11
			4,3%	3,3%	1,5%	,0%	,0%	,0%
	cx	2	23	5	1	0	0	31
			8,7%	8,3%	7,7%	12,5%	,0%	,0%
	rt	17	226	54	5	2	13	317
		73,9%	81,9%	83,1%	62,5%	100,0%	100,0%	81,9%
sin	1	0	0	0	0	0	1	
	4,3%	,0%	,0%	,0%	,0%	,0%	,3%	
ua	2	18	5	2	0	0	27	
		8,7%	6,5%	7,7%	25,0%	,0%	,0%	7,0%
Total		23	276	65	8	2	13	387
		100,0%	100,0%	100,0%	100,0%	100,0%	100,0%	100,0%

Taula 10. Ascles. Delineació dels talons.

		Nivell						Total
		A	B1	B1.1	Perfil NW	Perfil W	Sup	
ccd	1	19	174	39	7	2	10	251
			82,6%	63,0%	60,0%	87,5%	100,0%	76,9%
	2	0	2	2	0	0	0	4
		,0%	,7%	3,1%	,0%	,0%	,0%	1,0%
	3	2	65	21	1	0	3	92
	8,7%	23,6%	32,3%	12,5%	,0%	23,1%	23,8%	
4	2	35	3	0	0	0	40	
	8,7%	12,7%	4,6%	,0%	,0%	,0%	10,3%	
Total		23	276	65	8	2	13	387
		100,0%	100,0%	100,0%	100,0%	100,0%	100,0%	100,0%

Taula 11. Ascles. Corticalitat de les cares dorsals.

		Nivell						Total
		A	B1	B1.1	Perfil NW	Perfil W	Sup	
bul	d	7	56	20	0	0	1	84
		30,4%	20,3%	30,8%	,0%	,0%	7,7%	21,7%
m		16	220	45	8	2	12	303
		69,6%	79,7%	69,2%	100,0%	100,0%	92,3%	78,3%
Total		23	276	65	8	2	13	387
		100,0%	100,0%	100,0%	100,0%	100,0%	100,0%	100,0%

Taula 12. Ascles. Bulb de percussió.

		Nivell						Total
		A	B1	B1.1	Perfil NW	Perfil W	Sup	
dcv	cc	8	83	21	2	1	5	120
			34,8%	30,1%	32,3%	25,0%	50,0%	38,5%
	cx	4	46	14	1	1	2	68
			17,4%	16,7%	21,5%	12,5%	50,0%	15,4%
	rt	11	141	30	5	0	5	192
	47,8%	51,1%	46,2%	62,5%	,0%	38,5%	49,6%	
sin	0	6	0	0	0	1	7	
	,0%	2,2%	,0%	,0%	,0%	7,7%	1,8%	
Total		23	276	65	8	2	13	387
		100,0%	100,0%	100,0%	100,0%	100,0%	100,0%	100,0%

Taula 13. Ascles. Delineació de les cares ventrals.

Els artefactes retocats

Dels 203 artefactes retocats recuperats durant la campanya del 2016, 72 (el 35,4%) tenien com a suport un ascla sencera i, per tant, han estat inclosos en l'estudi tipomètric. Els resultats d'aquest estudi es poden veure a les taules 14-17. Pel que fa als grups volumètrics, el més representat és el 3 (23,6%), seguit del 2 (22,2%). Encara que la distribució general per mòduls volumètrics i les mitjanes de les dimensions (Taula 14) indiquen un lleuger increment de mides amb respecte a les ascles sense retocar, els mòduls petits (3-4) i molt petits (1-2) continuen sent clarament els més representats, arribant conjuntament al 72,2% de les peces. Els suports grans i molt grans (7 a 9) representen el 11,1%, per sobre del 7,3% que registraven entre les ascles. L'índex d'allargament és una mica superior al de les ascles sense retocar, amb una mitjana d'1.6. El percentatge de suports laminars arriba al 13,9%, sensiblement inferior al que mostraven les ascles sense retocar. Tanmateix, cal recordar que els suports laminars estan subrepresentats en la mostra d'artefactes retocats, ja que la majoria dels elements de dors, en estar configurats sobre fragments de làmina, no han estat inclosos en l'estudi tipomètric. Si aquest artefactes haguessin estat considerats, la proporció de suports laminars de les peces retocades s'hauria incrementat considerablement. La mitjana de l'índex de carenat és de 3.05, inferior a la de les ascles sense retocar. Pel que fa a la distribució per mòduls, els més espessos (C2-C4) agrupen al 86,5% dels efectius.

Nivell		Long	Amp	Gruix	IA	IC
A	Media	30,00	22,00	5,00	1,3636	4,4000
	N	1	1	1	1	1
	Desv. típ.
B1	Media	33,34	21,98	7,68	1,5983	3,1539
	N	53	53	53	53	53
	Desv. típ.	13,582	7,887	3,652	,56329	1,05523
B1.1	Media	34,75	23,17	9,33	1,7131	2,6386
	N	12	12	12	11	11
	Desv. típ.	10,763	7,408	5,245	,80544	,99999
Perfil NW	Media	33,00	24,00	14,00	1,3750	1,7143
	N	1	1	1	1	1
	Desv. típ.
Sup	Media	25,40	16,00	5,60	1,6080	2,8733
	N	5	5	5	5	5
	Desv. típ.	11,480	3,808	1,517	,61869	,77070
Total	Media	32,97	21,79	7,86	1,6104	3,0516
	N	72	72	72	71	71
	Desv. típ.	12,856	7,593	3,944	,59472	1,04523

Taula 14. Mesures de tendència central i dispersió de les variables i índexs tipomètrics dels artefactes retocats.

	Format									Total
	1	2	3	4	5	6	7	8	9	
Nivell A	0 ,0%	0 ,0%	1 100%	0 ,0%	0 ,0%	0 ,0%	0 ,0%	0 ,0%	0 ,0%	1 100%
B1	7 13,2%	12 22,6%	12 22,6%	5 9,4%	5 9,4%	5 9,4%	4 7,5%	2 3,8%	1 1,9%	53 100%
B1.1	1 8,3%	1 8,3%	4 33,3%	3 25,0%	1 8,3%	1 8,3%	1 8,3%	0 ,0%	0 ,0%	12 100%
Perfil NW	0 ,0%	0 ,0%	0 ,0%	1 100%	0 ,0%	0 ,0%	0 ,0%	0 ,0%	0 ,0%	1 100%
Sup	1 20,0%	3 60,0%	0 ,0%	1 20,0%	0 ,0%	0 ,0%	0 ,0%	0 ,0%	0 ,0%	5 100%
Total	9 12,5%	16 22,2%	17 23,6%	10 13,9%	6 8,3%	6 8,3%	5 6,9%	2 2,8%	1 1,4%	72 100%

Taula 15. Distribució dels artefactes retocats per formats volumètrics.

	Modal							Total
	L2	L3	L4	L5	L6	L7	L8	
Nivell A	0 ,0%	1 100%	0 ,0%	0 ,0%	0 ,0%	0 ,0%	0 ,0%	1 100%
B1	3 5,7%	22 41,5%	21 39,6%	3 5,7%	2 3,8%	2 3,8%	0 ,0%	53 100%
B1.1	2 16,7%	3 25,0%	5 41,7%	1 8,3%	0 ,0%	0 ,0%	1 8,3%	12 100%
Perfil NW	0 ,0%	1 100%	0 ,0%	0 ,0%	0 ,0%	0 ,0%	0 ,0%	1 100%
Sup	1 20,0%	2 40,0%	1 20,0%	1 20,0%	0 ,0%	0 ,0%	0 ,0%	5 100%
Total	6 8,3%	29 40,3%	27 37,5%	5 6,9%	2 2,8%	2 2,8%	1 1,4%	72 100%

Taula 16. Distribució dels artefactes retocats per mòduls d'allargament.

	Modca						Total
	C2	C3	C4	C5	C6	C7	
Nivell A	0 ,0%	0 ,0%	0 ,0%	1 100%	0 ,0%	0 ,0%	1 100%
B1	4 7,5%	25 47,2%	17 32,1%	4 7,5%	1 1,9%	2 3,8%	53 100%
B1.1	3 25,0%	5 41,7%	2 16,7%	2 16,7%	0 ,0%	0 ,0%	12 100%
Perfil NW	1 100%	0 ,0%	0 ,0%	0 ,0%	0 ,0%	0 ,0%	1 100%
Sup	1 20,0%	2 40,0%	2 40,0%	0 ,0%	0 ,0%	0 ,0%	5 100%
Total	9 12,5%	32 44,4%	21 29,2%	7 9,7%	1 1,4%	2 2,8%	72 100%

Taula 17. Distribució dels artefactes retocats per mòduls de carenat.

Dels 203 artefactes retocats recuperats durant la campanya del 2015, 4 peces presentaven dos tipus primaris, amb la qual cosa el total de tipus primaris arribaria a 207. D'aquests, 10 corresponen a fragments d'artefactes difícils de classificar des del punt de vista tipològic. Per tant, l'estudi tipològic que presentarem a continuació s'ha realitzat sobre un total de 197 tipus primaris. El retoc simple és clarament predominant, com es pot observar a la taula 18. Els artefactes amb retoc simple representen el 69,5% del total, mentre que el retoc abrupte arriba al 28,4%. El baix nombre d'evidències recuperades a la majoria de les unitats estratigràfiques impedeix fer valoracions sobre possibles canvis diacrònics. Destaca d'aquesta campanya la total absència dels *ecaillés* i la presència, encara que testimonial, dels burins.

La distribució per grups tipològics (Taula 19) posa de manifest al marcat predomini dels gratadors, que representen un 37% dels artefactes retocats. Es tracta principalment de gratadors frontals simples (G11), encara que els gratadors ogivals (G21), els gratadors amb retoc lateral (G12) i els gratadors a musell (G22) també estan ben representats (Taula 20). De la resta de grups de retoc simple, destaca el percentatge que assoleixen els denticulats (21,3%) i els simples indiferenciats (8,6%). Entre els denticulats, els tipus primaris més habituals són l'osca (D21) i la rascadora denticulada (D23).

	Sup	A	B1	B1.1	Perfil NW	Perfil W	Total
S	6 60%	7 58,3%	97 72,9%	25 64,1%	2 100%		137 69,5%
A	4 40%	5 41,7%	34 25,5%	12 30,7%		1 100%	56 28,4%
B			2 1,5%	2 5,1%			4 2%
Total	10 100%	12 100%	133 100%	39 100%	2 100%	1 100%	197 100%

Taula 18. Distribució dels tipus primaris per mode de retoc i unitats estratigràfiques.

Els únics grups tipològics de retoc abrupte que mostren una representació significativa són les làmines de dors. En conjunt, els elements de dors (puntes i làmines) assoleixen un 19,2% del artefactes retocats. El grau de variabilitat tipològica d'aquests elements és força reduït. A banda dels elements de dors, els únics grups tipològics documentats són els abruptes indiferenciats, els perforadors i les truncadures, tots ells amb percentatges per sota del 4-5%. Com ja vam comentar en campanyes anteriors, crida l'atenció el baix percentatge de les truncadures a les unitats del conjunt B. Cal

recordar que en el sondeig de l'any 1999, aquest grup assolia valors al voltant del 20% en aquest conjunt. Aquesta contradicció entre les dades del sondeig i les dades que estem obtenint a les últimes campanyes s'haurà d'intentar explicar a mesura que aprofundim en l'excavació del conjunt B.

	Sup	A	B1	B1.1	Perfil NW	Perfil W	Total
A	1 10%	1 8,3%	4 3%	2 5,1%			8 4%
B			2 1,5%	2 5,1%			4 2%
Bc		1 8,3%	3 2,2%	1 2,5%			5 2,5%
D	1 10%		33 24,8%	8 20,5%			42 21,3%
G	4 40%	5 41,6%	53 39,8%	9 23%	2 100%		73 37%
LD	2 20%	3 25%	18 13,5%	5 12,8%		1 100%	29 14,7%
P			2 1,5%				2 1%
PD			6 4,5%	3 7,7%			9 4,5%
R			1 0,7%	2 5,1%			3 1,5%
Sind	1 10%	2 16,6%	8 6%	6 15,3%			17 8,6%
T	1 10%		3 2,2%	1 2,5%			5 2,5%
Total	10 100%	12 100%	133 100%	39 100%	2 100%	1 100%	197 100%

Taula 19. Distribució dels artefactes retocats per grups tipològics.

En general, el conjunt retocat recuperat a la campanya del 2016 respon a les tendències observades en campanyes anteriors: clar predomini dels gratadors i presència significativa dels elements de dors. L'absència dels burins és consistent amb els baixos percentatges assolits habitualment per aquest grup tipològic. En general, els percentatges assolits pels principals grups tipològics són similars als documentats a les campanyes immediatament anteriors. El que indicarien aquestes dades és que ens trobem davant d'unes tendències de llarga durada, que s'havien mantingut amb petites variacions al llarg de tot el conjunt A, però que s'aprecien també al sostre del conjunt B, sense que s'observin de moment diferències significatives. Tanmateix, el més destacat d'aquest conjunt és que encara no s'aprecia l'elevada presència de truncadures que definia el conjunt B al sondeig de l'any 1999. Aquest fet ja es va assenyalar a les

campanyes de 2013-2015, en les quals les truncadures estaven presents al conjunt B, però amb valors més baixos dels esperats.

	Sup	A	B1	B1.1	Perfil NW	Perfil W	Total
A1		1					1
A2	1		4	2			7
B12			1	1			2
B23				1			1
B4			1				1
Bc1			3				3
Bc2		1		1			2
D13			1				1
D21			9	4			13
D22			1				1
D23			20	3			23
D24	1		2				3
D25				1			1
G11	3	2	27	5	1		38
G12	1	2	8	2	1		14
G13			1				1
G21		1	6				7
G22			11	2			13
LD11			2				2
LD21	2	3	16	5		1	27
P11			1				1
P21			1				1
PD23			4	3			7
PD25			2				2
R11				1			1
R21			1	1			2
Sind	1	2	8	6			17
T21			1				1
T22	1		2	1			4
Total	10	12	133	39	2	1	197

Taula 20. Distribució dels artefactes retocats per tipus primaris i unitats estratigràfiques.



Figura 1. Placa d'esquist amb cúpules a la part central produïdes per l'ús de la peça com a superfície de treball.



Figura 2. Placa d'esquist amb nombroses marques de percussió derivades de l'ús de la pesa com a element actiu.



Figura 3. Nuclis.

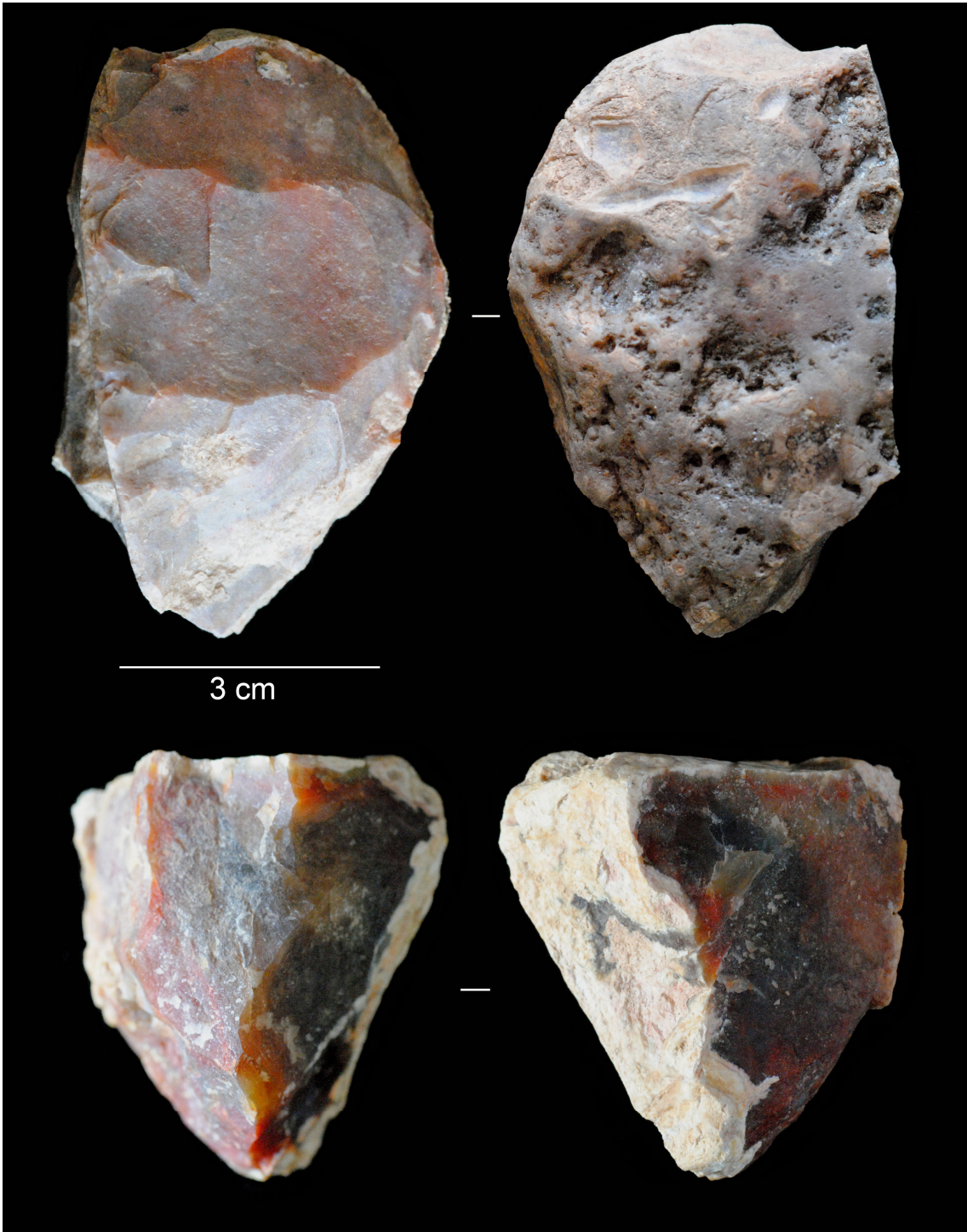


Figura 4. Nuclis.

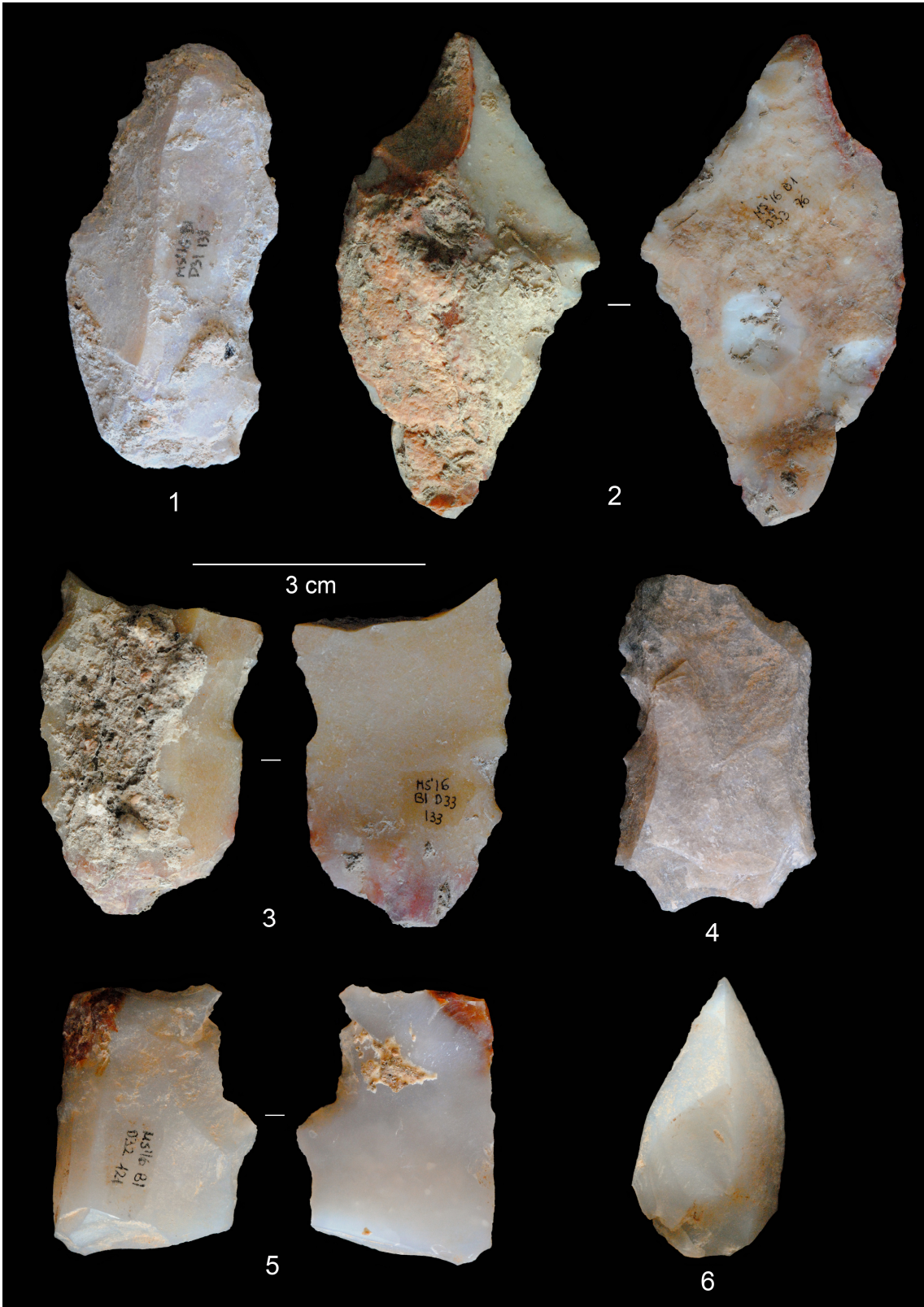


Figura 5. Artefactes retocats.



Figura 6. Artefactes retocats.

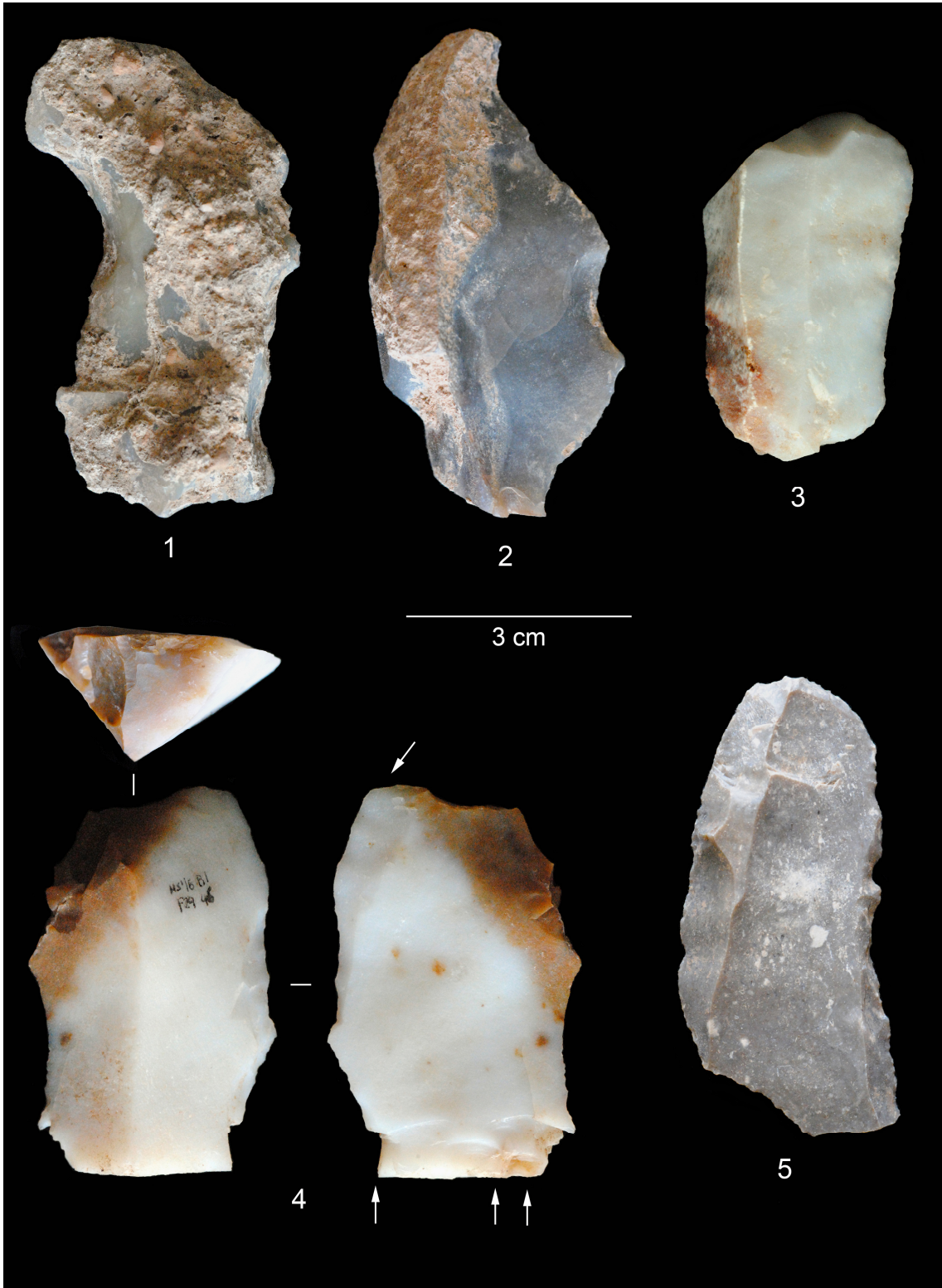


Figura 7. Artefactes retocats.

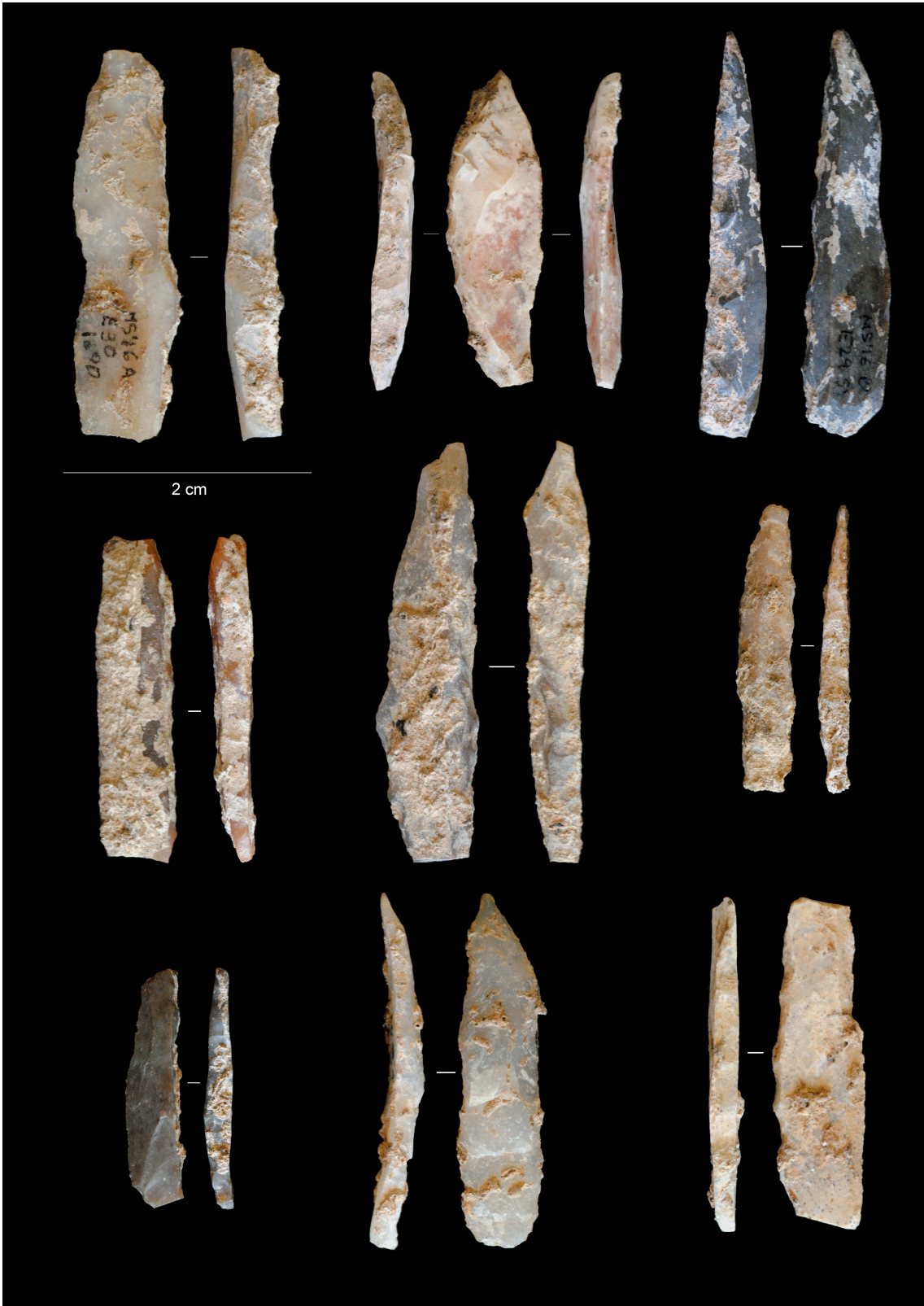


Figura 8. Artefactes retocats. Elements de dors.



Figura 9. Artefactes retocats. Microdorsos.

Bases naturals

Any	Nivell	Quad	Num	Material	Subtipus	Long	Amp	Gru	Area	Format	Crem	Observacions
2016	A	D32	2140	Sílex	B-C	120	90	80	10800	9		Marques de percussió
2016	A	D32	2168	Esquist	B	205	170	30	34850	9		Marques de percussió
2016	A	D32	2169	Esquist	B	205	170	70	34850	9		Gravats
2016	A	D32	2178	Calcària	B	85	55	25	4675	9		Possibles restes de pigment vermell
2016	A	E32	769	Calcària	B-C	80	70	35	5600	9		Marques de percussió
2016	B1	D29	9	Calcària	B	95	55	50	5225	9		Restes de pigment vermell
2016	B1	D29	87	Calcària	B-C	60	60	40	3600	9		Marques de percussió
2016	B1	D29	254	Esquist	B	70	63	30	4410	9		Possibles restes de pigment vermell
2016	B1	D30	47	Calcària	B-C	106	52	51	5512	9		Marques de percussió
2016	B1	D31	73	Esquist	B	160	125	110	20000	9		Gravats
2016	B1	D32	87	Esquist	B-C	80	70	15	5600	9		Piquetejat
2016	B1	D32	99	Calcària	B	60	60	25	3600	9		Possibles restes de pigment vermell
2016	B1	D33	39	Calcària	B	100	70	55	7000	9		Possibles restes de pigment vermell
2016	B1	D33	92	Calcària	B	70	60	35	4200	9		Possibles restes de pigment vermell
2016	B1	D33	234	Calcària	B-C	140	90	80	12600	9		Marques de percussió
2016	B1	E29	84	Gres	B	130	110	25	14300	9		Restes de pigment vermell. És un còdol
2016	B1	E30	124	Calcària	B-C	70	50	46	3500	9		Marques de percussió
2016	B1	E30	147	Gres	B	100	80	15	8000	9		Marques de percussió. És un còdol
2016	B1	E30	199	Calcària	B-C	110	90	50	9900	9		Marques de percussió
2016	B1	E31	13	Calcària	B-C	90	89	50	8010	9		Pseudoextraccions
2016	B1	E32	26	Calcària	B	100	60	50	6000	9		Restes de pigment vermell
2016	B1	E33	96	Esquist	B	110	100	15	11000	9		Possibles restes de pigment vermell
2016	B1	F29	38	Esquist	A	400	280	20	112000	9		
2016	B1	F29	63	Esquist	B-C	73	70	10	5110	9		Possible gravat
2016	B1	F29	79	Calcària	B-C	74	46	40	3404	9		Marques de percussió
2016	B1	F30	21	Esquist	B-C	105	80	27	8400	9		Possible gravat
2016	B1	F30	46	Esquist	B	260	190	60	49400	9		Gravats
2016	B1	F30	147	Calcària	B-C	95	60	35	5700	9		Marques de percussió
2016	B1	F31	5	Calcària	B-C	70	60	30	4200	9		Possibles restes de pigment vermell
2016	B1.1	D32	43	Esquist	B-C	92	64	13	5888	9		Fragment de placa amb gravats
2016	B1.1	D32	66	Calcària	B-C	90	50	40	4500	9		Marques de percussió
2016	B1.1	D33	2	Calcària	B-C	90	70	48	6300	9		Marques de percussió
2016	B1.1	D33	43	Calcària	B	75	60	30	4500	9		Taques fosques molt localitzades
2016	B1.1	D33	47	Calcària	B	65	55	40	3575	9		Possibles restes de pigment vermell
2016	B1.1	D33	120	Calcària	B	75	55	40	4125	9		Possibles restes de pigment vermell
2016	B1.1	E29	35	Calcària	B	75	60	30	4500	9		Marques de percussió

Bases naturals

2016	B1.1	E30	23	Calcària	B	104	61	40	6344	9	Taques fosques molt localitzades
2016	B1.1	E30	24	Granit	B-C	180	117	55	21060	9	Possibles restes de pigment vermell
2016	B1.1	E31	15	Granit	B-C	90	75	50	6750	9	Marques de percussió
2016	B1.1	E31	29	Calcària	B-C	72	56	45	4032	9	Marques de percussió
2016	B1.1	E31	67	Calcària	B-C	60	57	25	3420	9	Possibles restes de pigment vermell
2016	B1.1	E32	30	Calcària	B	80	50	40	4000	9	Possibles restes de pigment vermell
2016	B1.1	E33	17	Calcària	B-C	115	70	48	8050	9	Marques de percussió
2016	Perfil NW	D29	13	Calcària	B	60	45	45	2700	9	Possibles restes de pigment vermell
2016	Sup	F28	4	Esquist	B	160	140	60	22400	9	Marques de percussió. Piquetejat. Possible gravat
2016	Sup	F28	23	Esquist	B-C	130	100	45	13000	9	Possible gravat
2016	Sup	F29	27	Calcària	B-C	68	37	36	2516	9	Marques de percussió

Any	Nivell	Quadre	Num	Material	RMU	Categ	Long	Amp	Gru	IA	MODAL	IC	MODCA	Area	Format	Cor	Anàlisi	Observacions
2016	A	D29	271	Sílex		BN2G	46	30	29	1.53	L4	1.03	C2	1380	6		3 1(S),c,I S[NE-NO]=NE[Ap1c]NO	Nucli expeditiu unipolar sobre ascla
2016	A	D29	299	Sílex		BN1G	29	26	25	1.12	L3	1.04	C2	754	4		3 2(S,T),c,C S[CO-NO]=CO[S-Apc2C]NO[Neg] T[NE-NO]=NE[Ap1C]	Nucli unipolar
2016	A	D32	2124	Sílex		BN2G	56	50	40	1.12	L3	1.25	C2	2800	9		1 1(H),c,C H[CO-CE]=CO[A-Spc4C]CE[P-Spc4C]	Presenta una estructura discoidal, però la cara inferior sembla de preparació
2016	A	E32	765	Sílex		BN2G	40	36	27	1.11	L3	1.33	C2	1440	6		3 1(T),c,I T[NE-NE]=NE[Ap1C]NE[Ppc1C]	Nucli expeditiu unipolar sobre ascla
2016	A	E32	774	Calcària		BN2G	29	28	20	1.04	L3	1.40	C2	812	4		3 2(T,T'),nc,I T[NE-NO]=NE[Ap1C]NO[Neg] T'[NE-NO]=NE[Ap1C]NO[Neg]	Nucli expeditiu bipolar sobre ascla
2016	B1	D29	296	Sílex		BN1G	48	44	35	1.09	L3	1.26	C2	2112	9		3 1(H),c,C H[CO-NE]=CO[Spc2C]NE[Pmc1C]	Podria considerar-se també com un nucli centripet
2016	B1	D30	41	Sílex		BN2G	55	28	21	1.96	L4	1.33	C2	1540	7		3 1(T),c,C T[NE-NE]=NE[Ap1C]NE[Smc1C]	Nucli unipolar sobre làmina de cresta
2016	B1	D31	146	Sílex		BN1G	46	33	24	1.39	L3	1.38	C2	1518	7		3 1(H),c,C H[NE-NE]=NE[Ppc1C]NE[Spc1C]	Nucli expeditiu bifacial
2016	B1	D32	61	Calcària		BN1G	48	36	24	1.33	L3	1.50	C2	1728	7		3 1(H),c,C H[CE-NO]=CE[A-Spc4C]NO[Co]	Nucli expeditiu sobre còdol de calcària
2016	B1	E30	74	Sílex		BN1G	37	33	21	1.12	L3	1.57	C2	1221	5		3 3(T,T',H) T[CI-NO]=CI[Ap2C]NO[Neg] T'[NE-NO]=NE[Amc1C]NO[Neg] H[NE-NO]=NE[Ap1C]NO[Co]	Es tracta bàsicament d'un nucli unipolar
2016	B1	E30	112	Sílex		BN2G	40	32	26	1.25	L3	1.23	C2	1280	6		3 2(H,S),nc,C H[NE-NO]=NE[Ap1C] S[NE-NO]=NE[Ap1C]	Nucli ortogonal
2016	B1	E30	209	Sílex		BN2G	26	25	19	1.04	L3	1.32	C2	650	3		3 1(T),c,I T[NE-NO]=NE[Ap1C]	Extracció aïllada. Nucli expeditiu
2016	B1	E32	60	Sílex		BN2G	33	30	25	1.10	L3	1.20	C2	990	4		3 1(H),c,I H[NE-NE]=NE[Spc1C]NE[Smc1C]	Nucli expeditiu sobre ascla
2016	B1	E33	16	Sílex		BN1G	44	37	32	1.19	L3	1.16	C2	1628	7		3 1(T),c,I T[NE-NO]=NE[Ap1C]NO[Co]	Nucli unipolar. Tallat després de cremat. Reciclatge
2016	B1	F29	106	Sílex		BN2G	34	26	13	1.31	L3	2.00	C2	884	4		3 1(S),c,I S[NE-NE]=NE[Ap1C]NE[Pmc1C]	Nucli expeditiu sobre ascla
2016	B1	F30	24	Sílex		BN2G	35	34	27	1.03	L3	1.26	C2	1190	5		1 1(H),c,C H[NE-NO]=NE[Ap1C]NO[CV]	Nivell Sup? Nucli expeditiu unipolar sobre ascla
2016	B1	F30	112	Sílex		BN2G	29	32	21	0.91	L2	1.38	C2	928	4		3 1(H),c,I H[NE-NO]=NE[Spc1C]	Nucli expeditiu sobre cara ventral
2016	B1.1	D30	23	Sílex		BN1G	66	42	29	1.57	L4	1.45	C2	2772	9		3 1(S),c,C S[CO-NO]=CO[Spc2C]	Nucli unipolar unidireccional. És bàsicament un talla en superfície
2016	B1.1	D32	61	Sílex		BN1G	62	59	37	1.05	L3	1.59	C2	3658	9		3 1(T),c,C T[CI-NO]=CI[Ap2C]NO[Co]	Nucli unipolar
2016	B1.1	D33	83	Calcària		BN1G	43	41	22	1.05	L3	1.86	C2	1763	8		3 1(H),c,I H[NE-NO]=NE[Ap1C]NO[Co]	Nucli expeditiu sobre fragment de còdol de calcària
2016	B1.1	D33	92	Sílex		BN1G	45	36	17	1.25	L3	2.12	C3	1620	7		3 1(T),c,I T[NE-NE]=NE[Ap1C]	Nucli expeditiu unipolar
2016	B1.1	E29	8	Sílex		BN2G	26	17	6	1.53	L4	2.83	C3	442	2		1 1(T),c,T T[NE-NE]=NE[Ap1C]NE[Pmc1C]	Extracció aïllada. Nucli expeditiu
2016	B1.1	E30	12	Sílex		BN1G	71	66	56	1.08	L3	1.18	C2	4686	9		4 1(S),c,I S[NE-NO]=NE[Ap1c]NO[Co]	Nucli unipolar en fase d'inicialització
2016	B1.1	E32	4	Sílex		BN2G	29	27	15	1.07	L3	1.80	C2	783	4		1 2(T,T'),nc,C T[CI-NE]=CI[Ap2C]NE[Ppc1C] T'[NE-NO]=NE[Ap1C]	Nucli bipolar sobre ascla
2016	B1.1	F29	15	Sílex		BN2G	29	27	13	1.07	L3	2.08	C3	783	4		3 1(S),c,I S[NE-NO]=NE[Ap2C]	Nucli unipolar sobre ascla. Podria considerar-se també com un burí

Ascles

Any	Nivell	Quadre	Num	Material	Categoria	Long	Amp	Gru	IA	Modal	IC	Modca	Area	Format	ctal	ttal	ptal	dral	ccd	tc	bul	dcv	pat	conc	crem	Observacions
2016 A	D29	D29	261	Silex	FBP	16	9	6					144	1					1						1	
2016 A	D29	D29	264	Silex	BP	13	12	4	1,08	L3		3,00	C3	156	1 nc	pla	uf	cx	4 nr	d	cc					
2016 A	D29	D29	266	Silex	FBP	11	10	5					110	1					1				pt		2	
2016 A	D29	D29	270	Silex	BP	19	17	3	1,12	L3		5,67	C6	323	2 nc	pla	uf	rt	1	m	cx					
2016 A	D29	D29	272	Silex	BP	31	7	4	4,43	L9		1,75	C2	217	1 nc	pun	uf	rt	1	d	rt					
2016 A	D29	D29	276	Silex	FBP	33	19	7					627	3					1						1	
2016 A	D29	D29	277	Silex	BP	27	17	6	1,59	L4		2,83	C3	459	2 nc	pla	uf	rt	1	m	cc					
2016 A	D29	D29	278	Silex	BPF	21	7	2					147	1 c	pla	nf	rt	1	m	rt						
2016 A	D29	D29	280	Silex	FBP	18	11	1					198	1					1				pp		2	
2016 A	D29	D29	282	Silex	BP	45	18	10	2,50	L5		1,80	C2	810	4 nc	lin	uf	rt	1	d	cc					
2016 A	D29	D29	285	Silex	FBP	10	14	1					140	1					1							
2016 A	D29	D29	287	Calçària	FBP	50	28	17					1400	6					1							
2016 A	D29	D29	289	Silex	BP	14	14	4	1,00	L2		3,50	C4	196	1 nc	lin	bf	ua	1	m	rt					
2016 A	D29	D29	293	Silex	FBP	55	14	6					770	4					1							
2016 A	D29	D29	297	Silex	BP	10	10	5	1,00	L2		2,00	C2	100	1 nc	pla	uf	rt	1	d	rt					
2016 A	D29	D29	298	Silex	BPF	28	24	5					672	3 nc	pla	uf	rt	1	m	rt		pp			3	
2016 A	D30	D30	854	Silex	BP	28	13	5	2,15	L5		2,60	C3	364	2 nc	pla	uf	rt	1	m	cx					
2016 A	D30	D30	855	Silex	FBP	21	15	12					315	2					1							
2016 A	D30	D30	856	Silex	BP	34	17	7	2,00	L4		2,43	C3	578	3 nc	pla	uf	rt	1	m	rt					
2016 A	D30	D30	857	Silex	BPF	12	15	3					180	1 nc	pla	uf	rt	1	m	rt		pp			2	
2016 A	D30	D30	859	Silex	FBP	29	9	4					261	2					1							
2016 A	D30	D30	860	Silex	BP	17	9	2	1,89	L4		4,50	C5	153	1 nc	lin	uf	rt	1	d	rt					
2016 A	D30	D30	862	Silex	BP	47	40	14	1,18	L3		2,86	C3	1880	8 c	pla	nf	rt	3 nr	d	rt					
2016 A	D30	D30	864	Silex	FBP	9	14	4					126	1					3 nr							
2016 A	D30	D30	867	Silex	BP	24	21	5	1,14	L3		4,20	C5	504	3 nc	pla	uf	rt	1	m	cx					
2016 A	D30	D30	870	Silex	FBP	10	14	4					140	1					1				pp		2	
2016 A	D32	D32	2089	Silex	FBP	11	7	3					77	1					1							
2016 A	D32	D32	2091	Silex	FBP	27	15	8					405	2					1							
2016 A	D32	D32	2100	Silex	FBP	21	11	4					231	1					1				pp		2	
2016 A	D32	D32	2103	Silex	FBP	28	14	3					392	2					1						4	
2016 A	D32	D32	2104	Silex	BP	14	14	3	1,00	L2		4,67	C5	196	1 nc	pla	bf	ua	1	m	cx					Reflexada
2016 A	D32	D32	2105	Silex	BPF	21	8	3					168	1 nc	pla	uf	rt	1	m	rt						
2016 A	D32	D32	2108	Silex	FBP	18	27	7					486	2					4 nr							
2016 A	D32	D32	2110	Silex	FBP	11	10	3					110	1					1						5	
2016 A	D32	D32	2113	Silex	FBP	12	14	3					168	1					1				pp		5	
2016 A	D32	D32	2116	Silex	BP	11	20	3	0,55	L2		3,67	C4	220	1 nc	lin	uf	rt	1	m	cc					
2016 A	D32	D32	2120	Silex	BP	27	11	4	2,45	L5		2,75	C3	297	2 nc	pla	uf	rt	1	d	rt					
2016 A	D32	D32	2126	Silex	BP	49	20	11	2,45	L5		1,82	C2	980	4 nc	pla	uf	rt	1	m	cc					
2016 A	D32	D32	2128	Silex	FBP	35	19	9					665	3					4 nr							
2016 A	D32	D32	2131	Silex	FBP	52	24	7					1248	5					2 nr							
2016 A	D32	D32	2144	Silex	BP	29	20	4	1,45	L3		5,00	C5	580	3 nc	pla	uf	rt	1	m	cc					
2016 A	D32	D32	2159	Silex	FBP	31	21	9					651	3					3 nr							
2016 A	D32	D32	2161	Silex	FBP	14	18	5					252	2					1							
2016 A	D32	D32	2162	Silex	FBP	22	12	4					264	2					1						4	
2016 A	D32	D32	2171	Silex	BP	30	17	8	1,76	L4		2,13	C3	510	3 nc	pla	uf	rt	1	m	rt					
2016 A	D32	D32	2177	Silex	BPF	18	17	5					306	2 nc	lin	uf	rt	3 nr	d	rt						
2016 A	D32	D32	2180	Silex	BP	20	18	9	1,11	L3		2,00	C2	360	2 nc	pla	uf	rt	3 r	m	rt				1	
2016 A	D32	D32	2181	Silex	FBP	17	15	4					255	2					1						1	
2016 A	D32	D32	2184	Silex	BPF	15	10	2					150	1 nc	lin	uf	rt	1	d	cc						
2016 A	E30	E30	1289	Silex	FBP	15	10	2					150	1					1				pp		2	
2016 A	E30	E30	1292	Silex	BPF	23	18	10					414	2 nc	pla	uf	rt	3 r	m	rt						
2016 A	E30	E30	1293	Silex	BP	52	46	17	1,13	L3		2,71	C3	2392	9 nc	pla	uf	rt	1	m	cc					Reflexada

Ascles

2016 B1	D29	159 Silex	FBP	18	10	2				180	1					1					4
2016 B1	D29	160 Silex	FBP	15	9	2				135	1					1					4
2016 B1	D29	165 Silex	BP	18	9	2	2,00 L4		4,50 C5	162	1	nc	pla	uf	rt	1	m	rt			
2016 B1	D29	166 Silex	BPF	25	11	5				275	2	nc	pla	uf	rt	1	m	cx			1
2016 B1	D29	169 Silex	FBP	17	14	2				238	1					1				pp	4
2016 B1	D29	176 Silex	BP	25	24	5	1,04 L3		4,80 C5	600	3	nc	lin	uf	rt	1	m	rt			
2016 B1	D29	178 Silex	BP	15	21	5	0,71 L2		3,00 C3	315	2	nc	pla	uf	cc	1	m	rt			
2016 B1	D29	179 Silex	BP	7	11	3	0,64 L2		2,33 C3	77	1	nc	pla	uf	rt	1	m	rt			
2016 B1	D29	180 Silex	BP	36	18	7	2,00 L4		2,57 C3	648	3	c	pla	nf	cx	3	r	m	cc		
2016 B1	D29	186 Silex	FBP	29	11	3				319	2					3	r				
2016 B1	D29	187 Silex	BP	27	19	5	1,42 L3		3,80 C4	513	3	nc	pla	uf	rt	1	m	cx			
2016 B1	D29	190 Silex	BP	26	21	7	1,24 L3		3,00 C3	546	3	nc	pla	uf	rt	3	nr	m	cx		
2016 B1	D29	195 Silex	BPF	22	13	5				286	2	c	pla	nf	rt	4	r	d	cc	pt	2
2016 B1	D29	200 Silex	BP	26	8	2	3,25 L7		4,00 C4	208	1	nc	pla	uf	rt	1	d	cc			
2016 B1	D29	202 Calcària	FBP	17	17	4				289	2					1					
2016 B1	D29	204 Silex	BP	44	16	5	2,75 L6		3,20 C4	704	3	nc	pla	uf	rt	3	r	m	cc		
2016 B1	D29	210 Silex	FBP	25	8	6				200	1					1					
2016 B1	D29	211 Silex	FBP	15	9	3				135	1					3	nr				
2016 B1	D29	212 Silex	BP	46	38	11	1,21 L3		3,45 C4	1748	7	nc	pla	bf	ua	1	m	cx			
2016 B1	D29	216 Silex	BPF	15	19	3				285	2	nc	pla	uf	rt	1	m	cx			
2016 B1	D29	218 Silex	FBP	20	19	4				380	2					1					
2016 B1	D29	219 Silex	BP	17	13	3	1,31 L3		4,33 C5	221	1	nc	pla	uf	rt	3	nr	m	rt		
2016 B1	D29	243 Silex	FBP	17	11	10				187	1					1					
2016 B1	D29	249 Silex	BP	10	14	7	0,71 L2		1,43 C2	140	1	nc	pla	uf	rt	1	d	cx			1 Extreta d'un nucli cremat
2016 B1	D29	251 Silex	FBP	39	17	9				663	3					3	nr				1
2016 B1	D29	253 Silex	FBP	14	13	2				182	1					1					
2016 B1	D29	259 Silex	BPF	34	24	10				816	4	nc	pla	uf	rt	1	m	rt			
2016 B1	D29	260 Silex	BP	15	5	3	3,00 L6		1,67 C2	75	1	nc	pun	uf	rt	1	m	cx			
2016 B1	D29	261 Silex	BP	47	9	9	5,22 L9		1,00 C1	423	2	nc	pla	uf	rt	1	d	sin			
2016 B1	D29	267 Silex	FBP	12	14	5				168	1					1					
2016 B1	D29	268 Silex	FBP	22	17	8				374	2					3	r				1
2016 B1	D29	271 Silex	FBP	33	24	7				792	4					3	r				
2016 B1	D29	272 Silex	BP	16	12	4	1,33 L3		3,00 C3	192	1	nc	pla	uf	rt	1	m	rt	pp		2
2016 B1	D29	274 Silex	BP	17	26	7	0,65 L2		2,43 C3	442	2	nc	pla	mf	rt	1	m	rt			
2016 B1	D29	277 Silex	BP	23	24	8	0,96 L2		2,88 C3	552	3	nc	pla	uf	rt	1	m	cx			
2016 B1	D29	278 Silex	FBP	10	10	4				100	1					1					
2016 B1	D29	279 Silex	BP	10	9	4	1,11 L3		2,25 C3	90	1	nc	pla	uf	rt	1	m	rt			
2016 B1	D29	285 Silex	BP	17	29	6	0,59 L2		2,83 C3	493	2	nc	pla	uf	rt	1	d	rt			
2016 B1	D29	288 Silex	BP	20	3	2	6,67 L9		1,50 C2	60	1	nc	lin	uf	rt	1	d	rt			
2016 B1	D29	289 Silex	BP	61	18	5	3,39 L7		3,60 C4	1098	5	nc	lin	uf	rt	1	d	cc			
2016 B1	D29	290 Silex	BPF	20	14	7				280	2	nc	lin	uf	rt	3	nr	m	sin		
2016 B1	D29	291 Silex	BP	26	12	6	2,17 L5		2,00 C2	312	2	nc	pla	uf	rt	3	r	m	rt		
2016 B1	D29	292 Silex	BP	31	18	6	1,72 L4		3,00 C3	558	3	nc	pla	uf	rt	1	m	rt			4
2016 B1	D29	294 Silex	FBP	20	13	11				260	2					1					
2016 B1	D30	5 Silex	BP	21	20	7	1,05 L3		2,86 C3	420	2	nc	pla	uf	rt	1	m	cx			
2016 B1	D30	6 Silex	BP	49	30	13	1,63 L4		2,31 C3	1470	6	nc	pla	uf	rt	4	r	m	rt		
2016 B1	D30	7 Silex	BPF	17	22	5				374	2	nc	pla	bf	ua	1	m	cx	pt		5
2016 B1	D30	9 Silex	BP	14	16	5	0,88 L2		2,80 C3	224	1	nc	pla	uf	cx	1	m	rt			
2016 B1	D30	10 Silex	FBP	14	13	3				182	1					1				pt	2
2016 B1	D30	23 Silex	FBP	30	19	5				570	3					3	nr				1
2016 B1	D30	24 Silex	FBP	13	21	7				273	2					1					
2016 B1	D30	28 Silex	FBP	10	12	3				120	1					1					
2016 B1	D30	30 Silex	FBP	17	35	9				595	3					4	nr				

Ascles

2016 B1	D30	39	Silex	BP	50	28	11	1,79	L4	2,55	C3	1400	6	nc	pun	uf	rt	3	nr	m	rt									
2016 B1	D30	40	Silex	BP	30	15	7	2,00	L4	2,14	C3	450	2	nc	pla	uf	rt	1	m	cc										
2016 B1	D30	43	Silex	BP	30	9	5	3,33	L7	1,80	C2	270	2	nc	pla	uf	rt	1	d	cc										
2016 B1	D30	44	Silex	BP	27	13	8	2,08	L5	1,63	C2	351	2	nc	pun	uf	rt	1	m	cc										
2016 B1	D30	50	Silex	BP	24	15	2	1,60	L4	7,50	C8	360	2	nc	pla	uf	rt	1	m	rt										
2016 B1	D30	51	Silex	BP	34	20	5	1,70	L4	4,00	C4	680	3	nc	pla	mf	cx	1	m	cx										
2016 B1	D30	52	Silex	BP	17	14	4	1,21	L3	3,50	C4	238	1	nc	pla	uf	rt	1	m	rt									Reflexada	
2016 B1	D30	54	Silex	BP	22	27	9	0,81	L2	2,44	C3	594	3	nc	pla	uf	cc	4	nr	m	cc								1	
2016 B1	D30	61	Silex	BP	28	16	3	1,75	L4	5,33	C6	448	2	nc	pla	uf	rt	3	r	m	rt									
2016 B1	D30	62	Silex	BP	36	37	13	0,97	L2	2,77	C3	1332	6	nc	pla	uf	rt	1	m	rt	pt								2	
2016 B1	D30	66	Silex	BP	8	12	6	0,67	L2	1,33	C2	96	1	nc	pla	uf	rt	3	r	m	rt									
2016 B1	D30	68	Silex	FBP	25	21	6					525	3					1											1	
2016 B1	D30	71	Silex	FBP	28	8	4					224	1					1												
2016 B1	D30	83	Silex	FBP	29	16	4					464	2					1											5	
2016 B1	D30	85	Silex	BP	23	21	7	1,10	L3	3,00	C3	483	2	nc	pla	bf	ua	1	m	rt										
2016 B1	D30	88	Silex	FBP	26	23	11					598	3					1												
2016 B1	D30	92	Silex	BP	21	15	4	1,40	L3	3,75	C4	315	2	nc	pla	uf	rt	1	m	rt										
2016 B1	D30	93	Silex	FBP	23	14	6					322	2					1												
2016 B1	D30	106	Silex	FBP	38	21	6					798	4					3	nr											
2016 B1	D30	107	Silex	FBP	21	17	6					357	2					3	r											
2016 B1	D30	109	Silex	FBP	13	8	3					104	1					1											4	
2016 B1	D30	116	Silex	FBP	17	8	3					136	1					3	r											
2016 B1	D30	124	Silex	FBP	18	9	2					162	1					1											5	
2016 B1	D30	130	Silex	FBP	10	12	2					120	1					1												
2016 B1	D30	134	Silex	FBP	12	13	2					156	1					1												
2016 B1	D30	135	Silex	BP	16	8	3	2,00	L4	2,67	C3	128	1	nc	pun	uf	rt	1	d	rt									Reflexada	
2016 B1	D30	137	Silex	FBP	17	9	5					153	1					1												
2016 B1	D30	139	Silex	BPF	15	18	4					270	2	nc	pla	uf	rt	1	m	rt										
2016 B1	D30	150	Silex	FBP	10	10	4					100	1					1											5	
2016 B1	D30	151	Silex	BP	12	16	1	0,75	L2	12,00	C9	192	1	nc	lin	uf	cc	1	d	rt										
2016 B1	D30	157	Silex	FBP	14	16	3					224	1					1											4	
2016 B1	D30	160	Calcària	FBP	21	15	4					315	2					1												
2016 B1	D30	163	Silex	BP	28	22	10	1,27	L3	2,20	C3	616	3	c	pla	nf	cx	4	nr	m	cc								1	
2016 B1	D30	169	Silex	FBP	24	15	13					360	2					4	nr											
2016 B1	D31	3	Silex	BP	30	18	8	1,67	L4	2,25	C3	540	3	nc	pla	uf	cc	1	m	cc										
2016 B1	D31	6	Silex	BP	31	14	4	2,21	L5	3,50	C4	434	2	nc	lin	uf	rt	3	nr	m	cc	pt							4	
2016 B1	D31	10	Silex	BPF	8	10	5					80	1	nc	pla	uf	rt	1	m	rt	pt								4	
2016 B1	D31	13	Silex	FBP	18	5	3					90	1					1												
2016 B1	D31	19	Calcària	BPF	18	12	3					216	1	nc	lin	uf	rt	1	d	rt										
2016 B1	D31	21	Silex	FBP	21	19	9					399	2					4	r											
2016 B1	D31	25	Silex	FBP	20	14	2					280	2					1												
2016 B1	D31	33	Silex	FBP	11	16	3					176	1					1												
2016 B1	D31	34	Silex	FBP	21	5	3					105	1					1												
2016 B1	D31	36	Silex	BP	39	21	12	1,86	L4	1,75	C2	819	4	nc	pla	uf	rt	4	nr	m	cc									
2016 B1	D31	37	Silex	BP	27	15	6	1,80	L4	2,50	C3	405	2	nc	lin	uf	rt	1	m	cc										
2016 B1	D31	38	Silex	FBP	14	11	2					154	1					1											4	
2016 B1	D31	41	Silex	BP	16	17	3	0,94	L2	5,33	C6	272	2	nc	pla	uf	rt	1	m	rt										
2016 B1	D31	42	Silex	BPF	18	22	3					396	2	nc	pla	uf	rt	3	r	m	rt									
2016 B1	D31	44	Silex	BP	27	15	4	1,80	L4	3,75	C4	405	2	nc	pla	uf	rt	1	m	rt										
2016 B1	D31	47	Silex	FBP	20	11	9					220	1					1												
2016 B1	D31	48	Silex	BP	52	39	10	1,33	L3	3,90	C4	2028	9	c	pla	nf	rt	1	m	rt										
2016 B1	D31	52	Silex	BPF	12	13	2					156	1	nc	pla	uf	rt	1	m	rt										
2016 B1	D31	53	Silex	FBP	23	20	8					460	2					1												

Ascles

2016 B1	D31	57 Silex	BPF	48	24	5				1152	5 nc	pun	uf	rt	1	d	cx				
2016 B1	D31	62 Silex	BPF	34	13	5				442	2 nc	pla	uf	cx	1	m	rt				5
2016 B1	D31	65 Silex	FBP	15	14	6				210	1				1						
2016 B1	D31	66 Silex	FBP	12	12	5				144	1				3 r						
2016 B1	D31	67 Silex	BP	24	25	7	0,96 L2	3,43 C4		600	3 nc	lin	uf	rt	1	m	cc	pt			4
2016 B1	D31	68 Silex	FBP	19	11	5				209	1				1				pp		2
2016 B1	D31	71 Silex	BP	23	10	3	2,30 L5	3,33 C4		230	1 c	pun	nf	rt	3 nr	d	cc				
2016 B1	D31	74 Silex	BPF	10	14	2				140	1 nc	pla	uf	rt	1	m	rt				
2016 B1	D31	75 Silex	FBP	19	6	1				114	1				1						
2016 B1	D31	77 Silex	BP	21	18	7	1,17 L3	2,57 C3		378	2 nc	pla	bf	ua	1	m	rt				
2016 B1	D31	78 Silex	FBP	25	25	5				625	3				1						
2016 B1	D31	82 Silex	BP	45	34	13	1,32 L3	2,62 C3		1530	7 c	pla	nf	ua	3 r	m	rt				
2016 B1	D31	84 Silex	FBP	30	9	3				270	2				1						
2016 B1	D31	88 Silex	FBP	28	22	3				616	3				1						
2016 B1	D31	90 Silex	BP	21	8	2	2,63 L6	4,00 C4		168	1 nc	pla	uf	rt	1	d	rt				
2016 B1	D31	92 Silex	BP	71	36	19	1,97 L4	1,89 C2		2556	9 nc	pla	uf	rt	1	m	rt				
2016 B1	D31	93 Silex	FBP	18	20	2				360	2				1						
2016 B1	D31	102 Silex	FBP	36	18	3				648	3				1						
2016 B1	D31	105 Silex	BP	16	13	2	1,23 L3	6,50 C7		208	1 c	lin	nf	rt	3 r	d	rt				
2016 B1	D31	106 Silex	BPF	38	24	7				912	4 c	pla	nf	rt	1	m	cc				5
2016 B1	D31	112 Silex	BP	8	14	5	0,57 L2	1,60 C2		112	1 nc	pla	uf	rt	1	m	rt				
2016 B1	D31	113 Silex	FBP	32	18	15				576	3				1						1
2016 B1	D31	114 Silex	FBP	20	15	4				300	2				1						
2016 B1	D31	122 Silex	BPF	21	17	6				357	2 nc	pla	uf	rt	1	m	rt				
2016 B1	D31	126 Silex	BPF	34	14	6				476	2 nc	lin	uf	rt	1	m	rt	pp			2
2016 B1	D31	127 Silex	BP	17	12	5	1,42 L3	2,40 C3		204	1 nc	pla	uf	rt	1	m	cx	pt			2
2016 B1	D31	129 Silex	BPF	20	20	5				400	2 nc	pla	uf	rt	1	m	rt				
2016 B1	D31	131 Silex	FBP	19	17	3				323	2				1						4
2016 B1	D31	136 Silex	BPF	11	18	2				198	1 nc	pun	uf	rt	1	m	rt				
2016 B1	D31	139 Silex	FBP	19	6	6				114	1				1						4
2016 B1	D31	142 Silex	BP	22	13	9	1,69 L4	1,44 C2		286	2 nc	pun	uf	rt	3 r	d	cc				1 Extret de nucli cremat
2016 B1	D31	145 Silex	BP	8	11	3	0,73 L2	2,67 C3		88	1 nc	lin	uf	rt	1	m	rt				
2016 B1	D31	160 Silex	BP	27	15	5	1,80 L4	3,00 C3		405	2 nc	pla	uf	rt	3 r	d	cc				
2016 B1	D31	176 Silex	BP	25	9	2	2,78 L6	4,50 C5		225	1 nc	lin	uf	cx	1	d	rt				
2016 B1	D31	177 Silex	BP	21	7	2	3,00 L6	3,50 C4		147	1 nc	lin	uf	rt	1	d	rt				
2016 B1	D31	178 Silex	FBP	18	10	3				180	1				1						
2016 B1	D31	179 Silex	FBP	13	5	1				65	1				1						
2016 B1	D32	3 Silex	BP	20	6	2	3,33 L7	3,00 C3		120	1 nc	pla	uf	rt	3 r	d	cc				
2016 B1	D32	6 Silex	FBP	24	13	3				312	2				1			pt			5
2016 B1	D32	7 Silex	FBP	20	14	4				280	2				1			pt			2
2016 B1	D32	20 Silex	BPF	20	13	4				260	2 nc	pun	uf	rt	3 r	d	rt				
2016 B1	D32	21 Silex	BP	39	12	3	3,25 L7	4,00 C4		468	2 nc	lin	uf	rt	1	d	cc				Apuntada
2016 B1	D32	22 Silex	BP	32	20	9	1,60 L4	2,22 C3		640	3 nc	pla	uf	rt	1	m	cx	pt			2
2016 B1	D32	23 Silex	BPF	20	32	5				640	3 nc	pla	uf	cx	1	m	cc	pt			2
2016 B1	D32	28 Silex	FBP	25	11	6				275	2				2 r			pp			2
2016 B1	D32	30 Silex	BP	14	25	5	0,56 L2	2,80 C3		350	2 nc	pla	uf	rt	1	m	rt				1
2016 B1	D32	31 Silex	FBP	20	13	4				260	2				1						
2016 B1	D32	32 Silex	FBP	22	11	6				242	1				1						
2016 B1	D32	33 Silex	FBP	14	10	1				140	1				1						
2016 B1	D32	37 Silex	FBP	32	29	14				928	4				1						
2016 B1	D32	38 Silex	BP	43	24	10	1,79 L4	2,40 C3		1032	5 nc	pla	uf	rt	3 r	m	rt				
2016 B1	D32	40 Silex	FBP	28	38	11				1064	5				1						
2016 B1	D32	47 Silex	BP	46	20	7	2,30 L5	2,86 C3		920	4 nc	pla	uf	rt	1	m	rt	pt			2 Avivament

Ascles

2016 B1	D32	48	Silex	BPF	23	37	11				851	4	nc	pla	uf	rt	1	m	rt					
2016 B1	D32	53	Silex	BP	11	11	2	1,00	L2		5,50	C6	121	1	nc	pla	bf	ua	1	m	rt			
2016 B1	D32	55	Silex	FBP	21	10	4						210	1				1						
2016 B1	D32	58	Silex	BPF	20	17	3						340	2	nc	lin	uf	rt	4	nr	m	rt		
2016 B1	D32	63	Silex	FBP	15	11	3						165	1				1						
2016 B1	D32	65	Silex	FBP	17	11	2						187	1				1						
2016 B1	D32	66	Silex	FBP	11	11	5						121	1				1						
2016 B1	D32	67	Silex	FBP	13	9	3						117	1				1						
2016 B1	D32	70	Silex	BP	38	17	8	2,24	L5		2,13	C3	646	3	nc	pla	uf	rt	3	nr	m	rt		Apuntada
2016 B1	D32	72	Silex	BP	14	11	2	1,27	L3		5,50	C6	154	1	nc	lin	uf	rt	3	r	m	cc		
2016 B1	D32	76	Silex	BP	25	22	9	1,14	L3		2,44	C3	550	3	nc	pla	uf	rt	3	r	m	rt		
2016 B1	D32	77	Silex	FBP	14	10	3						140	1				3	nr				2	
2016 B1	D32	79	Silex	FBP	28	13	5						364	2				1						
2016 B1	D32	80	Silex	BPF	20	20	6						400	2	nc	pla	uf	rt	3	nr	m	cc		
2016 B1	D32	81	Silex	FBP	11	18	4						198	1				3	nr					
2016 B1	D32	82	Silex	FBP	35	29	9						1015	5				4	r					
2016 B1	D32	86	Silex	BPF	32	12	5						384	2	nc	pla	uf	rt	3	r			2	
2016 B1	D32	89	Silex	BP	44	18	7	2,44	L5		2,57	C3	792	4	nc	pla	uf	rt	1	m	cc		Desbordant	
2016 B1	D32	90	Silex	FBP	18	8	3						144	1				1					5	
2016 B1	D32	93	Silex	BP	29	17	7	1,71	L4		2,43	C3	493	2	nc	pla	uf	cx	1	m	rt		2	
2016 B1	D32	95	Silex	BP	15	11	6	1,36	L3		1,83	C2	165	1	nc	pla	uf	rt	1	m	rt			
2016 B1	D32	104	Silex	BP	29	18	4	1,61	L4		4,50	C5	522	3	c	pla	nf	rt	3	r	m	cc	4	
2016 B1	D32	105	Silex	FBP	14	11	2						154	1				1						
2016 B1	D32	106	Silex	FBP	25	15	4						375	2				1						
2016 B1	D32	111	Silex	FBP	14	15	5						210	1				1						
2016 B1	D32	113	Silex	BP	29	19	8	1,53	L4		2,38	C3	551	3	nc	pla	uf	cc	1	m	cc		2	
2016 B1	D32	116	Silex	FBP	20	14	3						280	2				1						
2016 B1	D32	122	Silex	BPF	27	17	11						459	2	nc	pla	uf	rt	1	m	rt			
2016 B1	D32	125	Silex	FBP	31	24	5						744	3				1						
2016 B1	D32	128	Silex	BP	38	20	9	1,90	L4		2,22	C3	760	4	nc	pla	uf	rt	3	nr	m	cc	4	
2016 B1	D32	129	Silex	FBP	20	12	7						240	1				3	nr				2	
2016 B1	D32	134	Silex	BP	31	21	6	1,48	L3		3,50	C4	651	3	nc	pla	uf	rt	4	r	m	cc		
2016 B1	D32	138	Silex	BPF	20	14	5						280	2	nc	pla	uf	rt	1	m	rt			
2016 B1	D32	141	Silex	BPF	17	14	4						238	1	nc	pla	uf	rt	3	r	d	rt		
2016 B1	D32	144	Silex	FBP	14	21	4						294	2				1					1	
2016 B1	D32	161	Silex	BP	53	18	16	2,94	L6		1,13	C2	954	4	nc	lin	uf	rt	3	r	d	cc		Colorant vermell
2016 B1	D32	162	Silex	FBP	26	23	20						598	3				4	nr				1	
2016 B1	D32	163	Silex	FBP	13	13	3						169	1				1					1	
2016 B1	D32	170	Silex	BP	32	17	5	1,88	L4		3,40	C4	544	3	nc	lin	uf	rt	1	m	rt			
2016 B1	D32	171	Silex	BP	40	17	11	2,35	L5		1,55	C2	680	3	nc	pun	uf	rt	1	d	cc			
2016 B1	D32	183	Silex	FBP	25	9	2						225	1				1						
2016 B1	D32	186	Silex	BP	39	27	8	1,44	L3		3,38	C4	1053	5	nc	pla	uf	rt	1	m	cc			
2016 B1	D32	189	Silex	BPF	11	11	3						121	1	nc	pla	uf	rt	1	m	rt			
2016 B1	D32	191	Silex	FBP	8	12	1						96	1				1						
2016 B1	D32	193	Silex	FBP	21	6	2						126	1				1						
2016 B1	D32	194	Silex	BP	28	18	7	1,56	L4		2,57	C3	504	3	nc	pla	uf	rt	1	m	rt			
2016 B1	D32	196	Silex	FBP	15	13	2						195	2				1					5	
2016 B1	D32	207	Silex	BP	36	15	5	2,40	L5		3,00	C3	540	3	c	pla	nf	cx	1	m	cc		1	
2016 B1	D32	209	Silex	FBP	15	13	7						195	1				1						
2016 B1	D32	210	Silex	FBP	24	8	3						192	1				3	r					
2016 B1	D32	215	Silex	FBP	28	18	3						504	3				3	nr					
2016 B1	D32	216	Silex	BP	18	19	5	0,95	L2		3,60	C4	342	2	nc	pla	uf	rt	1	m	rt			
2016 B1	D32	220	Silex	FBP	25	6	2						150	1				1						

Ascles

2016 B1	D33	193	Silex	BP	43	18	10	2,39	L5	1,80	C2	774	4	nc	pla	bf	ua	1	m	cc					
2016 B1	D33	194	Silex	FBP	24	15	3					360	2					1							
2016 B1	D33	207	Silex	BPF	16	10	4					160	1	nc	pla	uf	cc	1	d	rt					
2016 B1	D33	210	Silex	BP	48	34	14	1,41	L3	2,43	C3	1632	7	nc	pla	uf	rt	3	nr	m	cc				
2016 B1	D33	212	Silex	FBP	11	6	2					66	1					1							
2016 B1	D33	213	Silex	BP	16	9	3	1,78	L4	3,00	C3	144	1	nc	pla	uf	rt	1	d	rt					Reflexada
2016 B1	D33	217	Silex	BP	46	37	7	1,24	L3	5,29	C6	1702	7	nc	pun	uf	rt	3	nr	m	rt				
2016 B1	D33	224	Silex	FBP	29	24	10					696	3					1							
2016 B1	D33	225	Silex	BP	25	19	5	1,32	L3	3,80	C4	475	2	nc	lin	uf	rt	3	r	m	rt				
2016 B1	D33	226	Silex	BP	17	26	4	0,65	L2	4,25	C5	442	2	nc	pla	uf	cc	1	m	cx					Reflexada
2016 B1	D33	229	Silex	BP	17	7	2	2,43	L5	3,50	C4	119	1	nc	pun	uf	rt	1	d	cc					
2016 B1	D33	235	Silex	BPF	50	14	8					700	3	nc	pla	uf	rt	3	r	m	cc				
2016 B1	D33	237	Silex	FBP	14	10	5					140	1					1							
2016 B1	D33	257	Silex	FBP	12	8	5					96	1					3	nr			pt			2
2016 B1	D33	259	Silex	FBP	12	23	8					276	2					3	nr						1
2016 B1	D33	260	Silex	BPF	19	18	5					342	2	nc	pla	uf	rt	1	m	rt	pt				2
2016 B1	D33	267	Silex	FBP	29	13	7					377	2					3	nr						1
2016 B1	D33	268	Silex	BP	28	12	5	2,33	L5	2,40	C3	336	2	nc	pla	uf	rt	1	d	cc	pt				2
2016 B1	D33	269	Silex	BPF	9	20	3					180	1	nc	lin	bf	ua	1	m	cx					
2016 B1	D33	272	Silex	FBP	17	15	5					255	2					1							5
2016 B1	D33	274	Silex	BP	18	18	2	1,00	L2	9,00	C9	324	2	nc	lin	uf	cc	1	m	rt					
2016 B1	D33	275	Silex	BP	25	20	3	1,25	L3	6,67	C7	500	2	nc	pun	uf	rt	1	d	rt	pt				2
2016 B1	D33	276	Silex	FBP	22	5	3					110	1					4	r			pt			2
2016 B1	D33	277	Silex	FBP	10	9	2					90	1					3	nr						
2016 B1	D33	279	Silex	FBP	22	16	5					352	2					1							
2016 B1	D33	282	Silex	FBP	28	26	17					728	3					4	r						
2016 B1	D33	289	Silex	BP	33	12	4	2,75	L6	3,00	C3	396	2	nc	lin	uf	rt	3	nr	m	cc				
2016 B1	D33	294	Silex	FBP	16	19	5					304	2					3	nr						
2016 B1	D33	311	Silex	FBP	15	8	3					120	1					1							
2016 B1	D33	313	Silex	BPF	10	30	8					300	2	nc	pla	uf	rt	1	m	cx	pt				5
2016 B1	D33	314	Silex	BP	9	11	2	0,82	L2	4,50	C5	99	1	nc	pla	uf	rt	3	nr	m	rt				1
2016 B1	D33	317	Silex	FBP	20	14	4					280	2					3	nr			pt			5
2016 B1	D33	328	Silex	BP	19	12	5	1,58	L4	2,40	C3	228	1	nc	pla	uf	rt	3	nr		pp				2
2016 B1	D33	336	Silex	FBP	15	10	6					150	1					1							5
2016 B1	D33	339	Silex	BPF	21	18	5					378	2	nc	pla	uf	rt	1	m	rt					
2016 B1	D33	343	Silex	BP	23	15	9	1,53	L4	1,67	C2	345	2	nc	pla	uf	rt	4	nr	d	cc				
2016 B1	D33	347	Silex	BP	33	17	4	1,94	L4	4,25	C5	561	3	nc	pla	uf	rt	3	nr	m	cc				
2016 B1	D33	355	Silex	BP	23	17	4	1,35	L3	4,25	C5	391	2	nc	pla	uf	rt	1	m	rt					
2016 B1	D33	357	Silex	BP	14	13	3	1,08	L3	4,33	C5	182	1	nc	lin	uf	rt	4	r	m	rt				
2016 B1	D33	360	Silex	BP	11	7	2	1,57	L4	3,50	C4	77	1	nc	pun	uf	rt	1	m	cc					Reflexada
2016 B1	D33	363	Silex	FBP	17	6	5					102	1					2	nr						
2016 B1	D33	373	Silex	BP	27	15	5	1,80	L4	3,00	C3	405	2	nc	pla	uf	rt	1	m	cx					
2016 B1	D33	375	Silex	BPF	8	12	2					96	1	nc	pla	uf	rt	1	m	rt					
2016 B1	D33	379	Silex	FBP	36	17	11					612	3					1				pt			5
2016 B1	D33	384	Silex	BP	24	21	10	1,14	L3	2,10	C3	504	3	nc	pla	uf	rt	1	m	rt					4
2016 B1	D33	385	Silex	FBP	17	12	4					204	1					1							
2016 B1	D33	386	Silex	FBP	27	8	4					216	1					1							Cresta unilateral
2016 B1	D33	387	Silex	FBP	13	12	2					156	1					3	r			pt			2
2016 B1	D33	388	Silex	FBP	14	9	2					126	1					1							
2016 B1	D33	389	Silex	FBP	15	15	10					225	1					3	r						
2016 B1	D33	395	Silex	FBP	33	18	8					594	3					1							
2016 B1	D33	406	Silex	FBP	14	21	7					294	2					3	r			pt			4
2016 B1	D33	407	Silex	FBP	12	5	2					60	1					1							

Ascles

2016 B1	D33	411	Silex	BP	24	10	6	2,40	L5	1,67	C2	240	1	nc	pla	uf	rt	1	d	cx	pt		4
2016 B1	D33	414	Silex	BPF	18	19	7					342	2	nc	pla	uf	rt	1	m	rt			
2016 B1	D33	416	Silex	FBP	17	9	5					153	1					1					1
2016 B1	D33	418	Silex	FBP	23	16	9					368	2					3	r				
2016 B1	D33	419	Silex	FBP	19	10	2					190	1					3	nr				5
2016 B1	D33	422	Silex	BP	13	15	5	0,87	L2	2,60	C3	195	1	nc	pun	uf	rt	3	r	d	cc		
2016 B1	D33	427	Silex	BP	34	25	13	1,36	L3	1,92	C2	850	4	nc	pla	uf	cx	4	r	m	cc		
2016 B1	D33	430	Silex	BP	23	13	5	1,77	L4	2,60	C3	299	2	nc	pla	uf	rt	1	m	rt			
2016 B1	D33	434	Silex	BPF	38	12	7					456	2	c	pla	nf	rt	3	r	m	rt		
2016 B1	D33	443	Silex	FBP	14	10	3					140	1					2	r				
2016 B1	D33	455	Silex	FBP	10	10	2					100	1					1					
2016 B1	D33	460	Silex	BP	12	19	1	0,63	L2	12,00	C9	228	1	nc	pun	uf	rt	1	m	cx	pt		
2016 B1	D33	462	Silex	BPF	13	10	5					130	1	nc	pla	uf	rt	3	nr	d	rt		5
2016 B1	D33	463	Silex	BP	15	21	2	0,71	L2	7,50	C8	315	2	nc	lin	uf	rt	1	d	rt			
2016 B1	D33	468	Silex	FBP	8	11	4					88	1					1			pt		2
2016 B1	D34	3	Silex	FBP	26	21	11					546	3					1					
2016 B1	D34	5	Silex	BP	51	23	15	2,22	L5	1,53	C2	1173	5	nc	pla	uf	cx	4	r	m	cc		
2016 B1	E29	5	Silex	BP	14	13	2	1,08	L3	6,50	C7	182	1	c	pla	nf	rt	1	m	rt			
2016 B1	E29	7	Silex	FBP	23	35	7					805	4					3	nr				5
2016 B1	E29	8	Silex	FBP	24	8	5					192	1					2	r				
2016 B1	E29	9	Silex	FBP	17	5	3					85	1					1					1
2016 B1	E29	14	Silex	FBP	18	11	4					198	1					3	r				
2016 B1	E29	17	Silex	BPF	22	10	3					220	1	nc	pun	uf	rt	1	d	cc			1
2016 B1	E29	24	Silex	BP	38	22	9	1,73	L4	2,44	C3	836	4	nc	pla	uf	rt	1	m	rt			
2016 B1	E29	25	Silex	BP	23	12	3	1,92	L4	4,00	C4	276	2	nc	lin	uf	rt	1	m	cc			
2016 B1	E29	28	Silex	BP	12	12	5	1,00	L2	2,40	C3	144	1	nc	pla	uf	rt	1	m	cx			
2016 B1	E29	29	Silex	BP	47	34	15	1,38	L3	2,27	C3	1598	7	nc	pla	uf	rt	3	r	m	cc		Reflexada Dors natural
2016 B1	E29	31	Silex	BP	26	12	4	2,17	L5	3,00	C3	312	2	nc	pla	uf	rt	1	m	cx			1
2016 B1	E29	32	Silex	BP	28	14	5	2,00	L4	2,80	C3	392	2	c	pla	nf	rt	1	m	rt			Reflexada
2016 B1	E29	33	Silex	BPF	24	17	12					408	2	nc	pun	uf	rt	1	m	rt			
2016 B1	E29	35	Silex	BP	12	14	2	0,86	L2	6,00	C6	168	1	nc	lin	uf	rt	1	m	cx			Reflexada
2016 B1	E29	36	Silex	FBP	24	7	3					168	1					1					
2016 B1	E29	37	Silex	BP	39	14	6	2,79	L6	2,33	C3	546	3	nc	pla	uf	rt	3	nr	m	rt		Dors natural
2016 B1	E29	39	Silex	FBP	11	13	2					143	1					1					
2016 B1	E29	40	Silex	BP	17	27	4	0,63	L2	4,25	C5	459	2	nc	pla	uf	cx	3	nr	m	rt		
2016 B1	E29	41	Silex	FBP	18	15	6					270	2					3	r			pt	2
2016 B1	E29	42	Silex	FBP	23	27	8					621	3					3	nr				
2016 B1	E29	46	Silex	BP	43	15	8	2,87	L6	1,88	C2	645	3	nc	lin	uf	rt	1	m	cc	pp		2
2016 B1	E29	47	Silex	BP	15	18	3	0,83	L2	5,00	C5	270	2	nc	pla	uf	rt	1	m	rt			
2016 B1	E29	48	Silex	FBP	21	17	7					357	2					1					
2016 B1	E29	55	Silex	FBP	29	28	19					812	4					1				pp	2
2016 B1	E29	65	Silex	FBP	11	15	4					165	1					1					
2016 B1	E29	71	Silex	BP	24	19	9	1,26	L3	2,11	C3	456	2	nc	pun	uf	rt	1	m	rt			
2016 B1	E29	74	Silex	BP	51	23	8	2,22	L5	2,88	C3	1173	5	nc	pla	bf	ua	3	nr	m	cc		
2016 B1	E29	76	Silex	FBP	28	19	10					532	3					3	r				
2016 B1	E29	79	Silex	FBP	18	13	2					234	1					1				pt	5
2016 B1	E29	81	Silex	BPF	52	66	15					3432	9	nc	pla	uf	cx	3	r	m	rt		1
2016 B1	E29	87	Silex	BP	24	18	5	1,33	L3	3,60	C4	432	2	nc	pla	uf	rt	1	m	cx			Reflexada
2016 B1	E29	88	Silex	BPF	26	10	4					260	2	nc	pla	uf	rt	1	m	rt			
2016 B1	E29	93	Silex	BPF	15	17	4					255	2	nc	pla	uf	rt	1	m	rt			
2016 B1	E29	94	Silex	FBP	17	9	1					153	1					1				pt	5
2016 B1	E29	97	Silex	FBP	29	9	6					261	2					4	r				
2016 B1	E29	99	Silex	BP	31	22	9	1,41	L3	2,44	C3	682	3	nc	pla	uf	rt	1	m	rt			

Ascles

2016 B1	E29	106	Silex	BP	42	25	10	1,68	L4	2,50	C3	1050	5	nc	lin	uf	rt	1	m	cc									
2016 B1	E30	4	Silex	BP	9	13	3	0,69	L2	3,00	C3	117	1	nc	lin	uf	rt	1	m	rt									
2016 B1	E30	9	Silex	BP	24	31	15	0,77	L2	1,60	C2	744	3	nc	pla	uf	rt	1	m	sin									1 Reciclatge
2016 B1	E30	10	Silex	BP	19	15	5	1,27	L3	3,00	C3	285	2	nc	pla	uf	rt	1	m	cx									Reflexada
2016 B1	E30	14	Silex	FBP	22	15	5					330	2					1											
2016 B1	E30	16	Silex	BPF	11	13	2					143	1	nc	pla	uf	rt	1	m	rt									
2016 B1	E30	17	Silex	BPF	19	22	7					418	2	c	pla	nf	rt	1	m	rt									
2016 B1	E30	28	Silex	BP	55	35	13	1,57	L4	2,69	C3	1925	8	c	pla	nf	rt	4	r	m	sin								
2016 B1	E30	29	Silex	BP	13	11	3	1,18	L3	3,67	C4	143	1	nc	lin	uf	rt	4	r	m	cx								
2016 B1	E30	30	Silex	BP	64	49	18	1,31	L3	2,72	C3	3136	9	nc	pun	uf	rt	1	m	sin									
2016 B1	E30	33	Silex	FBP	48	20	22					960	4					3	r										
2016 B1	E30	38	Silex	BP	26	17	7	1,53	L4	2,43	C3	442	2	nc	pla	uf	rt	1	m	rt									1
2016 B1	E30	39	Silex	FBP	15	13	3					195	1					1											
2016 B1	E30	45	Silex	BP	25	13	9	1,92	L4	1,44	C2	325	2	nc	pla	uf	rt	1	m	rt	pp								2
2016 B1	E30	53	Silex	FBP	21	15	9					315	2					1											
2016 B1	E30	55	Silex	FBP	18	8	4					144	1					1											
2016 B1	E30	58	Silex	BP	21	13	4	1,62	L4	3,25	C4	273	2	nc	lin	uf	rt	1	d	rt	pp								2
2016 B1	E30	69	Silex	BP	25	27	7	0,93	L2	3,57	C4	675	3	nc	pla	uf	rt	1	m	rt									
2016 B1	E30	71	Calçària	BP	33	31	8	1,06	L3	3,88	C4	1023	5	c	lin	nf	rt	4	r	d	rt								
2016 B1	E30	72	Silex	BP	20	11	2	1,82	L4	5,50	C6	220	1	nc	lin	uf	rt	1	m	cc									
2016 B1	E30	76	Silex	FBP	18	14	6					252	2					1											2
2016 B1	E30	77	Silex	FBP	31	38	14					1178	5					3	r										5
2016 B1	E30	80	Silex	FBP	37	23	10					851	4					4	r										
2016 B1	E30	82	Silex	FBP	21	12	6					252	2					1											
2016 B1	E30	88	Silex	FBP	11	7	1					77	1					1											
2016 B1	E30	99	Silex	FBP	28	21	9					588	3					1											
2016 B1	E30	100	Silex	BP	27	18	5	1,50	L3	3,60	C4	486	2	nc	pla	uf	rt	1	m	cx									
2016 B1	E30	103	Silex	BP	15	12	3	1,25	L3	4,00	C4	180	1	nc	pla	uf	rt	3	r	m	rt								
2016 B1	E30	110	Silex	BP	51	32	7	1,59	L4	4,57	C5	1632	7	nc	pla	mf	rt	3	r	m	cx	pp							
2016 B1	E30	113	Silex	BPF	11	9	2					99	1	nc	pla	uf	rt	1	m	cx									
2016 B1	E30	119	Silex	FBP	21	25	7					525	3					1											1
2016 B1	E30	126	Silex	BPF	26	23	12					598	3	nc	lin	uf	cx	1	m	rt									2
2016 B1	E30	132	Silex	BP	46	40	10	1,15	L3	4,00	C4	1840	8	nc	pla	uf	rt	3	r	m	cx								Reflexada
2016 B1	E30	133	Silex	BP	39	16	9	2,44	L5	1,78	C2	624	3	nc	lin	bf	ua	3	nr	m	cc								1 Cresta unilateral
2016 B1	E30	138	Silex	FBP	27	19	6					513	3					1											4
2016 B1	E30	139	Silex	FBP	22	18	11					396	2					3	r										5
2016 B1	E30	140	Silex	BPF	15	14	8					210	1	nc	pla	uf	rt	1	m	rt									
2016 B1	E30	142	Silex	BPF	16	11	1					176	1	nc	lin	uf	rt	1	d	rt									
2016 B1	E30	149	Silex	FBP	14	13	5					182	1					1											
2016 B1	E30	154	Silex	FBP	20	17	6					340	2					3	nr										2 Fragmentat
2016 B1	E30	155	Silex	BP	26	34	10	0,76	L2	2,60	C3	884	4	nc	pla	uf	cx	1	m	cx									Reflexada
2016 B1	E30	161	Silex	FBP	27	28	22					756	4					4	r										1
2016 B1	E30	163	Silex	FBP	15	29	6					435	2					4	nr										
2016 B1	E30	164	Silex	FBP	15	9	2					135	1					1											
2016 B1	E30	165	Silex	BPF	14	7	4					98	1	nc	pun	uf	rt	1	d	cc									
2016 B1	E30	167	Silex	FBP	20	17	10					340	2					1											
2016 B1	E30	169	Silex	BPF	13	15	4					195	1	nc	pun	uf	rt	1	m	rt	pp								2
2016 B1	E30	170	Silex	BP	25	8	4	3,13	L7	2,00	C2	200	1	nc	pla	uf	rt	3	r	d	cx								Dors natural
2016 B1	E30	173	Calçària	FBP	30	13	8					390	2					1											
2016 B1	E30	174	Silex	BP	64	23	9	2,78	L6	2,56	C3	1472	6	nc	pla	uf	rt	4	r	m	cx								
2016 B1	E30	178	Silex	BP	20	13	5	1,54	L4	2,60	C3	260	2	nc	lin	uf	rt	3	r	m	rt								
2016 B1	E30	181	Silex	FBP	33	25	13					825	4					3	nr										
2016 B1	E30	184	Silex	FBP	36	33	9					1188	5					4	nr										5

Ascles

2016 B1	E30	192 Silex	FBP	18	9	4			162	1					3 nr			pp		2
2016 B1	E30	193 Silex	BP	12	6	2	2,00 L4	3,00 C3	72	1	nc	pla	uf	rt	1	d	rt			
2016 B1	E30	196 Silex	FBP	25	29	3			725	3					1					
2016 B1	E30	205 Silex	FBP	28	13	12			364	2					1			pp		2
2016 B1	E30	208 Silex	BP	36	21	3	1,71 L4	7,00 C7	756	4	nc	pla	uf	rt	3 r	m	cx			
2016 B1	E30	210 Silex	FBP	33	17	9			561	3					1					
2016 B1	E30	215 Silex	FBP	13	13	4			169	1					1			pp		2
2016 B1	E30	216 Silex	FBP	21	10	5			210	1					3 nr					
2016 B1	E30	223 Silex	BP	34	25	10	1,36 L3	2,50 C3	850	4	nc	lin	uf	rt	1	d	rt			
2016 B1	E31	1 Silex	FBP	18	8	2			144	1					1					
2016 B1	E31	2 Silex	FBP	22	13	7			286	2					1					3
2016 B1	E31	5 Silex	BP	15	14	2	1,07 L3	7,00 C7	210	1	nc	lin	uf	rt	1	m	cx			Reflexada
2016 B1	E31	6 Silex	BPF	11	13	4			143	1	nc	pla	uf	rt	1	m	rt			
2016 B1	E31	10 Silex	FBP	24	20	7			480	2					1					
2016 B1	E31	16 Silex	BP	26	31	5	0,84 L2	5,20 C6	806	4	nc	pla	uf	cx	3 nr	m	cc			
2016 B1	E31	17 Silex	FBP	14	9	3			126	1					3 r					
2016 B1	E31	18 Silex	FBP	19	13	7			247	1					1					
2016 B1	E31	19 Silex	FBP	25	17	9			425	2					1					
2016 B1	E31	20 Silex	BP	42	16	7	2,63 L6	2,29 C3	672	3	nc	pla	uf	rt	4 r	m	rt			
2016 B1	E31	21 Silex	FBP	30	19	9			570	3					1					1
2016 B1	E31	23 Esquist	BP	57	30	8	1,90 L4	3,75 C4	1710	7	c	pla	n	cx	3 r	m	rt			
2016 B1	E31	28 Silex	BP	24	25	6	0,96 L2	4,00 C4	600	3	nc	pla	uf	rt	3 r	m	cc			
2016 B1	E31	30 Silex	FBP	21	18	3			378	2					1			pt		2
2016 B1	E31	40 Silex	FBP	27	19	12			513	3					1					4
2016 B1	E31	42 Silex	FBP	33	15	11			495	2					4 r					
2016 B1	E31	43 Silex	BP	21	25	8	0,84 L2	2,63 C3	525	3	nc	pla	uf	rt	1	m	cc			
2016 B1	E31	47 Silex	FBP	14	20	5			280	2					3 r					
2016 B1	E31	53 Silex	BP	33	46	19	0,72 L2	1,74 C2	1518	7	nc	pla	uf	cx	4 r	m	sin			Reflexada
2016 B1	E31	57 Silex	BP	29	21	7	1,38 L3	3,00 C3	609	3	nc	pla	uf	rt	1	m	rt			
2016 B1	E31	65 Silex	FBP	27	6	4			162	1					1					
2016 B1	E31	67 Silex	BP	16	7	4	2,29 L5	1,75 C2	112	1	nc	pla	uf	rt	1	m	rt			
2016 B1	E31	72 Silex	FBP	22	9	5			198	1					1					
2016 B1	E31	74 Silex	BP	18	20	7	0,90 L2	2,57 C3	360	2	nc	pla	uf	rt	3 r	m	cc			
2016 B1	E31	75 Silex	FBP	27	14	4			378	2					1			pt		4
2016 B1	E31	78 Silex	BP	34	16	14	2,13 L5	1,14 C2	544	3	nc	pla	uf	rt	1	m	cx			Desbordant
2016 B1	E32	4 Silex	BP	13	11	3	1,18 L3	3,67 C4	143	1	nc	pla	uf	rt	1	m	cx			
2016 B1	E32	7 Silex	BP	34	17	8	2,00 L4	2,13 C3	578	3	nc	lin	uf	rt	3 r	m	cc			
2016 B1	E32	12 Silex	FBP	15	6	3			90	1					1					
2016 B1	E32	13 Silex	BP	31	28	10	1,11 L3	2,80 C3	868	4	nc	pla	uf	rt	1	m	rt			
2016 B1	E32	20 Silex	BP	7	14	1	0,50 L1	7,00 C7	98	1	nc	lin	uf	rt	1	m	rt			
2016 B1	E32	22 Silex	FBP	19	7	4			133	1					1					
2016 B1	E32	27 Silex	FBP	31	14	5			434	2					1					
2016 B1	E32	28 Silex	FBP	15	24	4			360	2					1					1
2016 B1	E32	31 Silex	FBP	34	19	13			646	3					3 r					
2016 B1	E32	38 Silex	FBP	25	12	6			300	2					1					
2016 B1	E32	40 Silex	FBP	15	12	3			180	1					3 r			pt		4
2016 B1	E32	50 Silex	FBP	14	13	5			182	1					1					1
2016 B1	E32	53 Silex	FBP	20	11	2			220	1					1					
2016 B1	E32	54 Silex	BP	24	17	3	1,41 L3	5,67 C6	408	2	nc	pla	bf	ua	1	m	cc			
2016 B1	E32	58 Silex	FBP	22	14	2			308	2					1					5
2016 B1	E32	59 Silex	BP	33	15	8	2,20 L5	1,88 C2	495	2	nc	pun	uf	rt	1	d	cc			1
2016 B1	E32	64 Silex	BP	30	14	5	2,14 L5	2,80 C3	420	2	nc	pla	uf	rt	1	m	rt			
2016 B1	E32	65 Silex	FBP	14	11	1			154	1					1			pt		2

Ascles

2016 B1	F29	20	Silex	BP	45	16	3	2,81	L6	5,33	C6	720	3	nc	pla	uf	rt	1	m	cc					
2016 B1	F29	23	Silex	FBP	30	23	7					690	3					1							
2016 B1	F29	26	Silex	BP	13	6	3	2,17	L5	2,00	C2	78	1	nc	pla	uf	rt	4	r	m	cc	pt			Nivell Sup?
2016 B1	F29	31	Silex	BPF	16	8	1					128	1	nc	lin	uf	rt	1	d	rt					
2016 B1	F29	32	Silex	FBP	17	8	4					136	1					4	nr			pt			Nivell Sup?
2016 B1	F29	34	Silex	BP	30	28	9	1,07	L3	3,11	C4	840	4	c	pla	nf	cx	4	r	m	rt	pt			Nivell Sup?
2016 B1	F29	36	Silex	BP	22	32	8	0,69	L2	2,75	C3	704	3	nc	pla	uf	cx	1	m	rt					Nivell Sup?
2016 B1	F29	37	Silex	BPF	15	13	3					195	1	c	pla	nf	rt	3	r	m	rt				
2016 B1	F29	39	Silex	BPF	26	19	9					494	2	nc	pla	uf	cc	3	nr	m	cx				1
2016 B1	F29	44	Silex	FBP	44	20	14					880	4					3	nr			pp			3
2016 B1	F29	46	Silex	FBP	16	10	6					160	1					1							
2016 B1	F29	50	Silex	BPF	37	26	14					962	4	nc	pla	uf	rt	1	m	rt	pp				Nivell Sup?
2016 B1	F29	53	Silex	FBP	16	9	5					144	1					1				pt			Nivell Sup?
2016 B1	F29	54	Silex	BPF	19	12	4					228	1	nc	pla	uf	rt	1	d	rt					4
2016 B1	F29	55	Silex	FBP	10	9	5					90	1					1							
2016 B1	F29	61	Silex	FBP	14	11	6					154	1					3	nr						
2016 B1	F29	64	Silex	BP	13	30	7	0,43	L1	1,86	C2	390	2	nc	pla	mf	rt	1	d	cc	pp				Nivell Sup?
2016 B1	F29	65	Silex	FBP	10	14	2					140	1					1				pp			2
2016 B1	F29	66	Silex	FBP	25	8	8					200	1					1							5
2016 B1	F29	68	Silex	BP	63	28	14	2,25	L5	2,00	C2	1764	8	nc	pla	uf	rt	1	m	rt					Possible retoc d'ús
2016 B1	F29	70	Silex	FBP	20	10	4					200	1					1							1
2016 B1	F29	81	Silex	BP	57	33	13	1,73	L4	2,54	C3	1881	8	nc	lin	uf	rt	3	nr	d	rt				
2016 B1	F29	82	Silex	FBP	47	29	5					1363	6					1							Possible retoc d'ús
2016 B1	F29	91	Silex	BP	29	32	4	0,91	L2	7,25	C8	928	4	nc	pla	uf	cx	2	r	m	cc				
2016 B1	F29	94	Silex	BP	27	16	4	1,69	L4	4,00	C4	432	2	nc	pla	uf	rt	1	m	rt					1 Extretra d'un nucli cremat
2016 B1	F29	102	Silex	BP	15	17	3	0,88	L2	5,00	C5	255	2	nc	lin	uf	cx	1	m	rt					
2016 B1	F30	3	Silex	FBP	20	12	6					240	1					3	nr						
2016 B1	F30	11	Silex	FBP	24	16	3					384	2					3	r						
2016 B1	F30	12	Silex	BP	37	34	8	1,09	L3	4,25	C5	1258	6	nc	pla	bf	ua	1	m	rt					1
2016 B1	F30	13	Silex	FBP	15	14	6					210	1					1				pt			4
2016 B1	F30	16	Silex	FBP	10	17	2					170	1					3	r						
2016 B1	F30	18	Silex	BP	31	15	4	2,07	L5	3,75	C4	465	2	nc	pun	uf	rt	3	nr	m	cc	pp			2 Dors natural
2016 B1	F30	29	Silex	BPF	21	9	3					189	1	nc	pla	uf	rt	1	m	rt					
2016 B1	F30	36	Silex	BP	35	37	33	0,95	L2	1,06	C2	1295	6	c	pla	bf	ua	3	nr	d	rt				
2016 B1	F30	37	Silex	FBP	25	13	4					325	2					3	nr						5
2016 B1	F30	41	Silex	BPF	27	11	4					297	2	nc	pun	uf	rt	1	d	rt					
2016 B1	F30	45	Silex	BP	73	40	12	1,83	L4	3,33	C4	2920	9	nc	pla	uf	rt	1	m	rt	pp				Nivell Sup?
2016 B1	F30	48	Silex	BP	37	32	13	1,16	L3	2,46	C3	1184	5	nc	pla	uf	rt	4	nr	m	rt				
2016 B1	F30	53	Silex	BP	21	28	8	0,75	L2	2,63	C3	588	3	c	pla	nf	rt	3	r	m	cx				
2016 B1	F30	54	Silex	BP	49	21	9	2,33	L5	2,33	C3	1029	5	nc	pla	uf	rt	1	m	rt					
2016 B1	F30	57	Silex	BP	58	18	11	3,22	L7	1,64	C2	1044	5	nc	pla	uf	rt	3	r	m	cc				Dors natural
2016 B1	F30	58	Silex	BP	42	22	7	1,91	L4	3,14	C4	924	4	nc	pun	uf	rt	4	r	m	cc				
2016 B1	F30	59	Silex	BP	45	15	5	3,00	L6	3,00	C3	675	3	nc	pun	uf	rt	1	m	rt					
2016 B1	F30	72	Silex	BP	53	27	15	1,96	L4	1,80	C2	1431	6	nc	pla	uf	rt	1	m	cx					
2016 B1	F30	78	Silex	FBP	21	26	8					546	3					1							
2016 B1	F30	82	Silex	BP	25	11	4	2,27	L5	2,75	C3	275	2	nc	lin	uf	rt	1	m	rt					1
2016 B1	F30	83	Silex	BPF	14	25	8					350	2	nc	pla	uf	rt	1	m	rt					
2016 B1	F30	86	Silex	BP	14	12	2	1,17	L3	6,00	C6	168	1	c	pun	nf	rt	1	m	cc					
2016 B1	F30	94	Silex	FBP	30	23	9					690	3					4	nr						
2016 B1	F30	97	Silex	BP	10	15	4	0,67	L2	2,50	C3	150	1	nc	pla	uf	rt	1	m	rt					
2016 B1	F30	98	Silex	BP	33	16	6	2,06	L5	2,67	C3	528	3	nc	pla	uf	rt	1	m	rt					1
2016 B1	F30	99	Silex	BP	62	13	7	4,77	L9	1,86	C2	806	4	nc	pla	uf	rt	3	r	d	cc				Làmina de cresta
2016 B1	F30	100	Silex	BP	55	18	4	3,06	L7	4,50	C5	990	4	nc	pun	uf	rt	1	d	cc					

Ascles

2016 B1.1	D32	37 Silex	BPF	26	18	14				468	2 nc	pla	uf	rt	1	m	rt						
2016 B1.1	D32	38 Silex	FBP	28	17	7				476	2				1							5	
2016 B1.1	D32	39 Calcària	BP	21	20	6	1,05 L3		3,33 C4	420	2 nc	pla	uf	rt	3 r	d	cc						
2016 B1.1	D32	46 Silex	FBP	28	14	4				392	2				1								
2016 B1.1	D32	56 Silex	BP	13	6	2	2,17 L5		3,00 C3	78	1 nc	lin	bf	ua	1	m	rt						
2016 B1.1	D32	57 Silex	BP	19	14	3	1,36 L3		4,67 C5	266	2 nc	lin	uf	rt	1	d	rt						
2016 B1.1	D32	58 Silex	BP	18	15	9	1,20 L3		1,67 C2	270	2 nc	pun	uf	rt	1	m	rt						
2016 B1.1	D32	59 Silex	BP	28	21	7	1,33 L3		3,00 C3	588	3 nc	pla	uf	rt	1	m	cx						
2016 B1.1	D32	62 Silex	FBP	14	8	2				112	1				1								
2016 B1.1	D32	68 Silex	FBP	20	11	4				220	1				1								
2016 B1.1	D32	72 Silex	FBP	15	15	3				225	1				1							5	
2016 B1.1	D32	76 Silex	BPF	23	19	8				437	2 nc	pla	uf	rt	1	m	rt						
2016 B1.1	D32	77 Silex	BP	21	20	7	1,05 L3		2,86 C3	420	2 nc	pla	uf	rt	4 r	m	cc						
2016 B1.1	D32	78 Silex	BP	23	9	5	2,56 L6		1,80 C2	207	1 nc	pla	uf	rt	1	d	rt					Lamineta de cresta	
2016 B1.1	D32	79 Silex	BP	26	10	3	2,60 L6		3,33 C4	260	2 nc	lin	uf	rt	1	m	cc						
2016 B1.1	D33	1 Silex	FBP	9	11	2				99	1				1								
2016 B1.1	D33	8 Silex	BP	20	24	6	0,83 L2		3,33 C4	480	2 nc	pla	uf	cc	3 r	m	rt						
2016 B1.1	D33	15 Silex	FBP	24	6	4				144	1				1			pp				2	
2016 B1.1	D33	18 Silex	BP	22	17	4	1,29 L3		4,25 C5	374	2 nc	pla	uf	rt	1	m	cc						
2016 B1.1	D33	24 Silex	BP	24	21	13	1,14 L3		1,62 C2	504	3 nc	pla	uf	rt	3 r	d	rt						
2016 B1.1	D33	26 Silex	BP	37	26	8	1,42 L3		3,25 C4	962	4 nc	lin	uf	rt	3 r	m	cc						
2016 B1.1	D33	30 Silex	FBP	20	15	2				300	2				3 r								
2016 B1.1	D33	31 Silex	BP	8	11	2	0,73 L2		4,00 C4	88	1 nc	lin	uf	rt	1	d	cc						
2016 B1.1	D33	32 Silex	BP	19	19	4	1,00 L2		4,75 C5	361	2 c	pla	nf	rt	1	m	cx					Reflexada	
2016 B1.1	D33	35 Silex	BP	16	16	6	1,00 L2		2,67 C3	256	2 nc	pla	uf	rt	2 r	m	rt						
2016 B1.1	D33	38 Silex	BPF	18	18	8				324	2 nc	pla	uf	rt	4 nr	m	cx						
2016 B1.1	D33	39 Silex	BPF	10	13	1				130	1 nc	pun	uf	rt	1	d	rt						
2016 B1.1	D33	40 Silex	BPF	13	21	5				273	2 nc	pla	bf	ua	1	m	rt					1	
2016 B1.1	D33	46 Silex	BP	20	7	4	2,86 L6		1,75 C2	140	1 nc	pla	uf	rt	1	d	rt						
2016 B1.1	D33	51 Silex	FBP	16	8	4				128	1				3 nr								
2016 B1.1	D33	67 Silex	BPF	28	23	8				644	3 nc	pla	uf	rt	1	m	rt						
2016 B1.1	D33	68 Silex	BP	11	10	3	1,10 L3		3,33 C4	110	1 nc	lin	uf	rt	3 r	m	cx					Reflexada	
2016 B1.1	D33	82 Silex	FBP	12	8	3				96	1				1								
2016 B1.1	D33	89 Silex	FBP	23	7	4				161	1				1								
2016 B1.1	D33	93 Silex	FBP	15	14	7				210	1				1								1
2016 B1.1	D33	96 Silex	BP	15	11	3	1,36 L3		3,67 C4	165	1 nc	pun	uf	rt	1	m	rt						
2016 B1.1	D33	98 Silex	BP	21	7	2	3,00 L6		3,50 C4	147	1 nc	pun	uf	rt	1	d	rt						
2016 B1.1	D33	100 Silex	BP	22	9	3	2,44 L5		3,00 C3	198	1 nc	lin	uf	rt	1	d	cx						
2016 B1.1	D33	101 Silex	BPF	8	12	2				96	1 nc	pla	uf	rt	1	m	rt						
2016 B1.1	D33	104 Silex	FBP	27	14	5				378	2				1								
2016 B1.1	D33	113 Silex	BP	16	11	6	1,45 L3		1,83 C2	176	1 nc	pla	uf	rt	3 r	d	rt	pp				2	
2016 B1.1	D33	117 Silex	FBP	19	13	7				247	1				1								
2016 B1.1	D33	118 Silex	FBP	13	6	2				78	1				1								
2016 B1.1	D33	119 Silex	BP	15	20	1	0,75 L2		15,00 C9	300	2 nc	lin	uf	rt	2 r	d	rt					Reflexada	
2016 B1.1	D33	121 Silex	BP	37	23	6	1,61 L4		3,83 C4	851	4 nc	pla	uf	rt	3 r	m	cc						
2016 B1.1	D33	128 Silex	FBP	13	6	3				78	1				3 r								
2016 B1.1	D33	138 Silex	BP	55	31	10	1,77 L4		3,10 C4	1705	7 nc	pla	bf	ua	1	m	cx						
2016 B1.1	D33	140 Silex	BPF	19	10	8				190	1 c	pla	nf	cx	1	m	rt						
2016 B1.1	D33	143 Silex	FBP	19	22	14				418	2				1			pp				4	
2016 B1.1	D33	146 Silex	FBP	15	9	3				135	1				1								
2016 B1.1	E29	3 Silex	BP	33	17	4	1,94 L4		4,25 C5	561	3 nc	lin	bf	ua	1	m	cc						
2016 B1.1	E29	10 Silex	FBP	24	14	8				336	2				3 r								1 Extreতা de nucli cremat
2016 B1.1	E29	11 Silex	BP	48	15	4	3,20 L7		3,75 C4	720	3 nc	pla	uf	rt	1	m	cc						

Ascles

2016 B1.1	E29	25 Silex	FBP	18	13	3				234	1							4 r									
2016 B1.1	E29	29 Silex	FBP	26	29	7				754	4							1									5
2016 B1.1	E29	32 Silex	FBP	30	28	6				840	4							4 r									
2016 B1.1	E29	36 Silex	FBP	35	29	15				1015	5							1									
2016 B1.1	E30	6 Silex	BP	16	22	3	0,73	L2	5,33	C6	352	2 nc	pla	uf	rt	3 r	m	rt									
2016 B1.1	E30	25 Silex	FBP	24	14	7				336	2							1				pt				2	
2016 B1.1	E30	35 Silex	BP	36	14	9	2,57	L6	1,56	C2	504	3 nc	pla	uf	rt	3 r	m	cc								Lâmina de cresta	
2016 B1.1	E30	40 Silex	FBP	29	22	5				638	3							1								4	
2016 B1.1	E30	44 Silex	BP	27	12	6	2,25	L5	2,00	C2	324	2 nc	pla	uf	rt	1	m	rt									
2016 B1.1	E30	45 Silex	BPF	14	16	4				224	1 nc	pla	uf	cx	1	m	rt										
2016 B1.1	E30	46 Silex	FBP	10	11	2				110	1							3 r									
2016 B1.1	E30	53 Calcària	BP	34	26	17	1,31	L3	1,53	C2	884	4 nc	pla	uf	rt	1	d	rt									
2016 B1.1	E30	55 Silex	FBP	31	18	12				558	3							3 nr									
2016 B1.1	E31	3 Silex	BP	29	17	6	1,71	L4	2,83	C3	493	2 nc	pla	uf	rt	1	d	cx	pt							2 Reflexada	
2016 B1.1	E31	3 Silex	FBP	40	20	6				800	4							1								5	
2016 B1.1	E31	4 Silex	BPF	28	15	2				420	2 nc	lin	uf	rt	1	m	rt										
2016 B1.1	E31	6 Silex	BP	26	15	10	1,73	L4	1,50	C2	390	2 nc	pla	uf	rt	3 r	m	rt									
2016 B1.1	E31	9 Silex	BP	23	25	8	0,92	L2	2,88	C3	575	3 nc	pun	uf	rt	3 r	d	cc	pt							2	
2016 B1.1	E31	12 Silex	BP	16	11	2	1,45	L3	5,50	C6	176	1 nc	lin	uf	rt	1	m	cc	pp							2	
2016 B1.1	E31	18 Silex	BPF	26	18	9				468	2 nc	pla	uf	rt	1	m	rt										
2016 B1.1	E31	28 Silex	BP	26	19	5	1,37	L3	3,80	C4	494	2 nc	lin	uf	rt	3 r	m	cc									
2016 B1.1	E31	37 Silex	FBP	18	17	8				306	2							4 nr									
2016 B1.1	E31	45 Silex	FBP	23	13	2				299	2							1									
2016 B1.1	E31	56 Silex	BP	19	15	4	1,27	L3	3,75	C4	285	2 nc	pla	uf	rt	1	m	cc									
2016 B1.1	E31	59 Silex	FBP	13	7	1				91	1							1									
2016 B1.1	E31	62 Silex	FBP	10	11	2				110	1							1									
2016 B1.1	E31	63 Silex	BP	25	25	4	1,00	L2	6,25	C7	625	3 nc	lin	uf	rt	3 nr	m	cx									
2016 B1.1	E31	64 Silex	BP	25	11	5	2,27	L5	2,20	C3	275	2 nc	pla	uf	rt	1	m	rt									
2016 B1.1	E31	66 Silex	BPF	28	26	7				728	3 nc	pla	uf	rt	3 r	m	rt										
2016 B1.1	E31	68 Silex	FBP	18	13	2				234	1							1									
2016 B1.1	E32	7 Silex	BPF	15	11	2				165	1 nc	lin	uf	rt	1	m	rt										
2016 B1.1	E32	8 Silex	BP	19	16	6	1,19	L3	2,67	C3	304	2 nc	pla	uf	cx	1	m	rt									
2016 B1.1	E32	24 Silex	FBP	22	21	6				462	2							1									
2016 B1.1	E32	31 Silex	FBP	15	10	2				150	1							1									
2016 B1.1	E32	33 Silex	FBP	30	22	12				660	3							2 nr									
2016 B1.1	E32	36 Silex	FBP	15	8	1				120	1							1									
2016 B1.1	E33	2 Silex	FBP	25	9	2				225	1							1									
2016 B1.1	E33	4 Silex	FBP	18	12	7				216	1							1									
2016 B1.1	E33	5 Silex	BP	15	22	4	0,68	L2	3,75	C4	330	2 nc	pla	uf	cx	1	m	cc									
2016 B1.1	E33	8 Silex	BP	41	30	9	1,37	L3	3,33	C4	1230	5 c	pun	nf	rt	1	d	rt									
2016 B1.1	E33	9 Calcària	BP	42	15	7	2,80	L6	2,14	C3	630	3 nc	pla	uf	rt	1	d	rt									
2016 B1.1	E33	12 Silex	BP	26	24	13	1,08	L3	1,85	C2	624	3 nc	pla	uf	rt	1	m	cx									
2016 B1.1	E33	18 Silex	FBP	21	12	4				252	2							1				pt				2	
2016 B1.1	E33	21 Silex	FBP	42	25	11				1050	5							4 r									
2016 B1.1	E34	17 Silex	BP	22	17	3	1,29	L3	5,67	C6	374	2 nc	pun	uf	rt	1	m	cc									
2016 B1.1	E34	25 Silex	FBP	15	10	2				150	1							1									
2016 B1.1	E34	29 Silex	FBP	13	7	2				91	1							1									
2016 B1.1	E34	30 Silex	FBP	18	23	3				414	2							1									
2016 B1.1	E34	40 Silex	BP	20	28	5	0,71	L2	4,00	C4	560	3 nc	pla	uf	rt	1	m	rt									
2016 B1.1	E34	45 Silex	FBP	23	7	5				161	1							2 nr									
2016 B1.1	E34	48 Silex	FBP	18	10	2				180	1							1									
2016 B1.1	E34	50 Silex	FBP	23	15	4				345	2							3 nr								5	
2016 B1.1	F29	3 Silex	BPF	18	8	2				144	1 nc	lin	uf	rt	1	m	rt										

Ascles

2016 B1.1	F29	6 Silex	BP	9	23	8	0,39	L1	1,13	C2	207	1	nc	pla	uf	cx	3	r	d	rt					
2016 B1.1	F29	12 Silex	BPF	27	13	7					351	2	nc	pla	uf	rt	1		m	rt					
2016 B1.1	F29	16 Silex	FBP	25	15	8					375	2					1					pp		2	
2016 B1.1	F29	18 Silex	BP	26	15	5	1,73	L4	3,00	C3	390	2	nc	lin	uf	rt	3	nr	m	cx					
2016 B1.1	F29	19 Silex	BP	15	16	8	0,94	L2	1,88	C2	240	1	nc	pla	bf	ua	3	nr	m	rt					
2016 B1.1	F29	23 Silex	FBP	31	28	19					868	4					1								
2016 B1.1	F29	25 Silex	FBP	28	24	19					672	3					1								
2016 B1.1	F30	3 Silex	FBP	31	11	4					341	2					3	r							Dors natural
2016 B1.1	F30	8 Silex	FBP	12	15	4					180	1					4	nr							
2016 B1.1	F30	11 Silex	BP	34	22	9	1,55	L4	2,44	C3	748	3	nc	pla	uf	rt	1		m	cc					
2016 B1.1	F30	12 Silex	BP	31	24	8	1,29	L3	3,00	C3	744	3	nc	pla	uf	cx	4	r	m	rt					
2016 B1.1	F30	13 Silex	FBP	17	17	3					289	2					1					pt		4	
2016 B1.1	F30	15 Silex	FBP	19	17	5					323	2					1								
2016 B1.1	F30	19 Silex	BP	28	15	5	1,87	L4	3,00	C3	420	2	nc	pun	uf	rt	1		m	cx					
2016 B1.1	F31	1 Silex	BP	48	17	7	2,82	L6	2,43	C3	816	4	nc	pla	uf	rt	1		m	rt					
2016 B1.1	F31	4 Silex	BP	28	20	6	1,40	L3	3,33	C4	560	3	nc	pun	uf	rt	3	nr	m	cc	pp			2	
2016 Perfil NW	D29	1 Silex	BP	24	24	3	1,00	L2	8,00	C8	576	3	nc	pla	bf	ua	1		m	rt					
2016 Perfil NW	D29	3 Silex	BPF	17	19	2					323	2	nc	pun	uf	rt	1		m	rt					
2016 Perfil NW	D29	4 Silex	FBP	14	11	5					154	1					4	r				pt		5	
2016 Perfil NW	D29	5 Silex	BP	29	17	6	1,71	L4	2,83	C3	493	2	nc	pla	uf	rt	1		m	cx	pp			2	
2016 Perfil NW	D29	6 Silex	BP	18	16	2	1,13	L3	8,00	C8	288	2	nc	pla	uf	rt	1		m	cc					
2016 Perfil NW	D29	7 Silex	BP	36	45	14	0,80	L2	2,57	C3	1620	7	nc	lin	uf	rt	1		m	rt					3
2016 Perfil NW	D29	8 Silex	BP	32	23	5	1,39	L3	4,60	C5	736	3	nc	pla	bf	ua	1		m	cc					3
2016 Perfil NW	D29	9 Silex	BP	32	20	10	1,60	L4	2,00	C2	640	3	nc	pun	uf	rt	1		m	rt					
2016 Perfil NW	D29	11 Silex	BP	32	22	7	1,45	L3	3,14	C4	704	3	nc	pla	uf	rt	3	nr	m	rt					
2016 Perfil NW	D29	12 Silex	FBP	39	33	6					1287	6					1								
2016 Perfil NW	D29	15 Silex	BP	21	10	3	2,10	L5	3,33	C4	210	1	nc	pla	uf	cx	1		m	rt					
2016 Perfil NW	D29	16 Silex	FBP	17	10	3					170	1					1								1
2016 Perfil W	E29	1 Silex	BP	37	25	10	1,48	L3	2,50	C3	925	4	nc	pla	uf	rt	1		m	cc					
2016 Perfil W	E29	2 Silex	FBP	56	14	7					784	4					1								
2016 Perfil W	E29	3 Silex	BP	17	10	3	1,70	L4	3,33	C4	170	1	nc	lin	uf	rt	1		m	cx					Reflexada
2016 Sup	F28	2 Silex	FBP	10	17	3					170	1					1					pp			
2016 Sup	F28	3 Silex	BPF	27	33	12					891	4	nc	pla	uf	rt	2	r	m	rt					
2016 Sup	F28	5 Silex	FBP	18	9	2					162	1					1								
2016 Sup	F28	9 Silex	BP	46	46	6	1,00	L2	7,67	C8	2116	9	nc	pla	uf	rt	3	r	m	cc					
2016 Sup	F28	17 Silex	FBP	16	20	3					320	2					1					pp		2	
2016 Sup	F28	22 Silex	BP	34	21	12	1,62	L4	1,75	C2	714	3	nc	lin	uf	rt	1		m	sin					Reflexada
2016 Sup	F29	5 Silex	BP	26	16	3	1,63	L4	5,33	C6	416	2	nc	pla	uf	rt	1		m	cc					
2016 Sup	F29	7 Silex	BP	81	32	11	2,53	L6	2,91	C3	2592	9	nc	pla	uf	rt	1		m	cc					
2016 Sup	F29	9 Silex	BP	23	24	7	0,96	L2	3,29	C4	552	3	nc	pla	uf	rt	1		m	rt					
2016 Sup	F29	10 Silex	BP	22	24	7	0,92	L2	3,14	C4	528	3	nc	pun	uf	rt	1		m	cx					
2016 Sup	F29	16 Silex	BPF	17	7	2					119	2	c	pla	nf	rt	1		m	rt					
2016 Sup	F29	23 Silex	BP	23	12	4	1,92	L4	3,00	C3	276	2	c	lin	nf	rt	3	nr	d	rt					
2016 Sup	F29	42 Silex	FBP	26	8	5					208	1					4	r							
2016 Sup	F29	43 Silex	FBP	41	16	6					656	3					1					pp			
2016 Sup	F29	47 Silex	FBP	19	17	7					323	2					1								
2016 Sup	F29	51 Silex	BP	49	19	7	2,58	L6	2,71	C3	931	4	nc	pla	uf	rt	1		m	cc	pp				
2016 Sup	F29	61 Silex	BP	29	25	7	1,16	L3	3,57	C4	725	3	nc	pla	uf	rt	3	r	m	cc					
2016 Sup	F29	62 Silex	BP	68	24	10	2,83	L6	2,40	C3	1632	7	nc	pun	uf	rt	1		m	rt					
2016 Sup	F29	63 Silex	FBP	20	12	2					240	1					1								
2016 Sup	F29	64 Silex	FBP	21	12	3					252	2					4	r							
2016 Sup	F29	84 Silex	BP	14	14	6	1,00	L2	2,33	C3	196	1	nc	pla	uf	rt	1		m	rt	pp				
2016 Sup	F29	99 Silex	BP	20	13	4	1,54	L4	3,25	C4	260	2	nc	pla	uf	rt	1		m	rt					4

Ascles

2016	Sup	F29	117	Silex	BP	9	13	2	0,69	L2	4,50	C5	117	1	nc	pla	uf	rt	1	m	cx							
									#####		#####																	

Artefactes retocats

Any	Nivell	Quadre	Núm	Material	Suport	Long	Amp	Gruix	IA	Modal	IC	Modca	Area	Format	Anàlisi	Tipus	Còrtex	Pat	Crema	Observacions					
2016	A	D29	284	Sílex	BPF	23	20	10					460	2	Lat.dret.[Spdrt-Amdrt]	BNC(F)		pp	2	Doble pàtina. Reciclage					
2016	A	D30	865	Sílex	FBP	22	17	3					374	2	Lat.esq.[Spdccc+Spdccc+Spdccc]	G12		pp	4						
2016	A	D30	873	Sílex	FBP	15	6	2					90	1	Lat.esq.[Apdrt]	LD21									
2016	A	D30	874	Sílex	FBP	7	15	3					105	1	Trans.dist.[Spdccc]	G11									
2016	A	D30	875	Sílex	FBP	22	12	3					264	2	Trans.prox.[Spdccc]	G21									
2016	A	D32	2127	Sílex	FBP	18	32	9					576	3	Trans.dist.[Spdccc]	Sind	3								
2016	A	E30	1288	Sílex	FBP	31	13	7					403	2	Trans.dist.[Spdccc]	G11	3		1						
2016	A	E30	1290	Sílex	FBP	30	8	4					240	1	Lat.dret.[Apdrt]	LD21									
2016	A	E32	755	Sílex	BP	30	22	5	1,36	L3		4,40	C5	660	3	Trans.dist.[Apdccc-Apdrt]	Bc2								
2016	A	E32	757	Sílex	FBP	13	8	3					104	1	Lat.esq.[Amdrt]	A1		pp	2						
2016	A	E32	764	Sílex	FBP	35	25	10					875	4	Lat.esq.[Spdccc]	Sind									
2016	A	E32	768	Sílex	FBP	33	19	7					627	3	Lat.esq.[Spdccc+Spdccc]	G12				4					
2016	A	E32	776	Sílex	FBP	19	8	2					152	1	Lat.esq.[Apdrt]	LD21		pp	2						
2016	B1	D29	1	Sílex	FBP	32	28	7					896	4	Lat.esq.[Spdccc+S(A)pdccc+Spdccc+Spdccc]	G13									
2016	B1	D29	2	Sílex	FBP	37	16	5					592	3	Lat.esq.[Smdccc+Spdccc]	G12		pp	4						
2016	B1	D29	8	Sílex	BP	23	21	7	1,10	L3		3,00	C3	483	2	Trans.dist.[Apdccc-Spdccc]	G22								
2016	B1	D29	99	Sílex	BP	28	25	4	1,12	L3		6,25	C7	700	3	Lat.esq.[Smdrt]	Sind					Possible retoc d'ús			
2016	B1	D29	107	Sílex	BPF	21	24	11					504	3	Lat.dret.[Spdrt]	D23				1	Retoc posterior a l'alteració tèrmica. Reciclatge				
2016	B1	D29	119	Sílex	BP	44	28	11	1,57	L4		2,55	C3	1232	5	Trans.dist.[Spdccc]	D23	3							
2016	B1	D29	130	Sílex	FBP	23	27	11					621	3	Lat.esq.[Apdca]	A2	3								
2016	B1	D29	194	Sílex	FBP	42	33	19					1386	6	Lat.dret.[Spdccc]	D23	3								
2016	B1	D29	199	Sílex	FBP	37	29	17					1073	5	Trans.dist.[Spdccc-Ppiccc]	G11					1	El retoc al TD és posterior a l'alteració tèrmica			
2016	B1	D29	230	Sílex	FBP	26	7	5					182	1	Lat.esq.[Spdccc]	Sind	3								
2016	B1	D29	247	Calcària	Bn(F)	73	38	30					2774	9	Lat.esq.[Spdccc]	D23	4					Sobre fragment de còdol			
2016	B1	D29	299	Sílex	FBP	9	3	1					27	1	Lat.dret.[Apdrt]	PD23									
2016	B1	D30	25	Sílex	FBP	21	19	7					399	2	Lat.esq.[Smdccc+Spdccc-Apdrt]	G21									
2016	B1	D30	31	Sílex	BP	32	17	7	1,88	L4		2,43	C3	544	3	Trans.dist.[Spdccc]	G11	3			4				
2016	B1	D30	42	Sílex	BP	17	14	4	1,21	L3		3,50	C4	238	1	Trans.dist.[Spdccc]	G11	3			1	Retoc posterior a l'alteració tèrmica. Reciclatge			
2016	B1	D30	57	Sílex	BP	34	26	10	1,31	L3		2,60	C3	884	4	Trans.dist.[Spdccc]	G21								
2016	B1	D30	73	Sílex	FBP	22	18	10					396	2	Lat.esq.[Spicrt+Spdccc]	Sind									
2016	B1	D30	108	Sílex	BP	47	40	12	1,18	L3		3,33	C4	1880	8	Lat.dret.[Spdccc]	R21	3							
2016	B1	D30	115	Sílex	BP	26	8	3	3,25	L7		2,67	C3	208	1	Lat.dret.[Amdrt]	LD11								
2016	B1	D30	136	Sílex	FBP	21	15	8					315	2	Trans.dist.[Spdccc]	G11						1			
2016	B1	D31	11	Sílex	FBP	24	7	3					168	1	Lat.esq.[Apdccc-Apdccc]	PD25		pp	2						
2016	B1	D31	12	Sílex	FBP	52	35	19					1820	8	Trans.dist.[Spdrt-Bnlpolyg=Apicrt]	D23	4	pp			2	El còrtex és una doble pàtina. Possible burí			
2016	B1	D31	20	Sílex	BP	25	10	3	2,50	L5		3,33	C4	250	1	Trans.dist.[Smdccc]	G11	3	pt						
2016	B1	D31	26	Sílex	BP	21	14	2	1,50	L3		7,00	C7	294	2	Lat.esq.[Spdccc+Spdccc]	G12								
2016	B1	D31	32	Sílex	BP	47	25	11	1,88	L4		2,27	C3	1175	5	Lat.dret.[Smiecc-Spdrt]	P11	4							
2016	B1	D31	35	Sílex	BP	18	11	2	1,64	L4		5,50	C6	198	2	Lat.esq.[Spdccc+Smdccc]	G22								
2016	B1	D31	61	Sílex	BP	29	18	6	1,61	L4		3,00	C3	522	3	Trans.dist.[Spdccc]	G22						1		
2016	B1	D31	72	Sílex	FBP	21	19	2					399	2	Trans.dist.[Spdccc]	G11							El retoc al TD és posterior a l'alteració tèrmica		
2016	B1	D31	103	Sílex	BP	50	26	14	1,92	L4		1,86	C2	1300	6	Lat.esq.[Piecc-Spdccc-Spddrt]	D23	3	pt		2				
2016	B1	D31	138	Sílex	BP	53	23	11	2,30	L5		2,09	C3	1219	5	Lat.esq.[Spddrt+Spdccc+Spddrt]	G12								
2016	B1	D31	156	Sílex	BP	20	18	5	1,11	L3		3,60	C4	360	2	Trans.dist.[Apdccc]	A2	4							
2016	B1	D31	161	Sílex	BPF	42	17	6					714	3	Lat.esq.[Piecc-Spddrt]	D23					1	Retoc posterior a l'alteració tèrmica. Reciclatge			
2016	B1	D31	168	Sílex	FBP	16	19	3					304	2	Trans.dist.[Spdccc]	G11	3	pt		2					
2016	B1	D31	169	Sílex	BP	22	18	7	1,22	L3		2,57	C3	396	2	Trans.dist.[Smdccc-Apdecc]	G22		pt		2				
2016	B1	D31	172	Sílex	FBP	16	4	2					64	1	Lat.esq.[Apdrt]	LD21		pt		2					
2016	B1	D31	173	Sílex	FBP	13	4	2					52	1	Lat.esq.[Apdrt]	LD21		pt		2					
2016	B1	D31	174	Sílex	FBP	13	6	3					78	1	Lat.dret.[Apdrt]	LD21		pt		2					
2016	B1	D31	175	Sílex	FBP	12	4	2					48	1	Lat.dret.[Apdrt]	PD23									
2016	B1	D32	5	Sílex	BP	29	26	12	1,12	L3		2,17	C3	754	4	Trans.dist.[Spdccc]	G11	3							
2016	B1	D32	8	Sílex	BPF	30	22	9					660	3	Lat.dret.[Smdrt]	D13									
2016	B1	D32	39	Sílex	FBP	21	6	2					126	1	Lat.dret.[Apdrt]	LD21									
2016	B1	D32	41	Sílex	BP	45	34	14	1,32	L3		2,43	C3	1530	7	Trans.dist.[Spdccc]	G11	4							
2016	B1	D32	59	Sílex	FBP	34	17	5					578	3	Trans.dist.[Smdccc]	G11									
2016	B1	D32	60	Sílex	BP	32	27	10	1,19	L3		2,70	C3	864	4	Lat.esq.[Spdecc+A(S)pdrt]	Bc1								
2016	B1	D32	121	Sílex	FBP	32	24	8					768	4	Trans.dist.[A(S)pdccc+Spiecc-Spdccc]	Bc1	3								
2016	B1	D32	179	Sílex	FBP	26	22	9					572	3	Trans.dist.[Spdccc]	G11	3				1				
2016	B1	D32	211	Sílex	FBP	29	21	12					609	3	Trans.dist.[Spiccc]	BNC(F)	2								
2016	B1	D32	225	Sílex	BP	52	27	13	1,93	L4		2,08	C3	1404	6	Lat.esq.[Spdccc-Spidrt]	D23								
2016	B1	D32	243	Sílex	BPF	14	4	2					56	1	Lat.dret.[Apdrt]	LD21									
2016	B1	D33	34	Sílex	BP	45	27	8	1,67	L4		3,38	C4	1215	5	Trans.dist.[Apdccc]	G22	3						Possible retoc d'ús al lateral dret	

Artefactes retocats

2016 B1	D33	62	Sílex	BP	20	6	2	3,33	L7	3,00	C3	120	1	Lat.dret [Apdort]	LD21				
2016 B1	D33	69	Sílex	BP	21	13	5	1,62	L4	2,60	C3	273	2	Trans.dist.[Spdccc]	G11	3			2 Doble pàtina. Reciclatge
2016 B1	D33	76	Sílex	BP	67	37	12	1,81	L4	3,08	C4	2479	9	Lat.dret [Smicrt-Spdrrt]	D23	4			4 Retoc invers és posterior a l'alteració tèrmica
2016 B1	D33	104	Sílex	BP	20	11	3	1,82	L4	3,67	C4	220	1	Trans.dist.[Spdccc(rt)+Spdccc]	G12	4			
2016 B1	D33	122	Sílex	FBP	41	24	5					984	4	Lat.esq.[Spdccc]	D21			1	
2016 B1	D33	133	Sílex	BPF	42	26	10					1092	5	Lat.esq.[Spdrt-Spdecc-Spdecc]	D23				
2016 B1	D33	145	Sílex	FBP	34	20	7					680	3	Trans.dist.[Spdccc]	G21	3			
2016 B1	D33	156	Sílex	FBP	18	5	2					90	1	Lat.dret [Apdort]	LD21				
2016 B1	D33	169	Sílex	BP	51	29	12	1,76	L4	2,42	C3	1479	6	Trans.dist.[Apdort-Smdccc]	G22				
2016 B1	D33	216	Sílex	BPF	32	19	6					608	3	Trans.dist.[Spdccc]	G11				
2016 B1	D33	302	Sílex	FBP	28	24	11					672	3	Lat.esq.[Spdecc+Apdecc-Apdrt]	A2				1 Alguns retocs són posteriors a l'alteració tèrmica
2016 B1	D33	316	Sílex	BP	22	8	2	2,75	L6	4,00	C4	176	1	Lat.dret [Amdrt]	LD11				
2016 B1	D33	335	Sílex	BP	47	37	10	1,27	L3	3,70	C4	1739	7	Lat.esq.[Spdccc-Spdccc]	P21	3			
2016 B1	D33	356	Sílex	BP	19	21	6	0,90	L2	3,17	C4	399	2	Trans.dist.[Spdccc]	G11	3			
2016 B1	D33	371	Sílex	FBP	23	9	4					207	1	Lat.esq.[Apdrt]	LD21				
2016 B1	D33	425	Sílex	FBP	20	17	4					340	2	Trans.dist.[Spdccc+Smdccc]	G12				
2016 B1	D33	477	Sílex	FBP	9	10	4					90	1	Lat.esq.[Spdrt-Spdecc]	BNC(F)				
2016 B1	D33	478	Sílex	FBP	15	13	4					195	1	Trans.dist.[Amdrt]	BNC(F)	pt			5
2016 B1	D33	480	Sílex	FBP	14	11	3					154	1	Trans.dist.[Spdccc]	G11	3			
2016 B1	E29	6	Sílex	BP	26	25	6	1,04	L3	4,17	C5	650	3	Trans.dist.[Spdccc]	G11	pt			5
2016 B1	E29	27	Sílex	FBP	22	26	5					572	3	Lat.esq.[Spdecc+Spdccc+Spdrt]	G12	pp			Doble pàtina. Reciclatge
2016 B1	E29	38	Sílex	FBP	66	19	9					1254	6	Lat.dret [Spdrt-Spdccc]	D23				
2016 B1	E29	43	Sílex	FBP	48	40	14					1920	8	Lat.dret [Spdrt]	D23				
2016 B1	E29	45	Sílex	BPF	33	28	15					924	4	Lat.dret [Smdrt]	BNC(F)	4			
2016 B1	E29	51	Sílex	FBP	31	6	4					186	1	Lat.esq.[Apdrt]	PD23				
2016 B1	E29	54	Sílex	BP	17	18	5	0,94	L2	3,40	C4	306	2	Trans.dist.[Spiecc-Spdccc-Apdrt]	G22				
2016 B1	E29	64	Sílex	BP	51	27	6	1,89	L4	4,50	C5	1377	6	Trans.dist.[Spdecc]	D21				
2016 B1	E29	66	Sílex	FBP	29	25	10					725	3	Lat.esq.[Spdrt]	D23	3			1
2016 B1	E29	104	Sílex	FBP	35	24	9					840	4	Lat.dret [Spdrt]	Sind				
2016 B1	E29	108	Sílex	FBP	9	19	2					171	1	Trans.dist.[Spdccc]	G11				
2016 B1	E30	8	Sílex	BP	18	23	5	0,78	L2	3,60	C4	414	2	Trans.dist.[Apdrt+Amdecc]	T21				
2016 B1	E30	13	Sílex	FBP	16	22	3					352	2	Trans.dist.[Spdccc]	G11				
2016 B1	E30	50	Sílex	BP	57	32	13	1,78	L4	2,46	C3	1824	8	Lat.esq.[Spdrt-Spdccc]	D21-D23				
2016 B1	E30	64	Sílex	FBP	20	10	3					200	1	Lat.dret [Spdccc]	BNC(F)				
2016 B1	E30	65	Sílex	FBP	29	24	6					696	3	Lat.esq.[Spdccc-Spdccx]	D24				
2016 B1	E30	70	Sílex	FBP	14	16	4					224	1	Lat.esq.[Spdccc+Spdccc]	G21	4			
2016 B1	E30	106	Sílex	FBP	16	10	2					160	1	Lat.esq.[Apdrt]	LD21				
2016 B1	E30	115	Sílex	BP	39	19	11	2,05	L5	1,73	C2	741	3	Trans.dist.[Spdccc]	G11	3	pp		2
2016 B1	E30	125	Sílex	BPF	24	21	6					504	3	Lat.dret [Spdecc-Spdecc]	D23				1
2016 B1	E30	128	Sílex	FBP	11	6	2					66	1	Lat.dret [Spicrt]	BNC(F)				
2016 B1	E30	153	Sílex	FBP	25	17	7					425	2	Trans.prox.[Spdccc]	G11	3			
2016 B1	E30	157	Sílex	FBP	32	8	4					256	2	Lat.dret [Apdrt]	PD23				
2016 B1	E30	171	Sílex	FBP	25	37	16					925	4	Lat.esq.[Spdccc+S(A)pdccc+Spddua]	D22				
2016 B1	E30	191	Sílex	BP	26	15	4	1,73	L4	3,75	C4	390	2	Lat.esq.[Apdrt+Smdccc+]	G21				
2016 B1	E30	211	Sílex	BP	31	20	4	1,55	L4	5,00	C5	620	3	Trans.dist.[Spdccc]	G21				
2016 B1	E30	221	Sílex	BP	35	26	15	1,35	L3	1,73	C2	910	4	Lat.esq.[Spdccc]	D23	3			
2016 B1	E30	222	Sílex	FBP	22	16	9					352	2	Trans.dist.[Spdccc]	G11				
2016 B1	E30	224	Sílex	FBP	19	3	2					57	1	Lat.dret [Spdrt]	LD21				
2016 B1	E31	7	Sílex	FBP	26	12	5					312	2	Trans.dist.[Spdccc]	G11				
2016 B1	E31	39	Sílex	BP	25	21	8	1,19	L3	2,63	C3	525	3	Trans.dist.[Spdccc]	G11				2
2016 B1	E31	46	Sílex	BP	34	32	7	1,06	L3	4,57	C5	1088	5	Lat.esq.[Spdccc]	D21				
2016 B1	E31	63	Sílex	FBP	36	13	6					468	2	Trans.dist.[Spdccc]	G11	pp			4
2016 B1	E32	5	Sílex	BP	55	31	13	1,77	L4	2,38	C3	1705	7	Lat.dret [Spdccc]	D21	3			1
2016 B1	E32	32	Sílex	BP	19	15	5	1,27	L3	3,00	C3	285	2	Trans.dist.[Spdccc+Spdccc]	G12				1
2016 B1	E32	39	Sílex	FBP	23	18	8					414	2	Trans.dist.[Spdecc-Smdccc]	G22	3			
2016 B1	E32	84	Sílex	FBP	28	18	5					504	3	Lat.esq.[Spdccc]	D21	3			
2016 B1	E33	3	Sílex	FBP	27	10	3					270	2	Lat.dret [Apdrt]	A2				
2016 B1	E33	4	Sílex	FBP	46	21	11					966	4	Lat.esq.[Spdrt-Smdccc]	D23	3			4
2016 B1	E33	24	Sílex	FBP	28	19	7					532	3	Lat.dret [Smdrt-Spdecc]	D21				
2016 B1	E33	27	Sílex	FBP	14	6	2					84	1	Lat.dret [Apdrt]	LD21				
2016 B1	E33	81	Sílex	FBP	16	16	4					256	2	Trans.dist.[Spdccc]	G11	pt			2
2016 B1	F29	1	Sílex	FBP	35	43	19					1505	7	Lat.esq.[Spdrt-Spiecc-Spiecc]	Sind	4	pp		4
2016 B1	F29	18	Sílex	BP	19	12	4	1,58	L4	3,00	C3	228	1	Lat.esq.[Spiecc-Spdecc]	D24				Nivell Sup?
2016 B1	F29	29	Sílex	BP	24	12	6	2,00	L4	2,00	C2	288	2	Trans.dist.[Apdrt]	T22	3	pt		2

Artefactes retocats

2016	B1	F29	41	Sílex	BP	26	24	7	1,08	L3		3,43	C4	624	3	Trans.dist.[Spdccc-Smdccx]	G22		pp		Nivell Sup?
2016	B1	F29	46	Sílex	FBP	48	30	16						1440	6	Trans.dist.[Apdecc-Birt+Spdccc+Bnipolyg]	B12-B4				
2016	B1	F29	74	Sílex	BP	32	19	8	1,68	L4		2,38	C3	608	3	Trans.dist.[S(A)pdecc+Spdrt]	Bc1				
2016	B1	F29	97	Sílex	FBP	17	20	6						340	2	Trans.dist.[Apdecc-Apdrt]	T22				
2016	B1	F29	101	Sílex	FBP	42	26	10						1092	5	Trans.dist.[Spdccc-Spdccc]	G11-G11		3		
2016	B1	F29	110	Sílex	FBP	27	8	4						216	1	Lat.dret [Apdrt]	LD21				
2016	B1	F30	34	Sílex	BPF	24	16	5						384	2	Lat.esq.[Spiecc]	D21				
2016	B1	F30	63	Sílex	FBP	25	5	3						125	1	Lat.dret [Apdrt]	LD21				
2016	B1	F30	65	Sílex	FBP	37	13	4						481	2	Lat.esq.[Spdrt+Apirt+Spdrt]	Sind			4	El retoc és posterior a l'alteració tèrmica
2016	B1	F30	80	Sílex	BPF	46	24	11						1104	5	Lat.dret [Spdccc]	D21		4		
2016	B1	F30	87	Sílex	BP	36	27	10	1,33	L3		2,70	C3	972	4	Trans.dist.[Smdccc-Apdecc]	G22				El suport és una ascla desbordant
2016	B1	F30	111	Sílex	BP	27	25	8	1,08	L3		3,13	C4	675	3	Trans.dist.[Apdecc-Smdccx]	G22		4		
2016	B1	F30	137	Sílex	BP	24	22	7	1,09	L3		3,14	C4	528	3	Lat.esq.[Spdrt+Spdccc+Spdrt]	G12		3		
2016	B1	F30	150	Sílex	BP	54	30	12	1,80	L4		2,50	C3	1620	7	Trans.dist.[Spdrt]	D23		4		
2016	B1	F30	168	Sílex	BP	62	22	8	2,82	L6		2,75	C3	1364	6	Lat.esq.[Smdccc-Spidcc-Spdrt]	D23		3		
2016	B1	F30	170	Sílex	BP	24	23	7	1,04	L3		3,29	C4	552	3	Trans.dist.[Apdecc-Smdccc]	Sind				Possible G22
2016	B1	F30	173	Sílex	FBP	18	6	1						108	1	Lat.dret [Apdccx]	LD21				
2016	B1	F30	174	Sílex	FBP	13	4	2						52	1	Lat.dret [Apirt]	LD21				
2016	B1	F30	175	Sílex	FBP	22	5	3						110	1	Lat.esq.[Apdccx-Apdccc]	PD25				
2016	B1	F30	177	Sílex	BPF	22	7	3						154	1	Lat.esq.[Apdrt]	LD21				
2016	B1	F31	10	Sílex	FBP	45	19	9						855	4	Lat.esq.[Pidcc-Spdrt-Pmirt]	D23		3		1 Possible Écailé
2016	B1	F31	21	Sílex	FBP	18	11	2						198	1	Lat.esq.[Spdrt-Spdrt]	Sind				
2016	B1.1	D29	1	Sílex	FBP	33	15	4						495	2	Trans.dist.[Apdrt-Smdccx]	G22				
2016	B1.1	D30	3	Sílex	FBP	37	27	8						999	4	Trans.dist.[Spdccc]	G11				
2016	B1.1	D30	4	Sílex	BP	24	31	19	0,77	L2		1,26	C2	744	3	Lat.esq.[Spdrt]	R21		4		
2016	B1.1	D30	14	Sílex	FBP	23	4	2						92	1	Lat.dret [Apdrt]	LD21				
2016	B1.1	D30	20	Sílex	FBP	40	21	6						840	4	Lat.esq.[Spdrt]	Sind				
2016	B1.1	D31	2	Sílex	FBP	43	27	8						1161	5	Lat.esq.[Apdccc-Apdrt]	Bc2				
2016	B1.1	D31	19	Sílex	FBP	27	18	10						486	2	Trans.dist.[Spdccc]	G11		3		
2016	B1.1	D31	27	Sílex	FBP	29	17	9						493	2	Trans.dist.[S(A)mdccx-Apdrt]	G11		3		1 El retoc al TP és posterior a l'alteració tèrmica
2016	B1.1	D31	40	Sílex	BPF	33	27	16						891	4	Lat.esq.[Spdccc]	D23				1
2016	B1.1	D32	20	Sílex	BP	27	19	7	1,42	L3		2,71	C3	513	3	Trans.dist.[Spdccc]	D25				
2016	B1.1	D32	71	Sílex	BP	33	19	8	1,74	L4		2,38	C3	627	3	Lat.esq.[Smdrt]	Sind				El retoc només emfatitza la forma apuntada de l'ascla
2016	B1.1	D32	80	Sílex	BP	32	22	7	1,45	L3		3,14	C4	704	3	Trans.dist.[Spdccc+Spdccc]	G12		3		
2016	B1.1	D32	81	Sílex	FBP	25	7	1						175	1	Lat.esq.[Apdrt]	LD21		pp		4
2016	B1.1	D33	11	Sílex	BP	16	18	5	0,89	L2		3,20	C4	288	2	Trans.dist.[Apdrt]	T22		4		Possible Grataador
2016	B1.1	D33	49	Sílex	BP	27	7	3	3,86	L8		2,33	C3	189	1	Lat.esq.[Apdrt]	PD23				
2016	B1.1	D33	109	Sílex	BPF	30	20	13						600	3	Trans.dist.[Spiecc]	D21		3	pt	2
2016	B1.1	D33	122	Sílex	FBP	15	10	3						150	1	Lat.esq.[Spdrt]	BNC(F)				4
2016	B1.1	D33	131	Sílex	FBP	30	39	16						1170	5	Lat.esq.[Spdrt-Bipolyg-Bnrt]	B12-B23				
2016	B1.1	D33	136	Sílex	BP	40	23	12	1,74	L4		1,92	C2	920	4	Trans.dist.[Smdccc+Spdccc]	G12		3		
2016	B1.1	D33	137	Sílex	BP	42	20	4	2,10	L5		5,00	C5	840	4	Trans.dist.[Spdccc]	G11				
2016	B1.1	D33	149	Sílex	FBP	44	26	7						1144	5	Lat.dret [Spdccc]	Sind		3		4
2016	B1.1	D33	155	Sílex	FBP	19	6	3						114	1	Lat.esq.[Apbccx]	PD23				
2016	B1.1	E29	20	Sílex	FBP	22	12	7						264	2	Trans.dist.[Spdccc]	G11		3		
2016	B1.1	E29	50	Sílex	FBP	19	5	2						95	1	Lat.dret [Apdrt]	LD21				
2016	B1.1	E29	51	Sílex	FBP	8	3	2						24	1	Lat.dret [Apdrt]	LD21				
2016	B1.1	E30	19	Sílex	FBP	26	10	4						260	2	Lat.dret [Apdrt]	PD23				
2016	B1.1	E30	47	Sílex	FBP	27	18	9						486	2	Trans.dist.[Spdecc]	D21		3		Possible Grataador
2016	B1.1	E30	50	Sílex	FBP	28	12	5						336	2	Lat.esq.[Smdrt]	Sind				
2016	B1.1	E30	61	Sílex	FBP	17	11	2						187	1	Trans.dist.[Spdrt-Amdccc]	BNC(F)				
2016	B1.1	E31	30	Sílex	BPF	27	23	9						621	3	Lat.esq.[Spdrt]	Sind		3		
2016	B1.1	E31	51	Sílex	BPF	27	15	5						405	2	Lat.esq.[Spdccc-Spdrt]	BNC(F)				
2016	B1.1	E31	70	Sílex	BPF	19	12	4						228	1	Lat.dret [Apdrt]	A2				
2016	B1.1	E32	21	Sílex	FBP	42	41	9						1722	7	Lat.esq.[Smdrt+Smdccc]	R11				El retoc al TD només emfatitza el triedre distal
2016	B1.1	E32	26	Sílex	BP	53	33	11	1,61	L4		3,00	C3	1749	7	Lat.dret [Spdccc]	D21		3		1
2016	B1.1	E32	38	Sílex	FBP	27	11	5						297	3	Lat.dret [Spdecc]	Sind		3		
2016	B1.1	E32	42	Sílex	FBP	9	4	1						36	1	Lat.dret [Apdrt]	LD21				
2016	B1.1	E34	19	Sílex	BP	33	31	7						1023	5	Trans.dist.[Apdecc-Smdrt]	G22		4		
2016	B1.1	F29	4	Sílex	FBP	25	15	4						375	2	Lat.esq.[Apdccsin]	A2				3
2016	B1.1	F29	14	Sílex	FBP	43	58	17						2494	9	Lat.esq.[Spdrt+Spdrt]	D23		3		
2016	B1.1	F29	26	Sílex	BP	50	30	19	1,67	L4		1,58	C2	1500	6	Lat.esq.[Spdrt+Spdrt+Smdccc]	D23				
2016	B1.1	F30	14	Sílex	BP	40	25	10	1,60	L4		2,50	C3	1000	4	Lat.esq.[Spdccc-Spdccc]	D21				3
2016	Perfil NW	D29	2	Sílex	FBP	37	35	9						1295	6	Lat.esq.[Spdccc+S(A)pdccx-Apdecc]	G12		3		

Artefactes retocats

2016	Perfil NW	D29	10	Silex	BP	33	24	14	1,38	L3	1,71	C2	792	4	Trans.dist.[Spdccx]	G11	3	1
2016	Perfil W	E29	4	Silex	FBP	20	9	4					180	1	Lat.esq.[Apdrt]	LD21		
2016	Sup	F28	10	Silex	BP	15	11	4	1,36	L3	2,75	C3	165	1	Lat.esq.[Spdccx]	Sind		
2016	Sup	F29	15	Silex	FBP	25	11	2					275	2	Lat.esq.[Apdrt]	A2		
2016	Sup	F29	58	Silex	BP	22	16	6	1,38	L3	2,67	C3	352	2	Trans.dist.[Apdrt]	T22		Possible Gratador
2016	Sup	F29	76	Silex	BP	44	18	5	2,44	L5	3,60	C4	792	4	Lat.dret.[Spdccx]	D24		
2016	Sup	F29	92	Silex	BP	28	14	8	2,00	L4	1,75	C2	392	2	Trans.dist.[Spdrt]	G11		
2016	Sup	F29	100	Silex	FBP	14	14	3					196	1	Trans.dist.[S(A)pdccx]	G11	3	
2016	Sup	F29	105	Silex	FBP	58	26	7					1508	7	Trans.dist.[Spdccx+Spdrt]	G12		
2016	Sup	F29	120	Silex	FBP	19	7	2					133	1	Lat.esq.[Apdrt]	LD21		1
2016	Sup	F29	122	Silex	FBP	14	3	1					42	1	Lat.esq.[Apdccx]	LD21		
2016	Sup	F30	1	Silex	BP	18	21	5	0,86	L2	3,60	C4	378	2	Trans.dist.[Spdccx]	G11		

4.- LA FAUNA

1. Introducció

Seguidament s'exposen els resultats de l'anàlisi realitzada sobre les restes faunístiques corresponents a la campanya d'excavació 2016 al jaciment del Molí del Salt (nivells Sup, A, B1 i B1.1). Com en la campanya precedent, les restes han estat analitzades seguint les directrius metodològiques marcades des de la Zooarqueologia i Tafonomia, per tal de comprendre la variabilitat específica que presenta el jaciment, així com també els processos tafonòmics que han afectat les restes.

2. Metodologia

La metodologia utilitzada per la realització d'aquest estudi utilitza com a base metodològica la zooarqueologia i la tafonomia (BINFORD, 1981; BRAIN, 1981). A banda de la utilització d'atles osteològics (PALES; LAMBERT, 1970; GRIESBACH, 1972; SCHMID, 1972; BARONE et al., 1973; DRIESCH, 1976; BAUMEL, 1993; VARELA; RODRÍGUEZ, 2004; BOCHÉNSKI; TOMEK, 2009), s'han utilitzat restes esquelètiques d'individus actuals per fer la identificació anatòmica i taxonòmica de les restes. Per això, s'ha utilitzat la col·lecció osteològica de referència de l'Institut Català

de Paleoeologia Humana i Evolució Social (IPHES). Aquelles restes la identificació de les quals no ha estat possible han estat classificades a nivell esquelètic seguint criteris morfològics (os llarg, os pla o os articular). A nivell taxonòmic s'han classificat fent una estimació de la talla de pes a la que podrien pertànyer. D'aquesta manera s'han creat fins a quatre categories de pes (talla gran, talla mitjana, talla petita i talla molt petita). En la Taula 1 es poden veure els rangs de pes utilitzats per la classificació taxonòmica de les restes localitzades al Molí del Salt. Les restes sense atribució taxonòmica han estat classificades segons aquest criteri.

Des que un animal es mor fins que les seves restes són recuperades durant el procés d'excavació, aquest ha estat sotmès a una sèrie de processos previs que han afectat la seva preservació. Això engloba tant aquells relacionats amb l'activitat humana com els que es desenvolupen un cop l'os ha estat abandonat i ha quedat cobert de sediment. Aquí rau la importància de realitzar un bon anàlisi tafonòmic dels conjunts fòssils d'un jaciment. En el cas del Molí del Salt, totes les restes de fauna del jaciment recuperades en la campanya de 2016 han estat analitzades amb l'ajuda d'un estereomicroscopi Euromex, de fins a 45 augments.

Entre les restes d'activitat antròpica destaquen les marques de carnisseria (SHIPMAN; ROSE, 1983) i les termo-alteracions produïdes sobre l'os al ser exposat al foc (STINER et al., 1995). Les marques de mossegades, que podrien estar relacionades amb activitat humana (LANDT, 2007) o de carnívors (solcs, depressions, osques i/o vores crenulades) també s'han identificat a nivell tafonòmic.

Les vores de fractura han estat analitzades i descrites seguint els paràmetres de VILLA i MAHIEU (1991), els quals permeten fer una distinció entre les fractures òssies produïdes en fresc d'aquelles produïdes un cop la resta ha perdut el seu contingut en col·lagen (fractures en sec). Aquest tipus d'anàlisi s'ha realitzat en ossos llargs, així com metapodis i falanges de restes faunístiques de talla petita, mitjana i gran. La presència d'estigmes i impactes de percussió relacionats amb el trencament intencional de l'os per accedir al moll interior també han estat documentats.

Entre el que s'engloba dins el grup d'animals de talla molt petita (lepòrids i aus) s'han documentat morfotips típics de conjunts antròpics, com és la presència d'ossos llargs als quals els manquen les extremitats articulares. Són els anomenats "cilindres diafisaris". En alguns casos, les vores de fractura presents en aquests morfotips poden presentar morfologies típiques d'un os sotmès a forces de flexió (*peeling*) molt característiques en les vores de fractura.

Categories de pes	Taxons i edats
Talla gran >500 kg	Ur adult
Talla mitjana 100-500 kg	Cérvol immadur i adult Senglar adult
	Cabra immadura i adulta Cabirol immadur i adult
Talla petita 10-100 kg	Senglar immadur Linx adult Guineu adulta Petit carnívor adult
Talla molt petita <10 kg	Lepòrid immadur i adult Fasiànid adult Au immadur i adult

Taula 1. Espècies identificades al Molí del Salt durant la campanya 2016, agrupades segons la seva talla en categories de pes.

Altres alteracions post-deposicionals relacionades amb el desenvolupament de vegetació a l'entorn del jaciment (marques d'arrels) i/o l'exposició de les restes a les condicions climàtiques de l'entorn (exposició sub-aèria o *weathering*, humitat), han estat documentades sobre les restes.

3. Materials estudiats

Durant la campanya de 2016, s'han recuperat un total de 1754 restes faunístiques, que inclouen ossos, dents i fragments de banya. 102 corresponen al nivell Sup, 83 al nivell A, 1202 al nivell B1 i 367 al nivell B1.1. L'escassetat de restes als nivells Sup i A és conseqüència de l'escassa superfície excavada de dits nivells. Malgrat tot, l'exposició de cada unitat es farà per separat.

a. *Nivell Sup*

Del total de 102 restes recuperades al nivell Sup, 99 són ossos i 3 corresponen a dents aïllades. Entre les principals espècies identificades destaquen els lepòrids, grup que inclou aquells espècimens atribuïts a l'espècie *Oryctolagus cuniculus* (conill comú) i els lepòrids sense categorització taxonòmica (Taula 2). Aquests darrers, malgrat no presentar cap tret distintiu que permeti assignar-los una categoria determinada, és altament probable que siguin restes de conill comú, ja que fins al moment no s'han identificat altres espècies de lepòrid en tota la seqüència arqueològica i les dimensions i morfologia de les restes quadren amb les descrites per aquest taxó. Aquesta premissa s'assumeix també per la resta de nivells arqueològics analitzats.

Família	Taxó	NR
Bovidae	<i>Capra pyrenaica</i>	3
Cervidae	<i>Cervus elaphus</i>	2
Felidae	<i>Lynx</i> sp.	1
Leporidae	<i>Oryctolagus cuniculus</i>	27
	Leporidae indet.	50
Phasianidae	Phasianidae indet.	1
Indeterminat	Talla mitjana	1
	Talla petita	17
TOTAL		102

Taula 2. Taxons i categories de pes identificades al nivell Sup del Molí del Salt durant la campanya de 2016. NR= Nombre de restes.

Si tenim en compte les espècies identificades, el conill comú (*O. cuniculus*) és el taxó predominant, representant un 26,47% del conjunt. Si tenim en compte tots els lepòrids en el seu conjunt, la suma s'eleva a 75,48% de representació respecte les restes totals (un 91,62% si es tenen en compte únicament el total d'espècimens identificats taxonòmicament).

Malgrat el predomini del conill, altres taxons són presents al jaciment amb algunes restes representades. Durant la campanya 2016, s'han identificat restes de cabra

(*Capra pyrenaica*), cérvol (*Cervus elaphus*), linx (*Lynx* sp.) i aus corresponents a la família dels fasiànids. En conjunt, no superen el 6.9% de restes recuperades. Així doncs, l'espectre representat segueix la tònica de campanyes anteriors. Tot i així l'escassa extensió oberta per excavar durant la present intervenció ha limitat en nombre de restes i, possiblement, també en nombre d'espècies identificades el registre arqueològic representat.

Pel que fa a l'edat dels individus identificats, el conjunt Sup es caracteritza per un predomini d'individus adults (92,16%). Tan sols 3 restes de lepòrid, 2 de cérvol i 3 de macrofauna no determinada taxonòmicament són testimoni de la presència d'individus immadurs. En el cas del cérvol, això representa el 100% de les restes d'aquest taxó recuperades durant la present campanya.

A nivell de representació esquelètica, les restes de macrofauna recuperades no són suficients per poder estimar amb precisió el perfil esquelètic al nivell Sup, ja que, en la majoria de casos, les diferents espècies es representen per 1 o 2 efectius (Taula 3). Els elements corresponents a la família Leporidae (que inclou el conill comú i aquelles restes de lepòrid sense atribució taxonòmica) són els que presenten un nombre de restes més significatiu.

Entre els elements més abundants destaquen els corresponents a l'esquelet apendicular i les mandíbules. Les tíbies són les més ben representades pel que fa a nombre de restes (31,17%), seguides de mandíbules (14,29%), fèmurs (12,99%) i húmer (11,69%). L'elevada representació de les tíbies en comparació a altres elements apendiculars es deu no únicament a la seva abundància en el conjunt, sinó també a que la tíbia és un element que, en general, es troba més fragmentat. Per tant, molts dels fragments de tíbia representats poden formar part d'una mateixa unitat esquelètica i, a falta d'estimacions de comptabilització més precises (p. ex. Nombre Mínim d'Elements), la mostra de tíbies pot veure's sobre-representada. D'altra banda, com és habitual en el conjunt del Molí del Salt, altres elements més fràgils o que són susceptibles a una major afectació per part de processos post-deposicionals es veuen infra-representats. És el cas de les costelles. Les vèrtebres són un altre element que, malgrat la seva densitat òssia, no tenen presència en el conjunt i els processos post-deposicionals observats en el jaciment no ajuden a explicar-ne l'absència.

	<i>Capra pyrenaica</i>	<i>Cervus elaphus</i>	<i>Felis silvestris</i>	<i>Oryctolagus cuniculus</i>	Leporidae indet.	Phasianidae indet.	Talla mitjana	Talla petita	TOTAL
Mandíbula				11					11
Maxil·lar				1					1
Premolar/Molar	1	2							3
Escàpula					1				1
Coxal				2	2				4
Húmer				7	2				9
Fèmur	1				10	1			12
Radi				4					4
Ulna			1	1					2
Tíbia				1	23			1	25
Calcani					3				3
Metatars					3				3
Metàpod					5				5
Falange	1								1
Llarg					1		1	14	16
Pla								2	2
TOTAL	3	2	1	27	50	1	1	17	102

Taula 3. Elements esquelètics identificats per cada categoria taxonòmica o de pes en el nivell Sup del Molí del Salt durant la campanya de 2016.

Pel que fa a la fragmentació, aquesta presenta valors molt elevats en tot el conjunt Sup, assolint un percentatge d'elements complets del 6,86%. Aquests elements corresponen majoritàriament a peces dentals i elements de les extremitats apendiculars distals, que per la seva morfologia i el seu baix contingut alimentari són menys propensos a ser fracturats. Entre els elements fragmentats, un total de 35 espècimens

han estat analitzats considerant els plans de fracturació, identificant-se un 85,71% de fractures en fresc.

Un total de 10 cilindres diafisaris han estat també identificats entre els ossos de lepòrid, essent la majoria tíbies (7). Els cilindres diafisaris representen el 9,8% del conjunt total de restes (un 12,99% si únicament es tenen en compte les restes de lepòrid).

Des d'un punt de vista tafonòmic, durant la campanya de 2016 el nivell Sup ha proporcionat un total de 12 restes amb alteracions relacionades amb l'activitat antròpica. D'aquestes, 9 presenten marques de tall (8,82% de les restes del nivell Sup), majoritàriament sobre restes de macrofauna indeterminada. Tan sols s'ha documentat una marca de tall sobre lepòrid i una sobre cabra. 4 elements presenten evidències de cremació, essent de grau 2 o trobant-se totalment calcinats. No s'ha observat evidència d'activitat de carnívors sobre cap resta faunística.

D'altra banda, les alteracions post-deposicionals sobre la superfície òssia són freqüents en tot el conjunt Sup. Del total de restes, 79 presenten algun tipus d'alteració (77,45%). Destaquen entre elles les alteracions produïdes per arrels (vermiculacions i/o tincions) en percentatge elevat (54,9%), així com també l'exposició subaèria o *weathering* (29,41%) i les concrecions (26,47%). L'elevat percentatge d'ossos afectats per l'exposició dels ossos a la intempèrie, així com un percentatge notable de fissures associades (18,63%) fan pensar que el conjunt va estar exposat durant un període de temps prolongat a diferents fenòmens meteorològics, abans de cobrir-se de sediment.

b. Nivell A

El nivell A ha proporcionat un total de 83 restes faunístiques. L'escàs nombre d'espècimens recuperats és conseqüència de la poca superfície excavada d'aquest nivell, més que de la densitat de restes del conjunt. Tots els ítems recuperats són ossos, majoritàriament de lepòrid (91,56% del conjunt). D'entre ells, un 20,48% pertanyen a restes de conill comú. Considerant únicament el total de restes identificades a nivell taxonòmic, les restes atribuïdes a lepòrids (incloent el conill) suposen el 98,69% del nivell.

A banda dels lepòrids, s'ha identificat una mandíbula de guineu (*V. vulpes*), així com un fragment de crani i altres ossos llargs i indeterminats de talla petita, sense arribar a categoritzar-se taxonòmicament (Taula 4). Es tracta d'individus

majoritàriament adults (98,8%). Únicament s'ha identificat una resta de lepòrid immadur.

Família	Taxó	NR
Canidae	<i>Vulpes vulpes</i>	1
Leporidae	<i>Oryctolagus cuniculus</i>	17
	Leporidae indet.	59
Indeterminat	Talla petita	6
TOTAL		83

Taula 4. Taxons i categories de pes identificades al nivell A del Molí del Salt durant la campanya de 2016.

Entre els elements esquelètics representats destaca, dins la família dels lepòrids, la presència d'elements de l'esquelet apendicular posterior, principalment fèmurs i tíbies (21,05% de les restes de lepòrid, respectivament). Les mandíbules hi són també presents amb 8 efectius (10,53%). Altres elements de l'esquelet apendicular estan representats en el conjunt, tot i que en valors menys significatius. L'esquelet axial no està representat (Taula 5).

El grau de fragmentació de les restes recuperades en el conjunt A durant el 2016 és elevat. Tan sols un 8,43% dels elements estan complets, tots corresponent a ossos de lepòrid. Del total de 39 fractures que s'han pogut analitzar, un 97,43% són fractures en fresc. A més, s'han identificat 12 cilindres diafisaris (14,45% del conjunt) sobre ossos llargs de lepòrid, majoritàriament en fèmurs (7 restes).

A nivell tafonòmic, 34 restes presenten alteracions d'origen antròpic. D'elles, únicament en 3 ossos de lepòrid s'observen marques de tall (3,61% de les restes recuperades del conjunt A), relacionades amb activitats d'espellament i descarnació. Igualment, en 4 restes de lepòrid es pot observar l'existència de *peeling* (4,82%), relacionada amb fractures produïdes per la flexió de l'os. Els ossos cremats representen un 33,73% del conjunt A recuperat en la campanya de 2016 (NR=28). La majoria de coloracions són en grau 2 (48,48% de les restes termo-alterades). Igual que en el nivell precedent, entre les restes de la campanya 2016, no s'han identificat alteracions produïdes per carnívors en el nivell A.

	<i>Vulpes vulpes</i>	<i>Oryctolagus cuniculus</i>	Leporidae indet.	Talla petita	TOTAL
Crani			1	1	2
Maxil·lar		1			1
Mandíbula	1	7	1		9
Escàpula		2			2
Coxal			5		5
Húmer		2	3		5
Fèmur			16		16
Radi		1	1		2
Ulna		3	2		5
Tíbia			16		16
Fíbula			1		1
Astràgal		1			1
Calcani			3		3
Metacarp			2		2
Metatars			2		2
Metàpod			2		2
Llarg			4	4	8
Indeterminat				1	1
TOTAL	1	17	59	6	83

Taula 5. Elements esquelètics identificats per cada categoria taxonòmica i de pes en el nivell A del Molí del Salt durant la campanya de 2016.

Pel que fa a les alteracions post-deposicionals, 42 restes (50,6% dels espècimens analitzats) presenten modificacions, majoritàriament en forma d'alteracions per arrels (presents en el 31,33% de les restes) i concrecions (documentades en el 32,53% del conjunt).

c. Nivell B1

El nivell B1 és el que ha proporcionat un major nombre de restes durant la campanya de 2016, sumant un total de 1202 espècimens entre restes de banyes, dents i ossos. És també el que presenta un major espectre taxonòmic (Taula 6). Entre els taxons identificats, destaquen la presència de l'ur (*B. primigenius*) i el gat salvatge (*F. silvestris*), taxons que fins ara no havien estat recuperats en aquest nivell. La presència d'ur havia estat prèviament i exclusivament documentada al nivell A, pel descobriment de dues falanges. Ara, la seva presència al jaciment es ratifica amb la troballa d'un fragment de mandíbula i un molar al nivell B1. Malgrat tot, l'espècie predominant en el conjunt segueix sent el conill comú, el qual representa un 23,38% del conjunt faunístic recuperat durant el 2016. Si els considerem conjuntament amb les altres restes de lepòrid no determinades taxonòmicament, dit percentatge augmenta fins a un 77,04% i un 92,79% si es consideren únicament les restes amb atribució taxonòmica.

Altres taxons importants a banda dels lepòrids són la cabra (2,32% del conjunt total i un 2,8% de les restes taxonòmicament identificades) i el cérvol (1,41% del conjunt i 1,7% dels espècimens determinats). Les aus també hi són presents amb 14 restes de fasiànids indeterminats taxonòmicament (1,16% del conjunt). Altres taxons com el cabirol (*C. capreolus*), el senglar (*S. scrofa*) o altres petits carnívors com la guineu o el linx també fan acte de presència, però el nombre de restes que els representen és anecdòtic (Taula 6). Cal destacar que, tot i el predomini indiscutible del conill dins el conjunt, la macrofauna sembla incrementar-se en nombre d'espècimens respecte intervencions anteriors, almenys si únicament es consideren el nombre de restes recuperades per cada taxó. Tenint en compte estudis previs realitzats sobre aquesta unitat (RUFÀ et al. 2018), la cabra, el cérvol i les aus s'incrementen de manera notable, també respecte a nivells superiors, si es tenen en compte la proporció de restes recuperades. Tot i així, cal ser prudent a l'hora de valorar aquestes dades, a falta de quantificacions més precises que permetin confirmar-ho.

Família	Taxó	NR
Bovidae	<i>Bos primigenius</i>	2
	<i>Capra pyrenaica</i>	28
Cervidae	<i>Capreolus capreolus</i>	1
	<i>Cervus elaphus</i>	17
	Cervidae indet.	1
Suidae	<i>Sus scrofa</i>	5
Canidae	<i>Vulpes vulpes</i>	1
Felidae	<i>Lynx</i> sp.	1
	<i>Felis silvestris</i>	2
Carnivora indet.		2
Leporidae	<i>Oryctolagus cuniculus</i>	281
	Leporidae indet.	645
Phasianidae	Phasianidae indet.	14
Aves indet.		15
Indeterminat	Talla gran	5
	Talla mitjana	55
	Talla petita	116
	Indeterminat	11
TOTAL		1202

Taula 6 Taxons i categories de pes identificades al nivell B1 del Molí del Salt durant la campanya de 2016.

En general, es tracta d'individus adults (98,34%). Tot i que la presència d'individus immadurs és habitual entre els taxons majoritaris (lepòrids, cabra, cérvol i senglar), sempre es tracta de percentatges que no superen el 20% de representació en cada taxó, els quals es poden veure sobre-representats per l'escàs nombre de restes que els representen. Entre els lepòrids, només un 1,08% dels individus analitzats són immadurs.

Pel que fa a la representació esquelètica observada en el nivell B1 (Taula 7), destaquen els elements apendiculars. Les falanges són els ossos que representen un

major nombre d'elements determinats taxonòmicament entre la macrofauna. Tot i que la presència d'ossos llargs també hi és present, l'elevat grau de fragmentació en dificulta la classificació taxonòmica, causant que molts d'ells acabin per incloure's en les categories de classificació per talla. Malgrat tot, l'escassetat de restes de macrofauna recuperades en el nivell B1 dificulten poder definir en un perfil esquelètic clar.

Els lepòrids són el grup taxonòmic que presenta un perfil esquelètic més complet. Tot i que hi ha un clar predomini d'elements apendiculars, les cintures escapular i pelviana, així com les mandíbules i maxil·lars, estan ben representats. Les tíbies (26,78% de les restes de lepòrid), els fèmurs (15,35%) i les mandíbules (10,91%) són els elements millor representats, seguits pels húmer (7,67%). Els elements corresponents a l'esquelet axial (costelles i vèrtebres), el crani i els elements articulars són els pitjor representats.

A nivell de fragmentació, aquesta és molt elevada en tot el conjunt B1. Tan sols un 7,24% de les restes estan completes (un 7,77% de les restes de lepòrid). La majoria d'elements complets són falanges, dents aïllades i elements articulars, ja que per la seva morfologia i dimensions, i degut al seu menor contingut alimentari, són menys propensos a ser fracturats. Per contra, els ossos llargs es troben tots fracturats. Entre les fractures que han pogut ser analitzades (307), un 97,72% corresponen a fractures en fresc. Igualment, entre els lepòrids, s'han identificat un nombre important de cilindres diafisaris (59), que suposen un 4,91% de tot el conjunt faunístic (un 6,37% si únicament es consideren les restes de lepòrid). La majoria de cilindres són en fèmurs (20 restes), tíbies (19 restes) i húmer (15), tot i que també s'ha identificat un tibiotars d'au amb aquest mateix patró.

Des del punt de vista tafonòmic, 370 restes presenten alteracions relacionades amb l'activitat antròpica, que suposa un 37,78% del conjunt B1 recuperat durant l'any 2016. Les marques de tall són presents en un 3,97% d'espècimens (47 restes), la majoria relacionades amb descarnació. Entre les restes observades, cal destacar la presència d'un tibiotars d'au que presenta marques de tall en la zona de la diàfisi. És la primera evidència d'aquest tipus recuperada en el jaciment fins al moment.

Les evidències de termo-alteració s'han registrat en 342 ossos (28,45% del conjunt), essent la majoria alteracions de grau 2 (61,69%) i dobles/triples coloracions (14,04%), seguint els criteris de STINER et al., 1995. El *peeling* també s'ha documentat sobre 7 restes (0,58% del conjunt total), localitzat en les zones proximals de tíbies i fèmurs de conill.

	<i>Bos primigenius</i>	<i>Capra pyrenaica</i>	<i>Capreolus capreolus</i>	<i>Cervus elaphus</i>	Cervidae indet.	<i>Sus scrofa</i>	<i>Vulpes vulpes</i>	<i>Lynx</i> sp.	<i>Felis silvestris</i>	Carnivora indet.	<i>Oryctolagus cuniculus</i>	Leporidae indet.	Phasianidae indet.	Aves indet.	Talla gran	Talla mitjana	Talla petita	Indeterminat	TOTAL
Banya		1		1	1											1			4
Crani												14				1	3		18
Mandíb.	1	1				1					75	26							104
Maxil·lar							1				27	5							33
Hioides				2												1			3
Incisiu				2		2					2	2							8
Molar	1	1	1			1		1		1	1					1			8
Esternon														2			2		4
Costella										1		12			2	11	6		32
Vèrtebra												3			1	2	5		11
Escàpula		3									28	17							48
Coxal											21	39					1		61
Coracoid.													1						1
Húmer		3		1				1		46	25	4					1		81
Fèmur		2								8	136	1				2	2		151
Radi		4		2				1		31	12		1				1		52
Ulna		1		2						21	7	2							33
Tíbia/Tbt		2								1	19	229	1	7		2	5		266
Fíbula																	1		1
Calcani		1										38							39
Astràgal											2								2
Carp/Tars		1																	1
Mtc /Cmc												9							9
Mtt/Tmt				1		1						31	5	2					40
Metàpod		1										2							3
Falange		7		6								19		3			1		36
Llarg												17			1	24	78		120
Pla												1			1	7	10	1	20
Articular																3			3
Indet.																		10	10
TOTAL	2	28	1	17	1	5	1	1	2	2	281	645	14	15	5	55	116	11	1202

Taula 7 Elements esquelètics identificats per cada categoria taxonòmica i de pes en el nivell B1 del Molí del Salt durant la campanya de 2016.

Pel que fa a l'activitat de carnívors, únicament 4 ossos (0,33%) presenten alteracions relacionades amb processos de masticació de petits carnívors (Figura 1). Tots ells són ossos llargs de lepòrid.



Figura 1. Húmer de conill comú recuperada al nivell B1 durant la campanya 2016, amb una depressió conseqüència de mossegar l'os.

A banda de les modificacions produïdes per predadors humans i no humans, 731 restes (60,82% del conjunt) presenten altres alteracions post-deposicionals. Entre elles destaquen les vermiculacions i tincions produïdes per arrels i les concrecions, que afecten un 50,83% i un 50,65% de les restes, respectivament. El *weathering* (3,91%) i les fissures relacionades amb els canvis d'humitat (2,25%) són també alteracions presents en el conjunt, també habituals en contextos d'abrics com el Molí del Salt. No obstant, el percentatge de restes afectades és menor que en nivells superiors. La corrosió química o el *tramplng* estan també presents en alguns ossos, però de manera molt anecdòtica, suposant valors menors a l'1% del total del conjunt B1.

d. Nivell B1.1

El nivell B1.1 ha proporcionat un total de 367 restes durant la campanya de 2016, entre dents, ossos i un fragment de banya. Com en la resta de nivells arqueològics presentats, el conill comú es presenta com l'espècie més destacada del conjunt (Taula 8). Si es consideres totes les restes de lepòrid analitzades (incloses tant el conill com els lepòrids indeterminats), els percentatges dins d'aquesta categoria suposen un 76,84% del total de restes determinades (un 90,67% si s'inclouen els elements no determinats).

Malgrat tot, altres taxons estan presents en el jaciment. La cabra (1,93% d'espècimens determinats), el cérvol (2,57%) i el senglar (1,93%) són els taxons més importants darrere dels lepòrids.

Al tractar-se d'un nivell relativament nou pel que fa a la seva diferenciació estratigràfica, el nombre de taxons en aquesta unitat segueix incrementant-se en paral·lel amb els avenços en la seva excavació. Per això, en la present campanya, s'incorporen nous taxons en la llista específica, com és el cas del senglar, el gat salvatge i les aus del grup dels fasiànids. Si bé aquestes espècies ja s'havien documentat amb anterioritat en el conjunt, no havien estat mai recuperades en la unitat B1.1.

Família	Taxó	NR
Bovidae	<i>Capra pyrenaica</i>	6
Cervidae	<i>Capreolus capreolus</i>	2
	<i>Cervus elaphus</i>	8
Suidae	<i>Sus scrofa</i>	6
Felidae	<i>Lynx</i> sp.	2
Leporidae	<i>Oryctolagus cuniculus</i>	121
	Leporidae indet.	161
Phasianidae	Phasianidae indet.	5
Aves indet.		2
Indeterminat	Talla gran	1
	Talla mitjana	11
	Talla petita	40
	Indeterminat	2
TOTAL		367

Taula 8 Taxons i categories de pes identificades al nivell B1.1 del Molí del Salt durant la campanya de 2016.

Si bé els individus adults predominen en el conjunt, el nombre d'espècimens immadurs s'incrementa en el nivell B1.1 respecte la resta de nivells. Del total de restes documentades, 65 (17,98%) corresponen a individus immadurs de diferents taxons.

Entre ells destaquen la cabra i el cabirol, dels quals el 100% de les restes identificades durant el 2016 corresponen a individus immadurs. El 33,3% de les restes de senglar s'incorporen dins aquest mateix grup. Tenint en compte l'escàs nombre de restes recuperades de dits taxons dins el conjunt, és difícil fer possibles inferències comportamentals humanes al respecte, tot i que és un factor que haurà de ser avaluat en un futur, quan es disposi d'un conjunt més ampli i altres resultats comparatius. L'única categoria que pel moment permet fer possibles inferències són els lepòrids. Si s'observen les restes de lepòrid recuperades, el nombre d'individus immadurs és també més elevat (9,93%). Tot i així, tenint en compte els estudis previs ja realitzats en la fauna del jaciment, els percentatges són molt similars a els valors obtinguts en aquesta categoria taxonòmica per altres unitats.

Considerant l'espectre taxonòmic del jaciment, la representació esquelètica és desigual segons l'espècie analitzada (Taula 9). Entre la macrofauna, els ossos llargs, i alguna dent són els representats en el conjunt de taxons determinats. Els ossos llargs són també importants en nombre en les categories de pes sense assignació de taxó. L'esquelet axial i els basipodis són totalment inexistent, mentre que l'esquelet cranial i els acropodis (falanges) es representen com a molt per 1 efectiu, segons el taxó. Això, unit a l'escàs nombre de restes de les que es disposa fins al moment pel nivell B1.1, dificulta una possible interpretació del conjunt macrofaunístic.

Pel que fa als lepòrids (conill comú i Leporidae indeterminat), el patró de representació esquelètica pel nivell B1.1 és molt similar al precedent, on hi ha un predomini dels elements apendiculars. No obstant, les mandíbules i les cintures pelviana i escapular presenten valors més baixos pel que fa a nombre de restes. Tíbies i fèmurs són els espècimens millor representats (22,34% i 17,73% de les restes de lepòrid recuperades, respectivament), seguits per les mandíbules (15,6%) i els húmer (9,22%). L'esquelet axial, els metapodis i els basipodis estan infra-representats per aquestes categories taxonòmiques.

	<i>Capra pyrenaica</i>	<i>Capreolus capreolus</i>	<i>Cervus elaphus</i>	<i>Sus scrofa</i>	<i>Felis silvestris</i>	<i>Oryctolagus cuniculus</i>	Leporidae indet.	Phasianidae indet.	Aves indet.	Talla gran	Talla mitjana	Talla petita	Indeterminat	TOTAL
Banya	1													1
Crani			1			3	6				1			11
Maxil·lar						14	2							16
Mandíbula		1				41	3							45
Incisiu	1			1		3	4							9
Caní					1									1
Premolar/Molar		1		2		1								4
Esternon								1						1
Costella							4			1	1	3		9
Vèrtebra							1					1		2
Escàpula						8	4							12
Coxal						5	4							9
Húmer			1			17	9							27
Fèmur			1			3	47	2				1		54
Radi	1					10	5							16
Ulna			1	1		8	2	2						14
Tíbia/Tibiotarsus	1					7	56		1			3		68
Calcani							6							6
Astràgal						1								1
Carpal/Tarsal			1											1
Metacarp/Carpmetacarp			1											1
Metatars/Tarsmetatars	1		1	1			1	1						5
Metàpod												1		1
Falange	1		1	1	1		1							5
Llarg							6				7	27		40
Pla											2	4		6
Indet.													2	2
TOTAL	6	2	8	6	2	121	161	5	2	1	11	40	2	367

Taula 9. Elements esquelètics identificats per cada categoria taxonòmica i de pes en el nivell B1.1 del Molí del Salt durant la campanya de 2016.

Avaluant el nombre de restes fragmentades, aquestes s'incrementen lleugerament respecte els nivells anteriors. Tan sols un 4,9% del conjunt està complet, essent tots els elements ossos articulars, falanges o dents. A l'elevat grau de fragmentació de les restes cal afegir també un alt grau de fracturació d'ossos en fresc (96,73% del total de 153 fractures analitzades). Entre els lepòrids s'han identificat 33 cilindres diafisaris en tíbies (14), fèmurs (11) i húmer (8), que en conjunt suposen un 8,99% del total de restes del nivell B1.1 i un 11,7% de les restes de lepòrid.



Figura 2. Os llarg de macrofauna (dreta) i fèmur de lepòrid (esquerra) recuperats en el nivell B1.1 del Molí del Salt durant la campanya de 2016. Ambdós ossos presenten marques de tall en la seva superfície. L'os de lepòrid, a més, presenta coloracions atribuïdes a termo-alteracions.

Entre els espècimens analitzats, s'han identificat 99 ossos (26,98% del conjunt) que presenten modificacions tafonòmiques relacionades amb l'activitat humana (Figura 2). Entre ells, 18 espècimens presenten marques de tall (4,9% del nivell B1.1), la meitat de les quals es troben sobre restes de lepòrid (3,19% del total de restes de lepòrid recuperades) i que corresponen a diferents activitats (espellament, esquarterament, descarnació i neteja de l'os). Un 23,43% (86 ossos) del conjunt presenta també evidències de cremació, essent més de la meitat (54,65%) cremacions de grau 2 i un 17,44% dobles coloracions. Igualment, el *peeling* ha estat identificat en 4 restes (1,1% del total de restes), localitzat sobre porcions proximals d'ossos llargs de lepòrid.

A banda de les modificacions antròpiques observades sobre els ossos, el conjunt de restes recuperades en el nivell B1.1 del Molí del Salt presenta mossegades produïdes

per petits carnívors, que semblen intervenir de manera molt puntual. 3 ossos llargs de lepòrid presenten depressions d'aquest tipus, el qual representa un 0,82% de tot el paquet analitzat.

Pel que fa a les alteracions post-deposicionals, 228 ossos presenten algun tipus de modificació (62,13%). Com en el cas del nivell anterior, les vermiculacions i tincions associades al creixement d'arrels són l'alteració més comuna, afectant un 42,78% de les restes. Les segueixen les concrecions, que afecten un 41,69% de la mostra. Cal també destacar l'exposició subaèria o *weathering*, així com les fissures associades a processos d'humitat i dessecació en percentatges una mica més elevats que en el nivell precedent (7,08% i 5,99%, respectivament). No obstant, cal tenir en compte que el menor nombre de restes recuperades en aquesta unitat pot afectar el percentatge final i caldrà fer una valoració global de tot el conjunt un cop aquest hagi proporcionat més restes.

4. Consideracions finals

El conjunt faunístic del Molí del Salt ha proporcionat fins al moment un gran nombre de restes que han permès inferir en les estratègies humanes de subsistència durant el Paleolític Superior final i el Mesolític. La seva excepcional preservació el fa un conjunt únic en tot el nord-est peninsular, ja que fins al moment són pocs els conjunts que permeten fer un anàlisi exhaustiu per aquest període cronològic en aquesta regió. L'estudi d'un conjunt com aquest permet inferir no només en els patrons conductuals dels grups humans en un moment concret, sinó també fer comparacions diacròniques dins els diferents nivells que componen la seva estratigrafia.

Tal i com s'ha anat corroborant en els darrers anys, els lepòrids són el taxó per excel·lència al llarg de tota la seqüència arqueològica. Tot i no disposar sempre de trets morfomètrics que en permetin una clara distinció, els individus analitzats semblen correspondre a l'espècie del conill comú (*Oryctolagus cuniculus*), ja que fins al moment no s'ha identificat cap resta de llebre o algun altre lepòrid al jaciment. A banda del conill, altres taxons de majors dimensions hi són presents en menor grau, com el cérvol (*Cervus elaphus*) o la cabra (*Capra pyrenaica*), entre altres. Destacar també l'existència d'algunes restes d'au, tot i que en valors discrets, la majoria corresponents a la família dels fasiànids. Tot i el clar predomini dels lepòrids en el conjunt, sembla intuir-se una tendència cap a l'increment d'efectius macrofaunístics a mesura que es va aprofundir en els nivells inferiors (i més antics) del jaciment, fet que podria indicar

algun redireccionament, potser puntual, de la dieta cap a altres taxons propers en les immediateses del jaciment. No obstant, aquestes dades són encara preliminars i caldrà veure en futurs treballs si aquesta tendència es confirma i a què es deu.

El conjunt analitzat es troba molt fragmentat, presentant molta fracturació en fresc. Algunes de les fractures presenten *peeling*, indicador d'una intencionalitat en la fractura de l'os per l'obtenció de nutrients i/o productes secundaris per part dels humans. Això és també indicador de la intensa activitat que té lloc al jaciment, on els grups humans semblen explotar de manera intensiva els recursos de l'entorn de l'abric.

D'altra banda, l'elevada fragmentació del conjunt dificulta la identificació de moltes restes, fet que també impedeix poder establir un patró de transport i/o processament de les restes de macrofauna trobades al llarg de tota la seqüència. Si bé algunes restes de macrofauna presenten evidència d'activitat antròpica, moltes no tenen atribució específica, fet que suposa un entrebanc a l'hora d'establir tendències en l'explotació animal. El rang taxonòmic on es pot establir un patró més exacte és el conill (i els lepòrids en general). Les seves restes evidencien una explotació habitual d'aquest grup taxonòmic, sobre el qual s'han registrat activitats d'extracció de la pell, esquarterament i descarnació, entre d'altres, en diferents parts esquelètiques. Això indica un processament complet de l'animal en el jaciment. En el cas del conill, s'ha de tenir en compte que no és únicament valuós per la seva carn, sinó que podria ser centre d'interès per altres productes secundaris, com l'obtenció de pells.

Totes les evidències registrades sobre els ossos durant la campanya de 2016 semblen indicar una recurrència en les activitats humanes del jaciment. L'elevada presència d'ossos cremats, suggereix la presència de fogars o estructures properes que han afectat els ossos. Igualment, la baixa o nul·la presència d'activitat per part de carnívors és indicador que aquests no eren habitants recurrents en el lloc i que, possiblement, visitarien el jaciment puntualment, per consumir una presa caçada en una zona propera, o carronyejant les restes deixades pels grups humans. Així doncs, el jaciment es planteja com un campament ocupat reiteradament pels grups humans al llarg del Paleolític Superior final. La seva condició d'abric el feia un lloc idoni per aixoplugar-se.

L'obertura del jaciment a l'exterior, fa que algunes alteracions post-deposicionals siguin habituals. En aquets contextos oberts o semi-oberts, la vegetació causa abundants alteracions sobre els ossos, per tal d'obtenir-ne els nutrients que aquests preserven fins a fossilitzar. Igualment, una exposició prolongada de les restes a

l'aire lliure i els canvis en el propi sediment deguts a processos d'humidificació i dessecació constants, causen alteracions típiques com les concrecions i fissures observades al Molí del Salt. Aquests processos es fan més evidents en el nivell Sup, ja que és un moment en que l'ocupació es fa sobre la coberta col·lapsada de l'abric i el jaciment no disposa de cap zona d'aixopluc que serveixi de protecció.

5. Referències bibliogràfiques

- BARONE, Robert. [et al.]. (1973). *Atlas of rabbit anatomy*. Paris: Masson. ISBN: 2-225-35-530-7.
- BAUMEL, Julian J. (ed.). (1993). *Handbook of avian anatomy: Nomina Anatomica Avium*. Cambridge: Publications of the Nuttall Ornithological Club n° 23. ISBN 978-18-77973-34-5.
- BINFORD, Lewis Robert. (1981). *Bones. Ancient Men and Modern Myths*. Orlando, Florida: Academic Press Inc. ISBN 978-01-21000-35-6.
- BRAIN, Charles Kimberling. (1981). *The Hunters or the Hunted? An Introduction to African Cave Taphonomy*. Chicago and London: The University of Chicago Press. ISBN 978-02-26070-90-2.
- BOCHÉNSKI, Zbigniew; TOMEK, Teresa. 2009. *A key for the identification of domestic bird bones in Europe: Preliminary determination*. Kraków: Institute of Systematics and Evolution of Animals, Polish Academy of Sciences. ISBN: 978-83-61358-04-6.
- DRIESCH, Angela von den. (1976). *A guide to measurement of animal bones from archaeological sites*. Peabody Museum of Archaeological and Ethnology, Harvard University. ISBN 978-08-73659-50-5.
- GRIESBACH, von Elfriede Kraft von. (1972). *Vergleichend Morphologische Untersuchungen an Einzelknochen Nord- Und Mitteleuropäischer Kleinerer Hühnervögel*. Tesi doctoral. München : Ludwig-Maximilians-Universität München.
- LANDT, Mathew J. (2007). "Tooth marks and human consumption : ethnoarchaeological mastication research among foragers of the Central African Republic". *Journal of Archaeological Science*, 34, p.1629-1640.
- PALES, Léon; LAMBERT, Charles (1971). *Atlas Ostéologique des Mammifères*. IV vol. Paris: C.N.R.S. ISBN 2-222-02715-2.

- RUFÀ, Anna. [et al.]. (2018). “What is going on at the Molí del Salt site? A zooarchaeological approach to the last hunter-gatherers from South Catalonia”. *Historical Biology*, 30, p.786-806.
- SCHMID, Elisabeth (1972). *Tierknochenatlas. Atlas of Animal Bones for Prehistorians, Archaeologists and Quaternary Geologists*. Amsterdam: Elsevier Publishing Company.
- SHIPMAN, Pat; ROSE, Jennie. (1983). “Early hominid hunting, butchering and carcass-processing behaviours: approaches to the fossil record”. *Journal of Anthropological Archaeology*, 2, p.57-98.
- STINER, Mary C. [et al.]. (1995). “Differential burning, recrystallization, and fragmentation of archaeological bone”. *Journal of Archaeological Science*, 22, p. 223-237.
- VARELA, Sara; RODRÍGUEZ, Jesús. (2004). *Atlas osteológico. Carnívoros Ibéricos*. Madrid: MNCN.
- VILLA, Paola; MAHIEU, Eric. (1991). “Breakage pattern of human long bones.” *Journal of Human Evolution*, 21(1), p.27–48.

5.- L'ART MOBLE

Durant la campanya de 2016 s'ha recuperat dues noves evidències d'art moble. Es tracta de dues plaques d'esquist quarsític amb gravats, una recuperada al nivell A i l'altra al nivell B1.

Referència: MS'16 Nivell A D32/2169. Coordenades: 45, 37, 143-153. Mesures: 205 x 170 x 70 mm (Fig. 1).

Placa d'esquist quarsític de morfologia triangular. Només presenta gravats en una de les seves cares, en la qual s'han identificat almenys dues unitats gràfiques:

- *Unitat 1.* Representació zoomorfa interpretada com un cèrvid, cérvol o cérvola. La figura està pràcticament completa i es compon de línia maxil·lar, línia nasofrontal, línia frontal, orelles, coll, línia cèrvico-dorsal, gropa, extremitat caudal, natja, extremitat posterior, ventre, extremitat anterior i pit. La tècnica d'execució és el gravat de contorn simple, realitzat amb incisió fina, poc profund i superficial i de morfologia de secció en U amb tendència simètrica.
- *Unitat 2.* Representació zoomorfa indeterminada, orientada de forma perpendicular amb respecte a la unitat anterior. Només s'ha pogut identificar la part posterior de l'animal, que es compon de línia cèrvico-dorsal, gropa, extremitat caudal, natja, extremitat posterior i ventre. La tècnica d'execució és el

gravat de contorn simple, realitzat amb incisió fina, poc profund i superficial i de morfologia de secció en U amb tendència simètrica.

Referència: MS'16 Nivell B1 D31/73. Coordenades: 66, 39, 152-163. Mesures: 160 x 125 x 110 mm (Fig. 2).

Placa d'esquist quarzític de morfologia rectangular. Només presenta gravats en una de les seves cares, en la qual s'ha identificat un conjunt gràfic:

- *Conjunt 1.* Es tracta d'un conjunt de línies disposades en sentit vertical. A la dreta de la superfície gràfica les línies es disposen de formen paral·lela. Cap al centre i esquerra de la superfície gràfica, les línies s'entrecreuen. La tècnica d'execució és el gravat de contorn simple, realitzat amb incisió fina, poc profund i superficial i de morfologia de secció en U amb tendència simètrica.

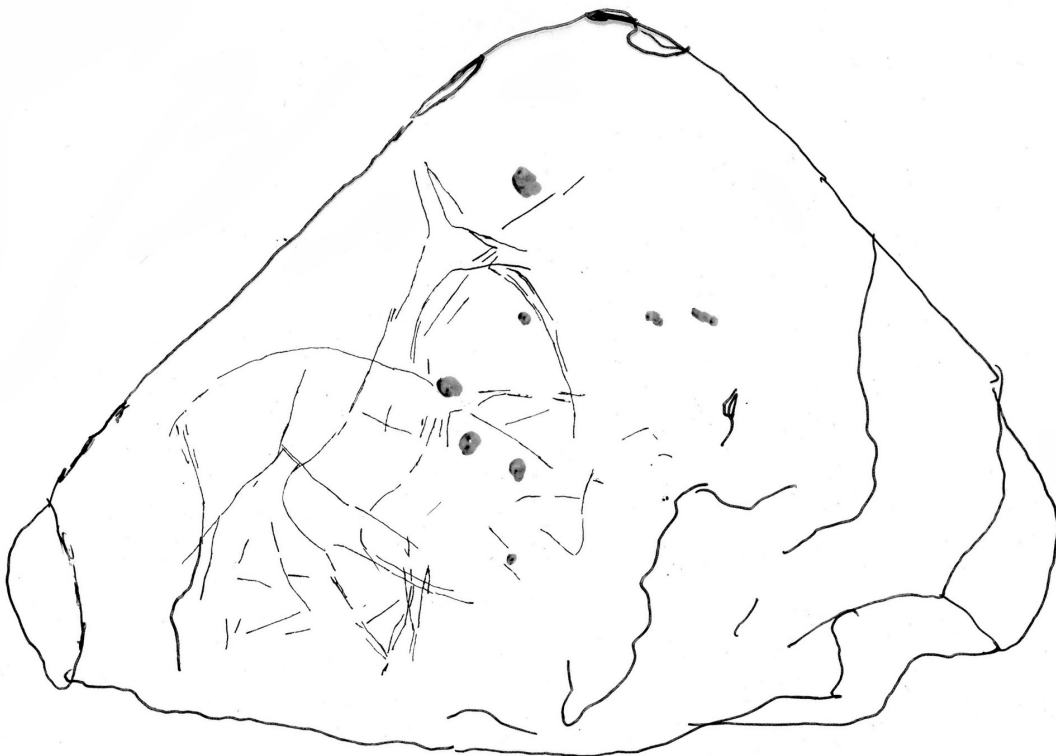


Figura 1. Fotografia i calc de la placa gravada MS'16 A D32/2169.

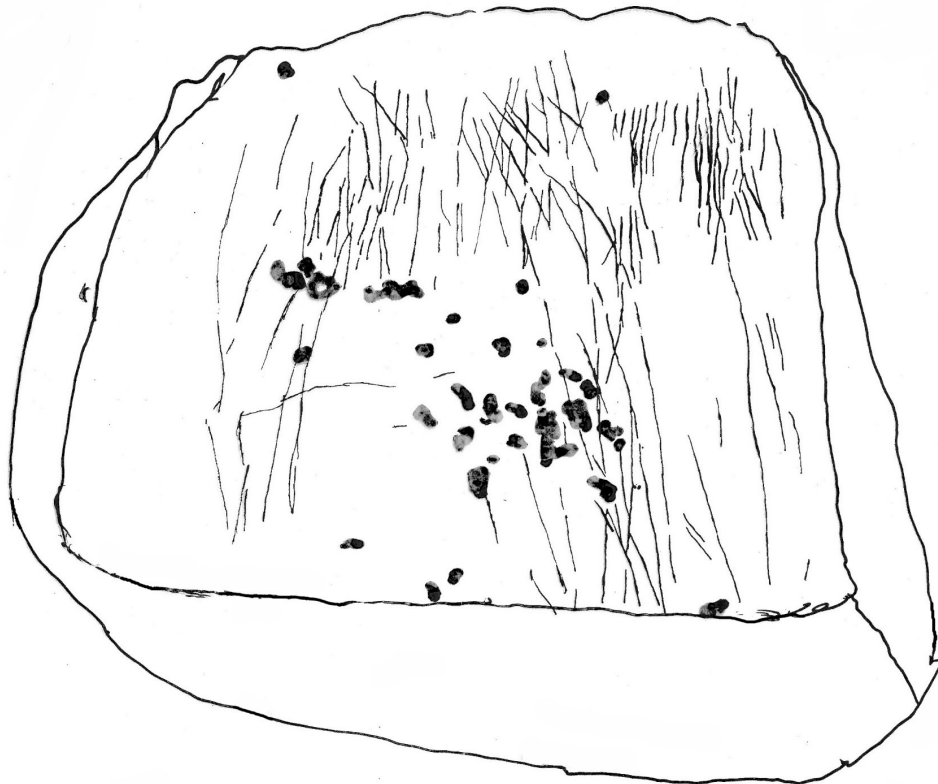


Figura 2. Fotografia i calc de la placa gravada MS'16 B1 D31/73.

6.- PLANTES I SECCIONS

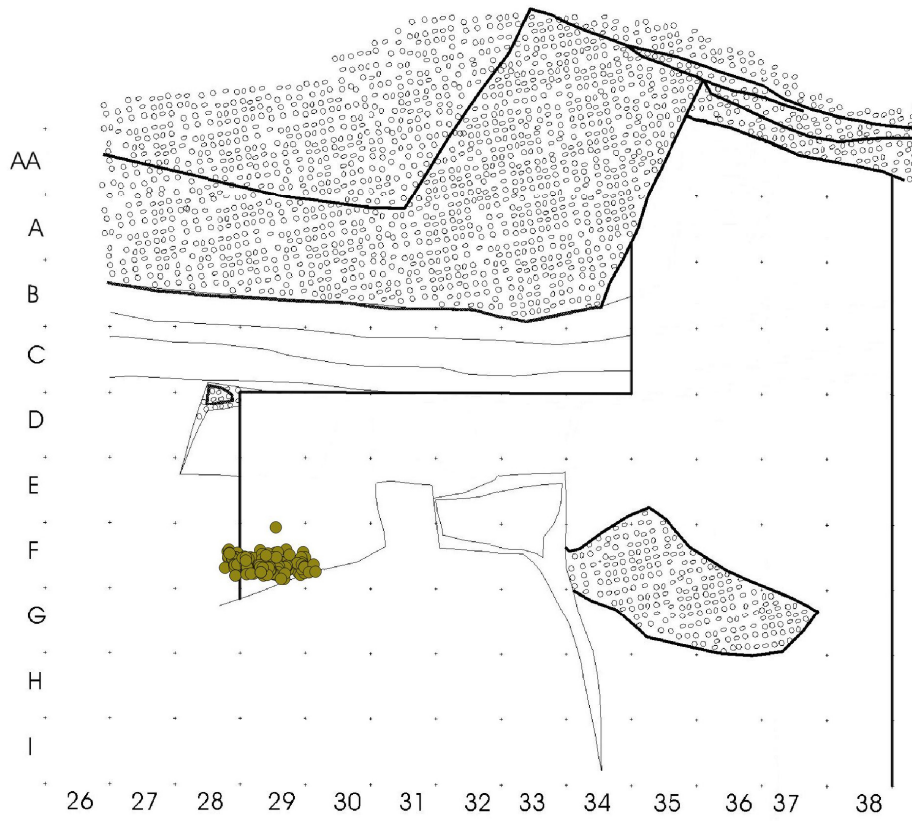


Figura 1. Distribució espacial de les restes arqueològiques coordenades al nivell Sup.

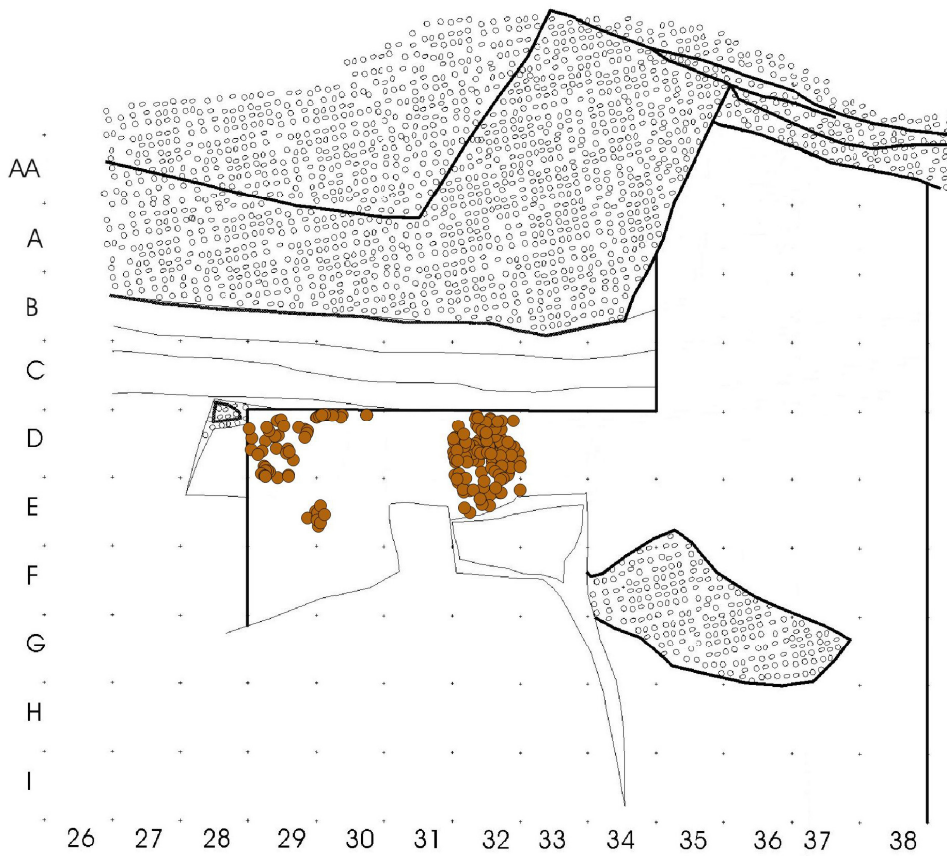


Figura 2. Distribució espacial de les restes arqueològiques coordenades al nivell A.

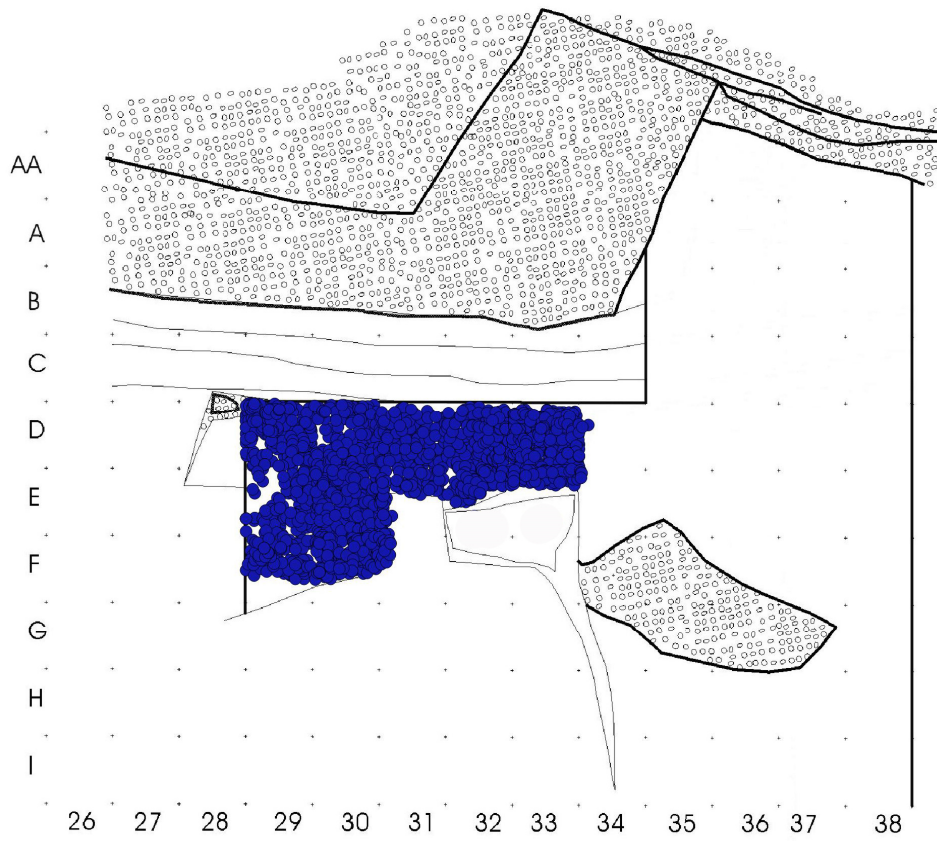


Figura 3. Distribució espacial de les restes arqueològiques coordinades al nivell B1.

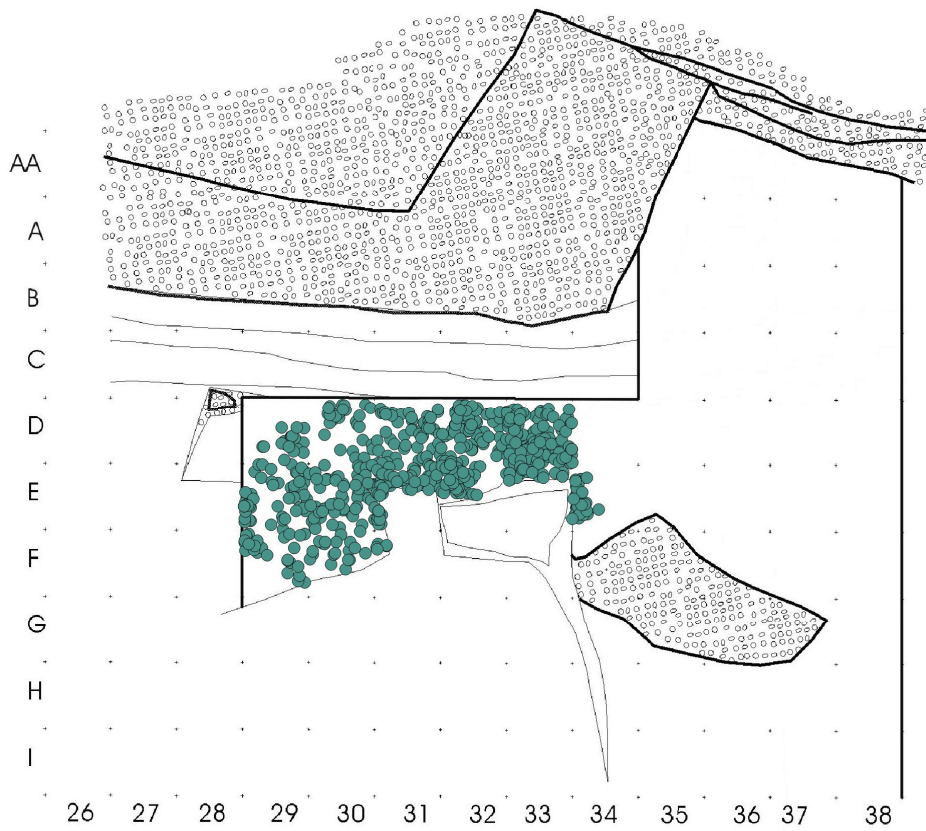


Figura 4. Distribució espacial de les restes arqueològiques coordinades al nivell B1.1.

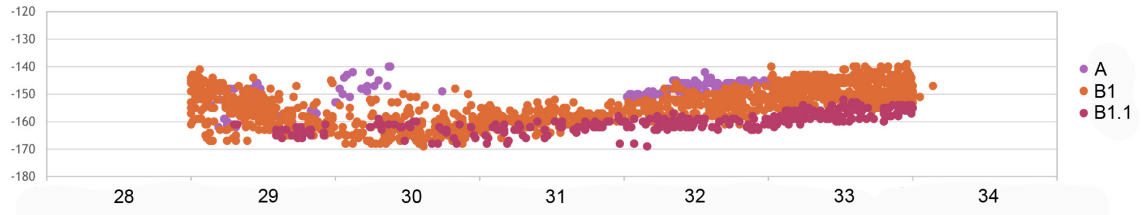


Figura 5. Projecció de les restes arqueològiques a la línia D.

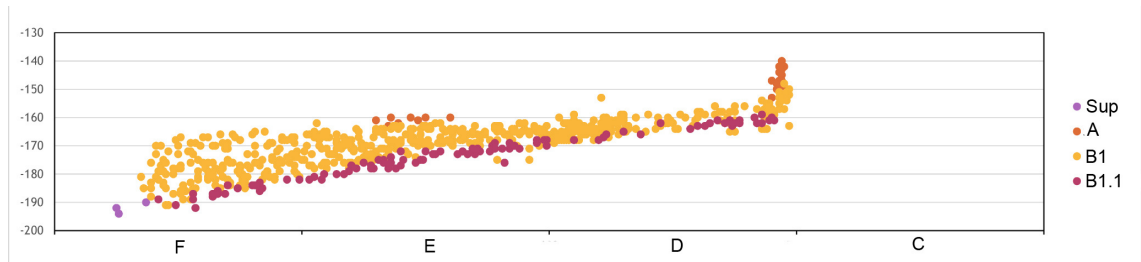


Figura 6. Projecció de les restes arqueològiques a la columna 30.

7.- CONCLUSIONS

La campanya de 2016 ha significat l'inici de l'excavació del conjunt B a tot el sector oest del jaciment (quadres D29-33, E29-33 i F29-31). D'aquesta manera hem recuperat la continuïtat estratigràfica a tota la superfície on estem concentrant els treballs d'excavació des de la campanya de 2012. Hem pogut contrastar la validesa per al conjunt del jaciment de la successió estratigràfica documentada prèviament als quadres D34-36 i E34-36 per al sostre del conjunt B, caracteritzada per una unitat que es pot considerar de transició amb el conjunt A (unitat B1) i un altra on s'aprecien més clarament els trets sedimentaris que defineixen el conjunt B (unitat B1.1). Un dels aspectes que més clarament ha marcat el pas del conjunt A al B en aquest sector oest ha estat la dràstica disminució en la densitat de blocs de conglomerat, que eren habituals al conjunt A i pràcticament han desaparegut al sostre del conjunt B. Tanmateix, un fet que ha complicat l'observació estratigràfica ha estat l'impacte dels processos post-deposicionals i particularment de les bioturbacions, les quals han estat àmpliament documentades en aquest sector del jaciment.

Del registre arqueològic documentat al sostre del conjunt B cal destacar en primer lloc la troballa de noves estructures relacionades amb l'ús del foc. Hem de remarcar particularment la complexitat d'alguna d'aquestes estructures, com la UA3 del

nivell B1.1, localitzada als quadres D32-E32. La successió de diferents capes argiloses associades a dipòsits de cendres recorda les característiques d'algunes estructures identificades al conjunt A i planteja considerables dificultats interpretatives, ja que l'existència d'horitzons rubefactats no és evident malgrat s'hi hagin trobat cendres. Caldrà esperar als resultats de les analítiques que es portaran a terme per tenir més dades que permetin assolir una interpretació funcional més consistent d'aquest tipus d'estructures.

Pel que fa a la resta del registre arqueològic recuperat a les unitats B1 i B1.1, l'estudi del material lític no indica canvis substancials amb respecte a les característiques observades al conjunt A. Aquest fet, que ja havíem constatat en campanyes anteriors, va en contra de les expectatives que teníem en iniciar l'excavació del conjunt B. Les dades obtingudes al sondeig del 1999 suggerien uns canvis importants entre les indústries dels conjunts A i B, especialment a nivell tipològic. Aquest canvi consistia bàsicament en un increment significatiu en el percentatge de truncadures, que arribaven a valors al voltant del 20% dels artefactes retocats. De moment aquests canvis no s'han confirmat. El sostre del conjunt B continua mostrant un clar predomini dels gratadors, amb percentatges significatius de denticulats i elements de dors. Les truncadures assoleixen percentatges molt baixos, al voltant del 2%, tant al nivell B1 com al nivell B1.1.

Les dades de camp sí suggerien alguns canvis significatius en el conjunt faunístic. Tot i el clar predomini dels lepòrids en el conjunt, sembla intuir-se una tendència cap a l'increment de les restes de macrofauna (sobretot cérvol i cabra) a mesura que es va aprofundint en els nivells inferiors (i més antics) del jaciment, fet que podria indicar algun redireccionament, potser puntual, de la dieta cap a altres taxons propers en les immediateses del jaciment. No obstant, aquestes dades són encara preliminars i caldrà veure en futurs treballs si aquesta tendència es confirma.

Pel que fa a les dades tafonòmiques, no s'observen diferències amb respecte a campanyes anteriors. El conjunt analitzat es troba molt fragmentat, presentant molta fracturació en fresc. Algunes de les fractures presenten *peeling*, indicador d'una intencionalitat en la fractura de l'os per l'obtenció de nutrients i/o productes secundaris per part dels humans. Això indica la intensa activitat que té lloc al jaciment. L'elevada fragmentació dificulta la identificació de moltes restes i impedeix establir un patró de transport i/o processament de les restes de macrofauna. L'elevat nombre d'ossos cremats suggereix la presència de fogars o estructures properes que han afectat els

ossos. Igualment, la baixa o nul·la presència d'activitat de carnívors és indicador que aquests no eren habitants recurrents en el lloc i que, possiblement, visitarien el jaciment puntualment. Un fet qualitativament interessant és la troballa d'un remuntatge de dos fragments ossis que corresponen a la fracturació en fresc d'un ós llarg de macromamífer.

Finalment, cal destacar la troballa de dues noves peces d'art moble. Es tracta de dues plaques d'esquist, una trobada a la base del nivell A i l'altra al sostre del nivell B1. Aquesta última és particularment significativa, ja que ens confirma que la presència de evidències d'art moble al conjunt B. De moment, el nombre d'evidències recuperades en aquest conjunt no permet avaluar les possibles diferències amb el conjunt A, des del punt de vista estilístic i tècnic. La placa recuperada al conjunt A, en la qual s'han identificat dues representacions zoomorfes, sí mostra els trets estilístics habituals en els motius figuratius documentats prèviament en aquest conjunt.

8.- INVENTARI GENERAL

Any	Nivell	UA	Quadre	Número	Material	Categoria	Taxó/Tipus	X	Y	Zsup.	Zinf.	Orientació	Pendent	Long.	Ampl.	Gr.	Observació
2016	A		D29	261	Sílex	FBP		66	27		159			20	11	5	Cremat
2016	A		D29	262	Os	Metacarp	Lepo	85	65		156			20	4	3	
2016	A		D29	263	Os	Mandíbula	O. cuniculus	83	72		156			17	10	5	
2016	A		D29	264	Sílex	BP		74	75		155			23	14	3	
2016	A		D29	265	Os	Tíbia	Lepo	44	63		152	ns	s	34	7	3	
2016	A		D29	266	Sílex	FBP		38	61		150			15	12	7	Cremat
2016	A		D29	267	Os	Tíbia	Lepo	41	44		155			27	8	7	
2016	A		D29	268	Os	Fíbula	Lepo	25	55		152			18	6	2	
2016	A		D29	269	Os	Coxal	Lepo	20	40		152			17	15	5	
2016	A		D29	270	Sílex	BP		4	42		150	nwse	vh	26	15	3	
2016	A		D29	271	Sílex	BNP		5	59		147	ns	se	52	30	30	
2016	A		D29	272	Sílex	BP		1	73		145	ew	w	35	7	5	
2016	A		D29	273	Os	Tíbia	Lepo	45	86		146	nwse	nw	47	8	8	
2016	A		D29	274	Os	Metàpod	Lepo	46	86		146			20	5	5	
2016	A		D29	275	Os	Húmer	O. cuniculus	39	62		151			22	12	6	
2016	A		D29	276	Sílex	FBP		30	70		148	ew	p	35	20	6	Cremat
2016	A		D29	277	Sílex	BP		42	85		148	ns	vh	25	24	7	
2016	A		D29	278	Sílex	BPF		48	87		148	ns	p	25	10	2	
2016	A		D29	279	Calcària	Bloc		27	75	144	148	ns	e	115	90	40	
2016	A		D29	280	Sílex	FBP		52	77		152	ns	vh	20	12	2	Cremat
2016	A		D29	281	Calcària	Bloc		87	70	152	157	ew	w	90	55	50	
2016	A		D29	282	Sílex	BP		86	66		157	nesw	ne	50	21	10	
2016	A		D29	283	Os	Fèmur	Lepo	83	60		157	ns	n	31	8	7	
2016	A		D29	284	Sílex	BNC	BNC(F)	58	43		157	nesw	p	26	22	8	Cremat
2016	A		D29	285	Sílex	FBP		56	37		158	nwse	p	16	11	2	
2016	A		D29	286	Argila	Bloc		43	1	155	162	nwse	se	150	100	65	
2016	A		D29	287	Calcària	FBP		59	5		163	nwse	p	56	25	17	
2016	A		D29	288	Esquist	Frag		14	35		154	ew	s	85	57	6	
2016	A		D29	289	Sílex	BP		59	3		163	q	p	16	15	4	
2016	A		D29	290	Os	Tíbia	Lepo	60	39		158			24	7	3	
2016	A		D29	291	Os	Coxal	Lepo	23	18		159			20	10	5	
2016	A		D29	292	Os	Radi	Lepo	25	16		160			22	7	5	
2016	A		D29	293	Sílex	FBP		31	10		162	nesw	v	57	16	6	Base de madriguera
2016	A		D29	294	Os	Ulna	Lepo	28	11		161	ns	p	20	6	5	Base de madriguera
2016	A		D29	295	Os	Tíbia	Lepo	25	11		161	nesw	p	27	8	7	
2016	A		D29	296	Os	Mandíbula	Lepo	19	7		162	ns	vh	35	15	7	
2016	A		D29	297	Sílex	BP		24	4		163			17	12	4	
2016	A		D29	298	Sílex	BPF		25	3		163	nesw	v	28	26	6	Cremat
2016	A		D29	299	Sílex	BNP					100-135			30	27	25	Secció. Trobat al rentat
2016	A		D30	853	Esquist	Frag		3	92		148	ns	s	86	34	6	Perfil Nord
2016	A		D30	854	Sílex	BP		6	93		144			30	13	5	Perfil Nord
2016	A		D30	855	Sílex	FBP		0	90		153			22	16	5	Perfil Nord
2016	A		D30	856	Sílex	BP		1	90		153	nesw	vh	36	17	6	Perfil Nord
2016	A		D30	857	Sílex	BPF		5	92		150			17	12	3	Perfil Nord
2016	A		D30	858	Os	Calcani	Lepo	10	93		151	ns	s	25	10	8	Perfil Nord
2016	A		D30	859	Sílex	FBP		18	94		148			33	11	2	Perfil Nord
2016	A		D30	860	Sílex	BP		19	94		148			20	9	2	Perfil Nord
2016	A		D30	861	Os	Mandíbula	O. cuniculus	22	93		147	ns	p	20	10	6	Perfil Nord
2016	A		D30	862	Sílex	BP		22	94		149	ns	p	45	45	15	Perfil Nord
2016	A		D30	863	Os	Tíbia	Lepo	30	94		145			32	8	5	Perfil Nord
2016	A		D30	864	Sílex	FBP		27	94		147			15	11	3	Perfil Nord

2016	A		D30	865	Sílex	BNC	G12	37	94	140	ns	v	25	17	3	Perfil Nord. Cremat
2016	A		D30	866	Calcària	Frag.Nat.		38	94	140	ew	vh	40	15	11	Perfil Nord
2016	A		D30	867	Sílex	BP		36	90	147			32	22	4	Perfil Nord
2016	A		D30	868	Esquist	Frag		24	93	142	nwse	p	90	58	12	Perfil Nord
2016	A		D30	869	Quars	Frag.Nat.		12	95	142			15	11	7	Perfil Nord
2016	A		D30	870	Sílex	FBP		8	94	143			15	12	5	Perfil Nord. Cremat
2016	A		D30	871	Os	Tíbia	Lepo	74	94	149			30	7	2	Perfil Nord
2016	A		D30	872	Os	Crani	Indet			140-145			29	21	11	Perfil Nord. Trobat al rentat
2016	A		D30	873	Sílex	BNC	LD21			140-150			15	6	2	Perfil Nord. Trobat al rentat
2016	A		D30	874	Sílex	BNC	G11			140-150			15	7	3	Perfil Nord. Trobat al rentat
2016	A		D30	875	Sílex	BNC	G21			140-150			22	12	3	Perfil Nord. Trobat al rentat
2016	A		D32	2089	Sílex	FBP		80	4	145			12	7	4	Coordenades aproximades
2016	A		D32	2090	Sílex	RT		81	6	145			12	7	3	Coordenades aproximades
2016	A		D32	2091	Sílex	FBP		83	20	145	nesw	ne	30	16	12	
2016	A		D32	2092	Os	Metàpod	Lepo	97	37	145			21	5	4	
2016	A		D32	2093	Os	Llarg	Indet	91	46	146	nwse	se	26	7	4	
2016	A		D32	2094	Os	Crani	Lepo	85	49	146	nwse	p	21	17	8	
2016	A		D32	2095	Os	Metacarp	Lepo	72	58	146	nwse	p	22	7	4	
2016	A		D32	2096	Os	Fèmur	Lepo	65	39	146			22	5	3	Cremat. Coordenades aproximades
2016	A		D32	2097	Os	Llarg	Lepo	63	36	146			22	5	3	Coordenades aproximades
2016	A		D32	2098	Os	Fèmur	Lepo	59	24	146			22	7	4	Coordenades aproximades
2016	A		D32	2099	Os	Fèmur	Lepo	64	21	146	ns	p	20	7	4	
2016	A		D32	2100	Sílex	FBP		64	11	147	ns	s	23	12	5	Cremat
2016	A		D32	2101	Os	Fèmur	Lepo	71	53	146	nwse	se	21	6	5	
2016	A		D32	2102	Os	Radi	O. cuniculus	90	85	145			26	7	4	Cremat
2016	A		D32	2103	Sílex	FBP		4	5	151	nwse	p	31	15	4	Cremat
2016	A		D32	2104	Sílex	BP		10	7	151	q	p	14	14	2	
2016	A		D32	2105	Sílex	BPF		5	24	150	ns	n	21	8	2	
2016	A		D32	2106	Os	Húmer	O. cuniculus	39	25	149	ew	e	22	10	7	
2016	A		D32	2107	Os	Llarg	Indet	30	27	149	nesw	p	30	5	4	
2016	A		D32	2108	Sílex	FBP		4	60	150	nesw	se	29	20	5	
2016	A		D32	2109	Os	Mandíbula	O. cuniculus	10	60	150	nwse	se	36	14	5	
2016	A		D32	2110	Sílex	FBP		9	77	150			13	12	4	Coordenades aproximades. Cremat
2016	A		D32	2111	Os	Mandíbula	O. cuniculus	36	78	147	nwse	p	32	20	5	
2016	A		D32	2112	Os	Escàpula	O. cuniculus	64	70	146	nwse	se	21	9	7	
2016	A		D32	2113	Sílex	FBP		49	60	145			15	12	3	Coordenades aproximades. Cremat
2016	A		D32	2114	Os	Calcani	Lepo	55	45	147	nwse	se	24	10	7	
2016	A		D32	2115	Os	Metatars	Lepo	49	65	146	nwse	se	34	5	4	Cremat
2016	A		D32	2116	Sílex	BP		75	39	146	nwse	nw	21	11	3	
2016	A		D32	2117	Esquist	Frag		36	93	145	nwse	sw	36	16	4	
2016	A		D32	2118	Os	Coxal	Lepo	34	88	145	ns	s	32	12	5	
2016	A		D32	2119	Os	Fèmur	Lepo	39	74	147	nesw	p	50	8	7	
2016	A		D32	2120	Sílex	BP		42	57	146	ew	s	30	11	3	
2016	A		D32	2121	Os	Fèmur	Lepo	40	56	147	nwse	nw	43	7	6	
2016	A		D32	2122	Os	Tíbia	Lepo	44	50	146			21	4	2	Coordenades aproximades
2016	A		D32	2123	Os	Llarg	Lepo	40	48	146			20	6	2	Coordenades aproximades
2016	A		D32	2124	Sílex	BNP		34	51	148	ew	e	64	52	37	
2016	A		D32	2125	Os	Coxal	Lepo	31	47	148	nesw	p	27	13	7	
2016	A		D32	2126	Sílex	BP		27	44	149	nesw	p	54	24	15	
2016	A		D32	2127	Sílex	BNC	Sind	15	62	150	nwse	p	32	18	7	
2016	A		D32	2128	Sílex	FBP		17	39	149	ew	e	37	17	10	
2016	A		D32	2129	Os	Fèmur	Lepo	54	47	147	nwse	nw	37	9	5	

2016	A		D32	2130	Os	Ulna	O. cuniculus	50	60		146			22	7	5	Coordenades aproximades
2016	A		D32	2131	Sílex	FBP		53	62		147	nesw	se	55	25	7	
2016	A		D32	2132	Os	Mandíbula	O. cuniculus	63	62		147	ns	p	23	15	5	
2016	A		D32	2133	Esquist	Frag		72	72		147	ns	s	86	60	30	
2016	A		D32	2134	Os	Tíbia	Lepo	83	24		146	ns	s	28	6	3	
2016	A		D32	2135	Os	Escàpula	O. cuniculus	83	8		146	ns	s	31	11	7	
2016	A		D32	2136	Os	Llarg		82	5		146	nwse	nw	22	4	3	
2016	A		D32	2137	Os	Indet	Indet	59	30		146	ns	p	23	10	3	
2016	A		D32	2138	Calcària	Bloc		30	36	142	148	nesw	vh	85	60	35	
2016	A		D32	2139	Gres	Bloc		81	18	137	147	nwse	vh	140	100	17	
2016	A		D32	2140	Sílex	Bn		38	40	139	149	ns	n	120	100	75	Hcl
2016	A		D32	2141	Argila	Bloc		20	29	142	149	nesw	nw	150	110	50	
2016	A		D32	2142	Calcària	Bloc		48	64		147	nwse	se	53	39	25	
2016	A		D32	2143	Os	Tíbia	Lepo	56	89		142	nesw	p	46	11	8	
2016	A		D32	2144	Sílex	BP		58	86		144	nesw	p	30	21	7	
2016	A		D32	2145	Os	Fèmur	Lepo	63	73		147			25	8	6	
2016	A		D32	2146	Os	Llarg	Macro	73	85		146	ns	s	45	19	3	
2016	A		D32	2147	Calcària	Bloc		60	84	139	144	nwse	nw	105	75	55	
2016	A		D32	2148	Gres	Bloc		57	87	137	146	ns	e	140	100	40	
2016	A		D32	2149	Os	Húmer	Lepo	50	83		148	nwse	se	30	6	5	
2016	A		D32	2150	Os	Mandíbula	O. cuniculus	44	70		148	nwse	se	40	17	6	
2016	A		D32	2151	Os	Ulna	O. cuniculus	50	65		147	ew	w	48	9	5	
2016	A		D32	2152	Os	Fèmur	Lepo	51	55		146	ew	e	30	6	6	
2016	A		D32	2153	Os	Fèmur	Lepo	94	23		146	nwse	p	29	7	6	
2016	A		D32	2154	Os	Ulna	O. cuniculus	100	24		146	nwse	p	49	6	5	
2016	A		D32	2155	Os	Maxil·lar	O. cuniculus	87	34		146	nesw	se	21	17	10	
2016	A		D32	2156	Os	Fèmur	Lepo	74	23		146	nwse	se	22	10	3	
2016	A		D32	2157	Os	Llarg	Lepo	71	33		146	ns	p	22	6	3	Crema
2016	A		D32	2158	Os	Fèmur	Lepo	86	16		147	nwse	se	47	7	5	
2016	A		D32	2159	Sílex	FBP		50	67		149	ew	s	33	28	11	
2016	A		D32	2160	Os	Tíbia	Lepo	67	84		147	ew	e	31	13	6	
2016	A		D32	2161	Sílex	FBP		38	89		148			18	16	4	
2016	A		D32	2162	Sílex	FBP		2	39		151	ns	n	21	14	4	Crema
2016	A		D32	2163	Os	Mandíbula	V. vulpes	3	32		151	ns	vh	25	10	7	
2016	A		D32	2164	Os	Coxal	Lepo	5	28		151	ns	p	17	12	8	Crema
2016	A		D32	2165	Os	Calcani	Lepo	19	32		150	nwse	se	21	9	5	Crema
2016	A		D32	2166	Sílex	Frag.Nat.		22	24		150	ns	n	20	15	7	
2016	A		D32	2167	Os	Tíbia	Lepo	43	9		150	ns	p	22	7	3	
2016	A		D32	2168	Esquist	Bn		24	50	143	150	nwse	se	205	170	30	
2016	A		D32	2169	Esquist	Bn		45	37	143	153	nwse	nw	205	170	70	
2016	A		D32	2170	Os	Fèmur	Lepo	42	37		150	nwse	nw	30	10	4	Coordenades aproximades
2016	A		D32	2171	Sílex	BP		52	38		150			33	20	10	Coordenades aproximades
2016	A		D32	2172	Os	Ulna	Lepo	3	53		151	ew	p	33	3	2	Crema
2016	A		D32	2173	Os	Húmer	Lepo	2	58		151	ns	p	30	5	5	
2016	A		D32	2174	Calcària	Bloc		18	47		151	ns	e	90	75	25	
2016	A		D32	2175	Gres	Bloc		20	53	145	151	nwse	se	105	85	35	
2016	A		D32	2176	Gres	Bloc		17	65	142	150	ns	vh	100	80	40	
2016	A		D32	2177	Sílex	BPF		71	2		147	ns	e	25	16	6	
2016	A		D32	2178	Calcària	Bn		72	15		149	nwse	se	85	55	25	
2016	A		D32	2179	Calcària	Bloc		58	15		150	nesw	se	90	65	35	
2016	A		D32	2180	Sílex	BP		7	41		152	ew	vh	26	22	10	Crema
2016	A		D32	2181	Sílex	FBP		8	26		152			20	15	3	Crema

2016	A		D32	2182	Os	Tíbia	Lepo	100	17		147	ew	e	34	10	7	
2016	A		D32	2183	Os	Astràgal	O. cuniculus	73	18		148			18	7	6	Coordenades aproximades
2016	A		D32	2184	Sílex	BPF		63	10		149			16	11	3	
2016	A		D32	2185	Os	Tíbia	Lepo	57	36		149	nwse	se	30	6	4	
2016	A		D32	2186	Os	Llarg	Lepo	82	53		147			24	5	3	
2016	A		D32	2187	Calcària	Bloc		69	5		150	nwse	se	80	50	35	
2016	A		E29	925	Os	Tíbia	Lepo	99	52		158	nesw	p	61	8	6	
2016	A		E29	926	Conglomerat	Bloc		87	42	160	169	nesw		250	130	90	
2016	A		E30	1288	Sílex	BNC	G11	2	44		160	nesw	nw	34	15	10	Cremat
2016	A		E30	1289	Sílex	FBP		2	50		160			16	11	2	Cremat
2016	A		E30	1290	Sílex	BNC	LD21	3	36		160	ns	s	30	10	3	
2016	A		E30	1291	Sílex	Frag.Nat.		3	30		161	ew	w	16	7	5	
2016	A		E30	1292	Sílex	BPF		6	60		160	q		21	21	8	
2016	A		E30	1293	Sílex	BP		1	39		162	nesw	se	54	49	20	
2016	A		E30	1294	Sílex	RT		6	35		163			10	7	2	
2016	A		E30	1295	Conglomerat	Bloc		12	47	156	161	q		180	170	90	
2016	A		E32	753	Os	Mandíbula	O. cuniculus	100	83		148	nesw	sw	22	12	7	
2016	A		E32	754	Os	Fèmur	Lepo	75	100		148	nesw	p	23	6	5	
2016	A		E32	755	Sílex	BNC	Bc2	71	98		149	ew	p	33	22	17	
2016	A		E32	756	Os	Metatars	Lepo	70	79		148	ns	p	24	6	4	
2016	A		E32	757	Sílex	BNC	A1	61	80		149			15	9	3	Cremat
2016	A		E32	758	Calcària	Bloc		56	76		149	nwse	n	80	65	30	Cremat
2016	A		E32	759	Sílex	FBP		46	87		150	nesw	vh	24	7	3	
2016	A		E32	760	Sílex	FBP		47	96		149	ns	n	22	20	3	
2016	A		E32	761	Os	Fèmur	Lepo	55	60		148	nwse	p	50	7	6	
2016	A		E32	762	Calcària	Bloc		44	62		150	nwse	vh	70	45	40	
2016	A		E32	763	Os	Tíbia	Lepo	26	50		150	nesw	sw	42	7	6	
2016	A		E32	764	Sílex	BNC	Sind	18	57		152	ew	p	38	26	10	Hcl
2016	A		E32	765	Sílex	BNP		26	82		151	ew	n	48	32	30	
2016	A		E32	766	Sílex	BP		17	80		151	ew	vh	35	12	5	
2016	A		E32	767	Sílex	BP		14	98		151	ew	w	32	20	7	Cremat
2016	A		E32	768	Sílex	BNC	G12	9	94		151	nesw	ne	33	23	9	Cremat
2016	A		E32	769	Calcària	Bn		16	84		151	ns	n	80	70	35	
2016	A		E32	770	Os	Húmer	Lepo	72	79		150	nwse	p	22	5	4	
2016	A		E32	771	Sílex	BP		64	86		150	nesw	p	25	20	9	Hcl. Cremat
2016	A		E32	772	Sílex	FBP		31	83		151			23	14	6	
2016	A		E32	773	Esquist	Frag		20	100		152	nesw	nw	55	50	10	
2016	A		E32	774	Calcària	BNP		7	99		153	ns	p	31	28	18	
2016	A		E32	775	Esquist	Frag		41	70	146	151	nesw	se	115	75	15	
2016	A		E32	776	Sílex	BNC	LD21				150-155			19	8	2	Trobat al rentat. Cremat
2016	B1		D29	1	Sílex	BNC	G13	98	78		158	ns	w	33	28	8	
2016	B1		D29	2	Sílex	BNC	G12	59	83		155	nwse	se	40	17	5	Cremat
2016	B1		D29	3	Os	Mandíbula	O. cuniculus	45	58		155	ns	s	35	17	6	
2016	B1		D29	4	Sílex	FBP		37	38		160			16	15	3	
2016	B1		D29	5	Sílex	BP		62	35		160	ew	s	40	13	4	
2016	B1		D29	6	Os	Fèmur	Lepo	20	7		163			30	5	3	
2016	B1		D29	7	Os	Calcani	Lepo	25	0		163			18	8	6	
2016	B1		D29	8	Sílex	BNC	G22	10	5		161	q	e	27	22	5	
2016	B1		D29	9	Calcària	Bn		53	52	152	158	nesw	vh	95	55	50	
2016	B1		D29	10	Os	Mandíbula	Lepo	90	6		163			21	10	3	
2016	B1		D29	11	Sílex	FBP		72	22		163			10	10	3	
2016	B1		D29	12	Esquist	Frag.Nat.		67	35		160	ew	p	31	10	7	

2016	B1		D29	13	Sílex	FBP		51	38		160	ew	p	22	11	3	
2016	B1		D29	14	Os	Tíbia	Lepo	55	43		159	ew	p	32	6	3	
2016	B1		D29	15	Os	Falange	Lepo	46	41		158			10	4	4	
2016	B1		D29	16	Carbó			51	45		158						
2016	B1		D29	17	Carbó			50	50		158						
2016	B1		D29	18	Os	Costella	Lepo	56	52		158			22	3	2	
2016	B1		D29	19	Os	Fèmur	Lepo	54	57		157	nwse	se	25	7	4	
2016	B1		D29	20	Sílex	FBP		43	58		155	ew	p	32	10	5	
2016	B1		D29	21	Os	Escàpula	Lepo	32	56		153			20	10	4	
2016	B1		D29	22	Sílex	RT		57	72		156			10	6	1	
2016	B1		D29	23	Sílex	BP		66	65		159	ew	e	36	14	3	
2016	B1		D29	24	Os	Ulna	O. cuniculus	3	40		155	nwse	se	34	6	3	
2016	B1		D29	25	Sílex	FBP		2	93		143	ns	s	47	25	15	
2016	B1		D29	26	Os	Coxal	Lepo	3	80		145	ns	n	40	10	7	
2016	B1		D29	27	Sílex	BP		4	75		146	nesw	ne	45	27	5	
2016	B1		D29	28	Os	Llarg	Lepo	7	54		149			24	6	2	
2016	B1		D29	29	Os	Fèmur	Lepo	20	98		146	ns	p	34	11	9	
2016	B1		D29	30	Os	Coxal	Lepo	22	97		146			24	13	2	
2016	B1		D29	31	Os	Escàpula	Lepo	20	95		146			22	10	4	
2016	B1		D29	32	Os	Coxal	Lepo	22	94		146			22	8	3	
2016	B1		D29	33	Os	Coxal	Lepo	15	91		144	ns	p	17	9	5	Fragmentat
2016	B1		D29	34	Sílex	BP		19	92		147			16	15	3	
2016	B1		D29	35	Sílex	FBP		20	90		147	nwse	p	26	14	7	Creemat
2016	B1		D29	36	Sílex	BP		17	88		146	ns	p	28	10	4	Creemat
2016	B1		D29	37	Os	Fèmur	Lepo	39	83		148			26	11	5	
2016	B1		D29	38	Sílex	BP		44	81		149	ew	e	18	12	2	
2016	B1		D29	39	Os	Coxal	O. cuniculus	48	83		152	nwse	v	36	15	12	
2016	B1		D29	40	Sílex	BP		52	85		152	nesw	v	30	30	13	
2016	B1		D29	41	Os	Fèmur	Lepo	58	87		152	ns	s	37	7	3	
2016	B1		D29	42	Sílex	RT		37	74		149			10	6	1	
2016	B1		D29	43	Os	Tíbia	O. cuniculus	36	72		149	ew	p	65	11	9	Fragmentat
2016	B1		D29	44	Os	Pla	Macro	36	68		151			32	25	5	Creemat
2016	B1		D29	45	Sílex	BP		53	50		158			23	21	6	
2016	B1		D29	46	Sílex	BPF		16	14		160			15	11	3	Creemat
2016	B1		D29	47	Sílex	FBP		25	64		150			14	10	4	Creemat
2016	B1		D29	48	Sílex	BP		5	70		146	nwse	p	19	11	2	Creemat
2016	B1		D29	49	Sílex	FBP		9	80		145	ns	se	36	21	8	
2016	B1		D29	50	Sílex	FBP		16	85		148			16	14	5	
2016	B1		D29	51	Os	Tíbia	Lepo	19	86		148			20	6	2	
2016	B1		D29	52	Os	Tíbia	Lepo	17	88		148			23	5	1	
2016	B1		D29	53	Os	Ulna	O. cuniculus	40	90		150	nwse	p	30	7	3	
2016	B1		D29	54	Os	Llarg	Macro	39	73		150	nwse	ne	26	11	3	
2016	B1		D29	55	Os	Fèmur	Lepo	40	72		150	nwse	p	30	7	4	
2016	B1		D29	56	Os	Pla	Macro	37	90		151	nwse	vh	30	12	5	Creemat
2016	B1		D29	57	Sílex	FBP		44	67		153	nwse	nw	21	18	6	Creemat
2016	B1		D29	58	Os	Mandíbula	O. cuniculus	52	69		154	nesw	ne	36	18	8	
2016	B1		D29	59	Sílex	FBP		49	92		150	nwse	vh	21	12	2	Adossat a l'esquist. Creemat
2016	B1		D29	60	Sílex	BP		61	94		150	nwse	vh	44	32	15	
2016	B1		D29	61	Os	Costella	Lepo	74	93		155			16	4	2	
2016	B1		D29	62	Sílex	BPF		51	4		163			15	15	2	
2016	B1		D29	63	Os	Llarg	Macro	71	39		151	nwse	p	21	11	4	
2016	B1		D29	64	Os	Fèmur	Lepo	73	35		147	ns	p	33	8	4	

2016	B1		D29	65	Dent	I1 sup	O. cuniculus	33	73		147			17	4	3	
2016	B1		D29	66	Os	Llarg	Macro	33	93		147			20	8	4	
2016	B1		D29	67	Os	Húmer	O. cuniculus	10	89		146	ew	w	32	6	4	
2016	B1		D29	68	Sílex	Frag.Nat.		55	95		148	ew	n	44	30	18	
2016	B1		D29	69	Os	Mandíbula	O. cuniculus	1	74		146	ew	e	23	10	6	
2016	B1		D29	70	Os	Húmer	O. cuniculus	28	63		152	ns	p	35	11	8	
2016	B1		D29	71	Os	Escàpula	O. cuniculus	57	50		156	ew	p	38	10	6	
2016	B1		D29	72	Sílex	FBP		49	37		160			13	7	2	
2016	B1		D29	73	Os	Tíbia	Lepo	54	42		160			29	8	5	
2016	B1		D29	74	Sílex	FBP		58	66		158	ns	p	20	14	3	Cremat
2016	B1		D29	75	Sílex	FBP		81	62		159			21	20	3	
2016	B1		D29	76	Os	Radi	O. cuniculus	83	63		159			21	6	5	
2016	B1		D29	77	Os	Tíbia	Lepo	77	53		158			20	5	5	
2016	B1		D29	78	Sílex	BPF		57	20		163			21	14	8	
2016	B1		D29	79	Sílex	BPF		50	88		151			13	10	2	Cremat
2016	B1		D29	80	Os	Mandíbula	O. cuniculus	98	57		146	ns	p	24	10	6	
2016	B1		D29	81	Os	Tíbia	Lepo	97	36		145						Acumulació
2016	B1		D29	82	Os	Tíbia	Lepo	98	38		146			26	10	4	
2016	B1		D29	83	Os	Mandíbula	Lepo	98	33		146			15	12	5	
2016	B1		D29	84	Os	Tíbia	Lepo	98	10		146			20	6	2	
2016	B1		D29	85	Os	Costella	Lepo	98	5		146			20	3	2	
2016	B1		D29	86	Esquist			45	90	144	156	ew	w	190	105	30	
2016	B1		D29	87	Calcària	Bn		7	80		148	q	p	60	60	40	
2016	B1		D29	88	Sílex	FBP		48	87		154			28	17	8	Cremat
2016	B1		D29	89	Sílex	FBP		25	95		148	ew	p	20	11	6	Cremat
2016	B1		D29	90	Sílex	FBP		43	99		144	ns	s	20	18	7	Cremat
2016	B1		D29	91	Sílex	BP		53	88		155	nwse	s	50	37	25	
2016	B1		D29	92	Os	Mandíbula	O. cuniculus	51	84		155			22	11	5	
2016	B1		D29	93	Os	Fèmur	Lepo	53	81		156			23	11	6	
2016	B1		D29	94	Sílex	BPF		41	76		153	nesw	vh	20	18	4	Cremat
2016	B1		D29	95	Os	Fèmur	Lepo	44	72		154	nwse	se	22	6	4	
2016	B1		D29	96	Os	Metacarp	Lepo	48	66		156			16	5	3	
2016	B1		D29	97	Dent	P3 inf	O. cuniculus	43	64		154			13	4	3	
2016	B1		D29	98	Os	Pla	Macro	48	38		160			21	11	6	
2016	B1		D29	99	Sílex	BNC	Sind	47	30		163	nesw	se	30	25	5	
2016	B1		D29	100	Sílex	BP		61	26		163	ew	p	18	14	5	
2016	B1		D29	101	Os	Tíbia	Lepo	69	36		161	nesw	p	22	5	4	
2016	B1		D29	102	Sílex	FBP		81	43		158			25	17	3	
2016	B1		D29	103	Sílex	RT		88	20		161			13	8	2	
2016	B1		D29	104	Os	Fèmur	Lepo	95	24		163	nwse	p	55	8	8	
2016	B1		D29	105	Os	Radi	Aves	97	20		164	ns	p	29	3	2	
2016	B1		D29	106	Os	Tíbia	O. cuniculus	98	78		159			17	11	5	
2016	B1		D29	107	Sílex	BNC	D23	94	92		157	ew	p	26	23	10	Cremat
2016	B1		D29	108	Os			85	83		159	ew	e	13	12	5	
2016	B1		D29	109	Sílex	FBP		68	87		157	ew	w	21	19	8	
2016	B1		D29	110	Sílex	RT		65	72		159			10	8	2	Cremat
2016	B1		D29	111	Os	Tíbia	Lepo	61	93		152			15	13	7	
2016	B1		D29	112	Os	Metatars	Lepo	25	61		152	ns	p	22	6	5	
2016	B1		D29	113	Sílex	FBP		69	3		165			20	11	2	Cremat
2016	B1		D29	114	Os	Fèmur	Lepo	0	81		144	ns	s	46	10	8	
2016	B1		D29	115	Os	Fèmur	Lepo	20	85		149	ew	p	34	8	3	
2016	B1		D29	116	Os	Metàpod	Lepo	23	72		152			16	5	5	

2016	B1		D29	117	Sílex	FBP		37	65		153			15	7	6	CreMAT
2016	B1		D29	118	Os	Llarg	Macro	38	63		154	nesw	vh	36	10	5	
2016	B1		D29	119	Sílex	BNC	D23	51	78		156	ns	vh	49	35	13	
2016	B1		D29	120	Sílex	BP		52	78		157	ns	v	32	12	7	
2016	B1		D29	121	Os	Fèmur	Lepo	54	80		157	ns	s	46	10	8	
2016	B1		D29	122	Calcària	Frag.Nat.		64	84		157	nesw	vh	26	15	7	
2016	B1		D29	123	Sílex	FBP		78	90		158	ew	p	24	15	7	
2016	B1		D29	124	Sílex	FBP		94	80		160			30	17	7	
2016	B1		D29	125	Os	Fèmur	Lepo	81	69		161	ew	w	20	5	4	
2016	B1		D29	126	Os	Metatars	Lepo	97	61		160	nesw	p	26	6	4	
2016	B1		D29	127	Sílex	FBP		88	50		160	q	p	22	20	6	
2016	B1		D29	128	Os	Tíbia	Lepo	97	49		161	ew	w	35	6	3	
2016	B1		D29	129	Os	Tíbia	Lepo	94	46		161	nwse	p	20	7	4	
2016	B1		D29	130	Sílex	BNC	A2	93	45		161	q	p	30	28	11	
2016	B1		D29	131	Sílex	BP		96	41		161	nwse	se	50	37	15	
2016	B1		D29	132	Os	Tíbia	Carnivora	91	40		161	ns	p	22	7	5	
2016	B1		D29	133	Os	Metatars	Lepo	92	24		162			18	7	4	Coordenades aproximades
2016	B1		D29	134	Os	Llarg	Lepo	38	59		154			21	5	2	Coordenades aproximades
2016	B1		D29	135	Os	Tíbia	Lepo	93	6		165	nesw	p	54	9	6	
2016	B1		D29	136	Os	Tíbia	Macro	93	18		164			32	7	5	
2016	B1		D29	137	Sílex	BPF		99	49		162	ns	p	22	6	3	
2016	B1		D29	138	Os	Tíbia	O. cuniculus	96	62		160	ew	p	53	7	5	
2016	B1		D29	139	Os	Pla	Macro	70	86		158			20	11	4	
2016	B1		D29	140	Os	Coxal	Lepo	57	84		156			16	13	5	
2016	B1		D29	141	Os	Escàpula	Lepo	48	87		153	nesw	p	32	11	3	
2016	B1		D29	142	Os	Tíbia	Lepo	47	92		150	ew	e	25	5	3	
2016	B1		D29	143	Sílex	BP		49	93		152	ew	se	53	40	15	
2016	B1		D29	144	Esquist	Frag		0	39		155	nwse	p	55	35	14	
2016	B1		D29	145	Calcària	Frag.Nat.		6	25		159	nesw	p	30	22	15	
2016	B1		D29	146	Os	Fèmur	O. cuniculus	1	20		160			22	10	5	
2016	B1		D29	147	Os	Vèrtebra	Macro	12	21		160	nwse	nw	52	47	21	
2016	B1		D29	148	Os	Radi	O. cuniculus	70	60		160			22	6	4	
2016	B1		D29	149	Os	Mandíbula	O. cuniculus	61	48		162	ew	p	52	15	8	
2016	B1		D29	150	Os	Ulna	Lepo	41	33		161			26	8	5	
2016	B1		D29	151	Sílex	RT		52	54		160			9	8	1	
2016	B1		D29	152	Sílex	FBP		51	54		160			15	10	1	
2016	B1		D29	153	Sílex	BP		45	60		158	nesw	p	33	17	10	CreMAT
2016	B1		D29	154	Os	Fèmur	Lepo	43	57		158			26	11	6	
2016	B1		D29	155	Os	Fèmur	Lepo	43	62		156	nesw	p	32	7	5	
2016	B1		D29	156	Os	Tíbia	Lepo	40	62		156			24	5	3	
2016	B1		D29	157	Calcària	Bloc		63	19		165	q	p	70	55	40	
2016	B1		D29	158	Esquist	Frag		85	17		165	ns	s	50	38	4	
2016	B1		D29	159	Sílex	FBP		68	13		165	ew	vh	22	13	2	CreMAT
2016	B1		D29	160	Sílex	FBP		69	13		165	ew	vh	18	12	2	CreMAT
2016	B1		D29	161	Sílex	RT		70	13		165	ew	vh	12	8	2	
2016	B1		D29	162	Calcària	Frag		66	10		165	ns	p	25	16	11	CreMAT
2016	B1		D29	163	Os	Tíbia	Lepo	13	4		164			23	5	3	
2016	B1		D29	164	Os	Fèmur	Lepo	43	40		162	nwse	p	22	4	3	
2016	B1		D29	165	Sílex	BP		53	52		162	ns	p	20	11	2	
2016	B1		D29	166	Sílex	BPF		68	49		161	nesw	nw	28	12	5	CreMAT
2016	B1		D29	167	Os	Fèmur	Lepo	58	65		161			20	6	3	
2016	B1		D29	168	Os	Maxil·lar	O. cuniculus	51	76		158			20	18	15	

2016	B1		D29	169	Sílex	FBP		88	69		162	q	p	17	16	2	Cremat
2016	B1		D29	170	Os	Falange	Lepo	95	67		161			16	5	4	
2016	B1		D29	171	Calcària	Frag.Nat.		91	85		161	ew	p	39	25	11	Cremat
2016	B1		D29	172	Os	Húmer	O. cuniculus	24	71		152	ns	p	34	8	6	
2016	B1		D29	173	Granit	Frag		8	55		152	nesw	vh	68	40	30	
2016	B1		D29	174	Os	Llarg	Lepo	4	51		152			22	3	2	
2016	B1		D29	175	Sílex	RT		0	53		149			11	8	2	
2016	B1		D29	176	Sílex	BP		40	53		157	q	p	26	25	3	
2016	B1		D29	177	Os	Fèmur	Lepo	2	64		147	nesw	sw	22	5	3	
2016	B1		D29	178	Sílex	BP		18	66		152	ew	e	25	16	3	
2016	B1		D29	179	Sílex	BP		39	91		149			14	11	3	
2016	B1		D29	180	Sílex	BP		47	95		151	nesw	vh	36	19	8	
2016	B1		D29	181	Os	Fèmur	Lepo	45	91		151	ns	s	43	10	5	
2016	B1		D29	182	Os	Húmer	O. cuniculus	56	92		152	ew	p	33	8	3	
2016	B1		D29	183	Calcària	Bloc		67	95		156	ew	e	92	80	30	
2016	B1		D29	184	Os	Maxil·lar	O. cuniculus	89	70		162			16	16	10	
2016	B1		D29	185	Os	Llarg	Macro	78	57		162	ew	p	40	10	5	
2016	B1		D29	186	Sílex	FBP		47	59		160	ew	vh	31	12	3	
2016	B1		D29	187	Sílex	BP		47	62		158	ew	vh	32	21	6	
2016	B1		D29	188	Os	Ulna	O. cuniculus	40	58		157			15	8	2	
2016	B1		D29	189	Os	Tíbia	O. cuniculus	55	42		163			21	12	7	
2016	B1		D29	190	Sílex	BP		95	17		164	NS	S	32	25	7	
2016	B1		D29	191	Os	Tíbia	Lepo	94	13		164	nesw	p	44	7	6	
2016	B1		D29	192	Conglomerat	Bloc		81	34	157	162	ns	p	280	160	50	
2016	B1		D29	193	Os	Tíbia	Lepo	67	28		162			10	10	4	
2016	B1		D29	194	Sílex	BNC	D23	85	46		162	ew	p	52	46	21	
2016	B1		D29	195	Sílex	BPF		87	33		162	ew	w	25	16	4	Cremat
2016	B1		D29	196	Os	Fèmur	Lepo	83	33		162	ew	w	48	10	3	
2016	B1		D29	197	Sílex	RT		54	32		163			11	9	2	Cremat
2016	B1		D29	198	Os	Tíbia	Lepo	11	7		166	nwse	p	36	8	5	
2016	B1		D29	199	Sílex	BNC	G11	0	24		161	ew	vv	40	32	19	Hcl. Cremat
2016	B1		D29	200	Sílex	BP		11	26		161	ew	vh	28	9	4	
2016	B1		D29	201	Os	Calcani	Lepo	10	18		165			24	9	9	
2016	B1		D29	202	Calcària	FBP		13	22		167			20	20	4	
2016	B1		D29	203	Calcària	Bloc		15	12	163	167	nesw	p	85	75	40	
2016	B1		D29	204	Sílex	BP		29	13		166	nwse	se	46	16	7	
2016	B1		D29	205	Os	Fèmur	Lepo	31	11		165			32	8	6	
2016	B1		D29	206	Os	Costella	Macro	39	12		167			32	15	4	Coordenades aproximades
2016	B1		D29	207	Os	Llarg	Macro	25	21		167	ew	vv	38	12	7	
2016	B1	2	D29	208	Os	Mandíbula	O. cuniculus	31	22		167			26	13	10	
2016	B1	2	D29	209	Os	Tíbia	Lepo	12	98		146			35	7	4	Acumulació
2016	B1	2	D29	210	Sílex	FBP		0	73		145	ns	p	26	7	3	
2016	B1	2	D29	211	Sílex	FBP		0	79		145	ns	p	17	10	2	
2016	B1	2	D29	212	Sílex	BP		6	100		141	ew	sw	55	45	11	
2016	B1	2	D29	213	Os	Metatars	Lepo	6	100		144			27	7	4	
2016	B1	2	D29	214	Sediment	Mostra		3	99		144						
2016	B1	2	D29	215	Os	Tíbia	Lepo	1	97		143	nwse	p	56	10	6	
2016	B1	2	D29	216	Sílex	BPF		2	87		147			23	15	3	
2016	B1	2	D29	217	Calcària	Frag.Nat.		4	83		147			42	23	9	
2016	B1	2	D29	218	Sílex	FBP		21	98		148	q	p	22	22	5	
2016	B1	2	D29	219	Sílex	BP		24	72		153	ew	p	18	15	3	
2016	B1	2	D29	220	Os	Coxal	Lepo	29	68		154	ew	e	30	12	6	

2016	B1	2	D29	221	Os	Falange	Aves	28	62	154			12	3	3	
2016	B1	2	D29	222	Os	Tíbia	Lepo	31	61	155	ew	e	54	7	3	
2016	B1	2	D29	223	Os	Tíbia	Lepo	31	58	155	nwse	se	23	5	3	
2016	B1	2	D29	224	Os	Llarg	Macro	28	55	157			20	3	3	
2016	B1	2	D29	225	Os	Tíbia	O. cuniculus	29	52	157			18	12	6	
2016	B1	2	D29	226	Os	Calcani	Lepo	27	54	157			25	8	7	
2016	B1	2	D29	227	Os	Maxil·lar	O. cuniculus	24	57	154			25	15	15	
2016	B1	2	D29	228	Sediment	Mostra		34	51	158						
2016	B1	2	D29	229	Sediment	Mostra		3	67	151						
2016	B1	2	D29	230	Sílex	BNC	Sind	0	63	146	ns	p	28	9	6	
2016	B1	2	D29	231	Os	Crani	Lepo	27	61	155			17	16	3	
2016	B1	2	D29	232	Os	Coxal	Lepo	5	100	144			17	10	6	
2016	B1	2	D29	233	Os	Fèmur	Lepo	3	99	145			25	7	5	
2016	B1	2	D29	234	Os	Tíbia	Lepo	5	97	148	ew	v	20	7	5	
2016	B1	2	D29	235	Os	Fèmur	Lepo	5	95	148			45	15	7	
2016	B1	2	D29	236	Calcària	Frag.Nat.		7	94	148			17	6	2	
2016	B1	2	D29	237	Os	Mandíbula	O. cuniculus	6	90	148			45	22	9	
2016	B1	2	D29	238	Esquist	Frag		13	99	147	ew	p	55	50	6	
2016	B1	2	D29	239	Os	Llarg	Macro	0	72	149	nwse	p	23	7	5	
2016	B1	2	D29	240	Os	Tíbia	Lepo	4	73	149	ew	p	43	8	4	
2016	B1	2	D29	241	Calcària	Frag.Nat.		9	76	150	ns	n	27	21	3	
2016	B1	2	D29	242	Os	Tíbia	Lepo	13	77	150			22	5	2	
2016	B1	2	D29	243	Sílex	FBP		12	55	152	ns	p	27	20	11	
2016	B1	2	D29	244	Os	Húmer	O. cuniculus	0	62	153	nwse	se	40	11	5	Fragmentat
2016	B1	2	D29	245	Os	Metacarp	Lepo	14	57	155			10	4	3	
2016	B1	2	D29	246	Calcària	Frag.Nat.		9	46	155	q	p	13	13	5	
2016	B1	2	D29	247	Calcària	BNC	D23	7	42	159	nwse	se	80	43	33	
2016	B1	2	D29	248	Calcària	Bloc		24	60	155	nwse	se	65	40	33	
2016	B1	2	D29	249	Sílex	BP		26	63	154	q	p	18	16	8	Hcl. Cremat
2016	B1	2	D29	250	Os	Mandíbula	O. cuniculus	34	63	155	ns	vh	44	18	8	
2016	B1	2	D29	251	Sílex	FBP		35	63	155	ns	vh	40	14	11	Cremat
2016	B1	2	D29	252	Os	Calcani	Lepo	37	63	157	ns	p	23	7	6	
2016	B1	2	D29	253	Sílex	FBP		34	56	157	q	p	16	15	2	
2016	B1	2	D29	254	Esquist	Bn		38	43	162	ns	p	70	63	30	
2016	B1	2	D29	255	Os	Coxal	Lepo	33	63	155	ns	v	35	20	7	
2016	B1	2	D29	256	Os	Tíbia	Lepo	0	96	146	ew	p	47	8	7	
2016	B1	2	D29	257	Os	Fèmur	Lepo	7	90	149			28	6	2	Coordenades aproximades
2016	B1	2	D29	258	Esquist	Frag		11	71	153	ew	p	95	58	14	Cremat
2016	B1	2	D29	259	Sílex	BPF		5	96	149	ew	vh	38	23	7	
2016	B1	2	D29	260	Sílex	BP		10	95	150			17	6	3	
2016	B1	2	D29	261	Sílex	BP		15	96	150	ew	p	40	10	10	
2016	B1	2	D29	262	Os	Mandíbula	Lepo	10	92	150			20	12	3	
2016	B1	2	D29	263	Os	Vèrtebra	Macro	38	78	151			17	14	7	
2016	B1	2	D29	264	Os	Húmer	Lepo	33	75	154	nesw	p	28	8	6	
2016	B1	2	D29	265	Os	Radi	Lepo	37	73	154	ns	v	26	4	3	
2016	B1	2	D29	266	Os	Húmer	O. cuniculus	39	56	158	nwse	se	29	10	6	
2016	B1	2	D29	267	Sílex	FBP		64	91	157	ns	p	17	13	6	
2016	B1	2	D29	268	Sílex	FBP		69	73	162	q	p	22	21	8	Cremat
2016	B1	2	D29	269	Os	Húmer	O. cuniculus	13	94	151			17	8	6	
2016	B1	2	D29	270	Esquist	Frag		4	41	159	ew	n	54	50	14	
2016	B1	2	D29	271	Sílex	FBP		7	41	159	ns	n	40	35	10	
2016	B1	2	D29	272	Sílex	BP		0	45	157	nesw	vh	21	18	4	Cremat

2016	B1		D29	273	Os	Calcani	Lepo	7	48		156			24	11	7	
2016	B1	2	D29	274	Sílex	BP		34	58		156	nesw	n	28	20	7	
2016	B1	2	D29	275	Os	Maxil·lar	O. cuniculus	16	72		155	nwse	p	28	25	8	
2016	B1	2	D29	276	Os	Coxal	Lepo	12	99		149			25	11	3	
2016	B1	2	D29	277	Sílex	BP		29	86		151	q	s	25	25	8	
2016	B1	2	D29	278	Sílex	FBP		30	84		152			11	11	4	
2016	B1	2	D29	279	Sílex	BP		33	83		152			17	10	4	
2016	B1	2	D29	280	Os	Llarg	Lepo	35	90		152			21	4	2	
2016	B1	2	D29	281	Malaco			46	83		155						
2016	B1	2	D29	282	Calcària	Frag.Nat.		49	89		156	ns	vh	55	30	20	
2016	B1	2	D29	283	Os	Falange	Lepo	50	90		153	ew	p	19	5	3	
2016	B1		D29	284	Os	Ulna	O. cuniculus	87	40		153	ns	s	26	5	4	
2016	B1		D29	285	Sílex	BP		67	49		158	nesw	p	32	20	5	
2016	B1		D29	286	Os	Húmer	Lepo	70	43		157	ns	p	26	5	4	
2016	B1		D29	287	Os	Maxil·lar	O. cuniculus	70	37		156	q	p	17	15	12	
2016	B1		D29	288	Sílex	BP		85	34		154	ns	n	20	3	2	
2016	B1		D29	289	Sílex	BP		70	28		156	ns	p	62	17	4	
2016	B1		D29	290	Sílex	BPF		68	26		159	nesw	vh	21	13	7	
2016	B1		D29	291	Sílex	BP		78	14		154	ew	p	27	12	6	
2016	B1		D29	292	Sílex	BP		55	5		154	ew	p	32	21	5	Crema
2016	B1		D29	293	Banya	Asta	Cervidae	49	5		159			15	9	7	
2016	B1		D29	294	Sílex	FBP		28	7		162	nwse	se	25	12	12	
2016	B1		D29	295	Os	Húmer	C. pyrenaica				155-160			49	13	6	Trobat al rentat
2016	B1		D29	296	Sílex	BNP					155-160			51	49	37	Trobat al rentat. Hcl
2016	B1		D29	297	Os	Metàpod	C. pyrenaica				155-160			31	21	17	Trobat al rentat
2016	B1		D29	298	Os	Radi	C. pyrenaica				155-160			25	18	4	Trobat al rentat
2016	B1		D29	299	Sílex	BNC	PD23				160-165			9	3	1	Trobat al rentat
2016	B1		D30	1	Os	Falange	C. pyrenaica	95	61		158			30	11	10	
2016	B1		D30	2	Os	Llarg	Indet	91	67		156			35	7	4	Crema
2016	B1		D30	3	Os	Llarg	Indet	76	40		159			21	5	4	Coordenades aproximades
2016	B1		D30	4	Esquist	Frag		97	4		160	nesw	sw	40	30	13	
2016	B1		D30	5	Sílex	BP		58	79		156	ew		22	20	13	
2016	B1		D30	6	Sílex	BP		72	10		159	nesw	p	61	29	17	
2016	B1		D30	7	Sílex	BPF		15	29		160	q	p	22	17	5	Crema
2016	B1		D30	8	Os	Vèrtebra	Lepo	84	10		161			18	13	4	
2016	B1		D30	9	Sílex	BP		85	70		158	nwse	p	17	14	4	Coordenades aproximades
2016	B1		D30	10	Sílex	FBP		75	55		160		v	13	12	3	Coordenades aproximades. Crema
2016	B1		D30	11	Os	Astràgal	O. cuniculus	50	75		156	q	v	15	5	4	Coordenades aproximades
2016	B1		D30	12	Os	Radi	O. cuniculus	75	35		160			25	5	4	Coordenades aproximades
2016	B1		D30	13	Os	Húmer	O. cuniculus	88	53		159			41	12	5	Coordenades aproximades
2016	B1		D30	14	Os	Escàpula	O. cuniculus	70	88		155			25	12	7	
2016	B1		D30	15	Os	Pla	Macro	70	89		155			23	14	3	
2016	B1		D30	16	Os	Tíbia	Lepo	25	60		158			22	5	2	Fragmentat
2016	B1		D30	17	Os	Tíbia	Lepo	35	75		158			27	5	2	
2016	B1		D30	18	Os	Tíbia	Lepo	69	48		160	nesw	p	56	8	6	
2016	B1		D30	19	Os	Fèmur	Lepo	14	25		161	ns	p	19	7	3	Crema
2016	B1		D30	20	Os	Fèmur	Lepo	33	44		160	nesw	p	29	7	6	
2016	B1		D30	21	Calcària	Bloc		30	30	150	161	ew	p	180	140	110	
2016	B1		D30	22	Carbó			30	30		161						
2016	B1		D30	23	Sílex	FBP		45	22		160	nesw	p	31	21	5	Crema
2016	B1		D30	24	Sílex	FBP		59	4		160	nesw	p	22	8	7	
2016	B1		D30	25	Sílex	BNC	G21	73	30		160			22	21	8	En contacte amb arrel. Hcl

2016	B1		D30	26	Carbó			73	23		160							
2016	B1		D30	27	Calcària	Frag.Nat.		60	27		161	nesw	p		52	21	17	
2016	B1		D30	28	Sílex	FBP		74	28		162				12	9	4	
2016	B1		D30	29	Esquist	Frag		79	12		162	nesw	ne		62	39	8	
2016	B1		D30	30	Sílex	FBP		25	28		162	ns	p		36	17	9	
2016	B1		D30	31	Sílex	BNC	G11	48	21		162	ns	p		32	18	7	Crema
2016	B1		D30	32	Os	Fèmur	Lepo	58	8		163	ew	p		20	6	3	
2016	B1		D30	33	Os	Llarg	Macro	56	14		163	ew	p		33	7	6	
2016	B1		D30	34	Os	Húmer	O. cuniculus	5	23		162	nesw	p		32	7	5	
2016	B1		D30	35	Os	Húmer	O. cuniculus	24	48		162	ew	p		41	9	6	
2016	B1		D30	36	Os	Tibiotarsus	Aves	80	22		162	nwse	p		55	6	5	
2016	B1		D30	37	Os	Mandíbula	O. cuniculus	95	18		161				22	11	5	
2016	B1		D30	38	Os	Tíbia	Lepo	96	30		159	nesw	ne		33	10	4	
2016	B1		D30	39	Sílex	BP		96	29		159	nesw	ne		54	29	10	
2016	B1		D30	40	Sílex	BP		77	27		162	ns	p		34	19	7	
2016	B1		D30	41	Sílex	BNP		38	50		162	ns	n		54	30	22	Hcl
2016	B1		D30	42	Sílex	BNC	G11	94	25		162	ns	p		18	13	4	Crema
2016	B1		D30	43	Sílex	BP		75	45		163	nwse	p		31	29	5	
2016	B1		D30	44	Sílex	BP		77	60		160	nesw	ne		28	12	7	
2016	B1		D30	45	Os	Maxil·lar	O. cuniculus	88	47		162				20	18	10	
2016	B1		D30	46	Carbó			75	69		158							
2016	B1		D30	47	Calcària	Bn		42	73	153	158	nwse	ne		106	52	51	
2016	B1		D30	48	Os	Fèmur	Lepo	38	63		159	nwse	p		32	7	5	
2016	B1		D30	49	Carbó			19	59		161							
2016	B1		D30	50	Sílex	BP		40	11		163	nwse	p		25	15	3	
2016	B1		D30	51	Sílex	BP		65	25		164	nwse	nw		30	20	3	
2016	B1		D30	52	Sílex	BP		94	86		154				20	16	4	
2016	B1		D30	53	Carbó			92	97		150							
2016	B1		D30	54	Sílex	BP		83	95		148	q	w		31	28	10	Hcl. Crema
2016	B1		D30	55	Os	Llarg	Macro	62	94		154				22	12	8	
2016	B1		D30	56	Esquist	Frag		56	93		151	nwse	p		54	32	9	
2016	B1		D30	57	Sílex	BNC	G21	47	97		150	ns	p		37	30	12	Hcl
2016	B1		D30	58	Os	Llarg	Macro	43	93		153	ew	n		46	20	8	
2016	B1		D30	59	Os	Mandíbula	O. cuniculus	10	88		158	ew	n		28	16	5	
2016	B1		D30	60	Os	Escàpula	Lepo	82	84		157	ns	s		25	5	1	
2016	B1		D30	61	Sílex	BP		70	58		163	ew	vh		32	18	3	
2016	B1		D30	62	Sílex	BP		59	43		164	q	e		40	40	11	Hcl. Crema
2016	B1		D30	63	Os	Calcani	Lepo	71	31		165				22	6	6	
2016	B1		D30	64	Os	Tíbia	Lepo	79	19		164	ns	p		22	7	2	
2016	B1		D30	65	Os	Calcani	Lepo	91	8		162				22	9	6	
2016	B1		D30	66	Sílex	BP		86	6		162				15	10	7	
2016	B1		D30	67	Os	Fèmur	Lepo	58	5		165	nwse	vh		20	7	3	
2016	B1		D30	68	Sílex	FBP		52	28		164	nwse	ne		30	22	7	Crema
2016	B1		D30	69	Esquist	Frag		47	32		164	nesw	p		43	22	15	
2016	B1		D30	70	Os	Articular	Macro	36	45		162	nwse	p		15	10	7	
2016	B1		D30	71	Sílex	FBP		5	23		164	ew	p		30	10	6	
2016	B1		D30	72	Esquist	Frag		46	43		164	nwse	p		35	20	7	
2016	B1		D30	73	Sílex	BNC	Sind	55	1		166				23	23	12	Hcl
2016	B1		D30	74	Carbó			51	9		164							
2016	B1		D30	75	Os	Tíbia	Lepo	48	9		164				26	6	3	
2016	B1		D30	76	Os	Fèmur	Lepo	46	8		164				28	6	3	
2016	B1		D30	77	Os	Mandíbula	O. cuniculus	39	14		164				26	15	5	

2016	B1		D30	78	Os	Maxil·lar	O. cuniculus	10	93		155	q	p	20	20	12	
2016	B1		D30	79	Os	Tíbia	Lepo	24	94		152	nwse	nw	28	14	5	
2016	B1		D30	80	Os	Fèmur	Lepo	25	21		153			26	6	3	
2016	B1		D30	81	Dent	Caní	Lynx sp.	28	97		152	nwse	nw	36	10	7	
2016	B1		D30	82	Os	Tíbia	Lepo	39	93		153			54	11	7	Coordenades aproximades
2016	B1		D30	83	Sílex	FBP		3	96		154	ew	p	30	20	4	Cremat
2016	B1		D30	84	Os	Calcàni	Lepo	26	93		157			32	10	7	
2016	B1		D30	85	Sílex	BP		35	87		158	ns	ne	33	23	5	
2016	B1		D30	86	Os	Húmer	O. cuniculus	52	96		151			30	11	5	
2016	B1		D30	87	Os	Fèmur	Lepo	51	93		155			21	8	3	
2016	B1		D30	88	Sílex	FBP		83	90		157			32	23	12	Sediment carbonatat
2016	B1		D30	89	Calcària	Frag		52	87		157	ns	p	35	23	10	Sediment carbonatat
2016	B1		D30	90	Os	Costella	Macro	60	72		160	ns	s	41	7	4	
2016	B1		D30	91	Os	Tíbia	O. cuniculus	58	69		161	nesw	p	32	6	5	
2016	B1		D30	92	Sílex	BP		56	51		164	ns	e	24	18	4	
2016	B1		D30	93	Sílex	FBP		73	12		165	ew	w	25	17	6	
2016	B1		D30	94	Os	Mandíbula	O. cuniculus	95	67		159	ew	w	38	17	6	Sediment carbonatat
2016	B1		D30	95	Os	Tíbia	O. cuniculus	75	95		157	ns	p	25	5	3	
2016	B1		D30	96	Os	Tmt	Phasianidae	73	20		165	ew	w	26	5	4	
2016	B1		D30	97	Os	Fèmur	Lepo	98	49		161	nesw	p	31	5	4	
2016	B1		D30	98	Calcària	Frag		96	44		162	q	p	18	18	3	
2016	B1		D30	99	Os	Falange	C. pyrenaica	98	32		163			23	12	12	
2016	B1		D30	100	Os	Tíbia	Lepo	93	31		163	ew	s	26	12	10	
2016	B1		D30	101	Os	Fèmur	Lepo	91	31		163	ew	e	40	7	3	
2016	B1		D30	102	Os	Tíbia	Lepo	95	17		163			24	5	3	
2016	B1		D30	103	Os	Mandíbula	Lepo	85	10		162			20	14	5	
2016	B1		D30	104	Os	Tíbia	Lepo	82	7		162	ew	p	35	6	5	
2016	B1		D30	105	Os	Maxil·lar	O. cuniculus	48	86		158	ew	p	20	6	4	
2016	B1		D30	106	Sílex	FBP		72	91		159	ew	vh	45	22	5	
2016	B1		D30	107	Sílex	FBP		93	22		164	nwse	nw	23	18	5	
2016	B1		D30	108	Sílex	BNC	R21	81	11		164	ew	p	55	46	11	
2016	B1		D30	109	Sílex	FBP		83	9		164	nesw	w	16	9	2	Cremat
2016	B1		D30	110	Os	Húmer	O. cuniculus	78	7		165	nwse	p	40	10	6	
2016	B1		D30	111	Os	Tibiotarsus	Aves	44	97		163	ew	p	45	7	5	
2016	B1		D30	112	Os	Maxil·lar	O. cuniculus	35	73		165			23	8	4	
2016	B1		D30	113	Os	Fèmur	Lepo	18	75		165	nwse	p	55	7	7	
2016	B1		D30	114	Os	Tíbia	Lepo	8	75		165	ew	w	22	7	2	
2016	B1		D30	115	Sílex	BNC	LD11	15	88		164	nwse	w	29	8	3	
2016	B1		D30	116	Sílex	FBP		18	86		164			20	9	4	
2016	B1		D30	117	Os	Falange	Lepo	19	87		164			14	4	3	
2016	B1		D30	118	Esquist	Frag		16	3		166	q	nw	36	34	3	
2016	B1		D30	119	Os	Costella	Macro	88	7		167	ns	n	65	18	5	
2016	B1		D30	120	Os	Maxil·lar	O. cuniculus	83	3		167			20	20	15	
2016	B1		D30	121	Os	Llarg	Macro	81	2		167	ns	n	30	7	3	
2016	B1		D30	122	Os	Tíbia	Lepo	67	19		167	nesw	p	34	5	2	
2016	B1		D30	123	Os	Llarg	Macro	51	39		165			20	6	4	
2016	B1		D30	124	Sílex	FBP		87	24		165	ew	e	20	7	3	Cremat
2016	B1		D30	125	Os	Llarg	Macro	96	87		160			35	6	4	Sediment carbonatat
2016	B1		D30	126	Os	Fèmur	Lepo	88	83		160	nesw	p	46	8	5	Sediment carbonatat
2016	B1		D30	127	Os	Tíbia	Macro	72	75		161			29	12	5	
2016	B1		D30	128	Os	Tíbia	Lepo	69	73		162	nesw	p	25	6	2	Cremat
2016	B1		D30	129	Os	Fèmur	Lepo	80	52		164	nesw	s	42	9	6	

2016	B1		D30	130	Sílex	FBP		70	25		165				16	11	3	
2016	B1		D30	131	Os	Escàpula	Lepo	73	15		166				20	12	8	
2016	B1		D30	132	Os	Pla	Macro	85	13		166	nwse	p		35	15	6	Cremat
2016	B1		D30	133	Os	Pla	Macro	90	14		166	nwse	p		30	17	4	Cremat
2016	B1		D30	134	Sílex	FBP		61	4		167				16	16	3	
2016	B1		D30	135	Sílex	BP		88	0		168				17	10	3	
2016	B1		D30	136	Sílex	BNC	G11	73	52		164	nwse	se		25	20	9	Cremat
2016	B1		D30	137	Sílex	FBP		34	2		165				20	10	6	
2016	B1		D30	138	Os	Tíbia	Lepo	38	3		166	ns	s		50	10	8	
2016	B1		D30	139	Sílex	BPF		48	2		166	ew	w		22	16	4	
2016	B1		D30	140	Os	Costella	Lepo	56	4		167				25	4	1	
2016	B1		D30	141	Os	Costella	Lepo	58	5		168				12	8	2	
2016	B1		D30	142	Os	Llarg	Lepo	59	5		168				20	5	3	
2016	B1		D30	143	Os	Radi	Lepo	59	6		168				18	5	4	
2016	B1		D30	144	Os	Asta	Macro	63	28		166	ew	p		26	8	3	Polit?
2016	B1		D30	145	Carbó			44	19		166							
2016	B1		D30	146	Os	Tíbia	Lepo	36	16		165	nwse	p		20	4	2	
2016	B1		D30	147	Os	Fèmur	Lepo	37	35		164	nwse	se		20	8	5	
2016	B1		D30	148	Os	Tíbia	Lepo	12	10		165	ns	p		28	8	2	
2016	B1		D30	149	Os	Escàpula	Lepo	2	12		165	nesw	p		22	5	2	
2016	B1		D30	150	Sílex	FBP		7	21		165	q	w		13	12	5	Cremat
2016	B1		D30	151	Sílex	BP		16	2		166	nwse	vh		20	11	2	
2016	B1		D30	152	Sílex	RT		22	1		167				15	11	3	Cremat
2016	B1		D30	153	Os	Tíbia	Lepo	33	0		167				25	8	5	
2016	B1		D30	154	Os	Escàpula	C. pyrenaica	34	3		167	ew	p		55	35	6	Possible remontatge amb 155 i 164
2016	B1		D30	155	Os	Escàpula	C. pyrenaica	35	6		167	ew	vh		36	13	6	Possible remontatge amb 154 i 164
2016	B1		D30	156	Sílex	RT		36	4		166				10	4	1	
2016	B1		D30	157	Sílex	FBP		37	4		167	ew	sw		28	16	4	Cremat
2016	B1		D30	158	Os	Crani	Lepo	58	4		168				18	15	5	
2016	B1		D30	159	Carbó			39	18		166							
2016	B1		D30	160	Calcària	FBP		7	7		168	ew	s		25	18	6	
2016	B1		D30	161	Os	Tíbia	Lepo	12	4		168	ew	p		32	5	2	
2016	B1		D30	162	Quars	Frag.Nat.		24	9		167				20	16	9	
2016	B1		D30	163	Sílex	BP		25	12		168	ew	vh		30	22	10	Cremat
2016	B1		D30	164	Os	Escàpula	C. pyrenaica	31	8		168	ew	w		98	40	20	Consolidat. Remontatge amb 154 i 155
2016	B1		D30	165	Os	Mandíbula	O. cuniculus	28	12		168				30	12	6	
2016	B1		D30	166	Os	Esternon	Aves	31	18		168				22	12	6	
2016	B1		D30	167	Os	Fèmur	Lepo	35	12		168				22	11	5	
2016	B1		D30	168	Ocre			59	11		168							
2016	B1		D30	169	Sílex	FBP		61	2		169	ns	p		30	22	15	
2016	B1		D30	170	Os	Pla	Macro	45	24		167	ns	p		21	15	5	
2016	B1		D30	171	Os	Esternon	Indet				155-160				25	20	7	Trobat al rentat
2016	B1		D30	172	Os	Costella	Indet				170-175				37	17	7	Trobat al rentat
2016	B1		D31	1	Os	Costella	Lepo	84	3		157				20	3	1	
2016	B1		D31	2	Esquist	Frag		88	7		158	nwse	p		40	28	7	
2016	B1		D31	3	Sílex	BP		83	7		158	nwse	p		32	18	5	
2016	B1		D31	4	Os	Llarg	Macro	65	5		160				37	5	3	Coordenades aproximades
2016	B1		D31	5	Os	Mandíbula	O. cuniculus	90	1		158	ns	p		44	21	5	
2016	B1		D31	6	Sílex	BP		92	28		156	ew	w		32	19	3	Cremat
2016	B1		D31	7	Gres	Bloc		9	29	153	159	ew	p		110	100	50	
2016	B1		D31	8	Os	Pla	Macro	12	50		156				40	25	5	Coordenades aproximades
2016	B1		D31	9	Os	Vèrtebra	Macro	21	46		156				52	45	27	Coordenades aproximades

2016	B1		D31	10	Sílex	BPF		40	56		153			15	10	5	Creemat
2016	B1		D31	11	Sílex	BNC	PD25	52	74		152	ew	p	26	8	3	Creemat
2016	B1		D31	12	Sílex	BNC	D23	47	18		160	nesw	p	55	40	9	Hcl
2016	B1		D31	13	Sílex	FBP		67	18		158			18	4	3	Coordenades aproximades
2016	B1		D31	14	Os	Calcàni	Lepo	1	60		158	ew	p	26	11	7	
2016	B1		D31	15	Os	Falange	C. elaphus	1	54		159	ew	p	23	15	7	
2016	B1		D31	16	Os	Tíbia	Lepo	11	20		159	nesw	p	27	6	5	
2016	B1		D31	17	Calcària	Frag.Nat.		0	33		159	q	p	24	22	5	Creemat
2016	B1		D31	18	Os	Calcàni	Lepo	63	24		158	nwse	se	22	12	4	Creemat
2016	B1		D31	19	Calcària	BPF		60	23		158	nesw	p	17	12	2	
2016	B1		D31	20	Sílex	BNC	G11	59	12		159	nesw	p	25	10	3	Hcl. Creemat
2016	B1		D31	21	Sílex	FBP		33	21		160	nesw	ne	20	18	9	
2016	B1		D31	22	Os	Fèmur	Lepo	10	25		159	nwse	p	23	5	3	
2016	B1		D31	23	Os	Pla	Lepo	60	34		157	nwse	p	17	4	1	
2016	B1		D31	24	Os	Húmer	Lepo	65	61		153	nwse	nw	20	4	2	Creemat
2016	B1		D31	25	Sílex	FBP		5	69		155	q	p	24	24	3	
2016	B1		D31	26	Sílex	BNC	G12	55	27		160	ns	p	22	14	4	Hcl
2016	B1		D31	27	Os	Mandíbula	Lepo	23	26		159	ew	p	20	5	3	
2016	B1		D31	28	Os	Radi	O. cuniculus	21	22		159	nwse	p	22	6	3	
2016	B1		D31	29	Os	Llarg	Macro	12	24		160	ns	p	22	12	4	
2016	B1		D31	30	Os	Llarg	Macro	14	36		159	ns	p	34	10	3	
2016	B1		D31	31	Os	Húmer	Lepo	0	25		161			25	6	6	
2016	B1		D31	32	Sílex	BNC	P11	79	21		158	nesw	p	47	26	11	Hcl
2016	B1		D31	33	Sílex	FBP		35	37		156	nesw	p	19	11	4	
2016	B1		D31	34	Sílex	FBP		91	63		153			21	4	3	
2016	B1		D31	35	Sílex	BNC	G22	7	56		154	ew	se	19	10	2	Hcl
2016	B1		D31	36	Sílex	BP		25	9		159	nwse	se	40	21	14	
2016	B1		D31	37	Sílex	BP		42	24		159			26	9	3	Coordenades aproximades
2016	B1		D31	38	Sílex	FBP		60	44		155	ns	p	15	10	1	Creemat
2016	B1		D31	39	Calcària	Frag.Nat.		69	42		157	nwse	p	37	19	9	
2016	B1		D31	40	Os	Fèmur	Lepo	33	58		154	ns	vh	26	5	4	
2016	B1		D31	41	Sílex	BP		41	47		156	ew	ne	17	15	2	
2016	B1		D31	42	Sílex	BPF		42	45		156	nesw	p	23	18	2	
2016	B1		D31	43	Calcària	Frag.Nat.		49	55		155	ew	w	19	9	2	
2016	B1		D31	44	Sílex	BP		52	49		155	nesw	ne	29	15	3	
2016	B1		D31	45	Os	Mandíbula	O. cuniculus	41	52		155	q	p	20	17	5	
2016	B1		D31	46	Os	Costella	Macro	57	45		157	nwse	nw	47	9	5	
2016	B1		D31	47	Sílex	FBP		48	35		158			20	17	8	Coordenades aproximades
2016	B1		D31	48	Sílex	BP		53	65		156	ns	vh	53	36	22	Hcl
2016	B1		D31	49	Os	Tíbia	Lepo	58	23		161	nwse	nw	51	7	4	Creemat
2016	B1		D31	50	Os	Metatars	Lepo	17	38		159	ns	p	19	5	2	
2016	B1		D31	51	Os	Coxal	Lepo	43	9		161	nesw	sw	41	8	7	
2016	B1		D31	52	Sílex	BPF		27	40		159	nwse	vh	18	16	2	
2016	B1		D31	53	Sílex	FBP		40	48		156	nwse	se	23	20	7	
2016	B1		D31	54	Os	Falange	Aves	6	11		160			11	3	2	Coordenades aproximades
2016	B1		D31	55	Os	Mandíbula	O. cuniculus	30	5		162	nwse	sw	15	7	3	Fragmentat
2016	B1		D31	56	Os	Mandíbula	Lepo	44	33		159			26	13	4	
2016	B1		D31	57	Sílex	BPF		14	15		161	nwse	p	49	25	5	
2016	B1		D31	58	Os	Tíbia	Lepo	30	34		160	nesw	p	70	9	7	
2016	B1		D31	59	Os	Tíbia	Lepo	25	18		162	ew	p	26	7	3	
2016	B1		D31	60	Os	Llarg	Macro	28	1		162	ns	n	27	10	4	
2016	B1		D31	61	Sílex	BNC	G22	55	2		162	ew	sw	31	20	5	Creemat

2016	B1		D31	62	Sílex	BPF		76	25		159	ew	sw	31	15	4	Cremat
2016	B1		D31	63	Os	Mandíbula	Lepo	70	14		160	ew	p	27	25	5	
2016	B1		D31	64	Os	Mandíbula	O. cuniculus	90	7		159	ew	sw	47	22	6	
2016	B1		D31	65	Sílex	FBP		61	14		161			18	16	4	
2016	B1		D31	66	Sílex	FBP		62	15		161	q	p	18	17	6	
2016	B1		D31	67	Sílex	BP		81	12		160	ew	s	30	25	6	Cremat
2016	B1		D31	68	Sílex	FBP		75	35		157	nesw	sw	21	11	5	Cremat
2016	B1		D31	69	Os	Tíbia	Lepo	89	57		154	nwse	p	30	5	2	
2016	B1		D31	70	Calcària	Frag.Nat.		90	11		159	nwse	p	40	31	20	
2016	B1		D31	71	Sílex	BP		95	2		160	ew	vh	29	11	4	
2016	B1		D31	72	Sílex	BNC	G11	88	30		159	q	p	20	19	4	Hcl. Cremat
2016	B1		D31	73	Esquist	Bn		66	39	152	163	nesw	sw	160	125	110	
2016	B1		D31	74	Sílex	BPF		76	21		160			19	9	2	Coordenades aproximades
2016	B1		D31	75	Sílex	FBP		53	35		160			22	5	2	Coordenades aproximades
2016	B1		D31	76	Os	Radi	Lepo	67	40		162			34	5	2	Coordenades aproximades
2016	B1		D31	77	Sílex	BP		76	36		159	ew	p	18	16	6	
2016	B1		D31	78	Sílex	FBP		82	55		157	ns	s	35	20	3	
2016	B1		D31	79	Os	Tíbia	Lepo	70	61		156	nwse	nw	23	4	1	Cremat
2016	B1		D31	80	Os	Mandíbula	B. primigenius	51	63		156	ew	s	52	35	17	
2016	B1		D31	81	Os	Maxil·lar	Lepo	7	35		160	q	s	19	12	7	
2016	B1		D31	82	Sílex	BP		13	42		161	nwse	vh	42	35	11	
2016	B1		D31	83	Carbó			9	52		158						
2016	B1		D31	84	Sílex	FBP		13	55		157	ew	p	30	8	2	
2016	B1		D31	85	Os	Tíbia	Lepo	42	59		156	nwse	se	32	6	3	
2016	B1		D31	86	Os	Metatars	Lepo	47	60		156	nwse	se	35	5	3	
2016	B1		D31	87	Os	Maxil·lar	O. cuniculus	67	22		161			20	6	4	
2016	B1		D31	88	Sílex	FBP		9	52		160	nwse	se	29	22	3	
2016	B1		D31	89	Carbó			7	56		159						
2016	B1		D31	90	Sílex	BP		53	38		160			23	9	1	Coordenades aproximades
2016	B1		D31	91	Os	Tíbia	Lepo	32	47		159	ns		30	5	3	
2016	B1		D31	92	Sílex	BP		32	68		156	ew		72	35	16	
2016	B1		D31	93	Sílex	FBP		6	31		162	nesw	p	29	13	2	
2016	B1		D31	94	Carbó			32	32		162						
2016	B1		D31	95	Os	Maxil·lar	O. cuniculus	32	34		162			20	16	11	Coordenades aproximades
2016	B1		D31	96	Os	Pla	Macro	76	45		159			16	12	6	Coordenades aproximades
2016	B1		D31	97	Sediment	Mostra		40	70	152	159						Sediment carbonatat
2016	B1		D31	98	Os	Húmer	O. cuniculus	1	78		155	nesw	sw	33	6	4	
2016	B1		D31	99	Os	Tíbia	Lepo	8	68		156			20	5	3	
2016	B1		D31	100	Os	Ulna	Phasianidae	13	50		160			25	5	3	
2016	B1		D31	101	Os	Tibiotarsus	Aves	31	60		158	ew	p	26	5	3	
2016	B1		D31	102	Sílex	FBP		53	68		156	nesw	sw	36	19	3	
2016	B1		D31	103	Sílex	BNC	D23	98	40		157	ns	s	50	27	11	Cremat
2016	B1		D31	104	Os	Coxal	O. cuniculus	8	75		155	ns	s	13	10	9	
2016	B1		D31	105	Sílex	BP		29	55		159	ew	sw	20	13	2	
2016	B1		D31	106	Sílex	BPF		33	37		162	ew	se	40	26	7	Cremat
2016	B1		D31	107	Calcària	Frag.Nat.		32	42		162	nesw	ne	52	21	18	Cremat
2016	B1		D31	108	Os	Metatars	Lepo	38	31		162			20	3	2	
2016	B1		D31	109	Os	Vèrtebra	Macro	42	21		164	q	v	22	19	16	
2016	B1		D31	110	Os	Coxal	Lepo	58	79		155			17	12	5	
2016	B1		D31	111	Os	Llarg	Macro	72	67		157	ns	s	56	9	4	
2016	B1		D31	112	Sílex	BP		66	55		158	nesw	p	10	8	5	
2016	B1		D31	113	Sílex	FBP		72	17		161	ew	p	33	19	6	Cremat

2016	B1		D31	114	Sílex	FBP		48	87		153	nwse	ne	32	16	4	
2016	B1		D31	115	Os	Tmt		4	85		156			25	5	4	Sediment carbonatat
2016	B1		D31	116	Os	Tmt	Phasianidae	16	67		158			32	7	5	Sediment carbonatat
2016	B1		D31	117	Os	Ulna	O. cuniculus	22	48		160			40	5	2	Fragmentat
2016	B1		D31	118	Os	Coxal	Lepo	40	44		160			19	10	5	
2016	B1		D31	119	Os	Metacarp	Lepo	76	83		157			10	4	3	
2016	B1		D31	120	Os	Fémur	Lepo	96	77		154			20	7	4	
2016	B1		D31	121	Os	Mandíbula	O. cuniculus	26	54		160			40	17	10	
2016	B1		D31	122	Sílex	BPF		3	79		160	nesw	p	23	20	11	Sediment carbonatat
2016	B1		D31	123	Carbó			4	86		157						Sediment carbonatat
2016	B1		D31	124	Carbó			17	68		161						Sediment carbonatat
2016	B1		D31	125	Sílex	Frag.Nat.		24	85		157	nwse	se	50	35	30	Sediment carbonatat
2016	B1		D31	126	Sílex	BPF		32	91		157			35	15	8	Cremat
2016	B1		D31	127	Sílex	BP		46	61		157			19	13	9	Cremat
2016	B1		D31	128	Os	Tíbia	Lepo	51	86		158	nesw	p	60	15	10	
2016	B1		D31	129	Sílex	BPF		26	77		160	ns	p	26	22	7	Sediment carbonatat
2016	B1		D31	130	Esquist	Frag		7	72		160	ns	n	80	55	22	Sediment carbonatat
2016	B1		D31	131	Sílex	FBP		42	80		159	ns	p	27	17	4	Cremat
2016	B1		D31	132	Os	Metacarp	Lepo	63	78		158	nesw	p	16	4	2	
2016	B1		D31	133	Os	Ulna	O. cuniculus	63	75		158	nesw	sw	34	5	4	
2016	B1		D31	134	Os	Metatars	Lepo	72	88		157	ew	w	24	5	4	
2016	B1		D31	135	Calcària	Frag.Nat.		85	61		157	ns	p	32	25	20	
2016	B1		D31	136	Sílex	BPF		45	72		159	ew	s	19	12	4	
2016	B1		D31	137	Os	Crani	Lepo	56	82		160	ew	w	26	14	7	
2016	B1		D31	138	Sílex	BNC	G12	73	77		158	nwse	p	58	30	15	
2016	B1		D31	139	Sílex	FBP		99	77		158	ew	p	20	16	7	Cremat
2016	B1		D31	140	Calcària	Frag.Nat.		99	70		158	ns	p	35	25	16	
2016	B1		D31	141	Os	Radi-ulna	O. cuniculus	99	68		157	ns	p	54	10	7	
2016	B1		D31	142	Sílex	BP		97	50		156	ew	e	22	15	15	Cremat
2016	B1		D31	143	Calcària	Bloc		95	46		156	nesw	sw	114	80	40	Cremat
2016	B1		D31	144	Sílex	RT		2	13		164			12	8	1	
2016	B1		D31	145	Sílex	BP		3	11		163			13	11	3	
2016	B1		D31	146	Sílex	BNP		98	40		157	nesw	v	55	40	30	Hcl. Cremat
2016	B1		D31	147	Os	Metatars	Lepo	97	48		157	nesw	p	21	5	4	
2016	B1		D31	148	Os	Tíbia	Lepo	37	93		159	ns	n	25	7	6	
2016	B1		D31	149	Os	Coxal	Lepo	5	11		165	ns	p	40	11	10	
2016	B1		D31	150	Os	Tíbia	Lepo	15	12		166	nesw	p	37	7	5	
2016	B1		D31	151	Os	Húmer	Lepo	12	46		163			22	5	4	
2016	B1		D31	152	Os	Tíbia	Lepo	84	50		160	nwse	sw	80	11	7	
2016	B1		D31	153	Ocre			99	57		158						
2016	B1		D31	154	Esquist	Bloc		19	82	155	159	ns	s	100	90	15	Sediment carbonatat
2016	B1		D31	155	Esquist	Bloc		40	69	155	158	ns	s	150	100	25	Sediment carbonatat
2016	B1		D31	156	Sílex	BNC	A2	48	90		159	ew	s	24	19	7	Sediment carbonatat. Hcl
2016	B1		D31	157	Os	Mandíbula	Lepo	25	77		160	ew	p	20	10	4	Sediment carbonatat
2016	B1		D31	158	Ocre			23	86		160						Sediment carbonatat
2016	B1		D31	159	Sílex	Frag.Nat.		34	58		161	nwse	se	25	20	17	Cremat
2016	B1		D31	160	Sílex	BP		24	30		163	nesw	p	27	18	6	
2016	B1		D31	161	Sílex	BNC	D23	46	29		163	ns	p	42	18	6	Cremat
2016	B1		D31	162	Os	Coxal	O. cuniculus	49	23		164	nesw	p	75	16	10	
2016	B1		D31	163	Os	Coxal	Lepo	75	23		161	ns	p	31	14	5	
2016	B1		D31	164	Carbó			31	65		160						
2016	B1		D31	165	Os	Metacarp	Lepo	85	79		158	ew	p	21	3	2	

2016	B1		D31	166	Esquist	Frag.Nat.		39	30		165	ew	s	29	15	9	
2016	B1		D31	167	Os	Costella	Lepo	56	32		164	nwse	p	20	3	2	
2016	B1		D31	168	Sílex	BNC	G11				155-160			19	16	4	Trobat al rentat. Cremat
2016	B1		D31	169	Sílex	BNC	G22				155-160			22	18	8	Trobat al rentat. Cremat
2016	B1		D31	170	Os	Falange	C. elaphus				155-160			37	20	11	Trobat al rentat
2016	B1		D31	171	Os	Vèrtebra	Indet				155-160			19	17	11	Trobat al rentat
2016	B1		D31	172	Sílex	BNC	LD21				160-165			16	4	2	Trobat al rentat. Cremat
2016	B1		D31	173	Sílex	BNC	LD21				155-160			13	4	2	Trobat al rentat. Cremat
2016	B1		D31	174	Sílex	BNC	LD21				155-160			13	6	3	Trobat al rentat. Cremat
2016	B1		D31	175	Sílex	BNC	PD23				155-160			12	4	2	Trobat al rentat
2016	B1		D31	176	Sílex	BP					155-160			26	10	3	Trobat al rentat
2016	B1		D31	177	Sílex	BP					155-160			21	7	2	Trobat al rentat
2016	B1		D31	178	Sílex	FBP					155-160			18	10	3	Trobat al rentat
2016	B1		D31	179	Sílex	FBP					155-160			13	5	1	Trobat al rentat
2016	B1		D32	1	Os	Fèmur	Lepo	4	20		154			15	7	6	Cremat
2016	B1		D32	2	Os	Llarg	Macro	10	27		153	nwse	p	27	20	4	
2016	B1		D32	3	Sílex	BP		12	22		153	ns	p	20	6	3	
2016	B1		D32	4	Os	Ulna	O. cuniculus	36	13		153	ns	p	48	8	4	
2016	B1		D32	5	Sílex	BNC	G11	34	33		152	nesw	sw	31	25	12	
2016	B1		D32	6	Sílex	FBP		43	18		152	nesw	sw	25	16	4	Cremat
2016	B1		D32	7	Sílex	FBP		51	11		151			20	15	3	Cremat
2016	B1		D32	8	Sílex	BNC	D13	47	4		152	nwse	nw	31	23	10	
2016	B1		D32	9	Os	Mandíbula	O. cuniculus	30	35		151			20	15	4	
2016	B1		D32	10	Os	Fèmur	Lepo	40	32		152	nwse	p	52	8	7	
2016	B1		D32	11	Calcària	Frag.Nat.		10	30		153	nwse	sw	22	12	7	
2016	B1		D32	12	Os	Húmer	O. cuniculus	48	12		152	q	se	12	10	6	
2016	B1		D32	13	Os	Maxil·lar	O. cuniculus	62	8		150	ns	p	30	15	14	
2016	B1		D32	14	Os	Costella	Carnivora	58	30		150	nesw	p	17	7	2	
2016	B1		D32	15	Os	Ulna	O. cuniculus	75	11		149			26	8	3	Coordenades aproximades
2016	B1		D32	16	Os	Coxal	O. cuniculus	77	20		147	nesw	p	27	10	10	
2016	B1		D32	17	Sílex	RT		80	23		149	nesw	nw	11	10	2	
2016	B1		D32	18	Os	Radi	O. cuniculus	92	21		148	nwse	se	22	5	4	
2016	B1		D32	19	Sílex	RT		98	20		147			12	11	2	Coordenades aproximades
2016	B1		D32	20	Sílex	BPF		75	3		150	nesw	p	22	14	4	
2016	B1		D32	21	Sílex	BP		75	10		149	nwse	se	40	12	5	
2016	B1		D32	22	Sílex	BP		77	15		149	nwse	nw	36	20	6	Cremat
2016	B1		D32	23	Sílex	BPF		78	22		148	nesw	sw	37	17	6	Cremat
2016	B1		D32	24	Os	Maxil·lar	O. cuniculus	70	40		148	nwse	p	33	22	14	
2016	B1		D32	25	Os	Tíbia	Lepo	96	25		150	nesw	p	70	7	7	
2016	B1		D32	26	Os	Tíbia	Lepo	73	11		150	nesw	ne	37	8	4	Cremat
2016	B1		D32	27	Os	Mandíbula	O. cuniculus	6	22		154	ew	p	21	16	3	
2016	B1		D32	28	Sílex	FBP		27	43		152			25	12	6	Coordenades aproximades. Cremat
2016	B1		D32	29	Os	Fèmur	Lepo	52	34		151	nwse	se	40	7	7	
2016	B1		D32	30	Sílex	BP		78	25		151	ns	n	22	16	6	Cremat
2016	B1		D32	31	Sílex	FBP		96	28		152	ns	w	22	15	5	
2016	B1		D32	32	Sílex	FBP		88	17		151	nesw	p	24	12	6	
2016	B1		D32	33	Sílex	FBP		64	2		152	ew	p	17	11	2	
2016	B1		D32	34	Os	Llarg	Macro	64	38		150			30	16	5	Coordenades aproximades
2016	B1		D32	35	Os	Húmer	O. cuniculus	10	59		153			11	9	6	Coordenades aproximades
2016	B1		D32	36	Os	Tíbia	Lepo	3	69		153	nwse	p	26	8	2	
2016	B1		D32	37	Sílex	FBP		15	76		152	nesw	p	38	32	22	Hcl
2016	B1		D32	38	Sílex	BP		48	78		149	ns	s	49	22	12	

2016	B1		D32	39	Sílex	BNC	LD21	37	56		152	nesw	p	22	7	3	
2016	B1		D32	40	Sílex	FBP		30	49		152	nwse	se	43	30	7	
2016	B1		D32	41	Sílex	BNC	G11	71	67		148	ns	s	50	36	15	
2016	B1		D32	42	Esquist	Frag		18	77		153	ns	s	73	43	8	
2016	B1		D32	43	Os	Llarg	Macro	39	51		148	ew	s	72	18	10	
2016	B1		D32	44	Os	Mandíbula	O. cuniculus	50	70		150	ns	s	35	15	4	
2016	B1		D32	45	Os	Ulna	O. cuniculus	49	68		150			19	7	3	
2016	B1		D32	46	Os	Mandíbula	O. cuniculus	65	55		150	nesw	sw	32	15	7	
2016	B1		D32	47	Sílex	BP		77	40		150	nesw	p	50	22	7	Crema
2016	B1		D32	48	Sílex	BPF		43	90		149	ns	s	42	23	10	
2016	B1		D32	49	Os	Tíbia	Lepo	73	50		149	nwse	p	35	9	7	
2016	B1		D32	50	Os	Fèmur	Lepo	82	75		148	nesw	ne	23	7	4	
2016	B1		D32	51	Os	Vèrtebra	Macro	71	80		148	nwse	p	27	16	11	
2016	B1		D32	52	Os	Llarg	Macro	75	85		148	ns	p	34	7	3	
2016	B1		D32	53	Sílex	BP		80	87		148			15	10	2	
2016	B1		D32	54	Calcària	Bloc		92	83	137	147	nwse	se	120	90	75	
2016	B1		D32	55	Sílex	FBP		83	47		148	ew	e	24	10	3	
2016	B1		D32	56	Os	Tíbia	Lepo	85	47		148	ns	p	47	7	6	
2016	B1		D32	57	Os	Escàpula	O. cuniculus	34	83		148	nesw	sw	22	10	7	
2016	B1		D32	58	Sílex	BPF		39	87		148	nwse	w	22	17	2	
2016	B1		D32	59	Sílex	BNC	G11	36	94		146	ns	p	35	17	5	Hcl
2016	B1		D32	60	Sílex	BNC	Bc1	28	90		148	nwse	ne	40	28	11	
2016	B1		D32	61	Calcària	BNP		50	94		150	nesw	p	48	33	25	
2016	B1		D32	62	Os	Mandíbula	O. cuniculus	2	21		155	nwse	se	27	12	4	Crema
2016	B1		D32	63	Sílex	FBP		4	20		155			15	10	2	
2016	B1		D32	64	Os	Radi	Lepo	18	25		154	nesw	p	18	5	2	
2016	B1		D32	65	Sílex	FBP		30	19		154	ns	vh	18	12	2	
2016	B1		D32	66	Sílex	FBP		30	13		154	ns	v	12	11	6	
2016	B1		D32	67	Sílex	FBP		17	13		154	ns	p	15	10	2	
2016	B1		D32	68	Os	Escàpula	O. cuniculus	14	10		156			15	8	6	Coordenades aproximades
2016	B1		D32	69	Os	Escàpula	O. cuniculus	15	7		156			17	9	6	Coordenades aproximades
2016	B1		D32	70	Sílex	BP		2	18		155	ns	vh	44	19	5	
2016	B1		D32	71	Os	Escàpula	O. cuniculus	19	1		155			18	10	6	
2016	B1		D32	72	Sílex	BP		25	22		155			15	11	2	Coordenades aproximades
2016	B1		D32	73	Os	Falange	Lepo	23	18		156			15	4	3	Crema
2016	B1		D32	74	Malaco			44	17		154	nesw	se	23	20	15	
2016	B1		D32	75	Os	Fèmur	Lepo	51	16		152	ns	p	22	6	4	
2016	B1		D32	76	Sílex	BP		58	3		154	nwse	ne	31	27	9	
2016	B1		D32	77	Sílex	FBP		62	5		153	nwse	nw	17	11	2	Crema
2016	B1		D32	78	Os	Mandíbula	O. cuniculus	71	2		152	nwse	se	28	13	3	
2016	B1		D32	79	Sílex	FBP		74	6		154	ns	w	30	13	7	
2016	B1		D32	80	Sílex	BPF		10	10		157	ew	n	21	17	5	
2016	B1		D32	81	Sílex	FBP		17	6		157	nesw	sw	17	12	2	
2016	B1		D32	82	Sílex	FBP		21	10		159	ew	n	41	33	10	
2016	B1		D32	83	Os	Falange	Lepo	33	7		158			8	3	2	Coordenades aproximades
2016	B1		D32	84	Os	Fèmur	Lepo	42	6		157	nwse	se	38	5	5	
2016	B1		D32	85	Os	Calcani	Lepo	5	37		158	nesw	sw	23	9	6	
2016	B1		D32	86	Sílex	BPF		33	7		158	ew	vh	35	12	5	Crema
2016	B1		D32	87	Esquist	Bn		54	29		151	nwse	nw	80	70	15	
2016	B1		D32	88	Os	Mandíbula	O. cuniculus	63	9		155	nesw	sw	17	11	6	
2016	B1		D32	89	Sílex	BP		70	7		154	nesw	se	45	18	7	
2016	B1		D32	90	Sílex	FBP		71	35		150	nwse	se	18	9	2	Crema

2016	B1		D32	91	Esquist	Bloc		71	30		153	nwse	se	64	55	13	
2016	B1		D32	92	Os	Tíbia	Lepo	16	25		156	nesw	sw	39	8	7	
2016	B1		D32	93	Sílex	BP		67	29		156	ew	e	31	17	6	CreMAT
2016	B1		D32	94	Calcària	Frag.Nat.		73	35		152			20	16	5	Coordenades aproximades
2016	B1		D32	95	Sílex	BP		70	39		152			17	12	5	Coordenades aproximades
2016	B1		D32	96	Calcària	Bloc		64	2		153	nwse	se	60	40	25	
2016	B1		D32	97	Os	Fèmur	Lepo	72	15		154	nwse	p	28	8	4	
2016	B1		D32	98	Granit			76	22	148	153	nesw	se	120	105	40	
2016	B1		D32	99	Calcària	Bn		84	31		150	q	n	60	60	25	
2016	B1		D32	100	Sílex	Frag.Nat.		70	23		153	nwse	p	22	20	7	
2016	B1		D32	101	Os	Crani	Macro	82	18		153	q	p	22	20	10	
2016	B1		D32	102	Os	Metatars	Lepo	82	26		153			23	5	3	Coordenades aproximades
2016	B1		D32	103	Os	Tibiotarsus	Lepo	90	44		152	nesw	sw	32	4	4	CreMAT
2016	B1		D32	104	Sílex	BP		93	38		150	nesw	p	30	19	3	CreMAT
2016	B1		D32	105	Sílex	FBP		67	36		152	nwse	ne	15	12	2	
2016	B1		D32	106	Sílex	FBP		74	39		151	nesw	p	25	15	4	
2016	B1		D32	107	Os	Llarg	Macro	80	48		150	nwse	p	20	7	3	
2016	B1		D32	108	Os	Tibiotarsus	Aves	83	79		150			31	5	4	
2016	B1		D32	109	Os	Escàpula	O. cuniculus	72	76		150	ns	s	30	13	8	
2016	B1		D32	110	Os	Tíbia	Lepo	80	85		150	ns	s	75	6	5	
2016	B1		D32	111	Sílex	FBP		85	85		150			12	12	5	Coordenades aproximades
2016	B1		D32	112	Os	Coxal	O. cuniculus	95	76		150	ew	w	27	15	10	
2016	B1		D32	113	Sílex	BP		85	76		150	ew	sw	32	20	8	CreMAT
2016	B1		D32	114	Os	Escàpula	O. cuniculus	65	83		151	nesw	sw	55	30	10	
2016	B1		D32	115	Calcària	Frag.Nat.		66	85		150	q	sw	15	13	5	
2016	B1		D32	116	Sílex	FBP		53	52		151			21	15	2	
2016	B1		D32	117	Os	Crani	Lepo	51	55		151	q	p	20	15	2	
2016	B1		D32	118	Os	Tíbia	Lepo	46	64		151	nwse	p	67	10	7	
2016	B1		D32	119	Os	Fèmur	Lepo	50	70		151			20	7	5	
2016	B1		D32	120	Calcària	Frag.Nat.		87	90		150	nesw	p	28	16	8	
2016	B1		D32	121	Sílex	BNC	Bc1	64	89		151	nesw	nw	35	27	9	Hcl
2016	B1		D32	122	Sílex	BPF		36	90		152	ns	s	34	19	11	Hcl
2016	B1		D32	123	Os	Húmer	Lepo	17	71		154	ns	n	25	4	4	
2016	B1		D32	124	Calcària	Frag		46	69	146	153	ew	vh	95	70	5	Fragmentat
2016	B1		D32	125	Sílex	FBP		46	60		151	ew	p	33	25	4	
2016	B1		D32	126	Os	Llarg	Macro	49	52		152	ns	p	34	8	4	Coordenades aproximades
2016	B1		D32	127	Carbó			20	52		153						
2016	B1		D32	128	Sílex	BP		17	51		154	nesw	se	40	20	10	CreMAT
2016	B1		D32	129	Sílex	FBP		14	51		155	nwse	nw	22	13	7	CreMAT
2016	B1		D32	130	Os	Tíbia	Lepo	65	22		154			30	7	6	
2016	B1		D32	131	Os	Mandíbula	O. cuniculus	63	10		154	nesw	sw	21	7	6	
2016	B1		D32	132	Os	Pla	Macro	64	8		154	ns	vh	32	14	3	
2016	B1		D32	133	Sílex	Frag.Nat.		73	19		153			15	8	3	Coordenades aproximades
2016	B1		D32	134	Sílex	BP		2	62		155	ns	e	33	27	7	
2016	B1		D32	135	Os	Fèmur	Lepo	5	26		157	nesw	sw	34	7	5	
2016	B1		D32	136	Os	Tíbia	Lepo	17	10		159	ew	p	22	7	6	
2016	B1		D32	137	Os	Tíbia	Lepo	19	3		160	nesw	p	34	5	4	
2016	B1		D32	138	Sílex	BPF		36	1		160	nesw	se	22	15	5	
2016	B1		D32	139	Esquist	Frag		54	2	156	160	q	se	65	65	25	
2016	B1		D32	140	Esquist	Frag		48	22	155	157	ns	p	120	90	20	
2016	B1		D32	141	Sílex	BPF		29	21		158	ns	vh	22	12	3	
2016	B1		D32	142	Os	Radi	O. cuniculus	29	4		158	nwse	p	24	5	3	

2016	B1		D32	143	Ocre			50	25		157			15	10	10	Coordenades aproximades
2016	B1		D32	144	Sílex	FBP		22	32		157	ns	e	22	13	3	Cremat
2016	B1		D32	145	Os	Tíbia	Lepo	18	38		157	nesw	p	34	5	4	
2016	B1		D32	146	Carbó			6	47		156						
2016	B1		D32	147	Esquist	Frag		24	53		154	nesw	p	70	50	20	
2016	B1		D32	148	Os	Calcani	Lepo	44	40		154	nwse	p	20	7	6	
2016	B1		D32	149	Os	Metacarp	Lepo	51	47		153	nwse	p	21	4	2	
2016	B1		D32	150	Os	Llarg	Macro	45	56		154	nesw	p	28	15	6	Cremat
2016	B1		D32	151	Os	Pla	Macro	3	67		156	ns	p	30	13	2	
2016	B1		D32	152	Os	Tíbia	Lepo	10	56		157			28	6	6	
2016	B1		D32	153	Carbó			14	68		156						
2016	B1		D32	154	Os	Tmt	Aves	40	69		154			25	4	4	Coordenades aproximades
2016	B1		D32	155	Conglomerat	Bloc		30	73	143	155	nesw	sw	180	110	100	
2016	B1		D32	156	Os	Tíbia	Lepo	4	85		156	nwse	p	35	7	2	
2016	B1		D32	157	Os	Fèmur	Lepo	22	80		154	nwse	p	30	5	3	
2016	B1		D32	158	Os	Fèmur	Lepo	32	65		156	ns	s	40	6	4	
2016	B1		D32	159	Esquist	Frag		35	57		157	nesw	nw	41	36	20	
2016	B1		D32	160	Esquist	Frag		70	13		158	ns	w	60	30	11	
2016	B1		D32	161	Sílex	BP		67	32		158	ns	vh	46	20	15	
2016	B1		D32	162	Sílex	FBP		73	35		154	nwse	p	37	30	20	Cremat
2016	B1		D32	163	Sílex	FBP		66	41		154	nwse	sw	16	11	3	Cremat
2016	B1		D32	164	Esquist	Frag		60	47		154	nwse	ne	48	42	7	
2016	B1		D32	165	Os	Maxil·lar	O. cuniculus	25	88		157			17	16	12	Coordenades aproximades
2016	B1		D32	166	Calcària	Frag		42	80		153	q	p	68	68	25	
2016	B1		D32	167	Os	Llarg	Macro	49	85		154	nesw	sw	38	18	13	
2016	B1		D32	168	Os	Coxal	O. cuniculus	40	66		155	nesw	p	48	18	10	
2016	B1		D32	169	Os	Fèmur	Lepo	60	53		154	ew	p	40	7	4	
2016	B1		D32	170	Sílex	BP		67	65		153	ns	p	36	17	2	
2016	B1		D32	171	Sílex	BP		58	45		153	ew	p	41	18	13	
2016	B1		D32	172	Esquist	Frag.Nat.		53	39		154	nesw	vh	26	17	2	
2016	B1		D32	173	Os	Llarg	Macro	58	37		153	nesw	p	34	4	2	
2016	B1		D32	174	Os	Pla	Macro	40	65		155	nwse	p	33	23	7	
2016	B1		D32	175	Os	Metatars	Lepo	60	70		153	nesw	p	35	5	4	
2016	B1		D32	176	Os	Metatars	Lepo	48	65		157	nwse	nw	35	6	4	
2016	B1		D32	177	Os	Fèmur	Lepo	66	62		154	ew	p	34	12	6	
2016	B1		D32	178	Os	Tíbia	Lepo	61	54		154	nesw	sw	30	7	3	
2016	B1		D32	179	Sílex	BNC	G11	50	49		158	ns	p	26	23	8	Cremat
2016	B1		D32	180	Os	Húmer	O. cuniculus	50	63		157	ew	p	40	10	5	
2016	B1		D32	181	Os	Fèmur	Lepo	66	2		158	nesw	sw	30	6	6	
2016	B1		D32	182	Esquist	Frag		62	17		157	ns	p	120	90	25	
2016	B1		D32	183	Sílex	FBP		64	29		158	nesw	p	25	8	2	
2016	B1		D32	184	Esquist	Frag		49	33		159	nwse	ne	54	50	4	
2016	B1		D32	185	Esquist	Frag		57	39		158	ns	w	70	55	20	
2016	B1		D32	186	Sílex	BP		59	63		156	nwse	nw	40	29	6	
2016	B1		D32	187	Os	Llarg	Macro	66	70		156	nesw	sw	35	8	6	
2016	B1		D32	188	Os	Fèmur	Lepo	66	76		156	nwse	se	20	5	4	
2016	B1		D32	189	Sílex	BPF		72	35		155			11	9	2	
2016	B1		D32	190	Esquist	Frag		81	20		154	nesw	p	62	46	10	
2016	B1		D32	191	Sílex	FBP		98	25		152	nwse	p	15	6	2	
2016	B1		D32	192	Os	Tíbia	Lepo	98	43		151	nwse	se	20	5	4	
2016	B1		D32	193	Sílex	FBP		94	44		153	nwse	se	21	6	2	
2016	B1		D32	194	Sílex	BP		99	60		151	nwse	p	29	18	6	Cremat

2016	B1		D32	195	Os	Llarg	Lepo	75	58		153	nesw	p	24	4	3	
2016	B1		D32	196	Sílex	FBP		70	60		155			18	12	2	Coordenades aproximades. Cremat
2016	B1		D32	197	Os	Tíbia	Lepo	77	78		152	ns	s	46	5	3	
2016	B1		D32	198	Os	Costella	Macro	70	85		155	nwse	p	24	8	4	
2016	B1		D32	199	Esquist	Frag		85	1	152	155	ns	n	75	65	25	Cremat
2016	B1		D32	200	Esquist	Frag		69	2		159	q	p	35	32	3	
2016	B1		D32	201	Carbó			72	13		159						
2016	B1		D32	202	Os	Tíbia	Lepo	70	16		159	nwse	nw	23	6	3	
2016	B1		D32	203	Os	Tíbia	Lepo	71	15		159	nwse	p	41	7	6	Fragmentat
2016	B1		D32	204	Os	Radi	Lepo	79	16		156	nesw	p	35	3	2	
2016	B1		D32	205	Os	Tíbia	Lepo	75	21		158	nwse	p	37	6	5	
2016	B1		D32	206	Os	Tíbia	Lepo	80	30		156	nesw	p	42	7	3	
2016	B1		D32	207	Sílex	BP		61	41		158	nesw	sw	39	14	4	Cremat
2016	B1		D32	208	Os	Fèmur	Lepo	88	3		156			37	10	6	Coordenades aproximades
2016	B1		D32	209	Sílex	FBP		84	2		158			16	13	6	
2016	B1		D32	210	Sílex	FBP		78	12		156	ns	p	25	7	3	
2016	B1		D32	211	Sílex	BNC	BNC(F)	78	16		159	ew	p	31	22	11	
2016	B1		D32	212	Os	Coxal	O. cuniculus	86	7		159	nwse	p	30	9	9	
2016	B1		D32	213	Os	Escàpula	Lepo	80	17		160	nwse	se	22	12	3	
2016	B1		D32	214	Calcària	Frag.Nat.		81	30		158	nesw	ne	25	20	4	
2016	B1		D32	215	Sílex	FBP		73	42		158	nesw	sw	35	20	3	
2016	B1		D32	216	Sílex	BP		92	43		156	nwse	vh	21	19	3	
2016	B1		D32	217	Os	Tíbia	Lepo	94	42		155	nwse	nw	47	7	5	
2016	B1		D32	218	Os	Ulna	O. cuniculus	78	49		154	nwse	p	60	8	3	
2016	B1		D32	219	Os	Llarg	Macro	64	45		156	nesw	vh	42	17	3	
2016	B1		D32	220	Sílex	FBP		64	59		157			25	5	2	
2016	B1		D32	221	Carbó			75	75		154						
2016	B1		D32	222	Os	Metatars	Lepo	76	80		154			25	5	3	Coordenades aproximades
2016	B1		D32	223	Os	Coxal	O. cuniculus	62	85		154	ns	s	25	10	8	
2016	B1		D32	224	Os	Mandíbula	O. cuniculus	82	60		155			25	20	3	Coordenades aproximades
2016	B1		D32	225	Sílex	BNC	D23	80	62		158	ns	e	55	22	15	
2016	B1		D32	226	Os	Costella	Macro	83	61		155			22	4	4	Coordenades aproximades
2016	B1		D32	227	Os	Llarg	Macro	85	77		155			25	13	5	Coordenades aproximades
2016	B1		D32	228	Sílex	FBP		88	70		156	nwse	se	29	7	2	
2016	B1		D32	229	Esquist	BP		90	86		153	ns	s	35	22	10	
2016	B1		D32	230	Os	Húmer	Lepo	75	86		155	ns	s	33	12	3	
2016	B1		D32	231	Conglomerat	Bloc		80	60	151	159	q	ne	100	95	55	
2016	B1		D32	232	Os	Llarg	Macro	97	60		156			24	14	10	Coordenades aproximades
2016	B1		D32	233	Os	Escàpula	O. cuniculus	81	68		156			22	9	7	Coordenades aproximades
2016	B1		D32	234	Esquist	Frag		82	60		151	nwse	se	50	20	20	Cremat
2016	B1		D32	235	Sílex	FBP		80	69		160	q	p	15	15	2	
2016	B1		D32	236	Os	Mandíbula	O. cuniculus	80	77		161	ew	p	50	28	5	
2016	B1		D32	237	Os	Metatars	Lepo	70	73		161			21	4	3	Coordenades aproximades
2016	B1		D32	238	Gres	Bloc		90	63	137	163	nesw	se	260	190	90	
2016	B1		D32	239	Os	Mandíbula	O. cuniculus	90	60		163			48	24	4	
2016	B1		D32	240	Os	Mandíbula	C. pyrenaica				155-160			19	17	8	Trobat al rentat
2016	B1		D32	241	Os	Falange	Artiodactyla				155-160			19	11	5	Trobat al rentat
2016	B1		D32	242	Dent	I dec	S. scrofa				150-155			11	5	4	Trobat al rentat
2016	B1		D32	243	Sílex	BNC	LD21				150-155			14	4	2	Trobat al rentat
2016	B1		D32	244	Malaco		Marina				155-160			7	5	3	Trobat al rentat
2016	B1		D33	1	Sílex	Frag.Nat.		84	0		144	nesw	sw	30	20	14	
2016	B1		D33	2	Calcària	FBP		72	10		144	nesw	sw	36	20	8	

2016	B1		D33	3 Calcària	Frag.Nat.		63	0		147	ew	vh	35	16	10	
2016	B1		D33	4 Sílex	BP		59	8		144	nwse	se	28	15	4	Cremat
2016	B1		D33	5 Sílex	BP		52	9		145	ew	w	28	19	10	
2016	B1		D33	6 Os	Costella	Macro	17	6		146	ns	s	18	12	6	
2016	B1		D33	7 Sílex	BP		97	11		142			19	17	4	
2016	B1		D33	8 Calcària	FBP		70	10		142	ew	w	35	16	8	
2016	B1		D33	9 Sílex	RT		69	8		144			12	10	4	Coordenades aproximades
2016	B1		D33	10 Calcària	Frag.Nat.		65	6		144			13	7	5	
2016	B1		D33	11 Sílex	BPF		64	12		144	ew	w	26	12	6	
2016	B1		D33	12 Sílex	RT		65	6		144			15	6	6	Coordenades aproximades
2016	B1		D33	13 Sílex	FBP		52	8		146			11	8	3	Coordenades aproximades
2016	B1		D33	14 Os	Maxil-lar	O. cuniculus	40	9		146			20	18	14	
2016	B1		D33	15 Os	Vèrtebra	Macro	18	8		148	nwse	se	32	18	12	
2016	B1		D33	16 Os	Llarg	Macro	10	10		148	nwse	se	35	4	4	
2016	B1		D33	17 Os	Escàpula	O. cuniculus	98	10		143			18	7	5	Cremat
2016	B1		D33	18 Os	Húmer	Lepo	86	13		144	nwse	se	30	7	5	
2016	B1		D33	19 Os	Mandíbula	O. cuniculus	71	12		144	ew	p	26	15	6	
2016	B1		D33	20 Sílex	BP		62	21		145	ew	s	24	15	5	
2016	B1		D33	21 Os	Escàpula	Lepo	52	24		144			26	10	5	Coordenades aproximades
2016	B1		D33	22 Esquist	Frag		3	15		150	nwse	p	45	40	10	
2016	B1		D33	23 Os	Tíbia	O. cuniculus	4	20		149	nwse	se	22	8	4	
2016	B1		D33	24 Os	Llarg	Macro	9	21		148	nwse	se	37	15	10	
2016	B1		D33	25 Os	Fèmur	Lepo	15	24		147	nwse	p	30	7	6	
2016	B1		D33	26 Os	Coxal	Lepo	36	30		147			28	15	6	Coordenades aproximades
2016	B1		D33	27 Os	Mandíbula	O. cuniculus	48	29		144	nwse	se	34	18	6	
2016	B1		D33	28 Os	Llarg	Macro	62	25		145	nesw	sw	54	12	6	
2016	B1		D33	29 Os	Tíbia	Lepo	73	29		144	ew	p	36	8	5	
2016	B1		D33	30 Os	Fèmur	Lepo	58	25		144	ew	e	28	9	4	
2016	B1		D33	31 Os	Fèmur	Lepo	63	27		144			20	6	4	Coordenades aproximades
2016	B1		D33	32 Sílex	BPF		92	28		145	ns	s	32	19	8	
2016	B1		D33	33 Sílex	BP		6	27		146	nwse	sw	20	9	3	
2016	B1		D33	34 Sílex	BNC	G22	19	21		148	nesw	ne	48	28	10	
2016	B1		D33	35 Os	Tíbia	Lepo	31	32		147	ns	s	56	8	6	
2016	B1		D33	36 Os	Húmer	O. cuniculus	74	30		145	nwse	nw	40	8	6	
2016	B1		D33	37 Os	Llarg	Macro	84	19		145	nesw	ne	25	11	6	
2016	B1		D33	38 Os	Tíbia	Lepo	85	17		145	nwse	p	40	6	4	
2016	B1		D33	39 Calcària	Bn		29	23	142	149	ns	n	100	70	55	
2016	B1		D33	40 Os	Escàpula	Lepo	15	24		148	nwse	se	13	7	3	
2016	B1		D33	41 Quars	Frag.Nat.		10	19		149	ns	vh	16	11	10	
2016	B1		D33	42 Os	Ulna	O. cuniculus	9	26		148			20	6	4	
2016	B1		D33	43 Sílex	RT		17	27		147			11	7	1	Coordenades aproximades
2016	B1		D33	44 Os	Crani	Lepo	23	32		146			24	13	8	
2016	B1		D33	45 Sílex	BP		36	38		145	ns	w	40	32	18	
2016	B1		D33	46 Sílex	BPF		2	23		140	ns	n	18	15	4	
2016	B1		D33	47 Os	Crani	Lepo	5	32		148			18	16	10	
2016	B1		D33	48 Os	Maxil-lar	Lepo	4	41		147			20	15	15	
2016	B1		D33	49 Sílex	BPF		17	36		148	nwse	se	15	13	3	
2016	B1		D33	50 Os	Fèmur	Lepo	24	48		148	nwse	se	19	6	4	
2016	B1		D33	51 Sílex	BP		37	41		146	ew	vh	20	15	3	Cremat
2016	B1		D33	52 Os	Mandíbula	O. cuniculus	22	35		146			15	13	5	Cremat
2016	B1		D33	53 Os	Costella	Lepo	7	48		148	nesw	p	21	3	1	
2016	B1		D33	54 Os	Mandíbula	Lepo	21	52		145	ns	s	20	7	4	

2016	B1		D33	55	Sílex	BP		24	36		148	nesw	sw	28	18	6	
2016	B1		D33	56	Os	Ulna	Lepo	30	50		144			20	6	4	
2016	B1		D33	57	Sílex	RT		39	48		143			14	8	3	
2016	B1		D33	58	Sílex	FBP		46	31		145	nesw	p	23	18	5	
2016	B1		D33	59	Os	Mandíbula	O. cuniculus	7	53		146			18	10	6	Cremat
2016	B1		D33	60	Os	Ulna	Phasianidae	8	46		149	nwse	p	32	5	4	
2016	B1		D33	61	Sílex	BP		14	43		149	nesw	ne	44	22	10	
2016	B1		D33	62	Sílex	BNC	LD21	39	41		146	nwse	nw	24	6	2	
2016	B1		D33	63	Calcària	Bloc		20	41		146	nwse	e	75	65	40	
2016	B1		D33	64	Os	Mandíbula	O. cuniculus	22	54		143			21	16	5	
2016	B1		D33	65	Os	Tíbia	Lepo	38	49		147	nwse	p	23	4	3	Cremat
2016	B1		D33	66	Calcària	BP		3	48		150	nwse	sw	35	27	10	
2016	B1		D33	67	Calcària	Bloc		40	50		145	nwse	nw	70	35	40	
2016	B1		D33	68	Os	Costella	Lepo	13	54		147			24	2	1	
2016	B1		D33	69	Sílex	BNC	G11	16	56		145	nwse	p	23	17	5	Cremat
2016	B1		D33	70	Os	Mandíbula	O. cuniculus	26	56		145	nesw	p	30	17	8	
2016	B1		D33	71	Os	Escàpula	O. cuniculus	36	48		146	nwse	se	30	11	4	
2016	B1		D33	72	Os	Tíbia	Lepo	44	53		145			25	6	4	
2016	B1		D33	73	Os	Fèmur	Lepo	49	50		145	nwse	se	23	6	4	
2016	B1		D33	74	Sílex	BP		22	55		146			16	6	3	
2016	B1		D33	75	Carbó			4	56		147						
2016	B1		D33	76	Sílex	BNC	D23	8	58		147	ns	e	72	40	13	Cremat
2016	B1		D33	77	Sílex	RT		18	58		145			10	7	2	Coordenades aproximades
2016	B1		D33	78	Sílex	FBP		20	60		144	nwse	p	23	15	4	
2016	B1		D33	79	Os	Tíbia	Lepo	39	52		145	ns	n	27	6	4	
2016	B1		D33	80	Os	Escàpula	O. cuniculus	42	36		147	nwse	se	25	9	6	
2016	B1		D33	81	Os	Tíbia	Lepo	56	39		144	ew	w	26	6	3	
2016	B1		D33	82	Sílex	BP		57	46		144	nesw	ne	95	60	40	
2016	B1		D33	83	Os	Coxal	O. cuniculus	8	65		149	nesw	sw	30	10	9	
2016	B1		D33	84	Os	Coxal	Lepo	5	63		148			19	18	6	
2016	B1		D33	85	Os	Tíbia	Lepo	4	59		148	ns	s	26	11	6	
2016	B1		D33	86	Sílex	BP		13	59		147	ew	w	30	11	3	
2016	B1		D33	87	Os	Fèmur	Lepo	21	57		148	nesw	sw	46	6	4	
2016	B1		D33	88	Os	Tíbia	Lepo	28	55		148	nesw	sw	27	6	4	
2016	B1		D33	89	Os	Ulna	Lepo	36	63		143	nesw	p	23	3	2	
2016	B1		D33	90	Esquist	Bloc		58	53		144	nesw	p	60	35	28	
2016	B1		D33	91	Os	Tíbia	Lepo	56	46		145			29	4	2	Cremat
2016	B1		D33	92	Calcària	Bn		3	82		143	nwse	se	70	60	35	
2016	B1		D33	93	Os	Fèmur	Lepo	14	63		147	nwse	p	36	30	4	
2016	B1		D33	94	Carbó			25	61		146						
2016	B1		D33	95	Os	Metatars	Lepo	23	55		147	nwse	se	32	3	3	
2016	B1		D33	96	Os	Fèmur	Lepo	40	62		144			28	4	1	
2016	B1		D33	97	Os	Escàpula	Lepo	20	65		146			20	11	3	
2016	B1		D33	98	Sílex	FBP		61	49		143	ew	n	29	28	7	
2016	B1		D33	99	Sílex	BP		2	83		144	nesw	sw	26	14	3	
2016	B1		D33	100	Sílex	BP		3	70		148			27	20	5	Coordenades aproximades
2016	B1		D33	101	Sílex	FBP		3	67		148			11	7	5	Coordenades aproximades
2016	B1		D33	102	Os	Tíbia	Lepo	11	57		148			24	6	4	
2016	B1		D33	103	Os	Crani	Macro	20	72		146	nesw	sw	32	21	9	
2016	B1		D33	104	Sílex	BNC	G12	44	57		146	nesw	sw	21	12	3	
2016	B1		D33	105	Sílex	BP		52	58		146	nesw	vh	19	15	8	
2016	B1		D33	106	Os	Calcani	Lepo	7	82		145			19	8	6	

2016	B1		D33	107	Calcària	Frag.Nat.		22	65		147	nesw	sw	25	15	7	
2016	B1		D33	108	Os	Húmer	Lepo	31	66		146			22	4	2	
2016	B1		D33	109	Sílex	BP		27	9		148			15	8	3	Coordenades aproximades
2016	B1		D33	110	Os	Tíbia	Lepo	32	4		148	ew	p	22	10	3	
2016	B1		D33	111	Os	Fèmur	Lepo	18	74		143	nwse	se	20	6	4	
2016	B1		D33	112	Sílex	FBP		22	70		146	ew	vh	33	25	8	
2016	B1		D33	113	Sílex	BP		26	69		148			22	15	4	Cremat
2016	B1		D33	114	Os	Maxil-lar	Lepo	27	75		143			20	12	5	
2016	B1		D33	115	Os	Tíbia	Lepo	32	76		143			19	6	4	Cremat
2016	B1		D33	116	Os	Tíbia	Lepo	38	70		146	ew	p	22	6	3	
2016	B1		D33	117	Os	Coxal	Lepo	43	72		144	nesw	sw	28	14	6	
2016	B1		D33	118	Esquist	Frag		44	80		144	ew	e	85	40	20	
2016	B1		D33	119	Sílex	FBP		4	80		146	ew	p	42	23	17	Cremat
2016	B1		D33	120	Os	Costella	Lepo	12	79		145	nwse	se	23	2	2	
2016	B1		D33	121	Sílex	BPF		24	85		143			20	9	3	Cremat
2016	B1		D33	122	Sílex	BNC	D21	30	71		146	nesw	sw	42	25	7	Hcl. Cremat
2016	B1		D33	123	Os	Tíbia	Lepo	29	75		145	nwse	se	30	5	3	
2016	B1		D33	124	Os	Fèmur	Phasianidae	34	81		143	ew	p	26	4	3	
2016	B1		D33	125	Sílex	BPF		37	76		145	nwse	vh	21	21	4	Cremat
2016	B1		D33	126	Sílex	FBP		41	72		145	ew	w	26	20	8	Cremat
2016	B1		D33	127	Os	Fèmur	Lepo	4	84		147			22	7	3	
2016	B1		D33	128	Sílex	BP		12	78		148	ew	vh	23	19	3	
2016	B1		D33	129	Sílex	FBP		20	79		145	nwse	nw	22	18	6	
2016	B1		D33	130	Os	Metatars	Lepo	18	64		148			20	5	3	
2016	B1		D33	131	Os	Coxal	Lepo	33	73		145	ew	e	23	9	6	
2016	B1		D33	132	Sílex	BP		34	71		147	ew	s	28	9	3	
2016	B1		D33	133	Sílex	BNC	D23	49	81		144	ew	s	40	27	10	
2016	B1		D33	134	Os	Tíbia	Lepo	44	75		146			22	5	3	Cremat
2016	B1		D33	135	Os	Calcani	Lepo	13	87		146			21	9	7	
2016	B1		D33	136	Dent	I1 inf	Lepo	15	78		146			19	2	1	
2016	B1		D33	137	Sílex	FBP		26	79		145	ew	s	15	11	3	
2016	B1		D33	138	Os	Llarg	Macro	28	80		145	nwse	se	24	7	3	
2016	B1		D33	139	Os	Tíbia	Lepo	41	78		147	nesw	ne	70	9	6	
2016	B1		D33	140	Os	Metatars	Lepo	44	62		146			30	5	3	
2016	B1		D33	141	Os	Tíbia	Lepo				147	nwse	nw	30	8	6	
2016	B1		D33	142	Sílex	FBP		25	46		149	ns	n	53	25	24	
2016	B1		D33	143	Os	Llarg	Macro	55	58		145	ns	vh	29	16	5	
2016	B1		D33	144	Os	Calcani	Lepo	19	90		145			23	10	5	
2016	B1		D33	145	Sílex	BNC	G21	16	83		147	nesw	sw	35	20	6	
2016	B1		D33	146	Calcària	Frag.Nat.		18	76		148	nwse	p	40	22	20	
2016	B1		D33	147	Os	Escàpula	Lepo	22	80		146	nwse	se	20	8	5	
2016	B1		D33	148	Os	Radi	O. cuniculus	23	55		148			20	5	5	
2016	B1		D33	149	Os	Calcani	Lepo	38	66		147			20	7	6	Coordenades aproximades
2016	B1		D33	150	Os	Tíbia	Lepo	8	48		150			30	6	4	
2016	B1		D33	151	Os	Tibiotarsus	Lepo	14	89		145			25	4	3	Coordenades aproximades
2016	B1		D33	152	Os	Fèmur	Lepo	12	86		147			25	7	5	Coordenades aproximades
2016	B1		D33	153	Os	Húmer	Phasianidae	14	74		145	q	v	25	5	5	
2016	B1		D33	154	Os	Fèmur	O. cuniculus	24	67		149	ns	s	42	11	8	
2016	B1		D33	155	Sílex	FBP		41	70		147	ns	s	17	11	7	Cremat
2016	B1		D33	156	Sílex	BNC	LD21	14	82		147			20	5	3	
2016	B1		D33	157	Sílex	FBP		44	70		147			18	6	2	Coordenades aproximades
2016	B1		D33	158	Os	Húmer	Lepo	46	59		147			19	6	4	Coordenades aproximades

2016	B1		D33	159	Os	Tíbia	Lepo	50	53		146			24	6	5	Coordenades aproximades
2016	B1		D33	160	Calcària	Bloc		95	44	130	143	nesw	ne	180	85	75	
2016	B1		D33	161	Os	Llarg	Macro	91	7		145	nwse	nw	65	20	16	Cremat
2016	B1		D33	162	Os	Fèmur	Lepo	86	17		145	nwse	nw	30	8	7	
2016	B1		D33	163	Os	Crani	Lepo	94	29		145	nwse	se	28	13	6	
2016	B1		D33	164	Os	Fèmur	Lepo	86	34		144	ns	s	36	8	6	
2016	B1		D33	165	Os	Mandíbula	O. cuniculus	75	38		144	nwse	se	40	21	7	
2016	B1		D33	166	Os	Tíbia	Lepo	70	44		145			28	5	3	
2016	B1		D33	167	Os	Fèmur	Lepo	63	47		144	ew	w	30	7	6	
2016	B1		D33	168	Os	Radi	O. cuniculus	67	65		140			19	6	4	
2016	B1		D33	169	Sílex	BNC	G22	99	6		144	nwse	se	53	30	15	Hcl
2016	B1		D33	170	Sílex	RT		87	25		145			9	6	3	Coordenades aproximades
2016	B1		D33	171	Os	Metacarp	Lepo	76	35		144	nesw	sw	24	5	3	
2016	B1		D33	172	Sílex	FBP		74	38		143	nwse	se	26	10	6	
2016	B1		D33	173	Os			74	46		143	nesw	sw	18	4	3	
2016	B1		D33	174	Os	Coxal	Lepo	69	44		146	ns	s	25	3	8	
2016	B1		D33	175	Os	Tíbia	Lepo	59	73		143	ew	w	60	8	4	
2016	B1		D33	176	Sílex	BP		88	44		143	nwse	se	40	20	10	
2016	B1		D33	177	Sílex	BP		76	52		143	nwse	se	20	13	10	Hcl. Cremat
2016	B1		D33	178	Sílex	FBP		71	61		144	ew	n	17	12	3	Cremat
2016	B1		D33	179	Os	Radi	Lepo	90	58		140	nesw	p	25	4	4	Coordenades aproximades
2016	B1		D33	180	Sílex	FBP		83	79		140			23	11	7	Cremat
2016	B1		D33	181	Os	Metatars	Lepo	78	75		140	ns	s	25	5	3	
2016	B1		D33	182	Os	Metatars	Lepo	59	80		140			25	6	4	
2016	B1		D33	183	Os	Crani	Lepo	61	86		140			18	8	4	
2016	B1		D33	184	Sílex	BPF		96	80		139	ns	s	28	18	8	
2016	B1		D33	185	Os	Calcani	Lepo	94	68		140			18	9	6	
2016	B1		D33	186	Sílex	FBP		90	54		141	nwse	sw	30	25	6	
2016	B1		D33	187	Os	Mandíbula	O. cuniculus	92	47		144			20	16	6	
2016	B1		D33	188	Os	Coxal	O. cuniculus	94	43		144	nesw	sw	43	15	13	
2016	B1		D33	189	Sílex	BP		76	55		142	ew	p	21	9	6	
2016	B1		D33	190	Os	Tíbia	Lepo	82	65		141	nwse	p	23	6	3	
2016	B1		D33	191	Os	Tíbia	Lepo	69	78		141	ns	s	47	9	6	
2016	B1		D33	192	Sílex	BP		61	88		141			12	9	2	Coordenades aproximades
2016	B1		D33	193	Sílex	BP		53	88		141	ns	s	43	19	10	
2016	B1		D33	194	Sílex	FBP		52	90		141	ew	w	25	17	7	
2016	B1		D33	195	Os	Costella	Lepo	65	63		144	ns	n	25	3	1	
2016	B1		D33	196	Os	Mandíbula	O. cuniculus	62	56		146	nwse	p	32	15	8	
2016	B1		D33	197	Os	Llarg	Macro	42	77		146	nesw	p	33	18	11	Cremat
2016	B1		D33	198	Os	Fèmur	Lepo	98	44		145			24	6	3	
2016	B1		D33	199	Os	Fèmur	O. cuniculus	86	48		145	ew	p	23	9	8	
2016	B1		D33	200	Os	Escàpula	O. cuniculus	73	57		143	nwse	se	33	16	11	
2016	B1		D33	201	Os	Maxil·lar	O. cuniculus	63	83		142			17	11	7	
2016	B1		D33	202	Os	Mandíbula	Lepo	58	86		144	ns	s	27	6	4	
2016	B1		D33	203	Os	Mandíbula	Lepo	52	87		145	nesw	sw	33	20	4	
2016	B1		D33	204	Malaco			42	65		147						
2016	B1		D33	205	Sílex	RT		93	44		146			12	6	2	
2016	B1		D33	206	Quars	Frag.Nat.		90	54		145			11	9	4	Coordenades aproximades
2016	B1		D33	207	Sílex	BPF		87	60		144	nwse	vh	18	11	6	
2016	B1		D33	208	Calcària	Frag.Nat.		90	66		143	ns	s	19	10	3	
2016	B1		D33	209	Os	Mandíbula	Lepo	78	61		144	ns	s	27	20	7	
2016	B1		D33	210	Sílex	BP		68	54		147	nesw	ne	50	35	18	

2016	B1		D33	211	Os	Mandíbula	Lepo	82	47		146			20	16	5	
2016	B1		D33	212	Sílex	FBP		87	43		145			11	7	2	
2016	B1		D33	213	Sílex	BP		77	63		143			17	10	3	
2016	B1		D33	214	Os	Escàpula	Lepo	74	68		143	nesw	sw	43	14	7	
2016	B1		D33	215	Esquist	Frag.Nat.		67	72		143			12	7	3	Coordenades aproximades
2016	B1		D33	216	Sílex	BNC	G11	72	85		142	ew	s	33	19	7	
2016	B1		D33	217	Sílex	BP		63	73		145	nesw	p	48	37	11	
2016	B1		D33	218	Os	Escàpula	Lepo	67	75		144	nwse	se	20	12	7	
2016	B1		D33	219	Os	Metatars	Lepo	77	66		143	nesw	sw	36	30	3	
2016	B1		D33	220	Os	Fèmur	Lepo	79	63		144	nwse	se	60	7	6	
2016	B1		D33	221	Os	Metàpod	Lepo	76	57		145			25	4	3	
2016	B1		D33	222	Os	Tibiotarsus	Aves	63	42		145	ns	p	21	5	5	
2016	B1		D33	223	Os	Ulna	O. cuniculus	74	86		142			22	7	6	
2016	B1		D33	224	Sílex	FBP		75	79		142	ew	vh	36	24	10	
2016	B1		D33	225	Sílex	BP		78	74		143	nwse	s	24	20	7	
2016	B1		D33	226	Sílex	BP		73	77		144	nwse	p	27	18	4	
2016	B1		D33	227	Os	Mandíbula	O. cuniculus	64	72		145	nesw	ne	24	12	7	
2016	B1		D33	228	Os	Mandíbula	O. cuniculus	85	82		143			28	13	5	
2016	B1		D33	229	Sílex	BP		77	86		142			18	6	3	Coordenades aproximades
2016	B1		D33	230	Os	Escàpula	O. cuniculus	70	86		144			16	10	6	
2016	B1		D33	231	Os	Mandíbula	O. cuniculus	66	83		145			17	15	10	
2016	B1		D33	232	Os	Calcani	Lepo	78	81		144	nwse	se	24	10	7	
2016	B1		D33	233	Os	Crani	Lepo	78	73		144			21	14	12	Coordenades aproximades
2016	B1		D33	234	Calcària	Bn		89	73	136	145	nwse	v	140	90	80	
2016	B1		D33	235	Sílex	BPF		86	14		145	nwse	p	55	15	10	
2016	B1		D33	236	Os	Radi	O. cuniculus	66	76		145	nwse	p	37	8	5	
2016	B1		D33	237	Sílex	FBP		63	83		145	nesw	ne	18	12	5	
2016	B1		D33	238	Os	Fèmur	Lepo	53	84		146	ew	w	35	8	8	
2016	B1		D33	239	Os	Escàpula	O. cuniculus	20	23		151	nesw	p	25	7	7	
2016	B1		D33	240	Os	Tíbia	Lepo	5	29		150			15	11	6	
2016	B1		D33	241	Os	Falange	Lepo	20	34		150	ns	p	15	3	2	
2016	B1		D33	242	Os	Radi	O. cuniculus	22	39		150			18	6	4	
2016	B1		D33	243	Os	Metacarp	Lepo	17	44		151			18	4	3	
2016	B1		D33	244	Os	Coxal	O. cuniculus	2	52		151	nesw	ne	75	15	10	
2016	B1		D33	245	Os	Maxil·lar	O. cuniculus	22	51		150			23	15	15	Coordenades aproximades
2016	B1		D33	246	Os	Mandíbula	O. cuniculus	24	60		150	ew	s	22	12	5	
2016	B1		D33	247	Os	Fèmur	Lepo	10	65		149	ns	p	49	7	4	
2016	B1		D33	248	Carbó			11	59		150						
2016	B1		D33	249	Os	Tíbia	Lepo	14	89		150	ew	w	29	5	4	
2016	B1		D33	250	Os	Mandíbula	Lepo	1	41		151			18	16	4	
2016	B1		D33	251	Os	Tíbia	Lepo	90	5		146	nesw	p	26	5	3	
2016	B1		D33	252	Os	Fèmur	Lepo	71	16		148	nesw	ne	25	6	5	Fragmentat
2016	B1		D33	253	Os	Llarg	Macro	97	22		147			23	10	3	
2016	B1		D33	254	Os	Coxal	Lepo	96	35		147			20	6	5	Creemat
2016	B1		D33	255	Os	Maxil·lar	O. cuniculus	90	32		147			20	11	3	
2016	B1		D33	256	Os	Fèmur	Lepo	85	34		147	nwse	se	21	6	6	
2016	B1		D33	257	Sílex	FBP		89	36		147	ew	e	16	8	6	Creemat
2016	B1		D33	258	Os	Coxal	Lepo	94	45		146	nwse	se	24	6	6	
2016	B1		D33	259	Sílex	FBP		99	51		146	ns	w	25	13	10	Creemat
2016	B1		D33	260	Sílex	BPF		94	87		146	ew	s	20	18	5	Creemat
2016	B1		D33	261	Os	Mandíbula	O. cuniculus	52	89		144	nwse	nw	25	18	6	
2016	B1		D33	262	Os	Llarg	Macro	47	78		147			32	11	7	

2016	B1		D33	263	Os	Maxil·lar	O. cuniculus	24	2		151	ns	p	25	11	5	
2016	B1		D33	264	Os	Ulna	O. cuniculus	21	46		150	nwse	p	34	8	5	
2016	B1		D33	265	Calcària	Bloc		35	52		150	nesw	p	75	57	23	
2016	B1		D33	266	Os	Llarg	Macro	43	41		150	ns	p	34	13	4	
2016	B1		D33	267	Sílex	FBP		43	5		150	nesw	v	32	12	7	Cremat
2016	B1		D33	268	Sílex	BP		52	2		150	nesw	p	30	12	8	Cremat
2016	B1		D33	269	Sílex	BPF		64	7		148	ew	s	28	10	4	
2016	B1		D33	270	Os	Llarg	Macro	61	19		147			14	6	4	
2016	B1		D33	271	Os	Húmer	Lepo	57	25		146	nesw	p	30	6	4	
2016	B1		D33	272	Sílex	FBP		68	30		147	ew	s	18	17	5	Cremat
2016	B1		D33	273	Os	Fèmur	Lepo	90	33		147			28	9	6	
2016	B1		D33	274	Sílex	BP		92	42		147	nwse	se	24	18	4	
2016	B1		D33	275	Sílex	BP		90	74		147	nwse	se	28	26	4	Cremat
2016	B1		D33	276	Sílex	FBP		76	1		148			24	6	3	Coordenades aproximades. Cremat
2016	B1		D33	277	Sílex	FBP		77	35		146			19	9	2	
2016	B1		D33	278	Esquist	Frag.Nat.		81	52		146	nwse	se	28	10	8	
2016	B1		D33	279	Sílex	FBP		82	62		145	nesw	sw	23	16	4	
2016	B1		D33	280	Os	Radi	Macro	96	57		141	nesw	ne	28	18	7	
2016	B1		D33	281	Argila	Bloc		99	18	138	147	ns	e	120	100	65	
2016	B1		D33	282	Sílex	FBP		88	76		146	nesw	ne	38	25	20	
2016	B1		D33	283	Os	Radi	O. cuniculus	64	68		147	nesw	sw	28	6	5	
2016	B1		D33	284	Os	Coxal	Lepo	53	80		146	nwse	se	30	15	7	Cremat
2016	B1		D33	285	Os	Húmer	Phasianidae	10	4		151	nwse	p	27	7	4	
2016	B1		D33	286	Os	Llarg	Lepo	21	81		149			24	5	3	
2016	B1		D33	287	Os	Fèmur	Lepo	38	69		148			21	5	5	Cremat
2016	B1		D33	288	Os	Radi	O. cuniculus	37	63		150	nwse	nw	32	6	4	
2016	B1		D33	289	Sílex	BP		35	51		150	nwse	sw	36	12	4	
2016	B1		D33	290	Os	Tíbia	Lepo	40	43		149	ns	p	33	5	4	
2016	B1		D33	291	Os	Coxal	Lepo	92	37		148	nwse	se	36	17	10	
2016	B1		D33	292	Os	Húmer	Phasianidae	66	32		149			24	7	6	Coordenades aproximades
2016	B1		D33	293	Os	Calcani	C. pyrenaica	70	18		149	nwse	nw	29	12	11	
2016	B1		D33	294	Sílex	FBP		64	5		148	nwse	se	20	12	6	
2016	B1		D33	295	Os	Crani	Lepo	88	46		148			27	8	3	
2016	B1		D33	296	Os	Falange	Lepo	85	68		147	nesw	ne	18	4	3	
2016	B1		D33	297	Os	Fèmur	Lepo	73	61		148	ew	w	40	7	6	
2016	B1		D33	298	Os	Tíbia	O. cuniculus	76	51		149			18	12	6	Coordenades aproximades
2016	B1		D33	299	Os	Radi	O. cuniculus	63	49		148	nesw	sw	35	6	4	
2016	B1		D33	300	Os	Radi	O. cuniculus	48	54		149	nesw	sw	26	4	3	
2016	B1		D33	301	Os	Tíbia	Lepo	39	53		150	ew	p	54	8	7	
2016	B1		D33	302	Sílex	BNC	A2	47	57		150	ns	w	29	25	12	Cremat
2016	B1		D33	303	Os	Mandíbula	O. cuniculus	44	66		149			21	15	5	
2016	B1		D33	304	Os	Escàpula	O. cuniculus	75	81		148	ns	s	30	12	2	
2016	B1		D33	305	Os	Crani	Lepo	64	75		148	nwse	se	30	12	8	
2016	B1		D33	306	Os	Fèmur	Lepo	90	39		148	ns	p	40	8	6	
2016	B1		D33	307	Os	Coxal	Lepo	44	61		150			27	13	10	Coordenades aproximades
2016	B1		D33	308	Os	Escàpula	Lepo	45	68		146	nesw	p	45	15	6	
2016	B1		D33	309	Os	Húmer	O. cuniculus	42	67		150	nwse	p	28	6	5	
2016	B1		D33	310	Os	Metatars	Lepo	40	75		149	nesw	p	22	3	3	
2016	B1		D33	311	Sílex	FBP		56	84		149			16	9	4	Coordenades aproximades
2016	B1		D33	312	Os	Metatars	Lepo	67	72		149	ns	p	35	5	3	
2016	B1		D33	313	Sílex	BPF		34	5		151	ew	e	36	11	7	Cremat
2016	B1		D33	314	Sílex	BP		38	23		152	nwse	ne	15	8	3	Cremat

2016	B1		D33	315	Os	Tíbia	O. cuniculus	19	45		153	ns	n	78	8	5	
2016	B1		D33	316	Sílex	BNC	LD11	8	24		152	nwse	se	21	8	1	
2016	B1		D33	317	Sílex	FBP		13	41		152	nesw	se	21	16	5	Cremat
2016	B1		D33	318	Os	Fèmur	Lepo	10	46		153	nesw	ne	26	7	6	
2016	B1		D33	319	Sílex	RT		3	64		153			10	7	2	Coordenades aproximades
2016	B1		D33	320	Os	Radi	Lepo	3	75		150	ew	p	30	5	4	
2016	B1		D33	321	Os	Radi	F. silvestris	14	77		151	nesw	sw	35	7	5	
2016	B1		D33	322	Os	Llarg	Macro	3	83		151			30	9	6	
2016	B1		D33	323	Os	Maxil·lar	Lepo	94	6		148			20	17	5	
2016	B1		D33	324	Os	Pla	Macro	61	4		150	ew	e	20	12	9	
2016	B1		D33	325	Os	Fèmur	Lepo	85	14		150	nesw	sw	45	7	6	
2016	B1		D33	326	Os	Tíbia	Lepo	57	25		151	ns	n	43	10	7	
2016	B1		D33	327	Os	Tíbia	Lepo	77	31		150	ew	e	52	10	8	
2016	B1		D33	328	Sílex	BP		83	30		149			27	13	6	Coordenades aproximades. Cremat
2016	B1		D33	329	Os	Radi	O. cuniculus	88	31		148	nwse	sw	19	6	4	
2016	B1		D33	330	Sílex	Frag.Nat.		93	22		149	ns	p	55	25	12	
2016	B1		D33	331	Os	Tíbia	Lepo	100	37		149	ew	w	38	7	5	
2016	B1		D33	332	Os	Calcani	Lepo	98	52		147			22	8	6	Coordenades aproximades
2016	B1		D33	333	Os	Fèmur	O. cuniculus	30	47		151	ew	p	21	7	4	
2016	B1		D33	334	Os	Maxil·lar	Lepo	92	3		148			19	18	12	
2016	B1		D33	335	Sílex	BNC	P21	63	2		151	ew	p	50	40	13	Hcl
2016	B1		D33	336	Sílex	FBP		63	16		151			15	10	9	Cremat
2016	B1		D33	337	Os	Húmer	O. cuniculus	61	52		151	nesw	v	28	6	5	
2016	B1		D33	338	Os	Fèmur	Lepo	80	52		149	nesw	sw	29	5	3	
2016	B1		D33	339	Sílex	BPF		95	58		148	ns	s	26	22	8	
2016	B1		D33	340	Gres	Bloc		75	55	146	149	ew	e	120	80	15	
2016	B1		D33	341	Gres	Bloc		56	40	146	150	nesw	nw	200	100	15	
2016	B1		D33	342	Conglomerat	Bloc		58	67	137	150	nwse	se	200	170	130	
2016	B1		D33	343	Sílex	BP		12	82		152	nwse	vh	32	16	5	
2016	B1		D33	344	Os	Radi	O. cuniculus	24	83		150	nwse	p	41	3	2	
2016	B1		D33	345	Os	Escàpula	O. cuniculus	32	78		150	nwse	se	25	10	7	Cremat
2016	B1		D33	346	Os	Tíbia	Lepo	29	71		152	nesw	p	26	7	2	
2016	B1		D33	347	Sílex	BP		40	74		150	ew	s	42	18	5	
2016	B1		D33	348	Os	Tíbia	Lepo	39	52		151	nwse	p	37	5	5	
2016	B1		D33	349	Calcària	Frag.Nat.		69	29		151	nesw	p	27	21	12	
2016	B1		D33	350	Os	Húmer	O. cuniculus	61	58		152	ew	e	36	6	5	
2016	B1		D33	351	Os	Tíbia	Lepo	52	60		151	ew	e	22	6	4	
2016	B1		D33	352	Os	Húmer	O. cuniculus	62	63		151			13	13	10	Coordenades aproximades
2016	B1		D33	353	Os	Tíbia	Lepo	77	72		149	nwse	p	50	12	8	
2016	B1		D33	354	Os	Tíbia	Lepo	87	55		149	nwse	se	22	6	3	
2016	B1		D33	355	Sílex	BP		75	54		150	nwse	nw	25	17	7	
2016	B1		D33	356	Sílex	BNC	G11	5	82		152	q	p	22	21	5	
2016	B1		D33	357	Sílex	BP		17	85		152			16	14	2	
2016	B1		D33	358	Os	Húmer	O. cuniculus	4	55		152	nwse	p	25	8	5	
2016	B1		D33	359	Os	Calcani	Lepo	45	58		151	nesw	p	24	9	6	
2016	B1		D33	360	Sílex	BP		44	63		151			11	6	3	
2016	B1		D33	361	Os	Húmer	O. cuniculus	44	70		149	ns	s	39	10	7	
2016	B1		D33	362	Os	Tíbia	Lepo	42	76		151			24	6	3	Coordenades aproximades
2016	B1		D33	363	Sílex	FBP		49	77		152			17	7	5	
2016	B1		D33	364	Os	Vèrtebra	Lepo	60	71		151			14	12	8	
2016	B1		D33	365	Os	Fèmur	Lepo	73	83		151			18	6	4	
2016	B1		D33	366	Os	Fíbula	Lepo	79	81		150	nwse	p	26	8	6	

2016	B1		D33	367	Os	Calcani	Lepo	90	85		149	ew	p	16	8	5	Cremat
2016	B1		D33	368	Os	Radi	O. cuniculus	47	64		152			20	7	4	Coordenades aproximades
2016	B1		D33	369	Calcària	Frag		12	2		155	nwse	vh	60	50	40	
2016	B1		D33	370	Os	Fèmur	Lepo	26	23		154	ew	e	60	7	5	
2016	B1		D33	371	Sílex	BNC	LD21	24	24		153			23	8	3	
2016	B1		D33	372	Os	Tíbia	O. cuniculus	46	62		152	nwse	p	20	10	6	
2016	B1		D33	373	Sílex	BP		64	12		151	nesw	ne	30	16	7	
2016	B1		D33	374	Os	Húmer	O. cuniculus	79	30		151	nesw	p	37	5	4	
2016	B1		D33	375	Sílex	BPF		74	40		152			14	10	2	Coordenades aproximades
2016	B1		D33	376	Os	Costella	Lepo	73	54		151	nwse	se	22	3	2	
2016	B1		D33	377	Os	Mandíbula	Lepo	89	59		150	nwse	p	22	20	6	
2016	B1		D33	378	Os	Llarg	Macro	97	52		150			28	10	7	
2016	B1		D33	379	Sílex	FBP		99	44		150	nwse	p	38	18	12	Hcl. Cremat
2016	B1		D33	380	Os	Ulna	O. cuniculus	88	37		151	ew	e	29	4	3	
2016	B1		D33	381	Os	Mandíbula	Lepo	97	31		150			22	16	6	Coordenades aproximades
2016	B1		D33	382	Sílex	RT		96	22		150			12	10	4	Coordenades aproximades
2016	B1		D33	383	Os	Húmer	O. cuniculus	98	9		148	nwse	p	30	5	4	
2016	B1		D33	384	Sílex	BP		76	3		151	ew	vh	27	25	11	Cremat
2016	B1		D33	385	Sílex	FBP		77	4		150	ew	s	20	12	6	
2016	B1		D33	386	Sílex	FBP		78	21		151	nesw	sw	28	9	6	
2016	B1		D33	387	Sílex	FBP		77	29		152			16	11	2	Coordenades aproximades. Cremat
2016	B1		D33	388	Sílex	FBP		84	23		151			15	10	3	
2016	B1		D33	389	Sílex	FBP		99	33		150	nwse	nw	26	16	9	
2016	B1		D33	390	Os	Fèmur	Lepo	22	24		154	ew	p	56	9	6	
2016	B1		D33	391	Os	Llarg	Macro	9	29		155	ew	p	38	11	7	
2016	B1		D33	392	Os	Coxal	Lepo	1	38		155	nwse	p	25	10	4	
2016	B1		D33	393	Os	Llarg	Macro	0	45		154	ns	s	43	11	4	
2016	B1		D33	394	Dent	Molar	Macro	10	46		154			16	9	2	Coordenades aproximades
2016	B1		D33	395	Sílex	FBP		14	41		154	ns	n	35	20	7	
2016	B1		D33	396	Os	Mandíbula	O. cuniculus	62	4		151			35	15	5	
2016	B1		D33	397	Os	Tíbia	Lepo	79	23		151	nesw	sw	30	4	4	
2016	B1		D33	398	Os	Fèmur	Macro	69	45		152	nwse	p	40	17	8	
2016	B1		D33	399	Os	Ulna	C. elaphus	71	66		151	nwse	se	55	18	8	
2016	B1		D33	400	Os	Llarg	Macro	79	78		151	nwse	p	32	13	7	
2016	B1		D33	401	Os	Maxil·lar	O. cuniculus	89	77		150			21	13	6	Coordenades aproximades
2016	B1		D33	402	Os	Hioides	C. elaphus	97	70		150			21	16	3	Coordenades aproximades
2016	B1		D33	403	Os	Escàpula	O. cuniculus	57	1		155	nwse	p	29	12	6	
2016	B1		D33	404	Carbó			10	54		154						
2016	B1		D33	405	Os	Mandíbula	O. cuniculus	17	45		155	nesw	p	21	11	4	
2016	B1		D33	406	Sílex	FBP		21	42		154	ns	w	22	14	7	Cremat
2016	B1		D33	407	Sílex	FBP		56	5		151			15	7	3	
2016	B1		D33	408	Os	Tíbia	Lepo	58	25		152	nwse	p	30	12	7	Mesures aproximades
2016	B1		D33	409	Os	Radi	O. cuniculus	59	51		152	nwse	se	37	4	3	
2016	B1		D33	410	Carbó			66	60		152						
2016	B1		D33	411	Sílex	BP		72	77		152	ns	s	27	10	8	Cremat
2016	B1		D33	412	Os	Tíbia	Lepo	78	81		151			22	6	4	
2016	B1		D33	413	Os	Crani	Lepo	88	82		150			18	12	11	Coordenades aproximades
2016	B1		D33	414	Sílex	BPF		93	63		151	q	s	20	20	6	
2016	B1		D33	415	Os	Tíbia	Lepo	75	1		155	ns	s	27	4	3	
2016	B1		D33	416	Sílex	FBP		6	60		155	nesw	se	16	10	4	Cremat
2016	B1		D33	417	Os	Húmer	O. cuniculus	76	1		155			7	6	5	Coordenades aproximades
2016	B1		D33	418	Sílex	FBP		20	82		154			25	19	10	

2016	B1		D33	419	Sílex	FBP		28	79		153			21	10	2	Coordenades aproximades. Cremat
2016	B1		D33	420	Os	Escàpula	O. cuniculus	27	72		152	nwse	se	20	9	7	
2016	B1		D33	421	Dent	P2 sup	C. capreolus	41	49		154	nesw	p	14	6	5	
2016	B1		D33	422	Sílex	BP		69	0		153	nwse	se	20	13	6	
2016	B1		D33	423	Os	Ulna	O. cuniculus	62	3		153			25	4	2	Cremat
2016	B1		D33	424	Os	Escàpula	O. cuniculus	52	4		153			16	12	6	
2016	B1		D33	425	Sílex	BNC	G12	55	9		154	ns	vh	20	18	4	
2016	B1		D33	426	Os	Pla	Macro	64	53		152	nwse	se	20	5	3	Cremat
2016	B1		D33	427	Sílex	BP		89	28		153	ew	s	45	28	15	
2016	B1		D33	428	Calcària	Frag.Nat.		32	82		154	nesw	sw	42	14	10	
2016	B1		D33	429	Os	Metatars	Lepo	43	61		154	ns	p	33	5	4	
2016	B1		D33	430	Sílex	BP		57	44		155	ns	p	24	13	5	
2016	B1		D33	431	Os	Tíbia	Lepo	85	86		151			40	6	4	Fragmentat
2016	B1		D33	432	Os	Fèmur	Lepo	91	84		151	ew	p	28	8	6	
2016	B1		D33	433	Os	Húmer	O. cuniculus	98	63		150	ns	p	35	14	12	
2016	B1		D33	434	Sílex	BPF		100	30		150	ns	s	43	18	6	
2016	B1		D33	435	Os	Fèmur	O. cuniculus	89	5		152	ew	e	38	9	6	
2016	B1		D33	436	Esquist	Frag		70	77		154	ew	w	40	20	7	
2016	B1		D33	437	Os	Tíbia	Lepo	82	82		153	ew	e	35	9	6	
2016	B1		D33	438	Os	Ulna	C. pyrenaica	90	74		153	nesw	sw	39	18	11	
2016	B1		D33	439	Os	Hioides	C. elaphus	94	65		152			25	17	5	
2016	B1		D33	440	Os	Calcani	Lepo	82	67		153			25	10	5	Coordenades aproximades
2016	B1		D33	441	Os	Llarg	Macro	79	63		154	ns	n	65	20	10	
2016	B1		D33	442	Os	Pla	Macro	20	37		156	nesw	sw	30	16	11	
2016	B1		D33	443	Sílex	FBP		67	68		155			20	12	6	Coordenades aproximades
2016	B1		D33	444	Os	Maxil·lar	O. cuniculus	83	67		153			20	10	4	Coordenades aproximades
2016	B1		D33	445	Os	Tíbia	Lepo	89	68		152			23	6	5	Coordenades aproximades
2016	B1		D33	446	Os	Húmer	Lepo	9	2		157	ew	p	32	6	4	
2016	B1		D33	447	Os	Tíbia	Lepo	21	2		155	nesw	sw	30	8	7	
2016	B1		D33	448	Os	Llarg	Macro	13	18		157	ew	p	55	14	7	
2016	B1		D33	449	Os	Calcani	Lepo	22	23		156	nesw	sw	22	10	7	
2016	B1		D33	450	Os	Tíbia	Lepo	25	15		157	nwse	nw	38	9	7	
2016	B1		D33	451	Os	Maxil·lar	O. cuniculus	26	6		155			18	10	6	
2016	B1		D33	452	Os	Radi	Lepo	75	44		153	ns	p	23	4	3	
2016	B1		D33	453	Os	Costella	Macro	67	59		155	ew	w	38	7	5	
2016	B1		D33	454	Os	Tíbia	Lepo	72	69		156			27	6	5	
2016	B1		D33	455	Sílex	FBP		78	71		154			13	12	3	Coordenades aproximades
2016	B1		D33	456	Os	Tíbia	Lepo	86	79		154	nesw	ne	38	8	5	
2016	B1		D33	457	Os	Costella	Macro	83	67		154			25	5	4	
2016	B1		D33	458	Os	Húmer	O. cuniculus	91	60		154			25	8	7	
2016	B1		D33	459	Os	Tíbia	Lepo	90	57		153	nwse	p	25	6	3	
2016	B1		D33	460	Sílex	BP		89	47		154	ew	vh	20	12	2	
2016	B1		D33	461	Os	Coxal	Lepo	96	35		153	nesw	ne	35	12	8	
2016	B1		D33	462	Sílex	BPF		33	19		157	nwse	p	32	25	18	Hcl. Cremat
2016	B1		D33	463	Sílex	BP		44	3		156	nwse	vh	23	15	2	
2016	B1		D33	464	Sílex	Frag.Nat.		98	4		153			22	15	13	
2016	B1		D33	465	Os	Tíbia	Lepo	81	5		154	ew	e	55	8	6	
2016	B1		D33	466	Os	Asta	C. elaphus	70	9		154	nesw	sw	30	11	7	
2016	B1		D33	467	Os	Fèmur	Lepo	80	8		155	ns	p	33	8	6	
2016	B1		D33	468	Sílex	FBP		100	4		153			18	10	5	Coordenades aproximades
2016	B1		D33	469	Os	Tíbia	Lepo	97	15		153			30	10	6	
2016	B1		D33	470	Os	Escàpula	O. cuniculus	88	17		153			13	8	8	Coordenades aproximades

2016	B1		D33	471	Os	Tíbia	O. cuniculus	74	16		154	ns	p	30	7	7	
2016	B1		D33	472	Os	Fèmur	Lepo	100	19		153			35	6	4	
2016	B1		D33	473	Os	Tíbia	Lepo	95	26		154	nwse	se	70	9	8	
2016	B1		D33	474	Os	Húmer	O. cuniculus	83	24		153	ns	p	39	8	7	
2016	B1		D33	475	Os	Cuboide	C. pyrenaica				145-150			25	22	18	Trobat al rentat
2016	B1		D33	476	Os	Metatars	S. scrofa				145-150			21	13	8	Trobat al rentat
2016	B1		D33	477	Sílex	BNC	BNC(F)				150-155			10	10	4	Trobat al rentat
2016	B1		D33	478	Sílex	BNC	BNC(F)				150-155			15	13	4	Trobat al rentat. Cremat
2016	B1		D33	479	Dent	I4 inf	C. elaphus				150-155			13	8	3	Trobat al rentat
2016	B1		D33	480	Sílex	BNC	G11				145-150			14	11	3	Trobat al rentat
2016	B1		D34	1	Conglomerat	Bloc		0	67	138	147	nwse	p	250	180	100	
2016	B1		D34	2	Os	Tíbia	Lepo	0	55		151			26	6	4	Coordenades aproximades
2016	B1		D34	3	Sílex	FBP		0	20		151	ew	vh	36	25	20	
2016	B1		D34	4	Os	Tíbia	Lepo	14	66		147			30	6	4	
2016	B1		D34	5	Sílex	BP		5	63		151			55	20	18	Coordenades aproximades
2016	B1		E29	1	Os	Llarg	Macro	17	96		165			30	10	6	
2016	B1		E29	2	Os	Mandíbula	O. cuniculus	70	93		164			26	15	5	
2016	B1		E29	3	Os	Coxal	Lepo	86	95		164			20	9	4	
2016	B1		E29	4	Os	Coxal	Lepo	89	97		163			20	11	6	
2016	B1		E29	5	Sílex	BP		96	87		163			18	15	2	
2016	B1		E29	6	Sílex	BNC	G11	94	76		165			26	26	9	Cremat
2016	B1		E29	7	Sílex	FBP		64	64		166	nesw	ne	39	25	8	Hcl. Cremat
2016	B1		E29	8	Sílex	FBP		70	64		166	ns	w	26	7	5	
2016	B1		E29	9	Sílex	FBP		79	87		164			17	5	3	Cremat
2016	B1		E29	10	Os	Mandíbula	Lepo	80	83		164			19	6	4	
2016	B1		E29	11	Esquist	Frag		80	47		166	nwse	se	46	38	14	
2016	B1		E29	12	Os	Ulna	O. cuniculus	96	18		166			10	8	3	
2016	B1		E29	13	Sílex	RT		76	60		166	ns	p	10	7	3	
2016	B1		E29	14	Sílex	FBP		87	66		166	nesw	sw	22	12	4	
2016	B1		E29	15	Os	Radi	O. cuniculus	93	67		166			24	4	3	
2016	B1		E29	16	Os	Ulna	Lepo	95	22		166	nwse	p	26	7	3	
2016	B1		E29	17	Sílex	BPF		72	29		167			24	10	6	Hcl. Cremat
2016	B1		E29	18	Os	Tíbia	Lepo	50	45		167	nesw		37	7	6	
2016	B1		E29	19	Os	Tíbia	Lepo	85	29		166			21	6	4	
2016	B1		E29	20	Os	Llarg	Lepo	83	24		167			21	4	3	
2016	B1		E29	21	Os	Llarg	Lepo	54	2		170			23	6	5	
2016	B1		E29	22	Os	Húmer	Lepo	51	14		169			18	6	5	
2016	B1		E29	23	Os	Llarg	Macro	57	25		168			21	3	3	
2016	B1		E29	24	Sílex	BP		54	43		168	ns	w	39	24	8	
2016	B1		E29	25	Sílex	BP		49	49		167	ew	n	35	13	4	
2016	B1		E29	26	Dent	M2 sup	C. pyrenaica	87	97		164	ew	nw	33	15	13	
2016	B1		E29	27	Sílex	BNC	G12	97	88		163	nwse	vh	28	23	7	
2016	B1		E29	28	Sílex	BP		60	82		165			15	13	5	
2016	B1		E29	29	Sílex	BP		61	68		168	nwse	nw	50	40	15	Hcl
2016	B1		E29	30	Os	Tíbia	Lepo	91	62		166	nwse	se	30	5	5	Cremat
2016	B1		E29	31	Sílex	BP		79	36		168	ew	n	27	12	4	Cremat
2016	B1		E29	32	Sílex	BP		75	32		169	ew	p	28	15	5	
2016	B1		E29	33	Sílex	BPF		28	5		170	nwse	nw	30	15	14	
2016	B1		E29	34	Os	Llarg	Macro	69	26		169	ew	sw	35	21	12	Cremat
2016	B1		E29	35	Sílex	BP		40	21		168	nesw	ne	16	12	3	
2016	B1		E29	36	Sílex	FBP		74	33		169	ew	p	24	8	5	
2016	B1		E29	37	Sílex	BP		25	82		167	ns	n	37	14	5	

2016	B1		E29	38	Sílex	BNC	D23	47	57		169	nesw	ne	70	22	13	
2016	B1		E29	39	Sílex	FBP		31	38		168	ew	ne	16	11	2	
2016	B1		E29	40	Sílex	BP		55	45		169	ns	p	32	16	4	
2016	B1		E29	41	Sílex	FBP		36	33		169	nesw	ne	17	15	6	Cremat
2016	B1		E29	42	Sílex	FBP		12	23		170	ns	sw	29	25	5	
2016	B1		E29	43	Sílex	BNC	D23	55	1		173	nesw	ne	65	45	15	
2016	B1		E29	44	Os	Coxal	Lepo	34	21		171			20	9	7	Coordenades aproximades
2016	B1		E29	45	Sílex	BNC	BNC(F)	26	30		170	nwse	n	33	28	15	
2016	B1		E29	46	Sílex	BP		39	45		171	nesw	ne	43	17	8	Cremat
2016	B1		E29	47	Sílex	BP		13	64		169	q	p	20	16	4	
2016	B1		E29	48	Sílex	FBP		79	7		171	ew	w	20	16	8	
2016	B1		E29	49	Os	Húmer	O. cuniculus	82	8		171			26	5	4	Coordenades aproximades
2016	B1		E29	50	Dent	I1 inf	Lepo	92	35		170			16	4	2	Coordenades aproximades
2016	B1		E29	51	Sílex	BNC	PD23	95	41		168	ew	sw	33	7	3	
2016	B1		E29	52	Os	Tíbia	Lepo	53	3		175	ns	s	35	6	5	
2016	B1		E29	53	Os	Fèmur	O. cuniculus	48	5		174	nwse	sw	25	10	7	
2016	B1		E29	54	Sílex	BNC	G22	40	17		174	ew	n	23	16	7	
2016	B1		E29	55	Sílex	FBP		13	27		173	ew	e	32	26	20	Hcl. Cremat
2016	B1		E29	56	Esquist	Frag		42	24		172	ns	se	120	80	20	
2016	B1		E29	57	Esquist	Frag		25	26		173	nesw	nw	85	75	20	
2016	B1		E29	58	Os	Llarg	Macro	99	94		165	nwse	se	60	18	4	
2016	B1		E29	59	Os	Fèmur	Macro	93	88		165	nwse	p	26	15	7	
2016	B1		E29	60	Os	Falange	Lepo	98	73		166			15	4	3	Coordenades aproximades
2016	B1		E29	61	Os	Tíbia	Lepo	94	68		167			16	6	3	Coordenades aproximades
2016	B1		E29	62	Os	Fèmur	Lepo	76	74		167			28	6	5	Coordenades aproximades
2016	B1		E29	63	Sílex	RT		31	14		177	nwse	p	12	7	5	Cremat
2016	B1		E29	64	Sílex	BNC	D21	33	18		177	nesw	vh	55	29	5	
2016	B1		E29	65	Sílex	FBP		92	13		175			20	10	4	Coordenades aproximades
2016	B1		E29	66	Sílex	BNC	D23	99	16		176	ns	n	35	26	13	Cremat
2016	B1		E29	67	Os	Fèmur	Lepo	98	20		174			20	5	4	Coordenades aproximades
2016	B1		E29	68	Os	Fèmur	Lepo	84	32		174	ew	p	26	11	4	
2016	B1		E29	69	Os	Tíbia	Lepo	90	47		172	nesw	p	21	5	4	
2016	B1		E29	70	Os	Fèmur	Lepo	98	53		171	ns	w	32	5	3	
2016	B1		E29	71	Sílex	BP		76	79		167	ew	n	26	18	15	
2016	B1		E29	72	Os	Falange	Aves	98	14		175			6	1	1	Coordenades aproximades
2016	B1		E29	73	Os	Tíbia	Lepo	57	27		173			16	7	5	Coordenades aproximades
2016	B1		E29	74	Sílex	BP		41	33		174	ns	n	56	29	11	Hcl
2016	B1		E29	75	Esquist	Frag		38	28		174	ns	n	55	36	12	
2016	B1		E29	76	Sílex	FBP		43	17		176	nesw		29	23	14	
2016	B1		E29	77	Os	Tíbia	Lepo	39	40		173			27	6	4	
2016	B1		E29	78	Os	Mandíbula	O. cuniculus	27	21		175	ns		37	14	7	
2016	B1		E29	79	Sílex	FBP		31	34		174	nesw	sw	17	11	3	Cremat
2016	B1		E29	80	Os	Fèmur	Lepo	74	32		174	nwse	se	19	7	5	
2016	B1		E29	81	Sílex	BPF		61	28		173	ns		72	54	21	Hcl. Cremat
2016	B1		E29	82	Os	Tíbia	Lepo	29	38		175	nesw	sw	25	3	3	
2016	B1		E29	83	Os	Radi	O. cuniculus	45	39		174			21	4	3	
2016	B1		E29	84	Gres	Bn		90	18	170	174			130	110	25	
2016	B1		E29	85	Os	Tmt	Phasianidae	76	9		176	ns		24	5	5	
2016	B1		E29	86	Os	I3 inf	C. elaphus	83	15		177	ew		23	7	5	
2016	B1		E29	87	Sílex	BP		50	55		175	nesw	sw	28	15	4	
2016	B1		E29	88	Sílex	BPF		68	22		173	nesw	sw	28	9	4	
2016	B1		E29	89	Os	Tíbia	Lepo	19	89		176	nwse		21	6	4	

2016	B1		E29	90	Os	Fèmur	Lepo	78	22		175	nwse	se	23	7	5	
2016	B1		E29	91	Os	Tibia	Lepo	83	28		177	nwse	nw	31	7	6	
2016	B1		E29	92	Esquist	Frag		67	35		177	nesw	sw	55	33	8	
2016	B1		E29	93	Sílex	BPF		58	79		171	nwse	sw	20	14	4	
2016	B1		E29	94	Sílex	FBP		56	89		170	ns	s	18	7	2	Cremat
2016	B1		E29	95	Sílex	Frag.Nat.		84	57		172	nwse	nw	18	12	11	
2016	B1		E29	96	Os	Tibia	Lepo	87	95		168	ew	w	27	6	3	
2016	B1		E29	97	Sílex	FBP		85	84		170	nwse	nw	31	13	9	
2016	B1		E29	98	Os	Tibia	Lepo	76	66		174	nesw	p	65	10	7	Coordenades aproximades
2016	B1		E29	99	Sílex	BP		97	26		177	ns	s	37	25	8	
2016	B1		E29	100	Os	Tibia	Lepo	46	5		181	ns	p	47	8	5	
2016	B1		E29	101	Os	Tibia	Lepo	30	8		178	ns	p	30	9	6	
2016	B1		E29	102	Os	Mandíbula	Lepo	51	42		172	ew	vh	50	18	6	
2016	B1		E29	103	Os	Falange	C. elaphus	10	70		177	nwse	se	42	25	22	
2016	B1		E29	104	Sílex	BNC	Sind	0	7		174	ew	p	35	25	6	
2016	B1		E29	105	Os	Llarg	Macro	0	26		171	ns	p	32	9	5	
2016	B1		E29	106	Sílex	BP					175-180			43	25	11	Trobat al rentat. Hcl
2016	B1		E29	107	Os	Falange	C. elaphus				175-180			37	19	18	Trobat al rentat
2016	B1		E29	108	Sílex	BNC	G11				175-180			19	9	2	Trobat al rentat
2016	B1		E30	1	Os	Articular	Macro	29	94		163	nwse	p	20	5	3	
2016	B1		E30	2	Esquist	Frag.Nat.		7	80		163	ns	p	25	10	9	
2016	B1		E30	3	Sílex	RT		21	79		163		e	12	7	6	
2016	B1		E30	4	Sílex	BP		11	65		164	ns	p	11	7	3	
2016	B1		E30	5	Os	Húmer	O. cuniculus	43	38		163		p	10	8	3	
2016	B1		E30	6	Os	Metatars	Lepo	48	38		163			23	5	2	
2016	B1		E30	7	Os	Esternon	Aves	37	70		163	nesw	p	21	10	6	
2016	B1		E30	8	Sílex	BNC	T21	8	57		164	ew	w	26	21	7	Hcl
2016	B1		E30	9	Sílex	BP		18	54		162			45	26	18	Cremat
2016	B1		E30	10	Sílex	BP		17	58		165			21	16	6	
2016	B1		E30	11	Os	Falange	Lepo	6	32		164			10	2	1	
2016	B1		E30	12	Os			13	50		163		v	23	15	6	
2016	B1		E30	13	Sílex	BNC	G11	6	64		165	ew	p	24	22	3	
2016	B1		E30	14	Sílex	FBP		14	52		164	nwse	p	25	18	6	
2016	B1		E30	15	Os	Llarg	Lepo	24	31		165	ew	w	22	10	3	
2016	B1		E30	16	Sílex	BPF		24	30		165	ew	w	21	6	4	
2016	B1		E30	17	Sílex	BPF		32	36		164	ns	p	32	24	16	
2016	B1		E30	18	Os	Húmer	O. cuniculus	8	7		166	nesw	p	30	9	4	
2016	B1		E30	19	Os	Calcani	Lepo	61	5		165			22	5	5	Coordenades aproximades
2016	B1		E30	20	Os	Fèmur	Lepo	59	22		164	ns	p	26	6	5	
2016	B1		E30	21	Os	Fèmur	Lepo	74	48		164	ns	p	22	6	1	
2016	B1		E30	22	Os	Llarg	Lepo	97	5		165			23			Coordenades aproximades
2016	B1		E30	23	Esquist	Frag		16	17	159	167	ew	s	150	90	68	
2016	B1		E30	24	Os	Llarg	Macro	48	3		166	ns	n	35	17	5	
2016	B1		E30	25	Os	Mandíbula	O. cuniculus	54	2		166			45	18	6	Coordenades aproximades
2016	B1		E30	26	Os	Tibia	Lepo	55	8		167			20	8	6	
2016	B1		E30	27	Os	Llarg	Macro	59	9		166	ew	p	32	16	10	
2016	B1		E30	28	Sílex	BP		72	11		167	nwse	ne	67	52	16	
2016	B1		E30	29	Sílex	BP		77	10		165			14	10	2	
2016	B1		E30	30	Sílex	BP		6	42		166	ew	p	65	50	11	
2016	B1		E30	31	Os	Fèmur	Lepo	43	6		162			33	7	6	Fragmentat
2016	B1		E30	32	Os	Coxal	Lepo	96	9		165			18	9	8	
2016	B1		E30	33	Sílex	FBP		96	48		164	nesw	nw	54	40	22	Hcl

2016	B1		E30	34	Os	Mandíbula	Lepo	69	33		164			16	8	3	
2016	B1		E30	35	Os	Fèmur	Lepo	70	37		163	ew	p	22	3	2	
2016	B1		E30	36	Os	Falange	Lepo	71	52		163	nwse	n	20	5	2	
2016	B1		E30	37	Carbó			63	44		164			20	10	5	Coordenades aproximades
2016	B1		E30	38	Sílex	BP		74	49		163	ew	n	31	19	8	Cremat
2016	B1		E30	39	Sílex	FBP		71	40		163			12	10	2	Coordenades aproximades
2016	B1		E30	40	Os	Llarg	Lepo	70	56		162	ew	p	30	9	5	Coordenades aproximades
2016	B1		E30	41	Os	Mandíbula	O. cuniculus	47	31		165	ns	vh	35	19	4	
2016	B1		E30	42	Os	Maxil·lar	O. cuniculus	67	31		165			22	13	11	Coordenades aproximades
2016	B1		E30	43	Os	Astràgal	O. cuniculus	33	74		165			12	6	3	Coordenades aproximades
2016	B1		E30	44	Os	Radi	O. cuniculus	45	60		164	nesw	p	25	7	3	
2016	B1		E30	45	Sílex	BP		76	70		163			22	18	10	Coordenades aproximades. Cremat
2016	B1		E30	46	Os	Tíbia	Lepo	71	45		164	nwse	p	35	8	2	
2016	B1		E30	47	Os	Tíbia	Lepo	80	62		164			21	9	5	
2016	B1		E30	48	Os	Falange	Lepo	76	94		164			16	3	2	Coordenades aproximades
2016	B1		E30	49	Os	Llarg	Macro	76	78		163			50	11	4	
2016	B1		E30	50	Sílex	BNC	D21-D23	73	30		164	ns	p	60	40	15	
2016	B1		E30	51	Sílex	RT		60	78		164			11	6	4	
2016	B1		E30	52	Calcària	Frag.Nat.		65	88		162			11	11	4	
2016	B1		E30	53	Sílex	FBP		4	96		164	ew	vh	29	20	10	
2016	B1		E30	54	Os	Tíbia	Lepo	25	98		164			24	11	6	
2016	B1		E30	55	Sílex	FBP		65	99		163	ns	p	22	9	5	
2016	B1		E30	56	Os	Tíbia	Lepo	76	90		162			30	8	5	Coordenades aproximades
2016	B1		E30	57	Os	Coxal	Macro	63	23		165			21	20	5	
2016	B1		E30	58	Sílex	BP		40	90		164	ew	n	23	15	5	Cremat
2016	B1		E30	59	Sílex	RT		42	78		163	ew	p	10	7	2	
2016	B1		E30	60	Esquist	Frag.Nat.		52	60		164			22	18	3	
2016	B1		E30	61	Calcària	Frag.Nat.		50	62		164			11	10	5	
2016	B1		E30	62	Os	Tíbia	Lepo	23	69		165	nwse	p	38	5	4	
2016	B1		E30	63	Calcària	Bloc		19	86	161	164	ew	p	76	65	27	
2016	B1		E30	64	Sílex	BNC	BNC(F)	44	39		164			21	10	5	
2016	B1		E30	65	Sílex	BNC	D24	90	8		167			28	25	6	Hcl
2016	B1		E30	66	Os	Húmer	Lepo	94	10		167	ew	p	23	5	4	
2016	B1		E30	67	Os	Calcani	Lepo	84	5		167	ns	p	22	8	6	
2016	B1		E30	68	Os	Tíbia	Lepo	81	14		166	ew	p	21	7	3	
2016	B1		E30	69	Sílex	BP		32	2		170	ns	e	35	25	4	
2016	B1		E30	70	Sílex	BNC	G21	12	35		168	ns	n	20	10	4	Hcl. Cremat
2016	B1		E30	71	Calcària	BP		31	17		169	ns	w	38	26	10	
2016	B1		E30	72	Sílex	BP		63	51		164	ns	n	24	12	2	
2016	B1		E30	73	Os	Tíbia	Lepo	42	98		164	ns	s	29	7	5	
2016	B1		E30	74	Sílex	BNP		47	97		166	nesw	s	41	33	20	Dins bioturbació
2016	B1		E30	75	Os	Tmt	Phasianidae	71	95		165	ew	p	28	6	4	Dins bioturbació
2016	B1		E30	76	Sílex	FBP		83	71		166			20	19	15	Dins bioturbació. Cremat
2016	B1		E30	77	Sílex	FBP		97	79		165	ns	sw	45	32	19	Hcl. Cremat
2016	B1		E30	78	Os	Húmer	O. cuniculus	9	85		164	ns	p	26	5	5	
2016	B1		E30	79	Os	Tibiotarsus	Phasianidae	16	82		166	nwse	p	52	5	5	
2016	B1		E30	80	Sílex	FBP		13	74		166	ew	n	40	25	6	Remonta amb E30/82
2016	B1		E30	81	Os	Coxal	Lepo	35	90		164	nwse	p	21	12	9	
2016	B1		E30	82	Sílex	FBP		14	73		166			23	12	7	Coordenades aproximades
2016	B1		E30	83	Os	Húmer	Lepo	58	92		165	ns	p	25	5	3	
2016	B1		E30	84	Sílex	RT		45	79		165			10	6	1	
2016	B1		E30	85	Esquist	Frag		72	7	167	168	nwse	p	105	50	7	

2016	B1		E30	86	Os	Mandíbula	O. cuniculus	61	14		168			25	15	4	
2016	B1		E30	87	Os	Tíbia	Lepo	46	23		167			27	6	3	Coordenades aproximades
2016	B1		E30	88	Sílex	FBP		54	44		165	ew	p	18	8	2	Coordenades aproximades
2016	B1		E30	89	Os	Falange	Lepo	58	29		167			19	4	2	
2016	B1		E30	90	Os	Tíbia	Macro	75	18		168	ew	p	22	11	3	
2016	B1		E30	91	Os	Metatars	Lepo	8	45		168			21	5	3	Coordenades aproximades
2016	B1		E30	92	Os	Tíbia	Lepo	13	44		167			26	7	2	Coordenades aproximades
2016	B1		E30	93	Os	Tibiotarsus	Aves	28	37		168			22	5	2	
2016	B1		E30	94	Os	Costella	Macro	30	20		168	ns	ne	20	11	5	
2016	B1		E30	95	Os	Llarg	Macro	69	7		170	ns	p	28	5	2	
2016	B1		E30	96	Os	Ulna	Lepo	76	18		169	ns	p	29	6	4	
2016	B1		E30	97	Os	Coxal	O. cuniculus	77	19		168	ew	p	35	12	6	
2016	B1		E30	98	Os	Tíbia	Lepo	68	35		168	ns	p	24	6	4	
2016	B1		E30	99	Sílex	FBP		88	10		171			35	25	9	
2016	B1		E30	100	Sílex	BP		94	10		171			30	20	5	
2016	B1		E30	101	Os	Llarg	Macro	95	40		168			28	10	6	
2016	B1		E30	102	Os	Mandíbula	O. cuniculus	95	69		166	ns	p	27	7	5	
2016	B1		E30	103	Sílex	BP		76	89		165	nwse	s	16	9	4	
2016	B1		E30	104	Os	Fèmur	Lepo	59	86		165			24	7	2	
2016	B1		E30	105	Os	Coxal	Lepo	46	81		165						Fragmentat
2016	B1		E30	106	Sílex	BNC	LD21	49	48		166	ew	n	17	7	3	Hcl
2016	B1		E30	107	Os	Fèmur	Lepo	29	65		167	ew	e	25	6	5	
2016	B1		E30	108	Os	Radi	C. pyrenaica	10	4		173	ns	s	40	20	15	
2016	B1		E30	109	Os	Tíbia	Lepo	9	44		168	ns	p	22	6	3	
2016	B1		E30	110	Sílex	BP		70	24		169	ew	vh	52	35	16	
2016	B1		E30	111	Os	Tíbia	Lepo	77	24		169	ew	e	90	8	4	
2016	B1		E30	112	Sílex	BNP		50	17		170	ew	p	50	35	32	Hcl
2016	B1		E30	113	Sílex	BPF		8	56		168	ns	p	15	9	2	
2016	B1		E30	114	Os	Escàpula	O. cuniculus	58	14		171	nesw	p	26	14	8	
2016	B1		E30	115	Sílex	BNC	G11	64	20		170	nwse	vh	44	16	13	Hcl. Cremat
2016	B1		E30	116	Os	Mandíbula	O. cuniculus	74	45		167	ns	vh	45	20	10	
2016	B1		E30	117	Calcària	Frag		84	36	165	169	nwse	p	64	55	36	
2016	B1		E30	118	Os	Tíbia	Lepo	72	8		171	nwse	p	57	7	6	
2016	B1		E30	119	Sílex	FBP		85	8		171	ew	e	36	21	8	Cremat
2016	B1		E30	120	Esquist	Frag		70	14		169	ns	p	60	43	13	
2016	B1		E30	121	Os	Llarg	Macro	74	61		169	ns	p	60	23	6	
2016	B1		E30	122	Os	Escàpula	Lepo	74	26		170	ns	p	27	12	5	
2016	B1		E30	123	Os	Tíbia	Lepo	65	16		171	ns	p	45	7	6	
2016	B1		E30	124	Calcària	Bn		72	57		169	q	v	70	50	46	
2016	B1		E30	125	Sílex	BNC	D23	35	88		166	nwse	p	27	24	6	Cremat
2016	B1		E30	126	Sílex	BPF		36	83		166	nesw	p	26	10	6	Cremat
2016	B1		E30	127	Calcària	Frag.Nat.		53	61		166	nwse	ne	17	11	3	
2016	B1		E30	128	Sílex	BNC	BNC(F)	40	59		168	ew	p	13	6	2	
2016	B1		E30	129	Os	Coxal	O. cuniculus	43	33		166	nwse	p	26	12	9	
2016	B1		E30	130	Conglomerat	Bloc		11	70	166	169	nesw	p	100	60	30	
2016	B1		E30	131	Conglomerat	Bloc		37	60	167	169	q	p	100	60	20	
2016	B1		E30	132	Sílex	BP		95	28		170	nwse	sw	51	44	10	
2016	B1		E30	133	Sílex	BP		28	12		173	nwse	p	38	16	8	Dins bioturbació. Cremat
2016	B1		E30	134	Os	Costella	Macro	39	11		173	ns	nw	24	5	4	
2016	B1		E30	135	Os	Metatars	Lepo	73	20		171			25	5	4	Coordenades aproximades
2016	B1		E30	136	Os	Falange	Lepo	75	20		171			17	4	3	Coordenades aproximades
2016	B1		E30	137	Calcària	Frag		46	21		171	nwse	sw	57	40	22	

2016	B1		E30	138	Sílex	FBP		22	13		173	ew	vh	35	12	7	Creemat
2016	B1		E30	139	Sílex	FBP		75	45		168	ns	p	25	23	10	Creemat
2016	B1		E30	140	Sílex	BPF		78	40		169	ns	sw	24	12	5	
2016	B1		E30	141	Os	Falange	Lepo	15	1		172			15	3	2	
2016	B1		E30	142	Sílex	BPF		36	15		174	q	s	16	14	1	
2016	B1		E30	143	Os	Escàpula	Lepo	90	45		169			20	10	6	
2016	B1		E30	144	Os	Mandíbula	O. cuniculus	73	48		168	nesw	p	26	15	4	
2016	B1		E30	145	Os	Fèmur	Lepo	60	51		168	nesw	p	24	8	4	
2016	B1		E30	146	Os	Tíbia	O. cuniculus	22	48		169	nesw	ne	76	6	4	
2016	B1		E30	147	Gres	Bn		26	35	168	171	nwse	nw	100	80	15	
2016	B1		E30	148	Os	Tíbia	C. pyrenaica	97	1		175	nesw	vh	45	15	9	
2016	B1		E30	149	Sílex	FBP		68	1		175	ns	p	20	15	4	
2016	B1		E30	150	Os	Radi	C. pyrenaica	90	26		173	ew	sw	28	8	3	
2016	B1		E30	151	Os	Radi	C. elaphus	68	38		171	nesw	p	88	19	10	
2016	B1		E30	152	Os	Radi	C. pyrenaica	9	55		169	ns	s	74	9	5	
2016	B1		E30	153	Sílex	BNC	G11	5	66		167	ew	p	30	25	5	Hcl
2016	B1		E30	154	Sílex	FBP		38	84		167	ew	p	30	20	5	Creemat
2016	B1		E30	155	Sílex	BP		55	64		168	ns	p	40	31	12	
2016	B1		E30	156	Os	Tíbia	Lepo	5	92		166	nwse	nw	32	8	5	
2016	B1		E30	157	Sílex	BNC	PD23	49	61		168			35	7	4	Coordenades aproximades
2016	B1		E30	158	Os	Fèmur	Lepo	50	56		169			24	7	6	Coordenades aproximades
2016	B1		E30	159	Os	Llarg	Macro	93	61		170			25	19	6	Coordenades aproximades
2016	B1		E30	160	Esquist	Frag		52	32		171	nwse	vh	75	50	10	
2016	B1		E30	161	Sílex	FBP		86	25		171	ew	p	40	35	25	Hcl. Creemat
2016	B1		E30	162	Os	Mandíbula	O. cuniculus	18	21		172	nwse	vh	21	15	5	
2016	B1		E30	163	Sílex	FBP		36	39		170	ew	n	35	18	6	Hcl
2016	B1		E30	164	Sílex	FBP		60	29		173	ew	vh	11	9	3	
2016	B1		E30	165	Sílex	BPF		63	28		173	nwse	vh	15	9	4	
2016	B1		E30	166	Os	Llarg	Macro	16	79		175	ns	vh	40	25	3	
2016	B1		E30	167	Sílex	FBP		31	92		175	nesw	p	20	16	10	
2016	B1		E30	168	Calcària	Frag.Nat.		83	35		172	ns	s	31	15	12	
2016	B1		E30	169	Sílex	BPF		72	24		171	ew	s	12	11	2	Creemat
2016	B1		E30	170	Sílex	BP		70	33		171	ns	s	26	12	3	
2016	B1		E30	171	Sílex	BNC	D22	15	47		170	ns	w	16	13	3	Hcl
2016	B1		E30	172	Calcària	Bloc		97	26		175	ew	s	75	55	13	
2016	B1		E30	173	Calcària	FBP		95	88		166	ns	s	32	13	10	
2016	B1		E30	174	Sílex	BP		89	67		166	nwse	s	65	23	9	
2016	B1		E30	175	Os	Mandíbula	O. cuniculus	64	65		168	ns	p	36	16	7	
2016	B1		E30	176	Os	Fèmur	Lepo	67	85		168	ns	n	29	7	4	Creemat
2016	B1		E30	177	Os	Tíbia	Lepo	78	50		170	ns	s	22	6	4	
2016	B1		E30	178	Sílex	BP		12	40		169	nesw	p	25	15	4	
2016	B1		E30	179	Os	Mandíbula	O. cuniculus	41	52		170	ns	e	24	16	3	
2016	B1		E30	180	Os	Llarg	Lepo	24	42		172	ns	p	21	5	2	
2016	B1		E30	181	Sílex	FBP		43	8		177	ew	p	50	25	12	
2016	B1		E30	182	Os	Metacarp	Lepo	49	35		172			20	3	2	
2016	B1		E30	183	Os	Tíbia	Lepo	57	13		176			25	7	5	
2016	B1		E30	184	Sílex	FBP		68	4		177	nwse	ne	43	32	5	Creemat
2016	B1		E30	185	Os	Tíbia	Lepo	69	10		176	nesw	p	23	6	5	
2016	B1		E30	186	Os	Fèmur	C. pyrenaica	79	9		176	ns	p	67	19	9	
2016	B1		E30	187	Os	Calcani	Lepo	83	17		176			22	7	5	Coordenades aproximades
2016	B1		E30	188	Os	Radi	Lepo	99	22		176	nesw	sw	23	3	2	
2016	B1		E30	189	Os	Coxal	O. cuniculus	30	98		166	nwse	se	42	12	4	

2016	B1		E30	190	Os	Metatars	C. elaphus	20	30			172				20	16	2	Coordenades aproximades
2016	B1		E30	191	Sílex	BNC	G21	96	5			178	ns	n		30	17	7	
2016	B1		E30	192	Sílex	FBP		80	19			176	ew	s		17	10	5	Creemat
2016	B1		E30	193	Sílex	BP		85	20			176				10	6	2	
2016	B1		E30	194	Os	Escàpula	Lepo	83	25			174	q	s		26	20	1	
2016	B1		E30	195	Os	Tíbia	Lepo	95	34			174	nesw	p		36	5	4	
2016	B1		E30	196	Sílex	FBP		84	52			170	nwse	se		30	26	2	
2016	B1		E30	197	Os	Fèmur	Lepo	64	36			174				20	5	4	
2016	B1		E30	198	Conglomerat	Bloc		11	23	166		175	ns	s		210	130	90	
2016	B1		E30	199	Calcària	Bn		23	25	169		175	ew	w		110	90	50	
2016	B1		E30	200	Gres	Bloc		34	31	168		174	q	n		116	115	20	
2016	B1		E30	201	Os	Falange	C. elaphus	82	10			178	nesw	sw		35	16	15	
2016	B1		E30	202	Os	Tíbia	Lepo	68	29			175	nesw	p		25	6	2	
2016	B1		E30	203	Os	Tíbia	Lepo	96	29			178	ns	p		25	5	2	
2016	B1		E30	204	Os	Calcani	Lepo	97	43			173				20	10	6	
2016	B1		E30	205	Sílex	FBP		92	46			174				28	20	14	Creemat
2016	B1		E30	206	Calcària	Frag.Nat.		83	32			175	nesw	sw		60	20	15	
2016	B1		E30	207	Carbó			88	19			178							
2016	B1		E30	208	Sílex	BP		46	92			171	nesw			37	20	7	
2016	B1		E30	209	Sílex	BNP		58	87			170	ns	vh		33	30	22	Hcl
2016	B1		E30	210	Sílex	FBP		63	86			170	nwse			34	18	10	
2016	B1		E30	211	Sílex	BNC	G21	90	99			166	ew			30	20	5	
2016	B1		E30	212	Carbó			80	79			168							
2016	B1		E30	213	Carbó			92	96			170							
2016	B1		E30	214	Os	Escàpula	O. cuniculus	52	68			169	nwse	nw		23	11	8	
2016	B1		E30	215	Sílex	FBP		61	72			168	nesw	p		16	14	6	Creemat
2016	B1		E30	216	Sílex	FBP		16	76			168	nesw	p		25	17	3	
2016	B1		E30	217	Os	Ulna	O. cuniculus	36	56			167	ns	n		21	4	2	
2016	B1		E30	218	Os			87	3			177	ns	n		28	10	7	
2016	B1		E30	219	Os	Radi	O. cuniculus	90	70			171				24	8	4	Coordenades aproximades
2016	B1		E30	220	Os	Metatars	Lepo	95	72			170				21	5	4	Coordenades aproximades
2016	B1		E30	221	Sílex	BNC	D23					165-170				36	26	17	Trobat al rentat
2016	B1		E30	222	Sílex	BNC	G11					170-175				19	17	9	Trobat al rentat. Hcl
2016	B1		E30	223	Sílex	BP						175-180				34	26	10	Trobat al rentat
2016	B1		E30	224	Sílex	BNC	LD21					160-165				19	3	2	Trobat al rentat
2016	B1		E31	1	Sílex	FBP		96	62			155	nwse	p		18	10	2	
2016	B1		E31	2	Sílex	FBP		78	74			156	ns	n		22	17	7	Creemat
2016	B1		E31	3	Os	Fèmur	Lepo	69	81			157	nwse	p		38	8	7	
2016	B1		E31	4	Os	Húmer	Phasianidae	58	70			156	ew	p		24	5	3	
2016	B1		E31	5	Sílex	BP		92	97			153	q	s		16	15	3	
2016	B1		E31	6	Sílex	BPF		81	75			156	ns	p		15	14	5	
2016	B1		E31	7	Sílex	BNC	G11	53	65			157	nwse	nw		29	12	5	
2016	B1		E31	8	Os	Llarg	Macro	50	69			156	nwse	nw		40	9	6	
2016	B1		E31	9	Os	Coxal	Lepo	78	92			154	nwse	p		35	10	5	
2016	B1		E31	10	Sílex	FBP		57	85			157	nesw	p		22	20	7	
2016	B1		E31	11	Os	Tíbia	Lepo	88	73			156	nwse	p		51	8	6	
2016	B1		E31	12	Calcària	Bloc		94	83	152		157	ns	p		83	61	38	
2016	B1		E31	13	Calcària	Bn		86	68	153		159	q	s		90	89	50	
2016	B1		E31	14	Os	Fèmur	Lepo	79	73			158	ns	s		40	5	3	
2016	B1		E31	15	Os	Mandíbula	O. cuniculus	55	78			158	ns	vh		40	16	6	
2016	B1		E31	16	Sílex	BP		47	92			159	ew	p		31	22	5	Hcl
2016	B1		E31	17	Sílex	FBP		48	92			159				10	9	2	

2016	B1		E31	18	Sílex	FBP		50	92		159			24	20	9	
2016	B1		E31	19	Sílex	FBP		49	94		159	ns	n	29	18	9	
2016	B1		E31	20	Sílex	BP		60	98		159	nesw	sw	41	15	6	
2016	B1		E31	21	Sílex	FBP		88	96		157	ns	p	31	21	10	Cremat
2016	B1		E31	22	Os	Fèmur	Lepo	32	71		160	ew	p	39	6	5	
2016	B1		E31	23	Esquist	BP		25	75		163	nwse	vh	60	31	7	
2016	B1		E31	24	Os			96	85		159	nesw	sw	45	7	5	
2016	B1		E31	25	Calcària	Bloc		90	84	154	160	nesw	p	80	65	50	Cremat
2016	B1		E31	26	Calcària			37	79	157	160	ns	p	115	80	30	
2016	B1		E31	27	Os	Húmer	Lepo	47	70		161			22	6	5	Coordenades aproximades
2016	B1		E31	28	Sílex	BP		4	15		165	q	p	26	25	8	
2016	B1		E31	29	Os	Llarg	Lepo	1	8		167			21	5	3	Coordenades aproximades
2016	B1		E31	30	Sílex	FBP		11	57		162	q	p	23	21	4	Cremat
2016	B1		E31	31	Os	I3 inf	S. scrofa	10	22		166	nesw	p	31	5	4	
2016	B1		E31	32	Os	Llarg	Macro	2	54		164	ew	vh	28	19	4	
2016	B1		E31	33	Os	Húmer	Lepo	5	58		163			31	4	3	Coordenades aproximades
2016	B1		E31	34	Os	Tíbia	Lepo	7	70		165			24	7	4	Coordenades aproximades
2016	B1		E31	35	Os	Coxal	O. cuniculus	1	49		164			18	11	10	Coordenades aproximades
2016	B1		E31	36	Os	Crani	Macro	3	55		164			28	15	14	Coordenades aproximades
2016	B1		E31	37	Calcària	Frag.Nat.		3	84		163	nwse	p	66	33	15	
2016	B1		E31	38	Os	Tíbia	O. cuniculus	9	29		168	nesw	p	43	7	5	
2016	B1		E31	39	Sílex	BNC	G11	6	42		165	nesw	p	27	21	7	Cremat
2016	B1		E31	40	Sílex	FBP		8	55		165	ns	p	31	25	5	Cremat
2016	B1		E31	41	Os	Llarg	Macro	3	54		165	nwse	p	32	16	4	
2016	B1		E31	42	Sílex	FBP		14	3		170	nesw	ne	34	15	13	
2016	B1		E31	43	Sílex	BP		10	97		161	nwse	nw	20	16	9	
2016	B1		E31	45	Os	Llarg	Macro	89	98		158	nwse	nw	29	12	2	
2016	B1		E31	46	Sílex	BNC	D21	6	27		171	ew	e	38	31	8	
2016	B1		E31	47	Sílex	FBP		9	52		167	ns	se	27	15	5	
2016	B1		E31	48	Os	Llarg	Macro	2	24		171			34	8	5	
2016	B1		E31	49	Os	Tíbia	Lepo	6	47		171			20	8	7	Coordenades aproximades
2016	B1		E31	50	Os	Tíbia	Lepo	2	13		174			25	8	7	Coordenades aproximades
2016	B1		E31	51	Os	Mandíbula	O. cuniculus	3	20		174	nesw	se	35	16	7	
2016	B1		E31	52	Os	Tíbia	O. cuniculus	4	51		169			33	8	6	Coordenades aproximades
2016	B1		E31	53	Sílex	BP		6	60		169	ew	nw	55	36	21	
2016	B1		E31	54	Os	Ulna	O. cuniculus	49	81		160			25	10	6	Coordenades aproximades
2016	B1		E31	55	Os	Tíbia	Lepo	4	86		167	nwse	p	36	11	7	
2016	B1		E31	56	Os	Tíbia	Macro	28	83		164	ew	v	82	13	10	
2016	B1		E31	57	Sílex	BP		30	96		163	nesw	se	32	22	7	
2016	B1		E31	58	Calcària	Frag		62	62	158	163	ew	s	95	54	35	
2016	B1		E31	59	Os	Húmer	Lepo	46	66		163			22	6	5	
2016	B1		E31	60	Ocre			3	19		175						
2016	B1		E31	61	Os	Costella	Macro	19	30		172	ew	p	61	12	9	
2016	B1		E31	62	Os	Falange	Lepo	6	72		169	ew	p	13	3	2	
2016	B1		E31	63	Sílex	BNC	G11	10	82		168	nesw	sw	39	14	7	Cremat
2016	B1		E31	64	Os	Falange	Lepo	26	83		167	nwse	p	16	5	4	
2016	B1		E31	65	Sílex	FBP		2	3		178	ns	n	29	8	5	
2016	B1		E31	66	Os	Húmer	Lepo	2	20		175	nwse	nw	30	5	3	
2016	B1		E31	67	Sílex	BP		10	25		174	ns	s	17	7	5	
2016	B1		E31	68	Os	Fèmur	Lepo	6	32		175	ns	p	56	15	6	
2016	B1		E31	69	Os	Hioides	Macro	8	3		178	ns	n	25	9	2	
2016	B1		E31	70	Gres	Bloc		55	70	142	167	nwse	se	250	130	50	

2016	B1		E31	71	Os	Axis	Lepo	69	92		164	q	p	10	10	4	
2016	B1		E31	72	Sílex	FBP		75	69		164			25	12	9	
2016	B1		E31	73	Esquist	Frag		44	94		164	ew	w	64	52	11	
2016	B1		E31	74	Sílex	BP		5	80		166	ew	p	24	21	7	
2016	B1		E31	75	Sílex	FBP		53	66		166	ew	s	28	15	5	Creemat
2016	B1		E31	76	Os	Ulna	Lepo	49	76		165			22	7	5	Coordenades aproximades
2016	B1		E31	77	Esquist	Frag		63	94		164	nesw	v	49	31	17	
2016	B1		E31	78	Sílex	BP		41	75		168	nwse	nw	35	17	15	
2016	B1		E31	79	Os	Falange	C. elaphus				165-170			24	17	8	Trobat al rentat
2016	B1		E31	80	Os	Llarg	Indet				170-175			31	19	7	Trobat al rentat
2016	B1		E31	81	Os	Indet	Indet				175-180			29	14	11	Trobat al rentat
2016	B1		E32	1	Sediment	Mostra		10	68	151	155						
2016	B1		E32	2	Os	Llarg	Macro	25	60		153			25	11	4	
2016	B1		E32	3	Os	Escàpula	O. cuniculus	37	54		151	ew	e	23	10	7	
2016	B1		E32	4	Sílex	BP		42	62		152			15	12	3	Coordenades aproximades
2016	B1		E32	5	Sílex	BNC	D21	17	70		153	ew	n	65	33	16	Creemat
2016	B1		E32	6	Os	Tíbia	O. cuniculus	14	81		153	ns	s	24	5	4	
2016	B1		E32	7	Sílex	BP		17	77		154	ns	n	38	20	12	Hcl
2016	B1		E32	8	Os	Fèmur	Lepo	30	51		157	nesw	sw	28	7	7	
2016	B1		E32	9	Os	Llarg	Macro	3	62		157	nesw	p	27	8	3	
2016	B1		E32	10	Os	Tíbia	Lepo	23	52		155			23	7	2	Creemat
2016	B1		E32	11	Os	Fèmur	Lepo	24	75		156	ns	p	42	8	7	
2016	B1		E32	12	Sílex	FBP		32	74		153			15	7	2	
2016	B1		E32	13	Sílex	BP		35	72		154	nesw	se	37	25	10	
2016	B1		E32	14	Os	Articular	Macro	38	75		152			21	14	14	Creemat
2016	B1		E32	15	Os	Mandíbula	O. cuniculus	34	63		153	nesw	sw	26	10	6	
2016	B1		E32	16	Os	Húmer	Lepo	35	55		155	nesw	p	26	6	5	
2016	B1		E32	17	Os	Tíbia	Lepo	57	92		152	nesw	p	60	7	5	
2016	B1		E32	18	Os	Maxil·lar	O. cuniculus	64	81		152			18	10	10	
2016	B1		E32	19	Os	Llarg	Macro	66	76		152	nesw	ne	40	6	3	
2016	B1		E32	20	Sílex	BP		83	79		152	nesw	p	19	7	3	
2016	B1		E32	21	Os	Coxal	Lepo	98	82		152	ns	s	30	14	12	
2016	B1		E32	22	Sílex	FBP		98	94		150			19	6	6	Coordenades aproximades
2016	B1		E32	23	Os	Llarg	Lepo	90	88		152	nwse	nw	26	4	2	
2016	B1		E32	24	Os	Húmer	O. cuniculus	23	68		156	ns	p	40	7	4	
2016	B1		E32	25	Os	Escàpula	O. cuniculus	32	65		155	ew	p	22	10	7	
2016	B1		E32	26	Calcària	Bn		42	69	150	155	nesw	p	100	60	50	
2016	B1		E32	27	Sílex	FBP		50	89		152	ew	e	31	13	5	
2016	B1		E32	28	Sílex	FBP		52	81		152	nesw	p	26	16	6	Creemat
2016	B1		E32	29	Os	Tíbia	Lepo	15	51		160	ew	p	22	7	4	
2016	B1		E32	30	Os	Coxal	Lepo	28	65		157	ew	w	32	15	12	
2016	B1		E32	31	Sílex	FBP		29	95		154	nwse	p	37	24	12	
2016	B1		E32	32	Sílex	BNC	G12	26	75		158	nesw	sw	25	15	7	Creemat
2016	B1		E32	33	Os	Tíbia	Lepo	33	85		154	nesw	sw	23	4	3	
2016	B1		E32	34	Os	Mandíbula	O. cuniculus	39	89		153	nesw	p	33	15	6	
2016	B1		E32	35	Os	Tíbia	Lepo	40	80		154			26	6	3	Coordenades aproximades
2016	B1		E32	36	Os	Llarg	Macro	51	72		155	nwse	p	30	24	18	
2016	B1		E32	37	Os	Mandíbula	O. cuniculus	33	85		155			25	15	7	
2016	B1		E32	38	Sílex	FBP		35	66		158	ew	p	27	18	7	
2016	B1		E32	39	Sílex	BNC	G22	48	68		157	ew	p	25	18	8	Hcl
2016	B1		E32	40	Sílex	FBP		54	88		153	nwse	p	12	8	3	Creemat
2016	B1		E32	41	Os	Radi	O. cuniculus	90	88		151			24	4	3	Coordenades aproximades

2016	B1		E32	42	Os	Húmer	Lepo	86	83		152			20	4	4	Coordenades aproximades
2016	B1		E32	43	Os	Llarg	Macro	89	80		152	nwse	se	31	11	5	
2016	B1		E32	44	Os	Llarg	Macro	36	84		155	ew	e	30	12	2	
2016	B1		E32	45	Os	Húmer	O. cuniculus	44	75		157	nesw	p	30	7	4	
2016	B1		E32	46	Os	Fèmur	Lepo	43	30		158	ns	p	25	7	4	
2016	B1		E32	47	Os	Fèmur	Lepo	45	66		158	nwse	p	27	8	3	
2016	B1		E32	48	Os	Tíbia	Lepo	68	95		153			25	4	2	Coordenades aproximades
2016	B1		E32	49	Calcària	Frag.Nat.		71	76		153	nesw	p	25	20	4	
2016	B1		E32	50	Sílex	FBP		93	94		152	q	p	16	16	5	Cremat
2016	B1		E32	51	Os	Crani	Lepo	89	80		153	nwse	p	12	8	5	
2016	B1		E32	52	Os	Tíbia		92	91		152	nwse	p	20	5	4	
2016	B1		E32	53	Sílex	FBP		84	96		152	nesw	vh	27	11	2	
2016	B1		E32	54	Sílex	BP		24	91		157	ew	n	32	18	3	
2016	B1		E32	55	Os	Radi	O. cuniculus	43	85		157	nwse	se	30	4	3	
2016	B1		E32	56	Os	Tíbia	Lepo	90	85		154	ew	w	65	10	7	
2016	B1		E32	57	Os	Fèmur	Lepo	97	90		153			26	7	4	Coordenades aproximades
2016	B1		E32	58	Sílex	FBP		98	100		152	ew	vh	24	15	3	Cremat
2016	B1		E32	59	Sílex	BP		55	98		154	nwse	vh	36	18	9	Hcl. Cremat
2016	B1		E32	60	Sílex	BNP		55	76		157	nesw	sw	32	27	22	Hcl
2016	B1		E32	61	Os	Radi	O. cuniculus	43	84		157	nesw	p	34	4	3	
2016	B1		E32	62	Os	Húmer	O. cuniculus	31	88		158	ew	e	40	8	5	
2016	B1		E32	63	Os	Fèmur	Lepo	35	82		158	nwse	p	26	5	4	
2016	B1		E32	64	Sílex	BP		41	64		159	nesw	ne	31	16	14	
2016	B1		E32	65	Sílex	FBP		93	95		152			15	10	2	Coordenades aproximades. Cremat
2016	B1		E32	66	Sílex	FBP		88	89		153			11	5	3	Coordenades aproximades
2016	B1		E32	67	Os	Tíbia	Lepo	84	82		155	nwse	nw	30	5	5	
2016	B1		E32	68	Calcària	Frag.Nat.		84	76		155			15	10	5	Coordenades aproximades
2016	B1		E32	69	Sílex	FBP		72	78		156			12	6	6	Coordenades aproximades
2016	B1		E32	70	Os	Tíbia	Lepo	52	64		158	nesw	ne	28	6	5	
2016	B1		E32	71	Sílex	FBP		85	75		156	nwse	vh	16	8	3	
2016	B1		E32	72	Sílex	FBP		86	90		154			14	10	3	Cremat
2016	B1		E32	73	Os	Tíbia	Lepo	85	97		154	nesw	sw	30	3	3	Cremat
2016	B1		E32	74	Os	Coxal	Lepo	62	98		154	ew	p	22	12	9	Cremat
2016	B1		E32	75	Esquist	Frag.Nat.		59	89		157	nesw	sw	25	21	3	
2016	B1		E32	76	Sílex	FBP		53	81		158	nesw	sw	34	18	9	
2016	B1		E32	77	Sílex	FBP		46	80		161			30	7	4	
2016	B1		E32	78	Os	Escàpula	O. cuniculus	34	70		161	ns	p	30	11	7	
2016	B1		E32	79	Os	Costella	Macro	47	66		160	nwse	nw	55	25	7	
2016	B1		E32	80	Os	Calcani	Lepo	55	73		159			22	8	7	Coordenades aproximades
2016	B1		E32	81	Sílex	FBP		61	95		155	ns	s	21	16	6	Cremat
2016	B1		E32	82	Sílex	RT		66	89		156			10	6	2	Coordenades aproximades
2016	B1		E32	83	Sílex	BP		98	87		156	ns	vh	24	11	3	
2016	B1		E32	84	Sílex	BNC	D21	98	76		155	ns	s	32	21	6	Hcl
2016	B1		E32	85	Os	Llarg	Macro	43	67		162	nwse	p	26	17	6	
2016	B1		E32	86	Sílex	BP		51	64		161			19	12	3	
2016	B1		E32	87	Sílex	BPF		58	96		158			21	17	4	Cremat
2016	B1		E32	88	Sílex	FBP		69	29		159	ns	e	33	20	9	Cremat
2016	B1		E32	89	Sílex	BP		82	89		159	nesw	se	21	18	3	
2016	B1		E33	1	Os	Tíbia	Lepo	96	93		142	nwse	se	31	5	4	
2016	B1		E33	2	Os	Ulna	O. cuniculus	92	79		143	nwse	nw	34	6	4	
2016	B1		E33	3	Sílex	BNC	A2	94	82		142	ew	p	32	16	5	Hcl
2016	B1		E33	4	Sílex	BNC	D23	91	95		142	ns	s	54	23	13	Cremat

2016	B1		E33	5 Os	Mandíbula	Lepo	80	88		143			20	14	5	
2016	B1		E33	6 Sílex	BP		71	92		144			19	7	5	Coordenades aproximades
2016	B1		E33	7 Sílex	FBP		58	88		144	nwse	p	30	21	10	
2016	B1		E33	8 Sílex	BPF		2	94		150			32	27	10	
2016	B1		E33	9 Os	Falange	Lepo	12	85		147	nwse	p	12	3	2	
2016	B1		E33	10 Os	Húmer	O. cuniculus	17	82		147	nwse	p	23	6	3	
2016	B1		E33	11 Sílex	FBP		44	93		146	nwse	p	30	21	8	
2016	B1		E33	12 Sílex	RT		100	93		143			11	6	3	
2016	B1		E33	13 Os	Húmer	O. cuniculus	98	95		144	ew	p	20	7	5	
2016	B1		E33	14 Os	Húmer	O. cuniculus	84	97		144	nwse	p	26	7	4	
2016	B1		E33	15 Os	Mandíbula	Lepo	68	81		144	q	se	16	16	5	
2016	B1		E33	16 Sílex	BNP		67	80		145	nwse	nw	60	40	40	Hcl. Cremat
2016	B1		E33	17 Os			80	87		146			20	6	3	
2016	B1		E33	18 Sílex	BP		83	86		147	ns	n	30	18	7	
2016	B1		E33	19 Sílex	FBP		38	94		146			15	6	3	
2016	B1		E33	20 Sílex	BP		31	97		147	ns	n	18	11	6	Cremat
2016	B1		E33	21 Calcària	Frag.Nat.		30	90		148			15	6	5	Coordenades aproximades
2016	B1		E33	22 Os	Crani	Lepo	31	87		148	nesw	p	20	12	11	
2016	B1		E33	23 Sílex	BP		76	96		146			20	14	3	Coordenades aproximades
2016	B1		E33	24 Sílex	BNC	D21	73	88		146	ew	vh	30	18	8	Hcl. Cremat
2016	B1		E33	25 Os	Tibia	Lepo	65	76		146	nwse	p	23	7	5	
2016	B1		E33	26 Os	Radi	Lepo	58	78		146			20	3	3	
2016	B1		E33	27 Sílex	BNC	LD21	61	97		146			16	6	3	
2016	B1		E33	28 Os	Calcani	Lepo	48	98		148	nesw	p	23	10	6	
2016	B1		E33	29 Os	Crani	Macro	45	78		149	nwse	se	16	6	4	
2016	B1		E33	30 Sílex	BP		30	98		146	nesw	sw	16	12	5	
2016	B1		E33	31 Os	Calcani	Lepo	32	29		148	nwse	se	22	9	6	
2016	B1		E33	32 Sílex	BPF		28	88		150			21	11	2	Coordenades aproximades
2016	B1		E33	33 Os	Mandíbula	Lepo	94	90		145			19	6	4	
2016	B1		E33	34 Os	Calcani	Lepo	96	94		144			19	7	6	Coordenades aproximades
2016	B1		E33	35 Os	Llarg	Macro	84	82		147	nesw	sw	16	8	5	
2016	B1		E33	36 Os	Llarg	Lepo	86	95		145	ew	p	19	6	3	
2016	B1		E33	37 Os	Ulna	O. cuniculus	81	93		145	nwse	nw	23	6	4	
2016	B1		E33	38 Os	Radi	O. cuniculus	78	90		147	nwse	nw	20	6	4	
2016	B1		E33	39 Os	Coxal	O. cuniculus	70	83		147			19	12	8	
2016	B1		E33	40 Sílex	BP		74	86		148	nwse	nw	40	32	18	
2016	B1		E33	41 Os	Radi	O. cuniculus	54	89		149	nwse	nw	30	4	3	
2016	B1		E33	42 Sílex	BPF		44	95		149	nwse	p	30	17	6	Cremat
2016	B1		E33	43 Os	Tibia	Lepo	3	88		152			20	6	4	
2016	B1		E33	44 Sílex	FBP		2	78		153	nesw	p	18	14	3	Cremat
2016	B1		E33	45 Sílex	FBP		93	91		146			11	6	4	Coordenades aproximades
2016	B1		E33	46 Sílex	BP		80	98		147	nwse	nw	26	11	5	
2016	B1		E33	47 Os	Ulna	O. cuniculus	72	90		147	nwse	nw	23	5	4	
2016	B1		E33	48 Os	Mandíbula	Lepo	65	88		148	q	nw	18	16	5	
2016	B1		E33	49 Os	Fèmur	Lepo	63	80		148			20	8	4	Coordenades aproximades
2016	B1		E33	50 Os	Fèmur	O. cuniculus	31	91		150	nwse	p	37	8	5	
2016	B1		E33	51 Sílex	FBP		26	80		151	nesw	se	27	18	5	
2016	B1		E33	52 Esquist	Bloc		0	92		155	nwse	nw	75	60	30	
2016	B1		E33	53 Os	Tibiotarsus	Aves	93	76		146			24	4	5	
2016	B1		E33	54 Sílex	Frag.Nat.		97	95		146			16	12	12	
2016	B1		E33	55 Sílex	BPF		64	95		149	nesw	p	12	11	3	
2016	B1		E33	56 Sílex	FBP		60	94		150	ew	vh	21	14	4	

2016	B1	E33	57	Os	Llarg	Macro	52	96	150	ns	s	25	9	6	
2016	B1	E33	58	Sílex	BP		48	97	150	nwse	nw	20	14	4	Cremat
2016	B1	E33	59	Esquist	Frag.Nat.		37	88	151			28	18	5	
2016	B1	E33	60	Os	Coracoides	Phasianidae	28	97	152			20	6	4	
2016	B1	E33	61	Os	Húmer	O. cuniculus	18	85	152	nwse	nw	21	5	3	
2016	B1	E33	62	Os	Fèmur	Lepo	91	85	147			20	5	4	Cremat
2016	B1	E33	63	Os	Coxal	Lepo	75	88	148	nwse	se	23	8	6	
2016	B1	E33	64	Os	Escàpula	O. cuniculus	69	96	149			19	8	4	
2016	B1	E33	65	Sílex	FBP		49	84	151	nwse	nw	25	6	5	
2016	B1	E33	66	Sílex	BP		39	94	152	nesw	p	24	7	3	
2016	B1	E33	67	Os	Mandíbula	O. cuniculus	35	9	152	nwse	p	38	20	8	
2016	B1	E33	68	Sílex	RT		28	84	152			10	9	4	Coordenades aproximades
2016	B1	E33	69	Os	Falange	C. pyrenaica	27	98	152			26	18	13	Cremat
2016	B1	E33	70	Os	Maxil·lar	O. cuniculus	92	98	148	ew	w	20	8	4	
2016	B1	E33	71	Sílex	BP		73	88	150	ew	n	18	13	4	
2016	B1	E33	72	Sílex	RT		64	98	151			10	7	5	Coordenades aproximades
2016	B1	E33	73	Os	Tíbia	Lepo	62	90	152	ns	n	26	6	6	
2016	B1	E33	74	Os	Tíbia	Lepo	51	97	152			21	6	5	
2016	B1	E33	75	Sílex	BP		47	83	152	nesw	vh	35	18	12	
2016	B1	E33	76	Sílex	BP		30	81	153	nwse	ne	16	15	4	
2016	B1	E33	77	Os	Esternon	Macro	67	92	152	nwse	vh	25	18	10	
2016	B1	E33	78	Os	Tíbia	Lepo	62	95	153	nwse	nw	30	7	6	
2016	B1	E33	79	Sílex	BPF		63	20	152	nesw	ne	20	7	5	
2016	B1	E33	80	Sílex	BP		51	85	144	nesw	sw	24	12	7	
2016	B1	E33	81	Sílex	BNC	G11	40	77	144	ew	n	18	16	5	Cremat
2016	B1	E33	82	Os	Tíbia	Lepo	22	98	145	ns	n	43	7	4	
2016	B1	E33	83	Sílex	RT		12	93	146			10	7	3	Coordenades aproximades
2016	B1	E33	84	Sílex	BP		3	98	147	nesw	sw	22	18	7	Cremat
2016	B1	E33	85	Os	Mandíbula	O. cuniculus	2	89	148	ew	s	27	11	5	
2016	B1	E33	86	Os	Banya	C. pyrenaica	2	82	148	nesw	nw	50	22	15	
2016	B1	E33	87	Sílex	FBP		98	85	151			21	8	3	
2016	B1	E33	88	Sílex	FBP		93	97	151			18	6	4	
2016	B1	E33	89	Os	Tíbia	Lepo	69	98	153	ew	w	22	5	4	
2016	B1	E33	90	Sílex	BP		54	96	153	nwse	nw	32	12	6	
2016	B1	E33	91	Calcària	Bloc		34	82	154	nwse	nw	60	50	35	
2016	B1	E33	92	Sílex	Frag.Nat.		73	95	153			19	14	6	
2016	B1	E33	93	Os	Fèmur	O. cuniculus	63	87	156	nesw	ne	16	15	9	
2016	B1	E33	94	Os	Tíbia	Lepo	44	95	156	nwse	nw	40	6	5	
2016	B1	E33	95	Os	Pla	Macro	31	92	155			19	16	11	
2016	B1	E33	96	Esquist	Bn		73	81	148	nesw	nw	110	100	15	
2016	B1	E33	97	Malaco	Terrestre		60	95	155						
2016	B1	E33	98	Sílex	BP		86	97	154			18	10	4	
2016	B1	E33	99	Os	Húmer	O. cuniculus	89	100	154	nwse	se	45	6	4	
2016	B1	E33	100	Os	Mandíbula	O. cuniculus	71	80	153	nwse	se	36	15	7	
2016	B1	E33	101	Carbó			20	90	157						
2016	B1	E34	1	Sílex	BP		2	98	147	nesw	ne	33	30	14	
2016	B1	E34	2	Os	Costella	Macro	3	95	149	nesw	p	37	14	5	
2016	B1	E34	3	Calcària	Frag.Nat.		4	94	150			19	10	4	Hcl
2016	B1	E34	4	Os	Costella	Macro	3	87	150			21	15	9	
2016	B1	F29	1	Sílex	BNC	Sind	32	88	170			47	43	22	Hcl. Cremat
2016	B1	F29	2	Calcària	Bloc		78	90	169			95	65	55	
2016	B1	F29	3	Sílex	FBP		96	89	170	ew	n	26	13	12	Cremat

2016	B1		F29	4 Sílex	BP		57	44		178	nwse	ne	37	20	5	
2016	B1		F29	5 Sílex	BP		50	48		176		v	22	16	6	
2016	B1		F29	6 Sílex	BPF		35	57		175	ew	w	19	10	7	
2016	B1		F29	7 Quars	RT		65	94		169			8	7	3	
2016	B1		F29	8 Os	Húmer	Lepo	85	94		170			21	7	4	
2016	B1		F29	9 Os	Metatars	Lepo	78	88		171			20	5	4	
2016	B1		F29	10 Sílex	RT		7	78		173			11	9	2	
2016	B1		F29	11 Sílex	FBP		27	50		178			12	7	3	
2016	B1		F29	12 Sílex	FBP		38	52		177	ns	p	20	12	4	
2016	B1		F29	13 Sílex	BPF		67	41		180	nesw	sw	23	20	10	
2016	B1		F29	14 Os	Llarg	Macro	53	97					26	11	3	Coordenades aproximades
2016	B1		F29	15 Sílex	BP		65	88		173	ew	s	26	18	7	Cremat
2016	B1		F29	16 Sílex	BP		66	64		175	ew	s	19	14	5	
2016	B1		F29	17 Os	Fèmur	Lepo	62	48		177	ns	s	40	8	5	
2016	B1		F29	18 Sílex	BNC	D24	83	78		174	nwse	p	20	11	6	
2016	B1		F29	19 Os	Llarg	Macro	78	79		174			27	7	3	Coordenades aproximades
2016	B1		F29	20 Sílex	BP		70	86		174	ew	se	43	15	3	
2016	B1		F29	21 Gres	Bloc		92	64	162	178	ew		550	480	110	
2016	B1		F29	22 Os	Llarg	Macro	83	60		176			30	9	5	Coordenades aproximades
2016	B1		F29	23 Sílex	FBP		90	42		175	nesw	se	34	23	6	
2016	B1		F29	24 Esquist	Frag		70	41		174	ns	sw	46	42	5	
2016	B1		F29	25 Sílex	RT		81	46		175			13	5	3	Coordenades aproximades
2016	B1		F29	26 Sílex	BP		73	46		175	nesw	p	16	7	4	
2016	B1		F29	27 Os			87	36		176	ns	n	31	7	5	
2016	B1		F29	28 Os	Coxal	Lepo	96	48		176	ew	w	28	9	6	
2016	B1		F29	29 Sílex	BNC	T22	96	52		176	nesw	se	32	13	5	Cremat
2016	B1		F29	30 Os	Húmer	O. cuniculus	78	63		176	ew	e	35	5	5	
2016	B1		F29	31 Sílex	BPF		95	55		176	nesw	p	15	10	3	
2016	B1		F29	32 Sílex	FBP		93	54		176			17	8	5	Coordenades aproximades
2016	B1		F29	33 Dent	l1 sup	O. cuniculus	95	50		178			15	3	2	Coordenades aproximades
2016	B1		F29	34 Sílex	BP		75	65		178	nwse	s	32	30	15	
2016	B1		F29	35 Os	Falange	Lepo	70	61		179			8	3	2	Coordenades aproximades
2016	B1		F29	36 Sílex	BP		64	44		181	ew	nw	41	25	8	
2016	B1		F29	37 Sílex	BPF		72	41		181	ns	s	15	15	3	
2016	B1		F29	38 Esquist	Bn		0	49	170	183	nesw	sw	400	280	20	
2016	B1		F29	39 Sílex	BPF		15	55		178	nesw	se	27	18	9	Hcl. Cremat
2016	B1		F29	40 Os	Tíbia	Lepo	28	90		172	ew	p	33	8	4	
2016	B1		F29	41 Sílex	BNC	G22	12	41		179	ns	se	31	26	8	Hcl
2016	B1		F29	42 Os	Mandíbula	O. cuniculus	34	50		182	nwse	se	37	15	7	
2016	B1		F29	43 Os	Tíbia	Lepo	54	57		179			26	10	6	Coordenades aproximades
2016	B1		F29	44 Sílex	FBP		74	36		182	ew	e	45	21	17	Cremat
2016	B1		F29	45 Os	Escàpula	O. cuniculus	88	44		182			20	12	8	Coordenades aproximades
2016	B1		F29	46 Sílex	BNC	B12-B4	26	92		176	nwse	se	52	32	16	Hcl
2016	B1		F29	47 Os	Tíbia	Lepo	9	70		179			22	5	4	Coordenades aproximades
2016	B1		F29	48 Os	Tíbia	Lepo	7	65		180	nwse	se	36	7	5	
2016	B1		F29	49 Sílex	FBP		3	58		181			17	10	6	Coordenades aproximades
2016	B1		F29	50 Sílex	BPF		22	51		183	nesw	sw	42	30	14	Hcl
2016	B1		F29	51 Os	Pla	Macro	49	64		181			32	11	4	Coordenades aproximades
2016	B1		F29	52 Os	Tíbia	Macro	53	49		181			27	9	8	Coordenades aproximades
2016	B1		F29	53 Sílex	FBP		11	57		184			17	10	4	Coordenades aproximades
2016	B1		F29	54 Sílex	BPF		31	47		186	nwse	ne	21	12	3	Cremat
2016	B1		F29	55 Sílex	FBP		45	68		180	q	s	12	6	5	

2016	B1		F29	56	Os	Fèmur	Lepo	47	48		184	nwse	se	27	7	6	
2016	B1		F29	57	Os	Ulna	C. elaphus	79	79		177	nesw	ne	53	16	14	
2016	B1		F29	58	Os	Costella	Macro	85	82		177	nesw	p	51	15	5	
2016	B1		F29	59	Os	Fèmur	Lepo	80	59		180	nwse	se	30	6	4	
2016	B1		F29	60	Os	Tíbia	Lepo	86	64		180	ew	w	76	8	4	
2016	B1		F29	61	Sílex	FBP		86	48		182			15	10	6	Coordenades aproximades
2016	B1		F29	62	Conglomerat	Bloc		83	52	175	181	q	sw	140	135	60	
2016	B1		F29	63	Esquist	Bn		10	94		176	ns	s	73	70	10	
2016	B1		F29	64	Sílex	BP		13	64		182	nesw	ne	31	16	5	Hcl
2016	B1		F29	65	Sílex	FBP		21	67		182			15	8	2	Coordenades aproximades. Cremat
2016	B1		F29	66	Sílex	FBP		47	47		185			24	8	5	Coordenades aproximades. Cremat
2016	B1		F29	67	Os	Fèmur	Lepo	85	55		182	ns	s	43	8	5	
2016	B1		F29	68	Sílex	BP		61	87		177	ns	p	65	30	15	
2016	B1		F29	69	Os	Fèmur	Lepo	56	99		177	nwse	se	25	8	7	Fragmentat
2016	B1		F29	70	Sílex	FBP		99	93		177	ew	p	22	11	5	Cremat
2016	B1		F29	71	Esquist	Frag		46	83	175	178	q	n	80	75	30	
2016	B1		F29	72	Os	Húmer	C. elaphus	45	82		179	nesw	ne	69	28	10	Fragmentat
2016	B1		F29	73	Os	Tíbia	Lepo	57	84		180			21	6	5	Coordenades aproximades
2016	B1		F29	74	Sílex	BNC	Bc1	51	82		181	ew	p	37	20	7	Hcl
2016	B1		F29	75	Os	Tíbia	Lepo	14	76		181	ns	p	29	8	7	
2016	B1		F29	76	Argila	Bloc		37	80	172	181	ew	n	210	180	65	
2016	B1		F29	77	Os	Llarg	Macro	19	68		185			20	10	9	Coordenades aproximades
2016	B1		F29	78	Os	Tíbia	Lepo	23	64		185			24	8	6	Coordenades aproximades
2016	B1		F29	79	Calcària	Bn		14	91	175	180	ns	v	74	46	40	
2016	B1		F29	80	Calcària	Frag		18	90	171	181	nesw	w	60	47	44	
2016	B1		F29	81	Sílex	BP		19	71		187	nesw	sw	67	35	13	
2016	B1		F29	82	Sílex	FBP		80	57		188	ns	s	50	30	7	
2016	B1		F29	83	Os	Llarg	Macro	78	52		186	nesw	sw	53	18	5	Fragmentat
2016	B1		F29	84	Os	Llarg	Macro	77	59		188			23	10	5	Coordenades aproximades
2016	B1		F29	85	Os	Fèmur	Lepo	92	54		188	nwse	se	27	6	5	Fragmentat
2016	B1		F29	86	Os	Tíbia	Lepo	41	55		188	nesw	sw	40	7	6	
2016	B1		F29	87	Gres	Bloc		64	49	187	191	nesw	ne	120	57	20	
2016	B1		F29	88	Os	Tmt	Aves	44	63		187			26	5	4	Coordenades aproximades
2016	B1		F29	89	Os	Fèmur	Lepo	54	60		189	nesw	p	22	9	7	
2016	B1		F29	90	Os	Húmer	Lepo	42	59		182			22	6	4	Coordenades aproximades
2016	B1		F29	91	Sílex	BP		37	69		191	ew	p	35	32	6	
2016	B1		F29	92	Esquist	Frag		58	80		187	ew	p	80	29	12	
2016	B1		F29	93	Os	Fèmur	Lepo	40	87		183			24	7	4	Coordenades aproximades
2016	B1		F29	94	Sílex	BP		34	96		181	nwse	se	29	18	8	Hcl. Cremat
2016	B1		F29	95	Os	Tíbia	Lepo	74	57		189			23	6	2	Coordenades aproximades
2016	B1		F29	96	Os	Fèmur	Lepo	97	55		190			21	9	7	Coordenades aproximades
2016	B1		F29	97	Sílex	BNC	T22	92	93		182	ew	v	22	19	9	Hcl
2016	B1		F29	98	Os	Tíbia	Lepo	74	80		187	nwse	se	29	7	6	
2016	B1		F29	99	Calcària	Bloc		60	93	178	181	nesw	ne	90	37	19	
2016	B1		F29	100	Os	Tíbia	Macro	29	69		188	ew	v	36	14	8	
2016	B1		F29	101	Sílex	BNC	G11-G11	52	81		186	ns	nw	47	28	12	Hcl
2016	B1		F29	102	Sílex	BP		52	83		186			18	14	5	Coordenades aproximades
2016	B1		F29	103	Gres	Bloc		34	75	171	185	nwse	ne	240	100	40	
2016	B1		F29	104	Os	Llarg	Macro	33	75		187			35	5	4	Coordenades aproximades
2016	B1		F29	105	Gres	Bloc		27	82	177	185	nwse	ne	120	100	27	
2016	B1		F29	106	Sílex	BNP					175-180			34	31	15	Trobat al rentat. Hcl. Cremat
2016	B1		F29	107	Os	Falange	C. pyrenaica				185-190			22	9	4	Trobat al rentat

2016	B1		F29	108	Os	Falange	C. pyrenaica							185-190				18	15	14	Trobat al rentat
2016	B1		F29	109	Malaco		Marina							185-190				7	5	3	Trobat al rentat
2016	B1		F29	110	Sílex	BNC	LD21							170-175				27	8	4	Trobat al rentat
2016	B1		F30	1	Os	Húmer	C. pyrenaica	90	81					165	nesw	s		30	22	11	Fragmentat
2016	B1		F30	2	Os	Mandíbula	O. cuniculus	48	72					166	ns	s		22	13	6	
2016	B1		F30	3	Sílex	FBP		91	67					166	ns	w		20	14	7	
2016	B1		F30	4	Os	Radi	O. cuniculus	54	60					167				23	6	4	
2016	B1		F30	5	Os	Tíbia	Lepo	58	62					167				22	5	3	
2016	B1		F30	6	Os	Fèmur	Macro	63	49					168	nesw	p		94	19	11	Fragmentat
2016	B1		F30	7	Os	Tíbia	Lepo	95	51					167	ew	s		27	8	3	Fragmentat
2016	B1		F30	8	Argila	Bloc		59	55	162				169	ew	e		110	70	50	
2016	B1		F30	9	Os	Fèmur	Lepo	30	41					170	ew	e		37	7	6	
2016	B1		F30	10	Os	Llarg	Macro	62	50					170	ew	e		28	8	5	
2016	B1		F30	11	Sílex	FBP		68	57					169	ns	p		26	17	5	
2016	B1		F30	12	Sílex	BP		60	92					167	nwse	ne		43	25	13	Hcl. Cremat
2016	B1		F30	13	Sílex	FBP		35	65					170	ns	p		23	15	8	Cremat
2016	B1		F30	14	Os	Mandíbula	Lepo	88	64					170	nesw	p		21	14	6	
2016	B1		F30	15	Os	Calcani	Lepo	81	80					166	ns	s		22	9	8	
2016	B1		F30	16	Sílex	FBP		62	75					168	ns	p		18	11	3	
2016	B1		F30	17	Os	Húmer	C. pyrenaica	91	73					167	nesw	nw		37	14	7	
2016	B1		F30	18	Sílex	BP		37	46					172	nesw	s		34	17	5	Cremat
2016	B1		F30	19	Os	Calcani	Lepo	27	41					173				22	12	8	
2016	B1		F30	20	Os	Coxal	Lepo	45	55					172	ns	e		27	10	5	
2016	B1		F30	21	Esquist	Bn		17	56	166				173	nwse	ne		105	80	27	
2016	B1		F30	22	Os	Mandíbula	O. cuniculus	87	85					165				19	15	7	
2016	B1		F30	23	Os	Húmer	Lepo	78	59					170				23	7	6	
2016	B1		F30	24	Sílex	BNP		49	50					173	ns	w		40	38	28	Hcl
2016	B1		F30	25	Os	Llarg	Lepo	74	69					171	ew	w		28	14	6	
2016	B1		F30	26	Os	Fèmur	Lepo	78	68					169	ew	p		37	6	5	
2016	B1		F30	27	Calcària	Bloc		77	96	164				168	ew	w		68	60	48	
2016	B1		F30	28	Calcària	Bloc		87	92	161				167	nwse	v		70	65	57	
2016	B1		F30	29	Sílex	BPF		69	96					167	ew	p		22	10	4	
2016	B1		F30	30	Os	Húmer	Lepo	77	97					167	ew	p		23	6	5	
2016	B1		F30	31	Os	Tíbia	Lepo	44	92					168	nwse	s		22	7	6	
2016	B1		F30	32	Os	Tíbia	Lepo	70	93					168				28	6	3	
2016	B1		F30	33	Os	Tíbia	Lepo	88	54					172	nwse	s		42	8	4	Fragmentat
2016	B1		F30	34	Sílex	BNC	D21	91	88					169	ns	w		24	17	7	Hcl
2016	B1		F30	35	Os	Calcani	Lepo	95	87					169				21	7	5	
2016	B1		F30	36	Sílex	BP		90	70					171	nesw	v		61	34	19	Hcl
2016	B1		F30	37	Sílex	FBP		36	70					169	ns	p		26	14	5	Cremat
2016	B1		F30	38	Os	Mandíbula	O. cuniculus	51	64					170	nwse	se		35	16	7	
2016	B1		F30	39	Os	Llarg	Macro	60	97					169	nesw	sw		40	10	4	
2016	B1		F30	40	Os	Tíbia	Lepo	88	94					168	ew	w		48	8	7	Fragmentat
2016	B1		F30	41	Sílex	BPF		39	43					170	ew	p		27	11	7	
2016	B1		F30	42	Os	Llarg	Macro	76	44					175	ns	s		38	10	7	
2016	B1		F30	43	Os	Radi	O. cuniculus	18	39					176				20	6	4	
2016	B1		F30	44	Os	Mandíbula	S. scrofa	85	86					170	ew	s		43	27	14	
2016	B1		F30	45	Sílex	BP		18	43					177	nesw	se		77	42	14	Hcl
2016	B1		F30	46	Esquist	Bn		17	90	162				172	nwse	se		260	190	60	Placa gravada
2016	B1		F30	47	Os	Fèmur	Lepo	20	91					171				23	7	6	Coordenades aproximades
2016	B1		F30	48	Sílex	BP		14	56					173	ew	n		38	35	15	
2016	B1		F30	49	Os	Tíbia	Macro	12	98					172				24	7	6	

2016	B1		F30	50	Os	Tíbia	Lepo	43	45		176	nesw	s	24	6	5	Cremat
2016	B1		F30	51	Os	Fèmur	Lepo	41	51		177	nesw	sw	27	8	7	
2016	B1		F30	52	Os	Tíbia	C. pyrenaica	65	58		175	ew	sw	48	15	6	Fragmentat
2016	B1		F30	53	Sílex	BP		62	91		171	ew	n	25	22	9	
2016	B1		F30	54	Sílex	BP		95	81		170	ew	s	51	22	9	
2016	B1		F30	55	Os	Costella	Macro	82	55		176	ew	n	56	15	7	
2016	B1		F30	56	Os	Radi	O. cuniculus	50	64		176			21	5	4	
2016	B1		F30	57	Sílex	BP		28	44		179	nesw	s	61	23	8	
2016	B1		F30	58	Sílex	BP		3	42		179	ns	p	44	23	8	
2016	B1		F30	59	Sílex	BP		16	51		178	nwse	v	46	17	6	
2016	B1		F30	60	Os	Coxal	O. cuniculus	24	43		179			24	10	9	
2016	B1		F30	61	Os	Húmer	O. cuniculus	43	70		175	ew	w	35	7	6	
2016	B1		F30	62	Os	Tíbia	Lepo	14	84		175			33	7	6	
2016	B1		F30	63	Sílex	BNC	LD21	73	60		176	ew	p	27	7	4	Cremat
2016	B1		F30	64	Sílex	Frag.Nat.		62	51		177			21	13	11	
2016	B1		F30	65	Sílex		Sind	63	62		179	nwse	nw	38	13	7	Hcl. Cremat
2016	B1		F30	66	Calcària	Frag		96	81	168	173	ns	s	69	49	42	
2016	B1		F30	67	Os	Radi	Lepo	75	50		178			22	5	3	Fragmentat
2016	B1		F30	68	Os	Llarg	Macro	98	78		173	nwse	se	34	13	6	
2016	B1		F30	69	Os	Pla	Macro	4	35		181			20	18	6	
2016	B1		F30	70	Gres	Bloc		82	45	179	185	ew	v	90	65	36	
2016	B1		F30	71	Calcària	Bloc		49	48	174	180	ew	w	90	56	45	
2016	B1		F30	72	Sílex	BP		56	45		180	nwse	sw	56	29	13	
2016	B1		F30	73	Os	Húmer	O. cuniculus	62	88		174	ew	p	29	10	5	
2016	B1		F30	74	Os	Llarg	Macro	51	68		177	nesw	s	95	18	5	Fragmentat
2016	B1		F30	75	Os	Llarg	Macro	54	48		178	ns	s	52	12	6	
2016	B1		F30	76	Os			58	61		178			27	13	5	Coordenades aproximades
2016	B1		F30	77	Os	Tíbia	Lepo	77	96		173	nwse	nw	51	7	6	
2016	B1		F30	78	Sílex	FBP		49	72		176	nesw	w	41	20	9	
2016	B1		F30	79	Os	Vèrtebra	Macro	46	58		179	ns	e	64	10	6	
2016	B1		F30	80	Sílex	BNC	D21	23	88		175	nesw	w	50	25	13	
2016	B1		F30	81	Os	Tíbia	O. cuniculus	9	81		176	nwse	nw	75	8	6	Fragmentat
2016	B1		F30	82	Sílex	BP		19	98		174	ew	p	28	12	5	Cremat
2016	B1		F30	83	Sílex	BPF		24	97		174			28	17	9	Coordenades aproximades
2016	B1		F30	84	Os	Tíbia	O. cuniculus	28	94		174	nesw	s	40	7	6	
2016	B1		F30	85	Os	Coxal	O. cuniculus	14	82		176	nwse	ne	35	11	10	
2016	B1		F30	86	Sílex	BP		18	42		182	nwse	v	15	13	3	
2016	B1		F30	87	Sílex	BNC	G22	25	41		181			38	29	13	Hcl
2016	B1		F30	88	Os	Llarg	Macro	74	62		176	nesw	sw	32	12	7	
2016	B1		F30	89	Os	Pla	Macro	98	71		176			20	12	8	Coordenades aproximades
2016	B1		F30	90	Os	Llarg	Macro	71	65		178			21	15	4	Coordenades aproximades
2016	B1		F30	91	Os	Llarg	Macro	74	78		177	ew	w	27	11	6	
2016	B1		F30	92	Esquist	Frag		69	94	171	174	nwse	nw	80	60	24	
2016	B1		F30	93	Calcària	Frag.Nat.		5	91		175	ns	s	21	20	9	
2016	B1		F30	94	Sílex	FBP		79	68		178	ns	s	33	30	10	
2016	B1		F30	95	Os	Calcani	Lepo	73	65		178			22	8	6	Coordenades aproximades
2016	B1		F30	96	Os	Llarg	Macro	98	58		181	ew	p	25	6	5	Fragmentat
2016	B1		F30	97	Sílex	BP		45	67		179			16	13	3	
2016	B1		F30	98	Sílex	BP		61	91		175	ew	e	37	12	7	Cremat
2016	B1		F30	99	Sílex	BP		83	100		175	nwse	nw	64	15	10	Hcl
2016	B1		F30	100	Sílex	BP		55	44		184	nesw	s	57	17	6	
2016	B1		F30	101	Sílex	BPF		53	74		179	nwse	s	25	12	8	

2016	B1		F30	102	Os	Radi	Lepo	68	90		176			20	5	3	Coordenades aproximades
2016	B1		F30	103	Os	Coxal	Lepo	64	75		177	nwse	se	21	15	4	
2016	B1		F30	104	Os	Maxil·lar	O. cuniculus	48	64		180			23	16	12	Coordenades aproximades
2016	B1		F30	105	Sílex	BPF		62	91		175			21	17	5	
2016	B1		F30	106	Sílex	BP		36	79		178	ew	v	27	23	6	
2016	B1		F30	107	Esquist	Frag		64	91	174	176	nwse	se	49	33	16	
2016	B1		F30	108	Os	Húmer	O. cuniculus	7	83		177	nesw	sw	35	7	5	
2016	B1		F30	109	Os	Fèmur	Lepo	9	90		177	nwse	w	35	9	7	Fracturat
2016	B1		F30	110	Sílex	BPF		67	95		176	nwse	nw	27	20	5	Creemat
2016	B1		F30	111	Sílex	BNC	G22	69	92		176	ns	v	29	27	10	Hcl. Cremat
2016	B1		F30	112	Sílex	BNP		77	75		178	nesw	sw	36	34	20	Hcl
2016	B1		F30	113	Sílex	FBP		55	62		181			22	14	5	Hcl
2016	B1		F30	114	Os	Tíbia	Lepo	65	75		180	ns	s	35	8	7	
2016	B1		F30	115	Os	Coxal	O. cuniculus	84	58		182	ew	s	45	11	7	Fragmentat
2016	B1		F30	116	Calcària	Bloc		23	64		181	ns	w	76	49	42	
2016	B1		F30	117	Gres	Frag		22	39		183	ew	w	55	43	37	
2016	B1		F30	118	Os	Fèmur	Lepo	42	44		183	nwse	s	30	8	7	
2016	B1		F30	119	Os	Mandíbula	O. cuniculus	16	65		182			26	16	6	Coordenades aproximades
2016	B1		F30	120	Os	Mandíbula	O. cuniculus	24	39		185	ew	s	35	16	7	
2016	B1		F30	121	Sílex	BP		27	36		185	nesw	se	18	6	3	
2016	B1		F30	122	Sílex	FBP		33	55		183			19	14	7	Coordenades aproximades
2016	B1		F30	123	Os	Tíbia	Lepo	10	86		179	ew	v	30	7	6	
2016	B1		F30	124	Sílex	BP		12	70		182	ew	w	39	29	12	
2016	B1		F30	125	Malaco	Marina					165-170			42	40	13	Trobat al rentat
2016	B1		F30	126	Sílex	BP		14	51		186	nwse	nw	70	35	22	
2016	B1		F30	127	Sílex	BP		40	52		184	q	p	18	15	1	
2016	B1		F30	128	Os	Húmer	Lepo	47	62		182	nwse	sw	16	6	5	Fragmentat
2016	B1		F30	129	Dent	Molar sup	Lepo	56	76		180	q	vv	10	3	2	Fragmentat
2016	B1		F30	130	Os	Mandíbula	O. cuniculus	64	68		181	nesw	sw	25	15	5	
2016	B1		F30	131	Os	Calcani	Lepo	9	91		179	nwse	se	14	7	5	
2016	B1		F30	132	Sílex	FBP		25	97		177	nwse	se	25	10	6	Creemat
2016	B1		F30	133	Os	Tíbia	Lepo	22	67		185	ew	p	32	4	4	
2016	B1		F30	134	Os	Tíbia	Lepo	33	78		181	nesw	sw	32	6	6	
2016	B1		F30	135	Os	Calcani	Lepo	51	65		182	ns	p	20	7	6	
2016	B1		F30	136	Sílex	BP		95	98		180			29	20	5	
2016	B1		F30	137	Sílex	BNC	G12	82	97		179	ew	p	29	20	6	
2016	B1		F30	138	Os	Tíbia	Lepo	73	76		182	nwse	se	35	6	4	
2016	B1		F30	139	Os	Mandíbula	Lepo	79	76		181	nesw	ne	21	15	5	
2016	B1		F30	140	Esquist			80	65		182	nesw	ne	50	45	9	
2016	B1		F30	141	Os	Tíbia	Lepo	9	87		181	ns	s	17	6	5	
2016	B1		F30	142	Os	Mandíbula	Lepo	28	86		179	ew	p	15	17	5	
2016	B1		F30	143	Os	Tíbia	Lepo	22	39		188	nwse	se	30	7	4	
2016	B1		F30	144	Malaco			40	75		184	q	se	30	29	15	
2016	B1		F30	145	Os	Fèmur	C. pyrenaica	23	85		180	nesw	v	40	16	9	
2016	B1		F30	146	Calcària	Bloc		22	71		184	nesw	ne	98	39	25	
2016	B1		F30	147	Calcària	Bn		51	71	177	183	nesw	ne	95	60	35	
2016	B1		F30	148	Os	Tíbia	O. cuniculus	70	71		183	nwse	nw	31	5	4	
2016	B1		F30	149	Os	Maxil·lar	V. vulpes	88	89		181	nwse	se	45	19	15	
2016	B1		F30	150	Sílex	BNC	D23	89	57		185	ew	v	55	35	20	
2016	B1		F30	151	Os	Tíbia	Lepo	88	56		185	nwse	p	30	5	4	
2016	B1		F30	152	Calcària	Bloc		92	53		186	ns	p	75	65	40	
2016	B1		F30	153	Calcària	Frag		28	52		189	ew	v	50	30	17	

2016	B1		F30	154	Os	Llarg	Macro	76	77		183	nwse		35	25	7	Fragmentat
2016	B1		F30	155	Os	Coxal	O. cuniculus	93	99		181	nwse	p	38	12	10	
2016	B1		F30	156	Os	Radi	C. elaphus	100	98		182	nesw	sw	57	22	15	
2016	B1		F30	157	Os	Costella	Macro	62	84		182	ew	p	35	9	7	
2016	B1		F30	158	Sílex	FBP		61	65		184	nesw	se	25	16	8	
2016	B1		F30	159	Sílex	BP		60	57		185	nwse	vh	55	16	5	
2016	B1		F30	160	Os	Ulna	Lepo	59	48		187			15	5	4	Coordenades aproximades
2016	B1		F30	161	Calcària	Bloc		6	77		185	ns	s	80	50	20	
2016	B1		F30	162	Sílex	BP		10	89		182	nesw	vh	25	6	5	
2016	B1		F30	163	Dent	Dp2 sup	B. primigenius	7	45		191	nwse	nw	30	15	6	
2016	B1		F30	164	Os	Mandíbula	O. cuniculus	26	55		189	ew	v	25	15	5	
2016	B1		F30	165	Os	Llarg	Macro	41	56		186	nwse	vh	45	10	5	
2016	B1		F30	166	Esquist	Frag		46	52		186	nesw	p	70	55	10	
2016	B1		F30	167	Sílex	BP		40	51		187	ns	p	33	21	10	
2016	B1		F30	168	Sílex	BNC	D23	10	46		191	ns	n	65	25	10	
2016	B1		F30	169	Sílex	FBP					175-180			17	13	6	Trobat al rentat. Hcl. Cremat
2016	B1		F30	170	Sílex	BNC	Sind				175-180			25	23	7	Trobat al rentat. Hcl
2016	B1		F30	171	Sílex	BP					180-185			66	22	14	Trobat al rentat. Hcl
2016	B1		F30	172	Dent	Molar	S. scrofa				180-185			18	12	11	Trobat al rentat
2016	B1		F30	173	Sílex	BNC	LD21				180-185			18	6	1	Trobat al rentat
2016	B1		F30	174	Sílex	BNC	LD21				180-185			13	4	2	Trobat al rentat
2016	B1		F30	175	Sílex	BNC	PD25				180-185			22	5	3	Trobat al rentat
2016	B1		F30	176	Os	Húmer	Lynx sp.				180-185			25	11	8	Trobat al rentat
2016	B1		F30	177	Sílex	BPF	LD21				175-180			22	7	3	Trobat al rentat
2016	B1		F31	1	Os	Tíbia	Lepo	5	91		167	ew	p	34	7	5	
2016	B1		F31	2	Os	Húmer	Macro	14	92		166	nesw	p	25	7	4	
2016	B1		F31	3	Os	Mandíbula	O. cuniculus	6	60		170	ns	e	29	16	8	
2016	B1		F31	4	Os	Llarg	Macro	7	93		167			22	14	8	
2016	B1		F31	5	Calcària	Bn		9	86	165	168	ew	n	70	60	30	
2016	B1		F31	6	Sílex	FBP		6	70		170			27	16	4	
2016	B1		F31	7	Sílex	BP		5	68		170			19	11	6	
2016	B1		F31	8	Os	Llarg	Macro	6	71		176	ew	w	35	12	5	Fragmentat
2016	B1		F31	9	Os	Falange	C. elaphus	2	63		177	nesw	sw	40	19	13	Fragmentat
2016	B1		F31	10	Sílex	BNC	D23	14	71		177	ew	e	50	19	11	Hcl. Cremat
2016	B1		F31	11	Os	Calcani	Lepo	3	58		180			23	10	7	
2016	B1		F31	12	Os	Llarg	Macro	7	69		179	ns	s	41	15	9	
2016	B1		F31	13	Os	Falange	C. pyrenaica	10	76		179			25	14	13	
2016	B1		F31	14	Sílex	BPF		15	93		181			21	8	4	Coordenades aproximades
2016	B1		F31	15	Os	Fèmur	Lepo	10	88		182			26	7	4	Coordenades aproximades
2016	B1		F31	16	Sílex	FBP		5	70		184			16	14	5	Coordenades aproximades. Cremat
2016	B1		F31	17	Sílex	FBP		11	61		186	ns	p	16	14	10	Hcl
2016	B1		F31	18	Os	Llarg	Macro	16	72		185	ew	s	35	12	8	Fragmentat
2016	B1		F31	19	Os	Fèmur	Macro	8	78		185	nesw	sw	51	21	12	Fragmentat
2016	B1		F31	20	Sílex	FBP		17	89		183	ew	s	22	18	9	
2016	B1		F31	21	Sílex	BNC	Sind				175-180			17	10	2	Trobat al rentat
2016	B1.1	2	D29	1	Sílex	BNC	G22	59	56		163	ns	e	36	13	5	
2016	B1.1	2	D29	2	Sílex	FBP		63	35		163	nesw	ne	20	12	5	
2016	B1.1	2	D29	3	Sílex	BP		66	30		163	nesw	p	22	15	2	
2016	B1.1	2	D29	4	Sílex	BPF		76	27		165	nesw	vh	22	16	5	
2016	B1.1	2	D29	5	Calcària	Frag		83	35		163			22	21	3	Cremat
2016	B1.1	2	D29	6	Calcària	Frag		92	33		164	ns	vh	20	12	3	
2016	B1.1	2	D29	7	Calcària	Frag		83	23		165	q	p	35	35	10	Cremat

2016	B1.1	2	D29	8	Sílex	BPF		92	18		165	ew	p	30	18	3	
2016	B1.1	2	D29	9	Sílex	FBP		74	0		166	ew	p	26	13	7	Cremat
2016	B1.1	2	D29	10	Calcària	Frag.Nat.		63	7		166			20	7	4	
2016	B1.1	2	D29	11	Os	Escàpula	Lepo	76	43		162			35	11	8	
2016	B1.1	2	D29	12	Os	Esternon	Aves	73	42		162			19	10	3	
2016	B1.1	2	D29	13	Calcària	Frag		77	20		166	q	p	23	21	8	Cremat
2016	B1.1	2	D29	14	Calcària	Bloc		79	40		164	ew	p	65	50	45	
2016	B1.1	2	D29	15	Sílex	FBP		74	42		164	ew	v	30	15	3	Cremat
2016	B1.1	2	D29	16	Os	Tíbia	Lepo	75	43		163	ew	p	31	6	6	
2016	B1.1	2	D29	17	Os	Pla	Macro	93	55		161	nwse	p	43	22	14	
2016	B1.1	2	D29	18	Calcària	Frag		30	27		161			28	13	6	
2016	B1.1	2	D29	19	Calcària	Frag		32	27		161			13	5	3	
2016	B1.1	2	D29	20	Os	Mandíbula	Lepo	59	32		165	nesw	ne	20	9	1	
2016	B1.1	2	D29	21	Sílex	FBP		70	27		165			19	12	5	Cremat
2016	B1.1	2	D29	22	Os	Húmer	Lepo	82	56		163	ns	p	25	5	5	
2016	B1.1		D30	1	Os	Fèmur	Lepo	56	83		160	ns	s	27	8	6	
2016	B1.1		D30	2	Os	Tíbia	Lepo	86	91		161	ew	p	27	10	7	
2016	B1.1		D30	3	Sílex	BNC	G11	94	86		162	ns	p	40	29	20	
2016	B1.1		D30	4	Sílex	BNC	R21	72	65		162	q	p	38	38	20	Hcl
2016	B1.1		D30	5	Esquist	Frag		74	60		163	nwse	p	36	35	4	
2016	B1.1		D30	6	Esquist	Frag.Nat.		77	57		164	nwse	se	39	20	2	
2016	B1.1		D30	7	Calcària	Frag.Nat.		24	45		162		v	22	21	18	Fragmentat en 3 trossos
2016	B1.1		D30	8	Sílex	BPF		37	68		161	ns	s	28	16	4	
2016	B1.1		D30	9	Os	Maxil·lar	O. cuniculus	46	71		162	nesw	p	27	9	4	
2016	B1.1		D30	10	Os	Húmer	Lepo	45	77		162			34	6	5	Coordenades aproximades
2016	B1.1		D30	11	Sílex	BP		51	91		161	ew	p	47	24	13	
2016	B1.1		D30	12	Os	Tíbia	Lepo	54	90		160	ew	p	38	7	5	
2016	B1.1		D30	13	Os	Fèmur	Lepo	77	74		163	nesw	p	40	10	6	
2016	B1.1		D30	14	Sílex	BNC	LD21	32	63		163	nesw	ne	24	5	3	
2016	B1.1		D30	15	Os	Tíbia	Lepo	41	73		161	ew	p	27	7	6	
2016	B1.1		D30	16	Os	Escàpula	O. cuniculus	29	77		161	ns	s	28	10	6	
2016	B1.1		D30	17	Os	Tíbia	Lepo	32	75		162	nesw	sw	67	20	7	
2016	B1.1		D30	18	Os	Maxil·lar	Lepo	32	89		161	ns	p	24	15	12	
2016	B1.1		D30	19	Sílex	BP		30	86		159	nwse	se	16	15	5	
2016	B1.1		D30	20	Sílex	BNC	Sind	52	84		162	nwse	se	43	23	7	
2016	B1.1		D30	21	Calcària	Bloc		48	22		167	nwse	se	56	30	25	
2016	B1.1		D30	22	Calcària	Frag		67	20		168	nwse	p	55	40	10	
2016	B1.1		D30	23	Sílex	BNP		71	10		168	ns	p	70	45	30	Hcl. Cremat
2016	B1.1		D30	24	Sílex	BP		84	10		168	ew	p	45	28	7	
2016	B1.1		D30	25	Sílex	BP		82	37		166	nwse	p	55	35	10	
2016	B1.1		D30	26	Os	Crani	Lepo	96	30		165	ns	p	18	13	8	
2016	B1.1		D30	27	Llavor			97	23		166						
2016	B1.1		D31	1	Sílex	FBP		9	85		162	ns	n	15	11	5	
2016	B1.1		D31	2	Sílex	BNC	Bc2	17	77		161	ns	p	45	23	10	
2016	B1.1		D31	3	Sílex	FBP		27	79		161	nwse	nw	21	18	7	
2016	B1.1		D31	4	Sílex	FBP		40	76		160	nwse	nw	22	20	8	Cremat
2016	B1.1		D31	5	Os	Metatars	C. pyrenaica	24	38		163	nwse	p	92	20	17	
2016	B1.1		D31	6	Carbó			28			162						
2016	B1.1		D31	7	Os	Mandíbula	O. cuniculus	10	78		162	ns	n	21	12	6	
2016	B1.1		D31	8	Malaco	Marina		35	64		162	ns	n	27	20	5	
2016	B1.1		D31	9	Carbó			13	79		163						
2016	B1.1		D31	10	Os	Tíbia	Lepo	16	80		163	nesw	p	27	10	5	

2016	B1.1		D31	11	Os	Calcani	Lepo	52	79		160	ew	p	25	10	8	
2016	B1.1		D31	12	Os	Tíbia	Lepo	57	66		160	ns	s	31	6	4	
2016	B1.1		D31	13	Os	Húmer	O. cuniculus	57	53		162	nesw	sw	45	10	10	
2016	B1.1		D31	14	Calcària	FBP		45	44		163	ew	p	37	18	12	
2016	B1.1		D31	15	Esquist	Frag		17	49		164	nwse	p	54	33	17	
2016	B1.1		D31	16	Os	Costella	Indet	26	74		163	nesw	ne	25	7	5	
2016	B1.1		D31	17	Os	Húmer	O. cuniculus	56	52		162	ns	s	27	15	14	
2016	B1.1		D31	18	Dent	P3 inf	O. cuniculus	4	36		165	nesw	sw	15	5	5	
2016	B1.1		D31	19	Sílex	BNC	G11	30	31		165	nesw	sw	28	22	12	
2016	B1.1		D31	20	Os	Fèmur	Phasianidae	6	21		166	ns	s	32	6	5	
2016	B1.1		D31	21	Sílex	BP		20	13		167	ns	v	22	16	9	
2016	B1.1		D31	22	Os	Fèmur	Lepo	32	10		166	ew	p	25	8	5	
2016	B1.1		D31	23	Sílex	BP		17	76		163	ew	p	30	24	7	
2016	B1.1		D31	24	Sílex	BP		96	80		159	ns	p	21	16	2	
2016	B1.1		D31	25	Os	Tíbia	Lepo	73	54		160	nesw	sw	30	9	6	
2016	B1.1		D31	26	Carbó			90	53		160						
2016	B1.1		D31	27	Sílex	BNC	G11	45	24		166	ns	n	35	20	17	Hcl. Cremat
2016	B1.1		D31	28	Os	Llarg	Macro	47	29		165	ns	p	28	16	5	
2016	B1.1		D31	29	Os	Ulna	Lepo	68	46		162	ns	p	14	2	1	
2016	B1.1		D31	30	Os	Húmer	Lepo	73	43		162	nesw	sw	32	8	5	
2016	B1.1		D31	31	Carbó			98	46		160						
2016	B1.1		D31	32	Os	Pla	Macro	88	24		160	ew	p	37	18	2	
2016	B1.1		D31	33	Os	Escàpula	Lepo	99	15		160	nwse	p	47	10	3	
2016	B1.1		D31	34	Os	Ulna	Phasianidae	96	84		158	nwse	p	27	5	4	
2016	B1.1		D31	35	Sílex	FBP		80	73		160	nesw	p	33	18	5	
2016	B1.1		D31	36	Os	Falange	C. pyrenaica	75	63		161	ew	e	26	11	6	
2016	B1.1		D31	37	Os	Fèmur	Lepo	82	65		161	ns	s	22	6	5	
2016	B1.1		D31	38	Os	Mandíbula	O. cuniculus	83	60		161	nesw	p	44	22	7	
2016	B1.1		D31	39	Os	Radi	O. cuniculus	5	2		168	nesw	sw	40	7	5	
2016	B1.1		D31	40	Sílex	BNC	D23	19	3		168	nwse	p	42	28	21	Cremat
2016	B1.1		D31	41	Sílex	BP		67	6		164	ew	w	23	22	7	Cremat
2016	B1.1		D31	42	Os	Metatars	Lepo	73	10		163	nwse	p	17	5	4	
2016	B1.1		D31	43	Os	Tíbia	Lepo	79	12		162	ew	p	31	5	4	
2016	B1.1		D31	44	Ocre			65	26		163	ns	p	20	15	12	
2016	B1.1		D31	45	Sílex	FBP		71	40		162	nwse	nw	29	27	19	
2016	B1.1		D31	46	Sílex	BP		80	55		162	nesw	p	30	20	7	
2016	B1.1		D31	47	Esquist	Frag		83	55		162	q	p	54	54	10	
2016	B1.1		D31	48	Carbó			85	71		162						
2016	B1.1		D31	49	Calcària	Frag.Nat.		56	71		162	nwse	p	25	17	6	
2016	B1.1		D31	50	Asta	Banya	C. pyrenaica	97	32		168	ns	p	45	16	12	
2016	B1.1		D31	51	Sílex	BPF		82	0		162	ns	p	44	34	18	Cremat
2016	B1.1		D31	52	Os	Escàpula	O. cuniculus	11	2		161	nwse	se	23	10	6	
2016	B1.1		D32	1	Os	Falange	Lynx sp.	86	14		161			23	7	5	Coordenades aproximades
2016	B1.1		D32	2	Quars	Frag.Nat.		49	31		160	q	e	26	21	20	
2016	B1.1		D32	3	Os	Tíbia	Lepo	48	22		161	nwse	nw	26	6	2	
2016	B1.1		D32	4	Sílex	BPF		47	22		160	nwse	nw	21	17	5	
2016	B1.1		D32	5	Os	Fèmur	Lepo	40	29		160	nwse	se	25	10	7	
2016	B1.1		D32	6	Os	Mandíbula	O. cuniculus	5	3		162	nwse	p	46	15	8	
2016	B1.1		D32	7	Os	Llarg	Macro	34	5		162	ns	s	35	10	4	
2016	B1.1		D32	8	Os	Tíbia	Lepo	25	2		161			21	5	4	
2016	B1.1		D32	9	Os	Llarg	Macro	15	12		161	ew	p	34	7	5	
2016	B1.1		D32	10	Dent	I1 inf	Lepo	1	25		160			15	3	2	

2016	B1.1		D32	11	Os	Fèmur	Lepo	7	43		159			24	7	6	Coordenades aproximades
2016	B1.1		D32	12	Os	Tíbia	Lepo	13	46		160	nesw	p	21	5	3	
2016	B1.1		D32	13	Os	Fèmur	Lepo	18	52		159			24	7	2	Coordenades aproximades
2016	B1.1		D32	14	Os	Fèmur	Lepo	22	60		159			25	5	5	Coordenades aproximades
2016	B1.1		D32	15	Os	Tíbia	Lepo	55	52		161	nesw	sw	34	3	2	
2016	B1.1		D32	16	Os	Mandíbula	O. cuniculus	89	57		158	ew	w	23	10	6	
2016	B1.1		D32	17	Os	Húmer	Lepo	80	65		160	ew	p	24	4	4	
2016	B1.1		D32	18	Sílex	BP		90	70		159	nesw	se	18	11	2	Cremat
2016	B1.1		D32	19	Calcària	Bloc		75	78		159	nwse	p	60	50	35	Cremat
2016	B1.1		D32	20	Sílex	BNC	D25	3	46		161	nesw	se	30	29	8	
2016	B1.1		D32	21	Os	Mandíbula	O. cuniculus	23	81		158	nwse	se	35	15	6	
2016	B1.1		D32	22	Os	Indet	Macro	40	54		158	nesw	p	33	9	6	
2016	B1.1		D32	23	Os	Tíbia	Lepo	39	64		159	nwse	p	28	7	5	
2016	B1.1		D32	24	Os	Radi	Lepo	44	86		159	nesw	ne	20	5	3	
2016	B1.1		D32	25	Os	Mandíbula	C. capreolus	70	76		159	nesw	vh	24	12	4	
2016	B1.1		D32	26	Sílex	BP		77	78		159	nwse	se	20	15	3	Cremat
2016	B1.1		D32	27	Os	Pla	Macro	98	79		159	nesw	p	34	15	10	
2016	B1.1		D32	28	Os	Llarg	Macro	90	41		159	ns	p	30	5	2	Cremat
2016	B1.1		D32	29	Os	Llarg	Macro	66	49		160			21	16	4	
2016	B1.1		D32	30	Os	Costella	Macro	45	79		159	nesw	p	120	29	9	
2016	B1.1		D32	31	Os	Crani	C. elaphus	55	64		160	ew	p	47	35	11	
2016	B1.1		D32	32	Os	Húmer	O. cuniculus	41	58		159	ew	p	33	7	5	
2016	B1.1		D32	33	Os	Metàpod	Macro	33	55		160	nwse	p	40	22	10	
2016	B1.1		D32	34	Carbó			41	50		160						
2016	B1.1		D32	35	Sílex	FBP		97	79		161	ns	w	30	22	3	
2016	B1.1		D32	36	Sílex	FBP		99	80		159			23	12	5	Coordenades aproximades
2016	B1.1		D32	37	Sílex	BPF		54	46		160	nwse	se	30	26	15	Hcl
2016	B1.1		D32	38	Sílex	FBP		53	66		159	ns	p	29	17	8	Cremat
2016	B1.1		D32	39	Calcària	BP		43	70		160	q	p	27	24	4	
2016	B1.1		D32	40	Os	Húmer	O. cuniculus	35	57		160			11	7	5	Coordenades aproximades
2016	B1.1		D32	41	Os	Tíbia	Lepo	35	53		160	ew	w	31	5	4	
2016	B1.1		D32	42	Ocre			31	53		160						
2016	B1.1		D32	43	Esquist	Bn		23	77		163	nesw	sw	90	58	10	Fragment de placa gravada
2016	B1.1		D32	44	Os	Húmer	Lepo	27	86		160			29	7	4	Coordenades aproximades
2016	B1.1		D32	45	Os	Escàpula	O. cuniculus	34	90		157	ew	p	22	10	8	
2016	B1.1		D32	46	Sílex	FBP		40	85		160	nwse	p	28	19	5	
2016	B1.1		D32	47	Carbó			35	27		162						
2016	B1.1		D32	48	Os	Maxil·lar	Lepo	29	87		160	q	s	15	12	7	
2016	B1.1		D32	49	Os	Maxil·lar	O. cuniculus	35	85		160	ns	p	18	14	13	
2016	B1.1		D32	50	Os	Radi	O. cuniculus	51	85		159	nesw	sw	26	6	4	
2016	B1.1		D32	51	Os	Fèmur	Lepo	56	86		159	nesw	p	47	6	5	
2016	B1.1		D32	52	Os	Radi-ulna	C. pyrenaica	54	82		162	nwse	se	115	25	19	
2016	B1.1		D32	53	Os	Vèrtebra	Lepo	33	87		160			16	15	10	Coordenades aproximades
2016	B1.1		D32	54	Os	Ulna	O. cuniculus	28	90		159	ew	vv	32	8	5	
2016	B1.1		D32	55	Esquist	Frag		38	90		160	ew	sw	63	38	9	
2016	B1.1		D32	56	Sílex	BP		21	49		163	nesw	vh	14	7	1	
2016	B1.1		D32	57	Sílex	BP		30	39		163	nwse	vh	20	15	2	
2016	B1.1		D32	58	Sílex	BP		30	25		162	nwse	vh	20	15	10	
2016	B1.1		D32	59	Sílex	BP		43	51		162	nwse	vh	30	20	7	
2016	B1.1		D32	60	Os	Llarg	Macro	2	5		162	nesw	ne	30	13	4	
2016	B1.1		D32	61	Sílex	BNP		92	19		162	nwse	nw	68	60	36	Hcl
2016	B1.1		D32	62	Sílex	FBP		88	21		163	nwse	sw	15	7	1	

2016	B1.1		D32	63	Os	Radi	O. cuniculus	89	17		163	nwse	p	18	6	4	
2016	B1.1		D32	64	Os	Tíbia	Lepo	85	13		162	ns	p	24	10	3	
2016	B1.1		D32	65	Os	Tíbia	Lepo	65	31		163	nwse	nw	45	7	4	
2016	B1.1		D32	66	Calcària	Bn		61	39		162	ns	s	90	50	40	
2016	B1.1		D32	67	Os	Llarg	Macro	64	34		162	ns	s	28	10	9	
2016	B1.1		D32	68	Sílex	FBP		93	29		163	ns	p	23	10	5	
2016	B1.1		D32	69	Esquist	Frag		73	42		161	q	s	45	36	13	
2016	B1.1		D32	70	Os	Maxil·lar	O. cuniculus	45	60		161	q	p	13	13	13	
2016	B1.1		D32	71	Sílex	BNC	Sind	48	89		161	ns	n	24	19	9	Hcl
2016	B1.1		D32	72	Sílex	FBP		39	82		162	ew	vh	15	15	3	Cremat
2016	B1.1		D32	73	Os	Llarg	Macro	45	55		162	ew	p	24	6	5	
2016	B1.1		D32	74	Os	Crani	O. cuniculus	23	60		162	nwse	se	23	12	12	
2016	B1.1		D32	75	Os	Coxal	O. cuniculus	25	70		162	ns	s	33	17	4	
2016	B1.1		D32	76	Sílex	BPF		30	83		162	ns	vh	25	18	9	
2016	B1.1		D32	77	Sílex	BP		47	60		162	q	p	26	24	8	
2016	B1.1		D32	78	Sílex	BP		90	80		162	ew	p	24	9	3	
2016	B1.1		D32	79	Sílex	BP		7	5		168	ns	s	30	11	2	
2016	B1.1		D32	80	Sílex	BNC	G12	16	4		169	nesw	ne	33	23	8	
2016	B1.1		D32	81	Sílex	BNC	LD21				155-160			25	7	2	Trobat al rentat. Cremat
2016	B1.1		D32	82	Dent	Dp2 inf	C. elaphus				160-165			12	12	6	Trobat al rentat
2016	B1.1		D32	83	Dent	Dp3 inf	C. elaphus				155-160			10	9	4	Trobat al rentat
2016	B1.1		D33	1	Sílex	FBP		37	6		157			15	9	3	
2016	B1.1		D33	2	Calcària	Bn		42	7		156	nesw	sw	90	70	48	
2016	B1.1		D33	3	Os	Tíbia	Lepo	55	4		155	ns	n	36	4	3	
2016	B1.1		D33	4	Os	Fèmur	Lepo	64	12		154			19	6	4	Cremat. Coordenades aproximades
2016	B1.1		D33	5	Os	Fèmur	Lepo	97	5		154	nesw	p	18	8	4	
2016	B1.1		D33	6	Sílex	RT		8	5		158			9	9	2	
2016	B1.1		D33	7	Os	Fèmur	Phasianidae	33	6		158	nesw	sw	21	4	4	
2016	B1.1		D33	8	Sílex	BP		35	4		158	ew	w	30	22	6	
2016	B1.1		D33	9	Os	Llarg	Lepo	93	6		155			32	8	4	
2016	B1.1		D33	10	Os	Húmer	O. cuniculus	97	2		155			11	7	7	
2016	B1.1		D33	11	Sílex	BNC	T22	25	10		158			20	11	1	Hcl
2016	B1.1		D33	12	Os	Húmer	O. cuniculus	34	10		158	nwse	p	35	6	4	
2016	B1.1		D33	13	Os	Tíbia	Lepo	33	20		157	nwse	se	38	10	7	
2016	B1.1		D33	14	Esquist	Frag		52	34		155	nesw	nw	70	50	25	
2016	B1.1		D33	15	Sílex	FBP		69	26		155			26	12	4	Coordenades aproximades. Cremat
2016	B1.1		D33	16	Os	Tíbia	Lepo	80	26		155	nesw	sw	27	7	5	
2016	B1.1		D33	17	Sílex	RT		86	14		154			11	6	4	Coordenades aproximades. Cremat
2016	B1.1		D33	18	Sílex	BP		16	6		159	ns	vh	28	18	7	
2016	B1.1		D33	19	Os	Metacarp	C. elaphus	8	21		158	nwse	se	48	21	20	
2016	B1.1		D33	20	Os	Radi	Lepo	24	27		154			30	6	3	
2016	B1.1		D33	21	Os	Húmer	O. cuniculus	38	24		158	nwse	se	34	10	5	
2016	B1.1		D33	22	Os	Tíbia	O. cuniculus	44	17		157			20	4	3	
2016	B1.1		D33	23	Os	Fèmur	Lepo	55	29		157	nesw	sw	33	10	7	
2016	B1.1		D33	24	Sílex	BP		62	28		156	nwse	s	31	30	12	
2016	B1.1		D33	25	Os	Ulna	O. cuniculus	80	33		156			24	7	4	
2016	B1.1		D33	26	Sílex	BP		10	31		158	nesw	nw	49	29	8	
2016	B1.1		D33	27	Os	Llarg	Macro	18	31		159			20	4	3	Coordenades aproximades
2016	B1.1		D33	28	Os	Pla	Macro	25	33		157	nesw	sw	32	10	5	
2016	B1.1		D33	29	Os	Maxil·lar	O. cuniculus	34	28		158			20	10	5	
2016	B1.1		D33	30	Sílex	FBP		36	30		157	ew	p	21	19	5	
2016	B1.1		D33	31	Sílex	BP		40	27		157			12	10	3	Coordenades aproximades

2016	B1.1		D33	32	Sílex	BP		50	31		158	nesw	se	21	20	5	
2016	B1.1		D33	33	Os	Fèmur	Lepo	64	32		157	nwse	se	45	5	5	
2016	B1.1		D33	34	Os	Crani	Lepo	15	26		159			20	15	8	
2016	B1.1		D33	35	Sílex	BP		36	34		156	nesw	v	19	15	7	
2016	B1.1		D33	36	Os	Tíbia	Lepo	48	36		157			21	6	3	
2016	B1.1		D33	37	Os	Fèmur	Lepo	58	15		156			25	5	4	
2016	B1.1		D33	38	Sílex	BPF		82	25		155	nwse	p	21	20	8	
2016	B1.1		D33	39	Sílex	BPF		83	20		155			15	14	2	
2016	B1.1		D33	40	Sílex	BPF		93	12		154	nwse	nw	22	15	8	Crema
2016	B1.1		D33	41	Gres	Bloc		12	61	153	156	ew	p	130	75	35	
2016	B1.1		D33	42	Gres	Bloc		52	82	147	152	ns	n	110	75	35	Crema
2016	B1.1		D33	43	Calcària	Bn		29	41		156	ew	n	75	60	30	
2016	B1.1		D33	44	Os	Costella	Lepo	44	73		154			18	6	2	Coordenades aproximades
2016	B1.1		D33	45	Os	Costella	Indet	52	64		154	ns	s	25	6	3	
2016	B1.1		D33	46	Sílex	BP		58	81		153	ew	w	22	6	4	
2016	B1.1		D33	47	Calcària	Bn		43	34		157	ew	w	65	55	40	
2016	B1.1		D33	48	Os	Maxil-lar	O. cuniculus	49	68		155			28	11	10	
2016	B1.1		D33	49	Sílex	BNC	PD23	52	79		154			29	6	3	
2016	B1.1		D33	50	Os	Pla	Macro	61	75		153			22	7	3	Coordenades aproximades
2016	B1.1		D33	51	Sílex	FBP		62	47		154	nwse	p	19	7	5	
2016	B1.1		D33	52	Os	Mandíbula	O. cuniculus	63	50		155	nesw	p	57	20	11	
2016	B1.1		D33	53	Os	Crani	Lepo	31	43		156	nesw	p	24	12	5	
2016	B1.1		D33	54	Os	Fèmur	Lepo	23	39		156			20	4	3	Coordenades aproximades
2016	B1.1		D33	55	Os	Mandíbula	O. cuniculus	21	43		156			20	7	4	
2016	B1.1		D33	56	Os	Vèrtebra	Macro	14	68		156			20	7	3	
2016	B1.1		D33	57	Os	Crani	Lepo	18	81		156	nesw	p	21	7	3	
2016	B1.1		D33	58	Os	Coxal	O. cuniculus	28	75		155	nesw	p	34	17	10	
2016	B1.1		D33	59	Esquist	Frag		9	27		159	ew	p	90	80	10	
2016	B1.1		D33	60	Os	Escàpula	O. cuniculus	12	40		159	nesw	sw	28	10	8	
2016	B1.1		D33	61	Os	Mandíbula	O. cuniculus	22	43		157	ns	p	43	22	10	
2016	B1.1		D33	62	Os	Coxal	O. cuniculus	25	45		157	ns	p	24	16	10	
2016	B1.1		D33	63	Os	Tíbia	Lepo	4	76		158			23	6	4	
2016	B1.1		D33	64	Os	Costella	Lepo	8	78		158			21	6	2	
2016	B1.1		D33	65	Os	Llarg	Macro	12	83		157	ns	p	20	16	5	
2016	B1.1		D33	66	Os	Escàpula	Lepo	16	45		159	nesw	sw	28	5	3	
2016	B1.1		D33	67	Sílex	BPF		16	47		157	ns	p	28	22	10	
2016	B1.1		D33	68	Sílex	BP		16	5		159			13	12	4	Coordenades aproximades
2016	B1.1		D33	69	Os	Maxil-lar	O. cuniculus	3	81		159			24	18	15	
2016	B1.1		D33	70	Os	Mandíbula	O. cuniculus	11	84		159	ew	p	30	15	7	
2016	B1.1		D33	71	Os	Fèmur	O. cuniculus	15	80		159			21	6	4	Crema
2016	B1.1		D33	72	Os	Costella	Lepo	16	77		159			27	1	1	Coordenades aproximades
2016	B1.1		D33	73	Esquist	Frag		21	74		158	nwse	p	55	40	11	
2016	B1.1		D33	74	Os	Mandíbula	O. cuniculus	10	71		159			24	16	4	
2016	B1.1		D33	75	Os	Llarg	Lepo	18	60		159	nesw	sw	20	4	3	
2016	B1.1		D33	76	Os	Fèmur	Lepo	13	59		159	ns	s	30	6	4	
2016	B1.1		D33	77	Os	Húmer	O. cuniculus	17	84		158			14	8	6	
2016	B1.1		D33	78	Os	Maxil-lar	O. cuniculus	17	76		158			18	12	10	
2016	B1.1		D33	79	Os	Húmer	O. cuniculus	7	67		159	nesw	sw	35	6	4	
2016	B1.1		D33	80	Carbó			2	13		161						
2016	B1.1		D33	81	Os	Tíbia	Lepo	36	9		159			24	5	4	
2016	B1.1		D33	82	Sílex	FBP		46	2		158			14	6	3	Coordenades aproximades
2016	B1.1		D33	83	Calcària	BNP		47	7		159	nwse	p	50	45	73	

2016	B1.1		D33	84	Os	Ulna	O. cuniculus	49	26		158	nesw	p	25	7	4	
2016	B1.1		D33	85	Os	Húmer	Lepo	45	35		158			22	5	3	
2016	B1.1		D33	86	Os	Ulna	O. cuniculus	46	47		157	ew	p	20	5	3	
2016	B1.1		D33	87	Os	Húmer	Lepo	42	50		156	nwse	se	20	7	3	
2016	B1.1		D33	88	Os	Ulna	C. elaphus	64	85		156	ns	s	83	15	10	
2016	B1.1		D33	89	Sílex	FBP		65	40		156	nesw	sw	24	8	5	
2016	B1.1		D33	90	Os	Fèmur	Lepo	29	22		159			25	5	3	
2016	B1.1		D33	91	Os	Mandíbula	O. cuniculus	17	8		159	ew	p	22	7	6	
2016	B1.1		D33	92	Sílex	BNP		92	10		156	ew	w	55	40	15	Hcl
2016	B1.1		D33	93	Sílex	FBP		89	14		157			19	15	7	Cremat
2016	B1.1		D33	94	Dent	Caní sup	Lynx sp.	80	18		156	ew	w	30	8	6	
2016	B1.1		D33	95	Os	Tíbia	Lepo	84	52		155			20	8	4	
2016	B1.1		D33	96	Sílex	BP		90	57		154			17	12	3	
2016	B1.1		D33	97	Os	Fèmur	Macro	4	3		162	nwse	nw	78	23	20	
2016	B1.1		D33	98	Sílex	BP		12	2		160			23	6	2	Coordenades aproximades
2016	B1.1		D33	99	Os	Fèmur	Lepo	5	16		161	ew	w	50	8	6	
2016	B1.1		D33	100	Sílex	BP		0	38		161			22	12	4	Coordenades aproximades
2016	B1.1		D33	101	Sílex	BPF		7	38		160			16	11	2	Coordenades aproximades
2016	B1.1		D33	102	Os	Tíbia	Lepo	3	57		160	ns	n	37	7	4	
2016	B1.1		D33	103	Os	Tíbia	Lepo	3	64		160			28	6	3	
2016	B1.1		D33	104	Sílex	FBP		2	73		160	nwse	nw	29	17	5	
2016	B1.1		D33	105	Os	Maxil·lar	O. cuniculus	1	79		160			26	12	12	
2016	B1.1		D33	106	Calcària	Frag.Nat.		40	39		158	nwse	nw	21	18	10	
2016	B1.1		D33	107	Os	Húmer	O. cuniculus	12	71		160	ns	p	40	8	4	
2016	B1.1		D33	108	Os	Fèmur	Lepo	12	8		160			19	7	4	
2016	B1.1		D33	109	Sílex	BNC	D21	22	19		161	ew	w	36	27	14	Cremat
2016	B1.1		D33	110	Os	Llarg	Lepo	14	33		161			23	4	3	Coordenades aproximades
2016	B1.1		D33	111	Os	Húmer	O. cuniculus	12	52		159			19	8	6	
2016	B1.1		D33	112	Calcària	Bloc		16	77		159	nwse	se	74	60	40	Cremat
2016	B1.1		D33	113	Sílex	BP		11	72		160			20	11	8	Cremat
2016	B1.1		D33	114	Os	Llarg	Macro	4	66		159	ns	s	27	12	6	
2016	B1.1		D33	115	Carbó			6	70		161						
2016	B1.1		D33	116	Os	Crani	Lepo	25	79		159	nwse	p	21	4	2	
2016	B1.1		D33	117	Sílex	FBP		21	76		159	nesw	p	20	13	6	
2016	B1.1		D33	118	Sílex	FBP		20	68		159			18	8	2	
2016	B1.1		D33	119	Sílex	BP		22	6		161	nesw	sw	20	18	3	
2016	B1.1		D33	120	Calcària	Bn		47	20		160	ns	p	75	55	40	
2016	B1.1		D33	121	Sílex	BP		49	1		160	nesw	sw	40	36	11	
2016	B1.1		D33	122	Sílex	BNC	BNC(F)	42	34		159			17	14	4	Cremat
2016	B1.1		D33	123	Os	Mandíbula	O. cuniculus	45	30		159	ns	p	25	7	4	
2016	B1.1		D33	124	Os	Radi	O. cuniculus	46	53		159			27	4	3	Coordenades aproximades
2016	B1.1		D33	125	Os	Llarg	Macro	40	24		159	nwse	se	33	9	4	
2016	B1.1		D33	126	Os	Maxil·lar	O. cuniculus	52	38		160	nwse	p	20	14	9	
2016	B1.1		D33	127	Os	Llarg	Macro	58	39		159			26	8	5	
2016	B1.1		D33	128	Sílex	FBP		81	59		158			15	5	3	Coordenades aproximades
2016	B1.1		D33	129	Os	Fèmur	Lepo	63	77		159			20	6	3	
2016	B1.1		D33	130	Os	Fèmur	Lepo	71	72		158			20	6	4	
2016	B1.1		D33	131	Sílex	BNC	B12-B23	93	72		155	ns	s	45	35	15	Hcl
2016	B1.1		D33	132	Os	Tíbia	Lepo	90	69		155	nwse	nw	27	6	5	
2016	B1.1		D33	133	Os	Húmer	O. cuniculus	58	32		159			13	10	5	Coordenades aproximades
2016	B1.1		D33	134	Os	Crani	O. cuniculus	68	31		159			20	15	10	
2016	B1.1		D33	135	Calcària	Frag.Nat.		56	58		160			15	14	3	

2016	B1.1		D33	136	Sílex	BNC	G12	80	59		160	nwse	p	45	25	15	Hcl
2016	B1.1		D33	137	Sílex	BNC	G11	98	62		154	ew	v	45	25	6	
2016	B1.1		D33	138	Sílex	BP		84	37		158	ns	s	55	32	13	
2016	B1.1		D33	139	Os	Fèmur	Lepo	90	50		158			23	6	4	Cremat
2016	B1.1		D33	140	Sílex	BPF		51	34		159	ns	s	23	12	10	
2016	B1.1		D33	141	Os	Fèmur	Lepo	73	8		159	nwse	p	30	6	4	
2016	B1.1		D33	142	Dent	I1 sup	O. cuniculus	80	3		157	nesw	sw	16	2	2	
2016	B1.1		D33	143	Sílex	FBP		85	9		158	nesw	sw	32	20	15	Cremat
2016	B1.1		D33	144	Os	Fèmur	O. cuniculus	99	14		156			15	10	10	
2016	B1.1		D33	145	Os	Fèmur	Lepo	95	27		156	ns	p	25	6	4	Cremat
2016	B1.1		D33	146	Sílex	FBP		95	84		156			16	10	4	Coordenades aproximades
2016	B1.1		D33	147	Os	Coxal	Lepo	99	63		154			20	6	6	
2016	B1.1		D33	148	Os	Tíbia	Lepo	100	3		155	nwse	se	50	6	4	
2016	B1.1		D33	149	Sílex	BNC	Sind	90	11		158	nesw	sw	48	27	10	Hcl. Cremat
2016	B1.1		D33	150	Calcària	Frag.Nat.		99	23		157	ew	p	35	11	3	
2016	B1.1		D33	151	Os	Metatars	S. scrofa				155-160			21	12	12	Trobat al rentat
2016	B1.1		D33	152	Os	Indet	Indet				155-160			21	14	11	Trobat al rentat
2016	B1.1		D33	153	Dent	Premolar	S. scrofa				160-165			18	10	5	Trobat al rentat
2016	B1.1		D33	154	Malaco		Marina				160-165			19	17	4	Trobat al rentat
2016	B1.1		D33	155	Sílex	BNC	PD23				155-160			18	7	3	Trobat al rentat
2016	B1.1		E29	1	Esquist	Frag		12	15		180	nwse	p	65	55	20	
2016	B1.1		E29	2	Esquist	Bloc		10	16		178	ns	ne	90	57	12	
2016	B1.1		E29	3	Sílex	BP		12	35		176			35	20	7	Coordenades aproximades
2016	B1.1		E29	4	Os	Tíbia	Lepo	4	43		173			26	10	3	
2016	B1.1		E29	5	Os	Mandíbula	O. cuniculus	11	50		174	nwse	p	25	15	5	
2016	B1.1		E29	6	Os	Fèmur	Lepo	13	55		174	nwse	nw	55	9	9	
2016	B1.1		E29	7	Os	Mandíbula	O. cuniculus	4	58		173	ns	n	43	17	6	
2016	B1.1		E29	8	Sílex	BNP		3	13		178	nwse	p	28	20	8	Hcl
2016	B1.1		E29	9	Esquist	Frag		54	72	172	175	nwse	nw	140	70	15	
2016	B1.1		E29	10	Sílex	FBP		18	89		170	nesw	nw	36	20	10	Cremat
2016	B1.1		E29	11	Sílex	BP		24	100		168	ns	vh	50	15	5	
2016	B1.1		E29	12	Sílex	RT		30	100		168			10	8	2	
2016	B1.1		E29	13	Os	Fèmur	Lepo	43	93		170	nwse	nw	35	9	6	
2016	B1.1		E29	14	Os	Fèmur	Lepo	81	88		171			25	8	6	
2016	B1.1		E29	15	Os	Radi	O. cuniculus	83	87		171			21	5	5	Coordenades aproximades
2016	B1.1		E29	16	Os	Ulna	O. cuniculus	73	65		175			27	4	3	Coordenades aproximades
2016	B1.1		E29	17	Os	Mandíbula	O. cuniculus	79	61		174	ns	vh	37	20	8	
2016	B1.1		E29	18	Sílex	RT		79	63		174			10	9	2	
2016	B1.1		E29	19	Os	Mandíbula	O. cuniculus	89	63		173	q	s	20	20	5	
2016	B1.1		E29	20	Sílex	BNC	G11	93	73		171	nwse	nw	25	15	8	
2016	B1.1		E29	21	Os	Tíbia	Lepo	89	65		174			35	10	7	
2016	B1.1		E29	22	Dent	I1 inf	Lepo	78	68		174			17	3	2	
2016	B1.1		E29	23	Carbó			86	74		173						
2016	B1.1		E29	24	Os	Mandíbula	O. cuniculus	92	91		171			36	19	10	
2016	B1.1		E29	25	Sílex	FBP		89	95		171			25	15	3	
2016	B1.1		E29	26	Dent	I1 sup	O. cuniculus	28	80		173			16	3	2	
2016	B1.1		E29	27	Os	Fèmur	Lepo	5	39		174	ew	s	46	8	5	
2016	B1.1		E29	28	Os	Tíbia	O. cuniculus	10	37		175	nesw	sw	41	7	6	
2016	B1.1		E29	29	Sílex	FBP		3	18		179	ns	w	29	24	5	Hcl. Cremat
2016	B1.1		E29	30	Os	Fèmur	Lepo	4	29		180			24	6	5	Coordenades aproximades
2016	B1.1		E29	31	Os	Tíbia	O. cuniculus	44	74		177	nwse	se	30	7	6	Fragmentat
2016	B1.1		E29	32	Sílex	FBP		46	69		177	nesw	se	32	27	6	

2016	B1.1		E29	33	Os	Llarg	Macro	95	30		176	ew	e	27	11	3	
2016	B1.1		E29	34	Os	Mandíbula	O. cuniculus	61	2		181	ew	n	31	15	4	
2016	B1.1		E29	35	Calcària	Bn		97	48	172	175	ns	s	75	60	30	
2016	B1.1		E29	36	Sílex	FBP		93	54		176	ns	n	38	30	15	Hcl
2016	B1.1		E29	37	Os	Radi	O. cuniculus	78	50		176	ew	p	30	5	3	
2016	B1.1		E29	38	Calcària	Bloc		60	21		179	ew	w	71	51	10	
2016	B1.1		E29	39	Os	Tíbia	Macro	61	16		178	nwse	s	35	14	7	
2016	B1.1		E29	40	Os	Tíbia	Lepo	86	35		173			22	6	5	
2016	B1.1		E29	41	Os	Llarg	Macro	92	34		176	nesw	se	28	15	4	
2016	B1.1		E29	42	Calcària	Bloc		81	30	173	179	ns	s	75	60	40	
2016	B1.1		E29	43	Os	Fèmur	Lepo	53	37		178	nesw	sw	27	7	6	
2016	B1.1		E29	44	Os	Fèmur	Lepo	16	48		177	nesw	se	28	7	6	
2016	B1.1		E29	45	Os	Radi	O. cuniculus	70	49		177	ns	s	27	4	3	
2016	B1.1		E29	46	Os	Llarg	Macro	43	9		180	ns	s	24	7	4	
2016	B1.1		E29	47	Os	Tíbia	O. cuniculus	64	18		182	ns	n	42	6	5	Fragmentat
2016	B1.1		E29	48	Os	Radi	O. cuniculus	8	38		177			22	5	4	Coordenades aproximades
2016	B1.1		E29	49	Os	Fèmur	Lepo	2	37		180	ns	p	26	6	5	
2016	B1.1		E29	50	Sílex	BNC	LD21				170-175			19	5	2	Trobat al rentat
2016	B1.1		E29	51	Sílex	BNC	LD21				175-180			8	3	2	Trobat al rentat
2016	B1.1		E30	1	Os	Mandíbula	O. cuniculus	30	36		174	ew	s	37	17	7	
2016	B1.1		E30	2	Os	Llarg	Macro	23	33		175	nwse	se	26	16	12	
2016	B1.1		E30	3	Os	Tíbia	Lepo	18	20		177			20	6	5	Coordenades aproximades
2016	B1.1		E30	4	Os	Fèmur	Lepo	65	25		176	ew	e	44	8	7	Fragmentat
2016	B1.1		E30	5	Os	Falange	S. scrofa	52	31		175			26	12	8	Coordenades aproximades
2016	B1.1		E30	6	Sílex	BP		17	65		172			24	18	5	Coordenades aproximades
2016	B1.1		E30	7	Os	Coxal	Lepo	11	36		176			20	7	6	Coordenades aproximades
2016	B1.1		E30	8	Os	Tíbia	Lepo	24	33		176			26	7	5	Coordenades aproximades
2016	B1.1		E30	9	Os	Coxal	Lepo	5	14		180			20	10	7	Coordenades aproximades
2016	B1.1		E30	10	Os	Llarg	Macro	9	8		182			26	12	6	Coordenades aproximades
2016	B1.1		E30	11	Os	Crani	Macro	10	3		182			22	20	10	Coordenades aproximades
2016	B1.1		E30	12	Sílex	BNP		47	5	174	181	ns	v	94	58	50	
2016	B1.1		E30	13	Os	Llarg	Macro	8	19		179			27	7	5	Coordenades aproximades
2016	B1.1		E30	14	Os	Mandíbula	O. cuniculus	36	9		180	ew	sw	21	11	5	
2016	B1.1		E30	15	Os	Tíbia	Lepo	81	9		180			23	8	5	Coordenades aproximades
2016	B1.1		E30	16	Os	Mandíbula	O. cuniculus	19	28		178	ew	s	30	17	8	Fragmentat
2016	B1.1		E30	17	Os	Llarg	Macro	53	33		176	ew	p	30	8	7	
2016	B1.1		E30	18	Os	Húmer	C. elaphus	86	53		173	nesw	sw	87	38	17	
2016	B1.1		E30	19	Sílex	BNC	PD23	67	22		178	ew	s	35	33	8	Hcl
2016	B1.1		E30	20	Os	Calcani	Lepo	16	28		178			22	9	7	Coordenades aproximades
2016	B1.1		E30	21	Os	Escàpula	Lepo	21	29		178			21	6	3	Coordenades aproximades
2016	B1.1		E30	22	Os	Coxal	O. cuniculus	41	41		175			21	14	7	Coordenades aproximades
2016	B1.1		E30	23	Calcària	Bn		52	48	169	175	nesw	se	104	61	40	
2016	B1.1		E30	24	Granit	Bn		39	28	167	177	nesw	e	180	117	55	
2016	B1.1		E30	25	Sílex	FBP		74	84		169	ns	s	25	14	6	Cremat
2016	B1.1		E30	26	Os	Mandíbula	O. cuniculus	75	56		172			20	13	6	Coordenades aproximades
2016	B1.1		E30	27	Os	Fèmur	Lepo	74	50		172			21	7	5	Coordenades aproximades
2016	B1.1		E30	28	Esquist	Frag		28	78	167	169	nwse	nw	102	92	12	
2016	B1.1		E30	29	Os	Tíbia	Lepo	75	98		168	ew	w	28	7	4	
2016	B1.1		E30	30	Ocre			77	95		168						
2016	B1.1		E30	31	Dent	l1 sup	O. cuniculus	87	95		169	nwse	p	14	3	2	
2016	B1.1		E30	32	Os	Ulna	Phasianidae	96	99		168	nwse	p	20	5	4	
2016	B1.1		E30	33	Os	Llarg	Macro	24	99		170	ns	p	35	6	6	

2016	B1.1		E30	34	Os	Tibia	Lepo	86	84		171	nesw	p	35	7	5	
2016	B1.1		E30	35	Sílex	BP		99	70		173	ns	p	40	15	11	Hcl
2016	B1.1		E30	36	Os	Tibia	Macro	98	69		171	nesw	ne	26	13	5	
2016	B1.1		E30	37	Calcària	Bloc		76	63		173	ns	s	67	64	32	
2016	B1.1		E30	38	Arenisca	Bloc		75	76	167	172	ew	p	105	50	39	
2016	B1.1		E30	39	Os	Tmt	Phasianidae	71	69		171	ns	p	22	10	5	
2016	B1.1		E30	40	Sílex	FBP		91	49		175	ns	p	32	22	4	Creemat
2016	B1.1		E30	41	Os	Costella	Macro	95	46		176	ns	n	45	15	4	
2016	B1.1		E30	42	Os	Tibia	Lepo	93	70		173	nwse	p	22	6	3	
2016	B1.1		E30	43	Os	Escàpula	O. cuniculus	1	86		170	ew	p	31	19	17	
2016	B1.1		E30	44	Sílex	BP		10	88		171	nwse	se	31	14	8	
2016	B1.1		E30	45	Sílex	BPF		26	77		170	q	p	20	15	5	
2016	B1.1		E30	46	Sílex	FBP		42	81		171	ns	p	12	11	2	
2016	B1.1		E30	47	Sílex	BNC	D21	52	71		171	nwse	se	27	19	10	Hcl
2016	B1.1		E30	48	Os	Mandíbula	O. cuniculus	34	40		172			20	15	5	Coordenades aproximades
2016	B1.1		E30	49	Os	Húmer	O. cuniculus	50	54		173	nesw	sw	38	7	5	
2016	B1.1		E30	50	Sílex	BNC	Sind	46	40		177	ns	p	32	15	6	Hcl
2016	B1.1		E30	51	Esquist	Frag		73	36		176	ew	w	45	30	5	
2016	B1.1		E30	52	Os	Ulna	Lepo	45	82		176	ew	e	22	6	5	
2016	B1.1		E30	53	Calcària	BP		3	38		178	ns	p	76	27	22	
2016	B1.1		E30	54	Os	Metatars	C. elaphus	12	78		171	nesw	p	40	26	10	
2016	B1.1		E30	55	Sílex	FBP		71	33		176	ew	p	36	25	12	
2016	B1.1		E30	56	Os	Fèmur	C. elaphus	41	76		172	ew	p	97	32	17	
2016	B1.1		E30	57	Os	Fèmur	O. cuniculus	53	67		173	nwse	p	22	18	18	
2016	B1.1		E30	58	Os	Crani	O. cuniculus	90	72		172	ew	p	25	9	5	
2016	B1.1		E30	59	Os	Falange	Lepo	100	35		178	nesw	p	16	5	3	
2016	B1.1		E30	60	Os	Mandíbula	O. cuniculus	100	17		180	ew	v	34	10	5	
2016	B1.1		E30	61	Sílex	BNC	BNC(F)			175-180				17	11	2	Trobat al rentat
2016	B1.1		E31	1	Dent	I1 inf	Lepo	57	86		165			18	4	3	Coordenades aproximades
2016	B1.1		E31	2	Os	Mandíbula	O. cuniculus	85	98		163	nwse	p	26	11	6	
2016	B1.1		E31	3	Sílex	BP		93	93		162	ew	s	34	28	5	Creemat
2016	B1.1		E31	4	Sílex	BPF		98	66		163	nwse	nw	30	16	12	
2016	B1.1		E31	5	Esquist	Frag.Nat.		76	75		165	nesw	v	25	17	2	
2016	B1.1		E31	6	Sílex	BP		45	80		167	ew	p	31	16	13	
2016	B1.1		E31	7	Calcària	Frag.Nat.		35	100		166	ew	p	25	19	20	
2016	B1.1		E31	8	Os	Húmer	O. cuniculus	10	10		179	ns	s	23	5	3	
2016	B1.1		E31	9	Sílex	BP		7	17		178	nwse	s	26	23	10	Creemat
2016	B1.1		E31	10	Os	Fèmur	Lepo	7	21		177	nesw	ne	20	8	5	
2016	B1.1		E31	11	Os	Tibia	Macro	10	76		170	nwse	nw	54	18	9	
2016	B1.1		E31	12	Sílex	BP		20	75		170	ew	p	16	11	2	Creemat
2016	B1.1		E31	13	Os	Radi	Lepo	22	79		168	nesw	p	20	4	2	
2016	B1.1		E31	14	Carbó			22	83		169						
2016	B1.1		E31	15	Granit	Bn		24	68	165	171	ns	n	90	75	50	
2016	B1.1		E31	16	Esquist	Frag		6	10		182	ns	s	90	84	6	
2016	B1.1		E31	17	Os	Escàpula	O. cuniculus	4	17		180	nwse	se	27	10	5	
2016	B1.1		E31	18	Sílex	BPF		5	21		179	ew	s	25	20	10	
2016	B1.1		E31	19	Calcària	Bloc		11	24		180	nesw	p	54	50	19	
2016	B1.1		E31	20	Calcària	Bloc		7	26	175	180	nesw	s	95	55	35	
2016	B1.1		E31	21	Calcària	Frag		22	73		173	nesw	p	49	26	25	
2016	B1.1		E31	22	Os	Tibia	O. cuniculus	26	77		171	nwse	s	45	6	6	
2016	B1.1		E31	23	Os	Tibia	O. cuniculus	28	74		171	ns	s	22	10	5	
2016	B1.1		E31	24	Esquist	Frag.Nat.		22	96		170	ew	p	20	12	1	

2016	B1.1		E31	25	Os	Mandíbula	O. cuniculus	61	93		167	ew	s	26	18	6	
2016	B1.1		E31	26	Os	Mandíbula	O. cuniculus	90	94		164	ns	e	38	25	6	
2016	B1.1		E31	27	Os	Mandíbula	O. cuniculus	95	94		163	ew	e	25	17	6	
2016	B1.1		E31	28	Sílex	BP		67	71		167	ew	v	25	20	6	Hcl
2016	B1.1		E31	29	Calcària	Bn		6	67	175	179	nesw	p	72	56	45	
2016	B1.1		E31	30	Sílex	BNC	Sind	12	56		175	nwse	vh	35	25	6	
2016	B1.1		E31	31	Os	Calcani	Lepo	12	66		174	ew	w	20	7	5	
2016	B1.1		E31	32	Os	Tíbia	Lepo	14	72		173	nesw	sw	25	6	3	
2016	B1.1		E31	33	Os	Húmer	O. cuniculus	19	72		173	nesw	ne	30	6	5	
2016	B1.1		E31	34	Os	Tíbia	Lepo	17	84		171	nwse	se	30	10	7	
2016	B1.1		E31	35	Esquist	Frag.Nat.		59	94		167	ew	w	36	30	9	
2016	B1.1		E31	36	Os	Fèmur	Lepo	61	90		167	nwse	se	30	8	7	
2016	B1.1		E31	37	Sílex	FBP		64	67		168	nwse	se	20	19	9	
2016	B1.1		E31	38	Os	Tíbia	Lepo	81	82		166	ew	w	21	5	4	
2016	B1.1		E31	39	Os	Costella	Macro	91	80		165	nwse	nw	27	7	5	
2016	B1.1		E31	40	Os	Llarg	Lepo	7	88		172	nwse	p	30	8	7	
2016	B1.1		E31	41	Os	Húmer	O. cuniculus	9	68		175	nwse	p	38	7	6	
2016	B1.1		E31	42	Calcària	Bloc		42	75		172	q	p	55	50	20	
2016	B1.1		E31	43	Os	Tíbia	Lepo	51	63		171	ns	s	59	9	7	
2016	B1.1		E31	44	Calcària	Frag.Nat.		84	97		165	ew	s	18	18	8	
2016	B1.1		E31	45	Sílex	FBP		84	82		166	ew	vh	25	14	3	
2016	B1.1		E31	46	Os	Fèmur	Lepo	93	80		165	nwse	p	21	6	2	
2016	B1.1		E31	47	Os	Llarg	Lepo	3	57		176			20	6	2	Coordenades aproximades
2016	B1.1		E31	48	Os	Húmer	O. cuniculus	6	55		176			17	6	4	Coordenades aproximades
2016	B1.1		E31	49	Os	Maxil·lar	O. cuniculus	11	60		177			20	11	4	Coordenades aproximades
2016	B1.1		E31	50	Os	Radi	O. cuniculus	13	64		173	nwse	sw	35	5	3	
2016	B1.1		E31	51	Sílex	BNC	BNC(F)	4	92		173	nesw	sw	29	16	5	
2016	B1.1		E31	52	Os	Costella	Lepo	12	86		173	nwse	p	24	4	2	
2016	B1.1		E31	53	Os	Calcani	Lepo	23	84		173	nwse	sw	21	11	6	
2016	B1.1		E31	54	Os	Llarg	Lepo	43	77		172	nesw	p	23	5	1	
2016	B1.1		E31	55	Os	Pla	Macro	56	62		171	nwse	se	26	14	7	
2016	B1.1		E31	56	Sílex	BP		92	95		165	ew	p	20	15	3	
2016	B1.1		E31	57	Calcària	Frag.Nat.		85	74		168	ew	p	17	15	2	
2016	B1.1		E31	58	Os	Llarg	Macro	82	62		167	nwse	se	24	6	3	
2016	B1.1		E31	59	Sílex	FBP		75	76		169			15	6	1	Coordenades aproximades
2016	B1.1		E31	60	Os	Llarg	Macro	55	83		171			25	6	3	Coordenades aproximades
2016	B1.1		E31	61	Dent	I1 inf	S. scrofa	50	80		170	nwse	se	48	13	6	
2016	B1.1		E31	62	Sílex	FBP		43	82		171			12	11	3	Coordenades aproximades
2016	B1.1		E31	63	Sílex	BP		29	81		174	ns	v	35	25	3	
2016	B1.1		E31	64	Sílex	BP		8	17		182	ns	e	27	14	5	
2016	B1.1		E31	65	Os	Fèmur	Lepo	8	53		178	nwse	p	22	9	6	
2016	B1.1		E31	66	Sílex	BPF		34	74		174	ew	w	30	26	9	
2016	B1.1		E31	67	Calcària	Bn		61	74	166	172	nwse	vh	60	57	25	
2016	B1.1		E31	68	Sílex	FBP		94	84		166	nwse	se	17	15	2	
2016	B1.1		E31	69	Os	Llarg	Macro	6	30		181			41	8	6	Coordenades aproximades
2016	B1.1		E31	70	Sílex	BNC	A2			175-180			19	12	4	Trobat al rentat	
2016	B1.1	3B	E32	1	Carbó			23	80		157						
2016	B1.1	3B	E32	2	Sediment	Mostra		25	95	159	160						Sediment cendrós
2016	B1.1		E32	3	Sílex	FBP		53	96		162	nwse	sw	42	20	7	Cremat
2016	B1.1		E32	4	Sílex	BNP		60	97		162	q	p	30	27	15	Hcl
2016	B1.1	3B	E32	5	Sediment	Mostra		20	78	158	162						Sediment cendrós
2016	B1.1	3C	E32	6	Os	Crani	Lepo	30	78		159	ew	s	17	11	1	

2016	B1.1	3C	E32	7	Sílex	BPF		29	76		159	ew	s	20	15	11	
2016	B1.1	3C	E32	8	Sílex	BP		31	90		162	nesw	vh	20	15	5	
2016	B1.1	3C	E32	9	Sediment	Mostra		17	69	160	162						Sediment rubefactat
2016	B1.1	3C	E32	10	Esquist	Bloc		20	65		160	q	p	42	40	14	
2016	B1.1		E32	11	Calcària	Bloc		24	57	157	162	ew	sw	90	80	50	
2016	B1.1		E32	12	Esquist	Bloc		40	57	153	161	nesw	sw	100	85	55	
2016	B1.1	3C	E32	13	Calcària	Bloc		35	70		161	q	s	50	50	25	
2016	B1.1		E32	14	Gres	Bloc		30	57	156	161	ew	s	110	70	30	
2016	B1.1	3C	E32	15	Os	Tíbia	Lepo	26	61		163	nesw	sw	32	8	2	Cremat
2016	B1.1		E32	16	Os	Fèmur	Lepo	49	55		161	nesw	p	26	6	5	Cremat
2016	B1.1		E32	17	Os	Tíbia	O. cuniculus	55	54		160	nesw	p	45	6	4	Cremat
2016	B1.1		E32	18	Os	Llarg	Macro	2	59		166	nesw	sw	57	9	2	
2016	B1.1		E32	19	Os	Radi	Lepo	5	57		168	ns	p	56	3	2	
2016	B1.1		E32	20	Os	Tíbia	Lepo	27	65		167			22	6	5	Coordenades aproximades
2016	B1.1		E32	21	Sílex	BNC	R11	48	78		165	nesw	s	60	43	10	Contacte UA3C. Hcl
2016	B1.1		E32	22	Dent	l1 inf	Lepo	52	84		164	ew	p	22	3	3	
2016	B1.1		E32	23	Os	Fèmur	Lepo	10	90		162	ns	v	27	7	6	
2016	B1.1		E32	24	Sílex	FBP		100	86		161	q	p	22	22	6	
2016	B1.1	3C	E32	25	Os	Mandíbula	O. cuniculus	2	98		166	nwse	p	20	10	4	Cremat
2016	B1.1	3C	E32	26	Sílex	BNC	D21	22	70		167	nesw	sw	55	32	10	Fragmentat. Cremat
2016	B1.1	3C	E32	27	Os	Ulna	S. scrofa	31	80		164	ns	s	40	32	12	
2016	B1.1		E32	28	Os	Fèmur	Lepo	24	63		167	ns	p	50	6	4	
2016	B1.1		E32	29	Calcària	Bloc		42	85		161	ew	p	70	55	25	Cremat
2016	B1.1		E32	30	Calcària	Bn		43	74		165	nesw	sw	80	50	40	
2016	B1.1	3C	E32	31	Sílex	FBP		17	90		164			18	10	2	Coordenades aproximades
2016	B1.1	3C	E32	32	Sílex	RT		27	86		164	ew	p	8	5	1	
2016	B1.1	3C	E32	33	Sílex	FBP		36	82		165	nwse	se	32	22	10	
2016	B1.1	3C	E32	34	Os	Mandíbula	O. cuniculus	17	70		167	ew	p	20	13	4	Cremat
2016	B1.1	3C	E32	35	Os	Fèmur	Lepo	8	70		168	ns	p	23	4	3	Cremat
2016	B1.1	3C	E32	36	Sílex	FBP		19	72		167	nwse	sw	15	9	1	
2016	B1.1	3C	E32	37	Sediment	Mostra		14	77		168	nwse	vh	20	12	2	
2016	B1.1	3C	E32	38	Sílex	BNC	Sind	34	88		165	nwse	se	27	10	5	
2016	B1.1	3C	E32	39	Os	Escàpula	O. cuniculus	17	94		166	nesw	sw	19	8	8	
2016	B1.1	3C	E32	40	Os	Ulna	O. cuniculus	8	95		166			14	8	4	
2016	B1.1	3C	E32	41	Os	Radi	O. cuniculus	15	100		166	ns	vh	24	5	2	
2016	B1.1		E32	42	Sílex	BNC	LD21				161-168			9	4	1	Sediment rubefactat. Trobat al rentat
2016	B1.1		E33	1	Os	Maxil·lar	O. cuniculus	17	82		157	nwse	sw	25	19	13	
2016	B1.1		E33	2	Sílex	FBP		28	90		157	ew	w	26	8	2	
2016	B1.1		E33	3	Os	Falange	C. elaphus	20	85		157	ns	p	23	17	7	Coordenades aproximades
2016	B1.1		E33	4	Sílex	FBP		32	89		156	nesw	se	20	13	7	
2016	B1.1		E33	5	Sílex	BP		6	77		158	nesw	p	31	17	6	
2016	B1.1		E33	6	Os	Mandíbula	O. cuniculus	6	85		158	nesw	p	34	18	6	
2016	B1.1		E33	7	Os	Fèmur	Lepo	13	82		158	nesw	p	23	8	6	
2016	B1.1		E33	8	Sílex	BP		16	80		159	nwse	p	40	30	12	
2016	B1.1		E33	9	Sílex	BP		21	97		158	ew	e	45	15	7	
2016	B1.1		E33	10	Os	Maxil·lar	O. cuniculus	49	82		157	nwse	p	20	17	9	
2016	B1.1		E33	11	Os	Mandíbula	O. cuniculus	5	87		159	nwse	p	16	15	5	
2016	B1.1		E33	12	Sílex	BP		24	92		159	q	p	30	26	10	
2016	B1.1		E33	13	Os	Tíbia	Lepo	55	85		158	ew	e	22	6	2	
2016	B1.1		E33	14	Os	Tíbia	Lepo	86	88		157	nwse	e	31	7	6	
2016	B1.1		E33	15	Calcària	Frag.Nat.		4	76		159	nwse	p	40	25	18	
2016	B1.1		E33	16	Calcària	Bloc		26	93	155	160	nwse	se	85	47	55	

2016	B1.1	E33	17	Calcària	Bn		39	88	153	159	nwse	p	115	70	48	
2016	B1.1	E33	18	Sílex	FBP		56	80		158	ns	n	26	12	6	Creemat
2016	B1.1	E33	19	Dent	Incisiu	C. pyrenaica	74	87		158			10	6	4	Coordenades aproximades
2016	B1.1	E33	20	Calcària	Bloc		85	82	152	158	nwse	p	90	65	60	
2016	B1.1	E33	21	Sílex	FBP					155-160			43	26	10	Trobat al rentat
2016	B1.1	E33	22	Malaco		Marina				155-160			21	20	4	Trobat al rentat
2016	B1.1	E34	17	Sílex	BP		13	78		151	ns	p	20	18	3	
2016	B1.1	E34	18	Esquist	Frag		9	49		154	ew	sw	63	43	10	
2016	B1.1	E34	19	Sílex	BNC	G22	12	38		154	nesw	sw	28	10	8	Hcl
2016	B1.1	E34	20	Os	Astràgal	O. cuniculus	6	35		153			13	9	4	Coordenades aproximades
2016	B1.1	E34	21	Os	Húmer	Lepo	14	24		155	nwse	p	22	6	3	
2016	B1.1	E34	22	Os	Mandíbula	O. cuniculus	16	29		155	nwse	se	20	16	4	
2016	B1.1	E34	23	Os	Mandíbula	O. cuniculus	7	34		154			20	15	5	Coordenades aproximades
2016	B1.1	E34	24	Os	Mandíbula	O. cuniculus	21	42		155	nwse	nw	35	12	7	
2016	B1.1	E34	25	Sílex	FBP		14	26		155	ns	s	18	10	2	
2016	B1.1	E34	26	Os	Mandíbula	O. cuniculus	4	51		155	nwse	p	25	14	8	
2016	B1.1	E34	27	Carbó			7	23		155						
2016	B1.1	E34	28	Os	Tíbia	Lepo	4	24		158	nesw	ne	25	5	4	Mesures aproximades
2016	B1.1	E34	29	Sílex	FBP		10	19		157			14	7	3	
2016	B1.1	E34	30	Sílex	FBP		8	37		156	ns	e	24	20	5	
2016	B1.1	E34	31	Os	Tíbia	Lepo	20	25		157	nesw	ne	28	4	4	Mesures aproximades
2016	B1.1	E34	32	Os	Tíbia	Lepo	5	25		157	nesw	ne	26	8	4	
2016	B1.1	E34	33	Carbó			10	25		158						
2016	B1.1	E34	34	Os	Mandíbula	Lepo	9	54		156			20	10	6	Coordenades aproximades
2016	B1.1	E34	35	Os	Ulna	O. cuniculus	8	37		157	ew	e	23	4	3	
2016	B1.1	E34	36	Os	Ulna	O. cuniculus	12	57		155			22	6	4	
2016	B1.1	E34	37	Os	Llarg	Macro	6	67		154	nesw	sw	34	11	6	Remonta amb núm. 38. Fractura antiga
2016	B1.1	E34	38	Os	Llarg	Macro	8	65		154	nwse	se	30	15	10	Remonta amb núm. 37. Fractura antiga
2016	B1.1	E34	39	Gres	Bloc		7	76	148	153	ns	p	130	110	50	
2016	B1.1	E34	40	Sílex	BP		8	56		157	ns	v	30	15	6	
2016	B1.1	E34	41	Carbó			22	80		153						
2016	B1.1	E34	42	Os	Maxil·lar	O. cuniculus	5	77		155			25	15	12	
2016	B1.1	E34	43	Os	Mandíbula	Lepo	9	69		155			18	6	4	
2016	B1.1	E34	44	Esquist	Frag.Nat.		7	64		156	nwse	p	22	5	4	
2016	B1.1	E34	45	Sílex	FBP		15	58		156			25	9	5	
2016	B1.1	E34	46	Os	Escàpula	O. cuniculus	40	32		158			18	10	6	
2016	B1.1	E34	47	Os	Scafo-cuboide	C. elaphus	23	25		159			18	10	7	
2016	B1.1	E34	48	Sílex	FBP		17	24		159			18	9	3	Coordenades aproximades
2016	B1.1	E34	49	Os	Mandíbula	O. cuniculus	11	25		156			25	13	6	Coordenades aproximades
2016	B1.1	E34	50	Sílex	FBP		5	75		159	ew	p	23	15	4	Creemat
2016	B1.1	E34	51	Os	Maxil·lar	O. cuniculus	0	18		161			18	12	10	Coordenades aproximades
2016	B1.1	E34	52	Esquist	Frag.Nat.		22	30		160			26	4	4	Coordenades aproximades
2016	B1.1	E34	53	Os	Maxil·lar	O. cuniculus	19	40		158			20	13	6	Coordenades aproximades
2016	B1.1	E34	54	Os	Calcani	Lepo	14	39		159			19	7	6	Coordenades aproximades
2016	B1.1	E34	55	Os	Fèmur	Lepo	2	48		158	nesw	ne	23	6	6	
2016	B1.1	F29	1	Os	Radi	Lepo	9	95		184			20	4	2	Coordenades aproximades
2016	B1.1	F29	2	Os	Tíbia	Lepo	6	89		184			22	5	4	Coordenades aproximades
2016	B1.1	F29	3	Sílex	BPF		3	82		186	ns	p	19	9	3	
2016	B1.1	F29	4	Sílex	BNC	A2	4	70		189	nwse	w	27	15	4	Hcl
2016	B1.1	F29	5	Os	Llarg	Macro	63	90		185	ns	s	33	15	4	
2016	B1.1	F29	6	Sílex	BP		71	95		184	ns	s	30	14	8	
2016	B1.1	F29	7	Os	Mandíbula	O. cuniculus	78	74		187	ns	n	31	15	7	

2016	B1.1		F29	8 Os	Calcani	Lepo	94	22		197	ns	s	21	7	5	
2016	B1.1		F29	9 Os	Llarg	Macro	84	24		199	nwse	s	40	17	7	
2016	B1.1		F29	10 Os	Tibiotarsus	Aves	86	32		196	ns	n	20	5	4	
2016	B1.1		F29	11 Esquist	Frag		68	36		196	ew	e	60	47	12	
2016	B1.1		F29	12 Sílex	BPF		72	52		192	nwse	w	30	15	7	
2016	B1.1		F29	13 Os	Húmer	Lepo	84	46		192	ns	p	24	6	5	
2016	B1.1		F29	14 Sílex	BNC	D23	68	55		192	nwse	v	60	50	18	Hcl
2016	B1.1		F29	15 Sílex	BNP		94	95		184	ns	e	30	26	14	Hcl
2016	B1.1		F29	16 Sílex	FBP		68	56		192	nwse	s	28	15	8	Cremat
2016	B1.1		F29	17 Os	Llarg	Macro	22	67		191	ns	s	31	9	3	
2016	B1.1		F29	18 Sílex	BP		29	74		189	ew	se	30	19	4	
2016	B1.1		F29	19 Sílex	BP		22	85		186	ns	se	21	15	7	
2016	B1.1		F29	20 Os	Coxal	Lepo	17	71		190	ew	s	25	14	6	
2016	B1.1		F29	21 Os	Tíbia	Lepo	5	93		186	nwse	p	22	7	5	Fragmentat
2016	B1.1		F29	22 Os	Tíbia	Lepo	3	85		185	nwse	se	40	10	7	
2016	B1.1		F29	23 Sílex	FBP		37	63		190	nwse	nw	40	30	15	Hcl
2016	B1.1		F29	24 Os	Mandíbula	O. cuniculus	18	77		191			25	12	4	Coordenades aproximades
2016	B1.1		F29	25 Sílex	FBP		9	80		190	nwse	se	30	25	19	Hcl
2016	B1.1		F29	26 Sílex	BNC	D23	87	93		185	nesw	nw	51	30	20	
2016	B1.1		F30	1 Os	Tíbia	C. pyrenaica	21	81		184	ew	n	35	20	16	
2016	B1.1		F30	2 Os	Llarg	Macro	24	80		184	nesw	s	34	16	7	
2016	B1.1		F30	3 Sílex	FBP		49	94		182	nwse	sw	32	12	5	
2016	B1.1		F30	4 Os	Fèmur	Lepo	56	42		189	nesw	se	28	6	5	
2016	B1.1		F30	5 Os	Llarg	Macro	61	70		184	nwse	sw	40	9	6	
2016	B1.1		F30	6 Os	Fèmur	Lepo	62	56		187	nesw	p	24	7	6	
2016	B1.1		F30	7 Os	Tíbia	Lepo	42	83		183	nesw	sw	37	7	6	
2016	B1.1		F30	8 Sílex	FBP		16	84		185			18	13	5	Coordenades aproximades
2016	B1.1		F30	9 Os	Llarg	Macro	63	83		183			22	8	3	Coordenades aproximades
2016	B1.1		F30	10 Os	Tíbia	Lepo	70	74		185	nesw	p	36	9	7	Fragmentat
2016	B1.1		F30	11 Sílex	BP		86	66		186	ew	s	38	23	11	
2016	B1.1		F30	12 Sílex	BP		78	99		182	nwse	v	35	25	8	
2016	B1.1		F30	13 Sílex	FBP		6	64		188	ns	w	23	16	4	Cremat
2016	B1.1		F30	14 Sílex	BNC	D21	34	49		191	ew	se	42	30	11	
2016	B1.1		F30	15 Sílex	FBP		60	56		189	q	p	20	19	6	
2016	B1.1		F30	16 Os	Tíbia	Lepo	2	57		192			24	7	6	Coordenades aproximades
2016	B1.1		F30	17 Os	Tíbia	Lepo	38	64		187			23	10	7	Fragmentat
2016	B1.1		F30	18 Os	Coxal	O. cuniculus	40	66		187			21	11	8	Coordenades aproximades
2016	B1.1		F30	19 Sílex	BP		6	69		187	ew	s	29	15	6	
2016	B1.1		F30	20 Os	Llarg	Macro	25	83		186	nwse	p	36	12	7	Fragmentat
2016	B1.1		F31	1 Sílex	BP		5	80		186	ew	s	52	17	7	
2016	B1.1		F31	2 Os	Fèmur	Lepo	3	75		186	nesw	sw	43	9	5	
2016	B1.1		F31	3 Esquist	Frag		18	77		186	ew	s	55	44	25	
2016	B1.1		F31	4 Sílex	BP		18	78		187	ew	p	30	20	7	Cremat
2016	B1.1		F31	5 Os	Tíbia	Lepo	4	72		188	nwse	se	27	8	6	
2016	Perfil W		E29	1 Sílex	BP		0	27		149	nesw	vh	46	30	13	
2016	Perfil W		E29	2 Sílex	FBP		0	38		147	ew	p	60	17	11	Hcl
2016	Perfil W		E29	3 Sílex	BP		0	95		132			22	12	3	
2016	Perfil W		E29	4 Sílex	BNC	LD21				120-170			20	9	4	Trobat al rentat
2016	Perfilat NW		D29	1 Sílex	BP		49	98		102			35	20	5	Perfil Nord
2016	Perfilat NW		D29	2 Sílex	BNC	G12	67	95		103	ns	v	40	36	21	Perfil Nord. Hcl
2016	Perfilat NW		D29	3 Sílex	BPF		71	96		115	ew	e	20	17	2	Perfil Nord
2016	Perfilat NW		D29	4 Sílex	FBP		55	96		120			20	14	3	Perfil Nord. Cremat

2016	Perfilat NW	D29	5 Sílex	BP		34	98		114			30	18	4	Perfil Nord. Cremat
2016	Perfilat NW	D29	6 Sílex	BP		33	100		126	nwse	vh	20	16	2	Perfil Nord
2016	Perfilat NW	D29	7 Sílex	BP		42	98		133	ns	v	50	38	13	Perfil Nord. Cremat
2016	Perfilat NW	D29	8 Sílex	BP		59	97		135			34	18	6	Perfil Nord. Cremat
2016	Perfilat NW	D29	9 Sílex	BP		70	97		136			35	20	9	Perfil Nord
2016	Perfilat NW	D29	10 Sílex	BNC	G11	79	96		134			30	23	12	Perfil Nord. Cremat
2016	Perfilat NW	D29	11 Sílex	BP		0	100		121	ew	p	35	24	4	Perfil Nord. Hcl
2016	Perfilat NW	D29	12 Sílex	FBP		12	100		134	ns	v	40	36	6	Perfil Nord
2016	Perfilat NW	D29	13 Calcària	Bn		13	100		130	ew	e	60	45	45	Perfil Nord
2016	Perfilat NW	D29	14 Calcària	Frag.Nat.		0	13		152			17	15	5	Perfil Oest
2016	Perfilat NW	D29	15 Sílex	BP		0	81		128			26	11	3	Perfil Oest
2016	Perfilat NW	D29	16 Sílex	FBP		0	98		130			23	14	3	Perfil Oest. Cremat
2016	Sup	F28	1 Os	Tíbia	Lepo	80	57		182	nesw	sw	22	5	4	
2016	Sup	F28	2 Sílex	FBP		82	60		183	ns	s	18	12	3	
2016	Sup	F28	3 Sílex	BPF		83	55		183	nesw	sw	42	22	16	Hcl
2016	Sup	F28	4 Esquist	Bn		99	48	174	185	q	nw	160	140	60	
2016	Sup	F28	5 Sílex	FBP		96	54		180			19	9	2	Coordenades aproximades
2016	Sup	F28	6 Sílex	RT		95	55		181			15	10	5	Coordenades aproximades. Hcl
2016	Sup	F28	7 Esquist	Bloc		90	46		186	ew	s	62	30	20	
2016	Sup	F28	8 Os	Llarg	Macro	92	34		189	ns	v	27	15	6	
2016	Sup	F28	9 Sílex	BP		81	47		189	q	p	46	45	7	
2016	Sup	F28	10 Sílex	BNC	Sind	81	49		188			16	14	6	Coordenades aproximades. Hcl
2016	Sup	F28	11 Os	Llarg	Macro	93	48		188			24	8	4	Coordenades aproximades
2016	Sup	F28	12 Os	Fèmur	Lepo	89	37		193			22	7	6	Coordenades aproximades
2016	Sup	F28	13 Os	Húmer	Lepo	92	48		193	nesw	ne	25	7	5	
2016	Sup	F28	14 Os	Tíbia	O. cuniculus	87	45		194			25	6	4	Coordenades aproximades
2016	Sup	F28	15 Os	Fèmur	Lepo	86	50		194	nwse	p	25	8	7	
2016	Sup	F28	16 Os	Mandíbula	O. cuniculus	87	47		193	ns	p	31	16	6	
2016	Sup	F28	17 Sílex	FBP		76	32		195	ew	s	20	16	5	Cremat
2016	Sup	F28	18 Os	Tíbia	Lepo	90	37		197	ns	p	23	7	6	
2016	Sup	F28	19 Os	Tíbia	Lepo	91	31		198	nwse	se	35	8	7	
2016	Sup	F28	20 Os	Tíbia	Lepo	83	54		193	nesw	ne	29	8	6	
2016	Sup	F28	21 Os	Tíbia	Lepo	91	36		197			24	6	5	Coordenades aproximades
2016	Sup	F28	22 Sílex	BP		95	37		199	nwse	s	43	24	12	
2016	Sup	F28	23 Esquist	Bn		92	20	197	203	ew	nw	130	100	45	
2016	Sup	F28	24 Os	Ulna	Lynx sp.				180-185			46	23	15	Trobat al rentat
2016	Sup	F28	25 Malaco		Marina				190-195			7	5	3	Trobat al rentat
2016	Sup	F29	1 Os	Metàpod	Lepo	96	56		182			20	6	4	Coordenades aproximades
2016	Sup	F29	2 Os	Radi	O. cuniculus	69	42		185			20	7	4	Coordenades aproximades
2016	Sup	F29	3 Calcària	Frag.Nat.		99	48		184	ew	s	26	15	10	
2016	Sup	F29	4 Esquist	Frag		67	41		185	nesw	e	87	35	15	
2016	Sup	F29	5 Sílex	BP		63	40		185	nwse	se	28	17	4	
2016	Sup	F29	6 Os	Fèmur	Lepo	82	37		186			26	8	6	Coordenades aproximades
2016	Sup	F29	7 Sílex	BP		55	35		187	nesw		83	33	11	
2016	Sup	F29	8 Os	Fèmur	Lepo	70	60		183			27	7	6	Coordenades aproximades
2016	Sup	F29	9 Sílex	BP		50	33		179	q	w	25	24	9	
2016	Sup	F29	10 Sílex	BP		99	32		180	ns	n	26	23	9	
2016	Sup	F29	11 Calcària	Bloc		94	43	183	187	nwse	nw	67	42	37	
2016	Sup	F29	12 Calcària	Bloc		67	33	187	190	ns	n	77	49	29	
2016	Sup	F29	13 Os	Coxal	O. cuniculus	71	28		189			22	9	6	Coordenades aproximades
2016	Sup	F29	14 Os	Húmer	O. cuniculus	53	55		185			30	7	6	Coordenades aproximades
2016	Sup	F29	15 Sílex	BNC	A2	42	54		185			26	12	3	Coordenades aproximades

2016	Sup		F29	16	Sílex	BPF		76	30			189				18	9	4	Coordenades aproximades
2016	Sup		F29	17	Os	Radi	O. cuniculus	50	45			188				32	4	3	Coordenades aproximades
2016	Sup		F29	18	Os	Escàpula	Lepo	75	52			186				21	4	3	Coordenades aproximades
2016	Sup		F29	19	Os	Maxil·lar	O. cuniculus	44	31			192	ew	w		19	7	6	
2016	Sup		F29	20	Os	Mandíbula	O. cuniculus	57	56			186				28	8	7	Coordenades aproximades
2016	Sup		F29	21	Os	Mandíbula	O. cuniculus	38	50			188				20	15	6	Coordenades aproximades
2016	Sup		F29	22	Os	Llarg	Macro	39	37			191	ew	p		39	11	7	
2016	Sup		F29	23	Sílex	BP		93	48			187	ns	s		31	13	5	
2016	Sup		F29	24	Esquist	Frag.Nat.		89	24			191	nesw	n		35	11	7	
2016	Sup		F29	25	Os	Llarg	Lepo	92	21			193	ns	n		10	4	2	Fragmentat
2016	Sup		F29	26	Os	Mandíbula	O. cuniculus	98	24			191	ns	n		22	15	8	
2016	Sup		F29	27	Calcària	Bn		73	29	187		191	ew	nw		48	41	37	
2016	Sup		F29	28	Esquist	Frag		92	34	186		191	nesw	nw		90	74	11	Hcl
2016	Sup		F29	29	Calcària	Bloc		94	30	187		190	ew	nw		61	50	29	
2016	Sup		F29	30	Os	Tíbia	Lepo	94	40			191				26	8	7	Coordenades aproximades
2016	Sup		F29	31	Os	Ulna	O. cuniculus	87	39			191				20	5	4	Coordenades aproximades
2016	Sup		F29	32	Os	Radi	O. cuniculus	60	24			194				22	7	4	Coordenades aproximades
2016	Sup		F29	33	Os	Pla	Macro	51	25			195				28	7	3	Fragmentat
2016	Sup		F29	34	Os	Fèmur	Lepo	48	25			195	ns	n		34	7	6	
2016	Sup		F29	35	Os	Coxal	Lepo	40	35			195	nwse	se		33	13	9	
2016	Sup		F29	36	Esquist	Frag.Nat.		71	34			192	nesw	s		43	13	7	
2016	Sup		F29	37	Os	Húmer	O. cuniculus	10	30			193	ew	v		27	8	5	
2016	Sup		F29	38	Os	Llarg	Macro	30	30			193				29	7	6	Coordenades aproximades
2016	Sup		F29	39	Os	Metàpod	Lepo	32	48			192				21	5	4	Coordenades aproximades
2016	Sup		F29	40	Os	Metàpod	Lepo	94	37			192				20	6	4	Coordenades aproximades
2016	Sup		F29	41	Os	Fèmur	Lepo	98	34			192	ns	s		51	9	8	
2016	Sup		F29	42	Sílex	FBP		71	35			193	ns	p		26	9	7	Coordenades aproximades
2016	Sup		F29	43	Sílex	FBP		98	33			194				19	14	5	Coordenades aproximades
2016	Sup		F29	44	Os	Pla	Macro	69	33			194	ns			25	11	8	
2016	Sup		F29	45	Os	Húmer	O. cuniculus	61	24			197				28	7	5	Coordenades aproximades
2016	Sup		F29	46	Os	Tíbia	Lepo	54	37			197				26	6	5	Coordenades aproximades
2016	Sup		F29	47	Sílex	FBP		37	30			196	ns	s		23	20	8	
2016	Sup		F29	48	Os	Húmer	O. cuniculus	31	26			197				44	8	5	Coordenades aproximades
2016	Sup		F29	49	Os	Mandíbula	O. cuniculus	42	31			197	ew	w		27	13	6	Fragmentat
2016	Sup		F29	50	Calcària	Bloc		15	37	179		192	nwse			280	190	142	
2016	Sup		F29	51	Sílex	BP		14	27			197	ns	e		53	21	7	
2016	Sup		F29	52	Os	Calcani	Lepo	24	25			198				20	9	5	Coordenades aproximades
2016	Sup		F29	53	Calcària	Bloc		30	59	187		190	nwse	s		66	47	30	
2016	Sup		F29	54	Os	Llarg	Macro	24	39			194	nesw	sw		40	11	5	
2016	Sup		F29	55	Os	Fèmur	Lepo	15	48			191	ns	s		24	9	6	
2016	Sup		F29	56	Os	Tíbia	Lepo	7	41			191	nwse	se		39	8	6	
2016	Sup		F29	57	Dent	Molar inf	C. pyrenaica	8	35			194				21	17	8	
2016	Sup		F29	58	Sílex	BNC		55	44			194				24	19	7	Coordenades aproximades
2016	Sup		F29	59	Os	Fèmur	Lepo	51	33			196	ns	n		41	10	7	
2016	Sup		F29	60	Os	Radi	O. cuniculus	54	94			194				18	8	5	Coordenades aproximades
2016	Sup		F29	61	Sílex	BP		13	43			195	nesw	sw		30	26	9	
2016	Sup		F29	62	Sílex	BP		15	30			197	nwse	nw		69	24	11	
2016	Sup		F29	63	Sílex	FBP		20	47			194				25	8	3	Coordenades aproximades
2016	Sup		F29	64	Sílex	FBP		12	46			194				23	13	5	Coordenades aproximades
2016	Sup		F29	65	Os	Llarg	Macro	8	46			194				24	10	4	Coordenades aproximades
2016	Sup		F29	66	Os	Húmer	O. cuniculus	6	49			194				22	8	5	Coordenades aproximades
2016	Sup		F29	67	Os	Tíbia	Lepo	13	26			198				38	8	7	Coordenades aproximades

2016	Sup		F29	68	Os	Tíbia	Lepo	16	24		198			32	7	6	Coordenades aproximades
2016	Sup		F29	69	Esquist	Frag.Nat.		40	22		201	ew	s	44	24	8	
2016	Sup		F29	70	Os	Tíbia	Lepo	44	43		198			27	9	7	Coordenades aproximades
2016	Sup		F29	71	Os	Llarg	Macro	55	21		198	ew	p	27	8	5	
2016	Sup		F29	72	Os	Tíbia	Lepo	62	22		197	ns	s	37	7	6	
2016	Sup		F29	73	Os	Llarg	Macro	11	27		199			22	8	4	Coordenades aproximades
2016	Sup		F29	74	Os	Mandíbula	O. cuniculus	41	29		200	ew	s	29	16	6	
2016	Sup		F29	75	Os	Llarg	Macro	54	23		198	ns	v	20	8	5	
2016	Sup		F29	76	Sílex	BNC	D24	3	47		196	nwse	sw	46	19	7	Hcl
2016	Sup		F29	77	Os	Húmer	O. cuniculus	10	34		198	nwse	p	34	8	5	
2016	Sup		F29	78	Os	Tíbia	Lepo	8	48		196	nesw	sw	31	8	7	Fragmentat
2016	Sup		F29	79	Os	Fèmur	Phasianidae	33	53		195			22	8	6	Coordenades aproximades
2016	Sup		F29	80	Os	Tíbia	Lepo	28	37		198	nwse	se	38	8	5	Fragmentat
2016	Sup		F29	81	Os	Llarg	Macro	43	39		198	nwse	se	34	12	6	Fragmentat
2016	Sup		F29	82	Os	Mandíbula	O. cuniculus	10	33		199	ew	p	30	15	6	
2016	Sup		F29	83	Os	Mandíbula	O. cuniculus	8	43		199			21	10	5	Coordenades aproximades
2016	Sup		F29	84	Sílex	BP		9	22		199			18	16	7	Coordenades aproximades
2016	Sup		F29	85	Os	Mandíbula	O. cuniculus	20	23		201	ns	s	24	14	7	
2016	Sup		F29	86	Os	Tíbia	Lepo	30	29		198	nwse	se	30	7	5	
2016	Sup		F29	87	Os	Llarg	Macro	33	45		198			27	11	5	Coordenades aproximades
2016	Sup		F29	88	Os	Calcani	Lepo	39	44		199			21	9	5	Coordenades aproximades
2016	Sup		F29	89	Os	Tíbia	Lepo	43	26		199	nesw	sw	30	8	7	
2016	Sup		F29	90	Os	Llarg	Macro	51	22		201	nwse	s	20	15	8	
2016	Sup		F29	91	Os	Húmer	Lepo	50	48		201	nesw	sw	25	6	5	
2016	Sup		F29	92	Sílex	BNC	G11	59	34		199	ns	w	31	16	9	
2016	Sup		F29	93	Os	Fèmur	C. pyrenaica	60	18		204	nwse	se	70	18	8	Fragmentat
2016	Sup		F29	94	Os	Metàpod	Lepo	67	15		202			20	5	4	Coordenades aproximades
2016	Sup		F29	95	Os	Húmer	O. cuniculus	57	31		202			24	7	6	Coordenades aproximades
2016	Sup		F29	96	Os	Tíbia	Lepo	54	23		201			28	7	6	Coordenades aproximades
2016	Sup		F29	97	Os	Tíbia	Lepo	58	25		202			22	7	6	Coordenades aproximades
2016	Sup		F29	98	Os	Calcani	Lepo	52	22		202			24	10	6	Coordenades aproximades
2016	Sup		F29	99	Sílex	BP		55	48		199	ew	s	22	14	7	Cremat
2016	Sup		F29	100	Sílex	BNC	G11	68	23		203	q	s	16	15	5	Hcl
2016	Sup		F29	101	Os	Tíbia	Lepo	45	33		205			24	5	3	Fragmentat. Coordenades aproximades
2016	Sup		F29	102	Os	Mandíbula	O. cuniculus	40	29		205			21	6	5	Fragmentat. Coordenades aproximades
2016	Sup		F29	103	Os	Tíbia	Lepo	35	32		203	nwse	se	41	8	7	
2016	Sup		F29	104	Os	Metatars	Lepo	39	51		201			23	7	4	Coordenades aproximades
2016	Sup		F29	105	Sílex	BNC	G12	16	23		206	nesw	sw	60	29	8	Hcl
2016	Sup		F29	106	Os	Mandíbula	O. cuniculus	49	23		205	ns	v	29	13	6	
2016	Sup		F29	107	Os	Fèmur	Lepo	46	28		205	ew	w	44	9	7	
2016	Sup		F29	108	Os	Tíbia	Lepo	30	33		206	ns	s	22	8	7	
2016	Sup		F29	109	Os	Llarg	Macro	62	15		204	ew	e	29	11	4	
2016	Sup		F29	110	Os	Fèmur	Lepo	29	36		207	nesw	sw	28	8	7	
2016	Sup		F29	111	Os	Tíbia	Lepo	30	33		207	ew	w	21	7	6	
2016	Sup		F29	112	Os	Metatars	Lepo	35	20		207			36	6	4	Coordenades aproximades
2016	Sup		F29	113	Os	Metatars	Lepo	37	25		209			29	6	3	Coordenades aproximades
2016	Sup		F29	114	Os	Tíbia	Lepo	37	31		210			22	6	5	Coordenades aproximades
2016	Sup		F29	115	Os	Coxal	Lepo	45	28		209			22	7	3	Coordenades aproximades
2016	Sup		F29	116	Os	Llarg	Macro	43	32		208			31	8	5	Coordenades aproximades
2016	Sup		F29	117	Sílex	BP		41	21		207			14	10	3	Coordenades aproximades
2016	Sup		F29	118	Os	Llarg	Macro	34	32		212	ew	nw	30	12	6	
2016	Sup		F29	119	Os	Tíbia	Macro	31	25		209	ns	s	75	15	12	

2016	Sup		F29	120	Sílex	BNC	LD21				180-185			19	8	2	Trobat al rentat. Cremat
2016	Sup		F29	121	Os	Falange	C. pyrenaica				195-200			30	15	10	Trobat al rentat
2016	Sup		F29	122	Sílex	BNC	LD21				200-205			14	3	1	Trobat al rentat
2016	Sup		F29	123	Os	Coxal	O. cuniculus				200-205			10	7	5	Trobat al rentat
2016	Sup		F29	124	Dent						200-205			12	8	4	Trobat al rentat. Dos fragments
2016	Sup		F30	1	Sílex	BNC	G11	12	37		190			26	18	6	
2016	Sup		F30	2	Dent	M1 inf	C. capreolus	5	25		192			24	10	8	
2016	Sup		F30	3	Dent	Molar	S. scrofa	15	26		194			20	6	3	Coordenades aproximades